

Estilos tecnológicos y tradiciones cerámicas del Bolsón de Fiambal (Dto. Tinogasta, Catamarca) Vol 2.

Autor:

Feely, Anabel

Tutor:

Ratto, Norma R.

2010

Tesis presentada con el fin de cumplimentar con los requisitos finales para la obtención del título Doctor de la Universidad de Buenos Aires en Antropología

Posgrado

Tesis
14.4.5
Apendice

FACULTAD DE FILOSOFIA Y LETRAS
Nº 858.030
09 FEB 2010

***ESTILOS TECNOLÓGICOS Y TRADICIONES
CERÁMICAS DEL BOLSÓN DE FIAMBALÁ
(D.TO. TINOGASTA, CATAMARCA)***

APÉNDICES



***ANABEL FEELY
2010***

UNIVERSIDAD DE BUENOS AIRES
FACULTAD DE FILOSOFÍA Y LETRAS
Dirección de Bibliotecas

Facultad de Filosofía y Letras
Universidad de Buenos Aires

APÉNDICES

***ESTILOS TECNOLÓGICOS Y TRADICIONES
CERÁMICAS DEL BOLSÓN DE FIAMBALÁ
(D.T.O. TINOGASTA, CATAMARCA)***

Lic. Anabel Feely

Directora

Dra. Norma Ratto

Tesis para optar al grado de
Doctor en Filosofía y Letras

Buenos Aires

2010

INDICE APÉNDICES

APÉNDICE 1 – ANÁLISIS MORFO-MÉTRICO DE PIEZAS ENTERAS.

- Apéndice 1.1 – Desarrollo del análisis morfo-métrico de la muestra de piezas enteras A-2
- Apéndice 1.2 - Perfiles de piezas y base de datos morfométrica de la muestra de piezas enteras A-26

APÉNDICE 2 – ARCILLAS REGIONALES

- Apéndice 2.1 – Muestreos de arcillas regionales A-43
- Apéndice 2.1 – Características de las Arcillas Regionales –Análisis de Briquetas por lupa trinocular A-47

APÉNDICE 3 – ANÁLISIS DE PASTAS

- Apéndice 3.1 – Base de Datos de Lupa Trinocular A-60
- Apéndice 3.2 – Base de Datos de Petrografía Cerámica A-94

- APÉNDICE 4 – PERFILES DE PIEZAS Y BASES DE DATOS MORFO-METRICA, TECNOLÓGICA Y DECORATIVA DE LAS PIEZAS PARCIALMENTE RECONSTRUIDAS** A-98

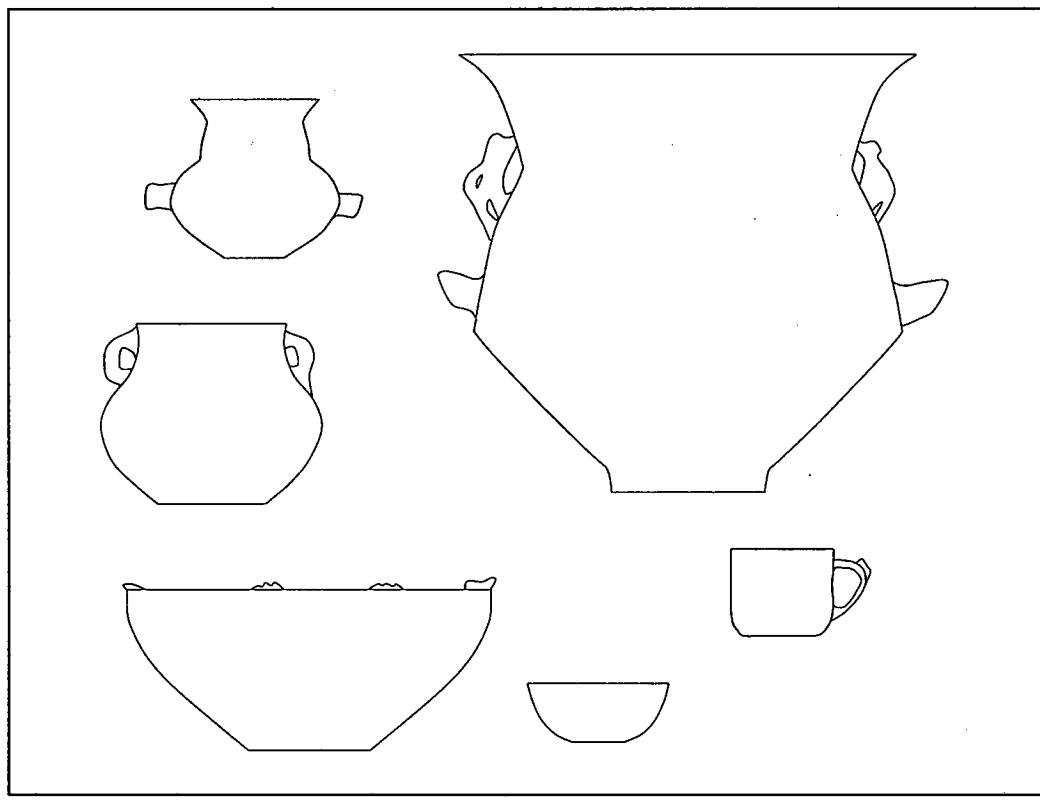
- APÉNDICE 5 - REGISTRO FOTOGRÁFICO DE TÉCNICAS DECORATIVAS Y TRATAMIENTOS DE SUPERFICIE** A-157

- APÉNDICE 6 - ANÁLISIS DE DIVERSIDAD** A-163

APÉNDICE 1 – ANÁLISIS MORFO-MÉTRICO DE PIEZAS ENTERAS.

APÉNDICE 1.1– DESARROLLO DEL ANÁLISIS
MORFOMÉTRICO DE LA MUESTRA DE PIEZAS
ENTERAS

APÉNDICE 1.2- PERFILES DE PIEZAS Y BASE DE
DATOS MORFOMÉTRICA DE LA MUESTRA DE
PIEZAS ENTERAS



1.1. ANÁLISIS MORFO-MÉTRICO DE PIEZAS ENTERAS

En este apéndice se presenta el desarrollo del análisis estadístico realizado sobre la muestra referencial de piezas enteras (N=97). El propósito de este análisis es extraer generalizaciones válidas que sean aplicables al análisis de la muestra fragmentaria.

El análisis se desarrolla a distintos niveles. En una primera instancia, presenta una descripción estadística general de distintas variables métricas: (i) diámetro de boca, (ii) altura total, (iii) diámetro de base, (iv) espesor a 1 cm. de la boca, y (v) volumen, considerando por un lado las piezas que tienen cuello y aquellas que no lo presentan – Ver Tabla A1.1.

En una segunda instancia se propone una clasificación morfológica más refinada basada en el análisis de distintas proporciones métricas de las piezas. Debido a que la muestra fragmentaria a ser analizada se compone de fragmentos de bordes y bases, el siguiente paso consiste en el análisis de distintas variables en su relación con estos puntos terminales. A partir de estos resultados se establecen los criterios que serán aplicados para la clasificación morfológica de las muestras fragmentarias. La composición de la muestra se presenta en el Capítulo 3.

	Clase estructural - contorno	Frecuencia	Porcentaje
Vasijas sin cuello	No restringido - compuesto	7	7,2
	No restringido - inflexionado	7	7,2
	No restringido - simple	18	18,5
	Restringido dependiente - simple	15	15,5
	Sub-total	47	48,5
vasijas con cuello	Restringido independiente - compuesto	21	21,6
	Restringido independiente - complejo	11	11,3
	Restringido independiente - inflexionado	18	18,6
	Sub-total	50	51,5
	Total general	97	100

Tabla A1.1 – Distribución de frecuencias y porcentajes de las clases estructurales – contorno de las piezas enteras.

A. ANÁLISIS MORFO-MÉTRICO DE LAS VASIJAS SIN CUELLO

El conjunto de vasijas sin cuello corresponde en su mayoría a piezas no restringidas (NR) de contorno simple; entre estas se presentan estilos tanto del Formativo (Ft) (11:18), como del Período de Desarrollos Regionales (PDR) (6:18) e Inca (1:18). Le siguen las vasijas restringidas dependientes (RD) simples entre las que se encuentran representadas piezas del Formativo (3:15) y mayoritariamente del PDR (12:15). Por su parte entre las piezas de contorno compuesto también se registran estilos del Formativo (4:7) y del PDR (3:7) mientras que los contornos inflexionados son exclusivamente Tardíos de estilo Belén (7:7) – Ver Tabla A1.2

Tipo Cerámico	No restringidas			Restringidas dependientes	Total
	compuesto	inflexionado	simple	simple	
Saujil	0	0	3	0	3
Ciénaga	2	0	3	0	5
Aguada	2	0	1	3	6
Formativo n/d fino	0	0	4	0	4
Belén	3	7	4	7	21
Sanagasta	0	0	2	4	6
Tardío indet.	0	0	0	1	1
Inca	0	0	1	0	1
Total	7	7	18	14	47

Tabla A1.2. Frecuencias de piezas no restringidas en función de su contorno y tipo cerámico.

En la Tabla A1.3 se presenta la estadística descriptiva de las variables métricas seleccionadas –la base de datos métrica y los perfiles de las piezas enteras relevadas se presentan en el Apéndice 1.2-; por su parte, en los diagramas de caja reproducidos en las Figuras A1.1 a, b, c y d se grafican los valores de la mediana, el rango intercuartil, los valores atípicos y los casos extremos para cada variable métrica en función de las unidades de medida de los datos (cm, grados o cm³). A partir del análisis de estos resultados puede decirse que:

- Diámetro de la boca: la distribución presenta el 6,38% (3:47) de los casos por fuera del rango de la dispersión central. Estos casos corresponden a diámetros de boca muy grandes en relación al resto de la muestra, representados por un valor extremo, V-22/01 y dos valores atípicos V-Olla 11 y V-Olla 07/1.
- Altura de la pieza: presenta distribución normal con un caso extremo correspondiente a la pieza V-22/01 cuya altura es mucho mayor que las restantes.
- Diámetro de la base: presenta el 6,38% (3:47) de los casos por fuera del rango de la dispersión central, presentando tres casos atípicos.
- Espesor: presenta distribución normal con asimetría positiva (1,01) presentando un caso con valores atípicamente altos correspondiente a V-22/01.
- Volumen: esta variable presenta un caso extremo con un valor excesivamente alto correspondiente a V-22/01 y dos valores atípicos altos correspondientes a V-Olla 11 y V-Olla 07/1. En la Figura A1.1 se presenta nuevamente el diagrama de caja pero excluyendo el valor extremo. La distribución resultante presenta los dos valores atípicos antes mencionados (6,45% casos por fuera del rango de la dispersión central) y asimetría positiva (2,029).
- La vasija V22-01 constituye un caso particular presentando valores extremos para diámetro de boca, altura y volumen y valores atípicos para el espesor de la pared. Esta pieza corresponde a la tapa de urna del entierro de un párvulo recuperado al sur del río La Troya y denominado Bebé de La Troya que presenta características excepcionales no sólo por el gran tamaño que presenta el continente (tanto la tapa como la urna) y por la cantidad y diversidad del ajuar que acompaña al niño, sino también por presentar la conjunción de diseños estilísticos propios de Belén y Sanagasta (Ratto *et al.* 2007)

Piezas NR y RDS	N	Mínimo	Máximo	Mediana	Media	Desv. típ.	C.V. ¹
Diámetro boca (cm)	47	7,20	76,50	21	22,26	11,46	0,51
H total (cm)	47	4,00	52,00	11	11,63	6,84	0,59
Diámetro base (cm)	47	2,62	11,30	7,30	7,25	1,77	0,24
Espesor (cm)	47	0,30	1,20	0,6	0,61	0,16	0,26
Volumen (cm ³)	47	228,20	115832,00	2130,00	5207,24	16661,30	3,19

Referencias: NR: no restringido – RDS: restringido dependiente simple

Tabla A1.3 – Estadística descriptiva de variables métricas de piezas sin cuello NR y RDS.

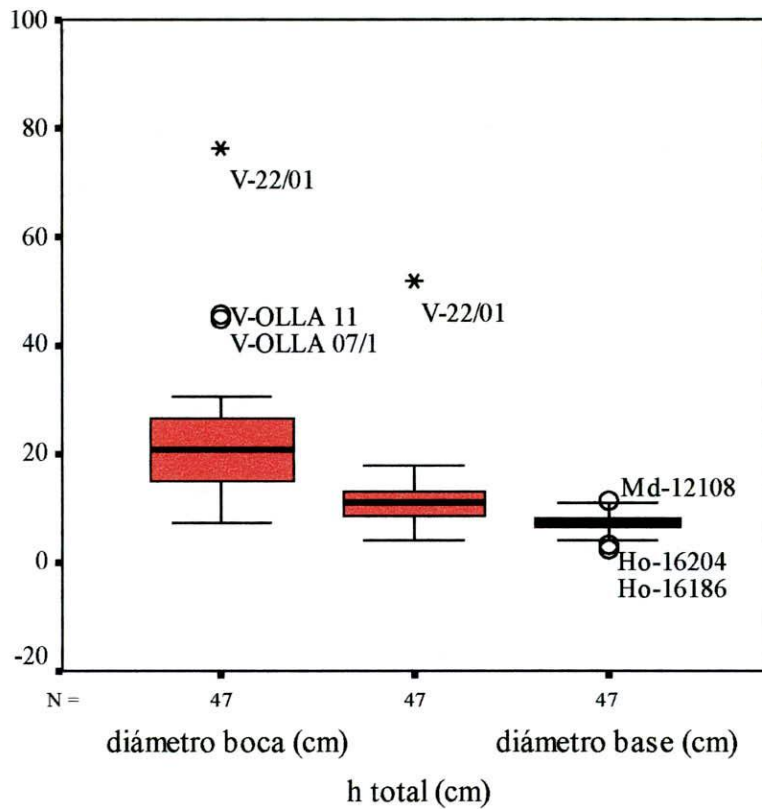


Figura A1.1 a – Diagramas de caja para las variables diámetro de boca, altura total de la pieza y diámetro de base

¹ En general, cuanto mayor es el valor de una medida, mayor es la desviación típica, por lo que puede resultar engañoso comparar las magnitudes absolutas de ésta. Para evitar este problema se utilizan medidas de dispersión estandarizada tal como el coeficiente de variación, que permite hacer comparaciones entre conjuntos de datos basándose en su dispersión. Este coeficiente resulta de dividir la desviación típica por la media; el resultado puede multiplicarse por 100 para convertirlo en porcentaje (Shennan 1992; Blalock 1986)

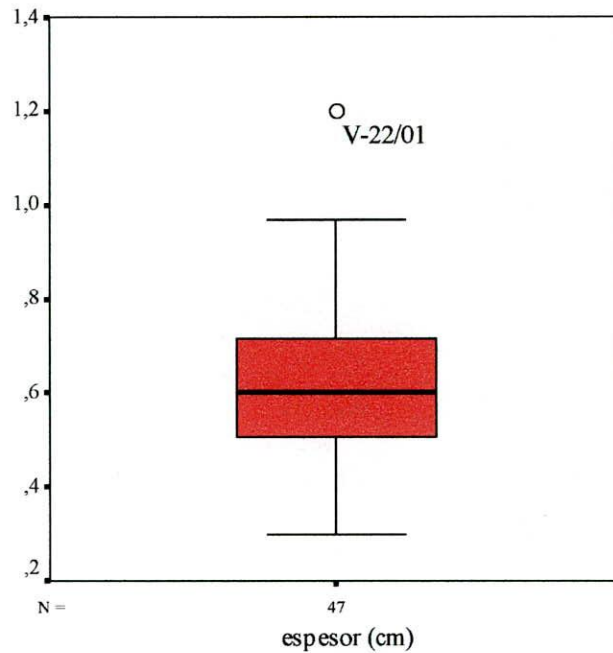


Figura A1.1 b diagrama de caja para la variable espesor (cm)

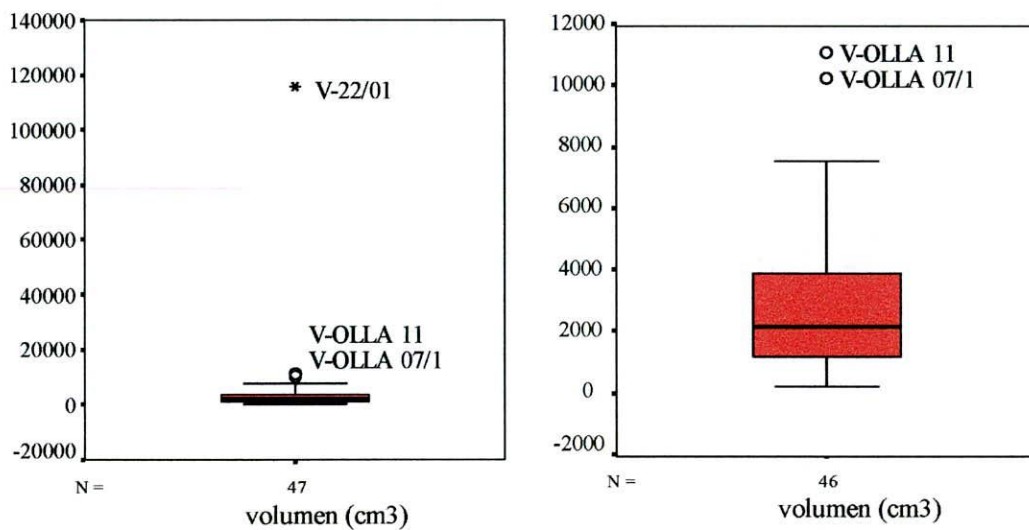


Figura A1.1 c y d diagramas de caja para la variable volumen (cm³) considerando la totalidad de los casos (N=47) –izquierda- y excluyendo el valor extremo V22/01.

Si excluimos el caso extremo conformamos una muestra compuesta por 46 casos. Los resultados de la estadística descriptiva indican que algunas medidas presentan mayor coeficiente de variación (C.V%) que otras –ver Tabla A1.4: el volumen presenta una variación del 87%, seguido por el diámetro de la boca (38%), la altura (31%), el diámetro de la base (25%) y finalmente el espesor (23%). Estas

variaciones podrían estar reflejando diferencias morfológicas resultado de la confección de diferentes clases y/o tamaños de piezas que pudieron responder a distintas necesidades de uso.

Piezas NR y RDS	N	Mínimo	Máximo	Mediana	Media	Desv. típ.	C.V
Diámetro boca (cm)	46	7.2	45.8	20.9	21.08	8.02	0.38
H total (cm)	46	4	18	10.75	10.75	3.29	0.31
Diámetro base (cm)	46	2.62	11.3	7.2	7.16	1.77	0.25
Espesor (cm)	46	0.3	0.97	0.6	0.6	0.14	0.23
Volumen (cm ³)	46	228.2	11071	2139	2802.34	2429.78	0.87

Referencias: NR: no restringido – RDS: restringido dependiente simple

Tabla A1.3 – Estadística descriptiva de variables métricas de piezas sin cuello NR y RDS.

Con el objetivo de evaluar la existencia de distintas formas – independientemente de la clase estructural/contorno de la pieza- se realizó una clasificación de las piezas sin cuello siguiendo los criterios establecidos por Balfet y colegas (Balfet *et al.* 1992), considerando la proporción diámetro de boca/altura total. Las formas identificadas se describen a continuación; en la Figura A1.2 se presentan ejemplos de cada una de ellas y sus frecuencias dentro de la muestra analizada.

- **Vaso/taza:** corresponde a formas abiertas de contornos simples, de paredes verticales o levemente divergentes cuyo diámetro de boca es inferior o igual a 1,5 veces la altura. El diámetro de la boca puede oscilar entre 6 y 15 cm. aproximadamente. Puede o no tener asa.
- **Pucos o cuencos:** corresponde a formas tanto abiertas como cerradas, de paredes levemente divergentes cuyo diámetro de boca es entre 1,5 y 2,5 veces la altura. Pueden presentar contornos simples, compuestos o inflexionados.
- **Escudillas:** corresponde a formas abiertas, de paredes fuertemente divergentes cuyo diámetro de boca es entre 2,5 y 5 veces la altura. Pueden presentar contornos simples, compuestos o inflexionados.

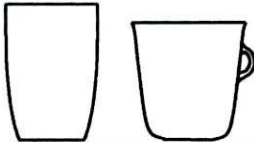
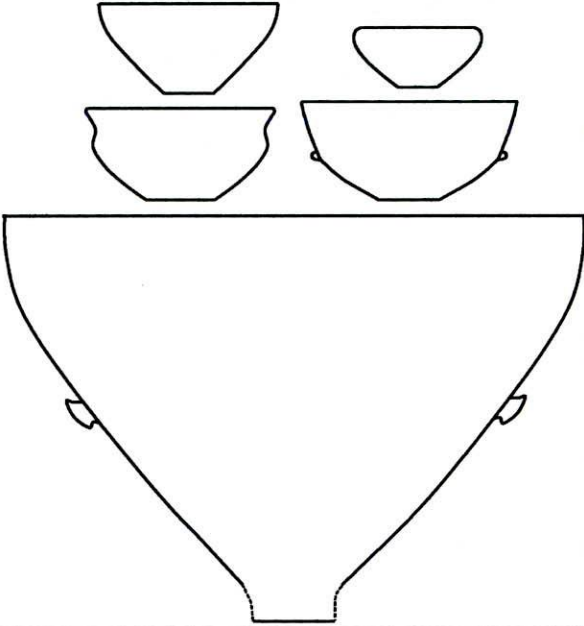
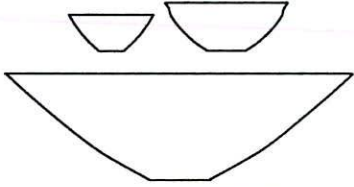
Forma		frecuencia	%
Vaso/Taza		5	10,9
Puco o cuenco		34	73,9
Escudilla		7	15,2
Total		46	100

Figura A1.2. Formas presentes en la muestra de vasijas enteras sin cuello.

La proporción diámetro de boca/altura permite identificar y clasificar las formas de las piezas enteras sin cuello de manera sencilla, sin embargo, cuando se trabaja con piezas parcialmente reconstruidas a partir de fragmentos de bordes y bases, la altura total de la pieza es desconocida, por lo que la designación de forma resulta complicada. Si bien la clasificación realizada por Balfet *et. al* considera las proporciones diámetro boca/altura total, también hace hincapié en la orientación de las paredes de las piezas considerándolas verticales, levemente divergentes o fuertemente divergentes. Sin embargo no definen un criterio para determinar grados de eversión de las paredes. Por ello, y para evaluar la posibilidad de aplicar este criterio a la clasificación de los

fragmentos de borde se consideró el ángulo de eversión de la pared desde la boca – AEP(bo). Este hace referencia al ángulo que resulta de trazar una tangente entre dos puntos determinados en el perfil de la pieza los que variarán en función de los contornos de las vasijas sin cuello:

- En el caso de las piezas sin cuello de contorno no restringido simple dichos puntos serán: (i) la boca y (ii) el punto ubicado tres centímetros por debajo de ésta.
- En el caso de las piezas sin cuello tanto restringidas como no restringidas de contorno compuesto o inflexionado dichos puntos serán. (i) la boca y (ii) el punto ubicado un centímetro por debajo del punto angular o de inflexión.
- En el caso de las piezas sin cuello restringidas de contorno simple dichos puntos serán (i) la boca y (ii) el punto ubicado en el diámetro máximo de la vasija.

La Figura A1.3 presenta el diagrama de caja de la variable AEP(bo) de las piezas sin cuello discriminadas en función de la forma. Puede observarse que:

- las escudillas se diferencian bien del resto de las formas por presentar AEP(bo) inferiores a 65° .
- Los vasos/tazas presentan AEP(bo) de entre 70° y 90° con lo cual su dispersión se superpone con la de los pucos no restringidos, que presentan AEP(bo) entre 67° y 90° . El único caso de puco que presenta AEP(bo) de 90° corresponde a la pieza V22/01, que como ya se indicó anteriormente presenta características excepcionales tanto por su tamaño como por sus condiciones de hallazgo. En este caso, el ángulo de eversión de la pared está afectado precisamente por el gran tamaño de la pieza ya que la pared de este puco comienza a cerrarse 5 cm. por debajo de la boca; para el resto de los pucos las paredes comienzan a cerrarse a uno o dos cm. por debajo de la boca, por lo que en ningún caso el ángulo es de 90° . Teniendo en cuenta estos factores y el hecho de que una de las características de los vasos –además de sus proporciones boca/alto- está dada por un rango de diámetro de boca entre 6 y 15 cm aproximadamente, se considerará los fragmentos de boca de las piezas abiertas sin cuello con diámetro de boca comprendido dentro del rango antes mencionado y AEP(bo) de 90° como pertenecientes al grupo vaso/taza. Para las piezas abiertas comprendidas en el rango de diámetro de boca entre 6 y 15 cm y con ángulos de eversión de la pared entre 68° y 85° la distinción entre pucos y vasos se dificulta,

por lo menos si se trabaja con fragmentos de sólo 3 cm de alto. Si la altura del fragmento es mayor, la identificación es posible ya que en los vasos, la diferencia entre el diámetro de la boca y el diámetro de la base no es demasiado grande, por lo cual las paredes de la vasija no se cierran abruptamente, manteniendo ángulos de eversión relativamente altos, mientras que los pucos, debido a la diferencia entre el diámetro de la boca y el de la base, tienden a cerrarse más abruptamente a medida que se acercan a la base con lo cual el ángulo de eversión será menor que en el caso anterior –ver Figura A1.2.

- Los pucos restringidos presentan AEP(bo) que en todos los casos superan los 90°

Teniendo en cuenta lo anteriormente dicho, consideramos que el ángulo de eversión de la pared es una herramienta útil para poder clasificar las distintas formas en una muestra fragmentaria de bordes de piezas sin cuello, si bien, para algunas clases morfológicas es necesario también tomar en consideración el diámetro de la boca.

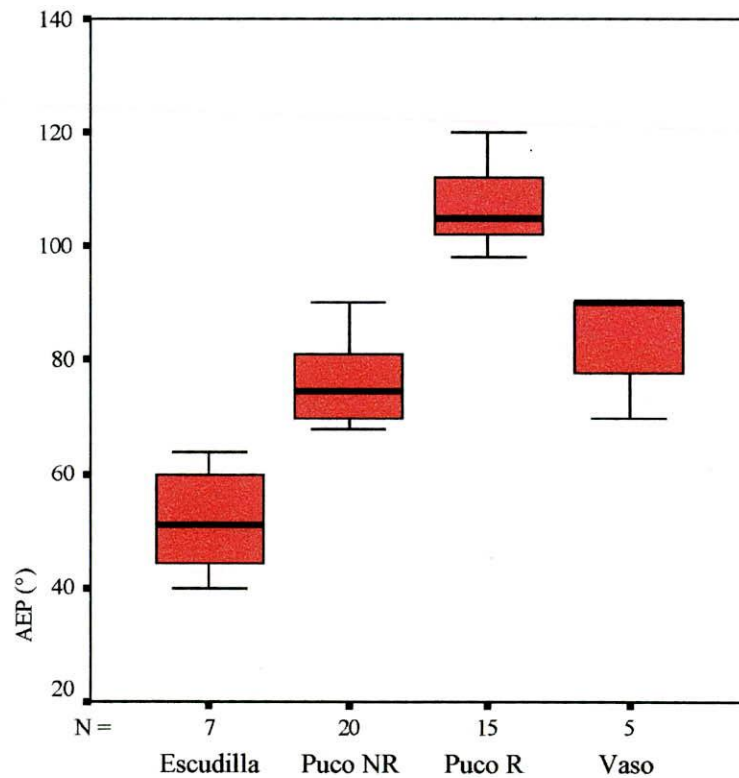


Figura A1.3. Diagrama de dispersión de las variables ángulo de eversión de la pared desde la boca vs. diámetro de la boca para las piezas sin cuello (n=46).

Con el objetivo de obtener información a partir de la muestra fragmentaria de bases, se realizó el mismo procedimiento considerando el ángulo de eversión de la pared a partir de la base AEP(ba) -Ver Figura A1-4- es decir el ángulo que resulta al considerar la tangente entre el diámetro del punto terminal base y el diámetro de la pared medido a tres cm. de la misma. Puede observarse que este criterio no permite identificar formas ya que si bien los rangos de AEP(ba) son menores para los vasos, las demás categorías se superponen.

Finalmente, se analiza la relación entre el diámetro de las vasijas sin cuello y el volumen de las mismas. Debido a los valores extremos que presenta la pieza V22/01 no será considerada en éste análisis, por lo que el número de casos analizado se reduce a 46. La única pieza de estilo incaico registrada está incluida en las correlaciones exceptuando al nivel de adscripción cultural relativa. Este análisis se realiza conjuntamente en distintos niveles, correlacionando las variables tanto a nivel de la sub-muestra general como a nivel del período cultural de referencia de las piezas, su clase estructural/contorno y su adscripción morfológica.

En la Tabla A1.5 se presenta las frecuencias de piezas, la correlación (r) y fuerza de la correlación (r^2) para las variables diámetro de boca/volumen de la vasija para cada uno de los niveles de análisis mencionados. Puede observarse la existencia de una alta correlación positiva entre estas dos variables que se registra en todos los niveles de análisis con fuerzas de correlación superiores al 83% indicando una tendencia muy marcada al aumento del volumen de la pieza a medida que aumenta el diámetro de la boca.

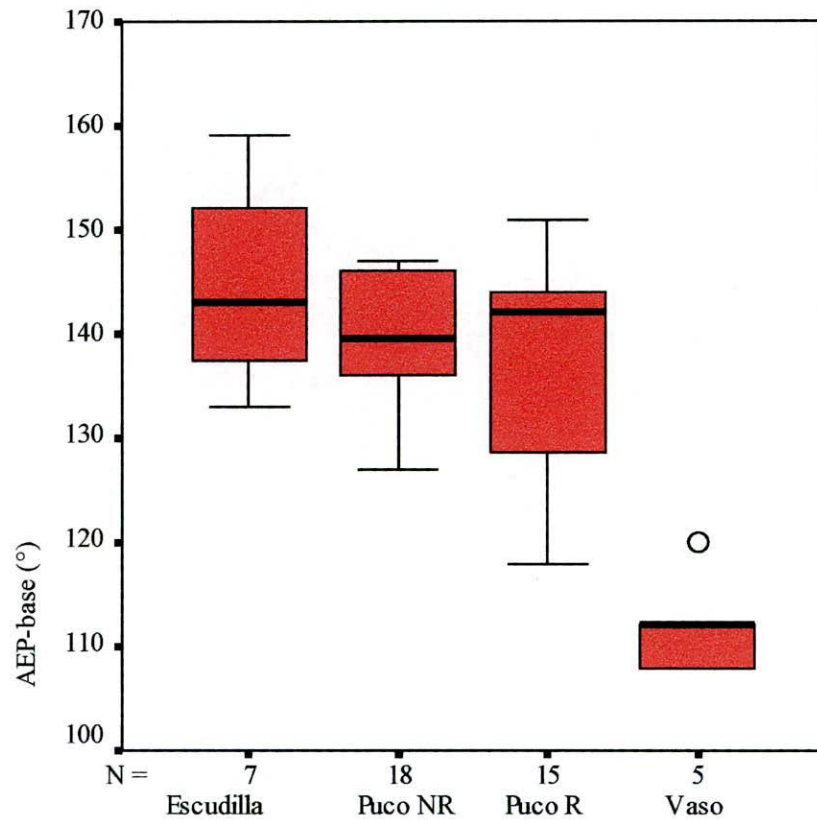


Figura A1-4. Diagrama de dispersión de las variables ángulo de eversión de la pared desde la base vs. diámetro de la base para las piezas sin cuello (n=46).

Correlaciones diámetro boca - volumen	frecuencia	r	r2
Muestra general	46	0,929**	0,863
Piezas del Formativo	18	0,966**	0,933
Piezas del Tardío	27	0,921**	0,85
Piezas NR contorno simple	17	0,93**	0,86
Piezas NR contornos inflexionados y compuestos	14	0,972**	0,94
Piezas RD simple	15	0,953**	0,908
Vaso	5	0,913*	0,83
Puco	34	0,926**	0,857
Escudilla	7	0,953**	0,91

* La correlación es significativa a nivel de 0,05
 ** La correlación es significativa a nivel de 0,01

Tabla A1.5. – Frecuencias de piezas y resultados de correlación y fuerza de la correlación para las variables diámetro de boca / volumen de la pieza de vasijas sin cuello.

La Figura A1.5 presenta la dispersión de las dos variables en donde se han señalado conjuntos de piezas en función de su diámetro de boca y volumen, pudiendo observarse que:

- En todos los casos las vasijas con diámetro de boca inferior o igual a 20 cm presentan volúmenes inferiores a 2000 cm³.

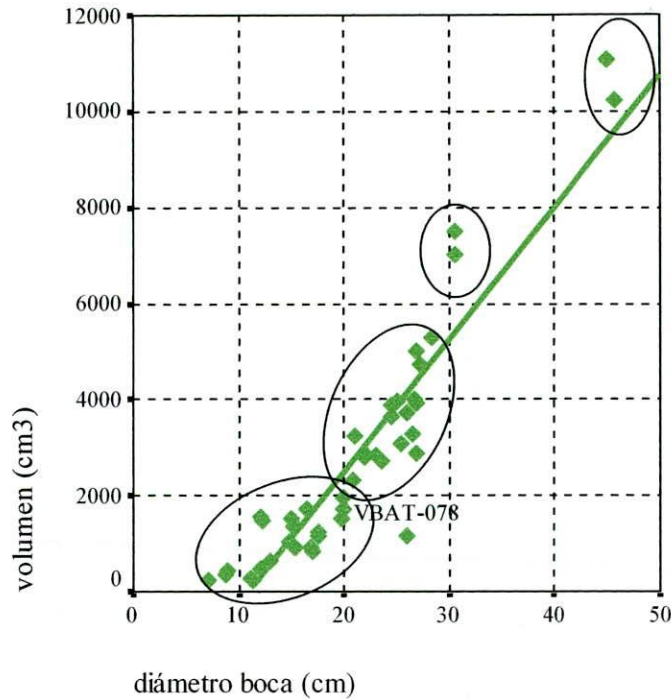


Figura A1.5 Diagrama de dispersión de las variables diámetro de boca/volumen en donde se detallan grupos de tamaño de piezas

- Las piezas con diámetro entre 20,1 y 30 cm (exceptuando una única pieza inca) presentan volúmenes entre 2000 y 6000 cm³
- Las dos vasijas con diámetro de boca entre 30,1 y 40 cm presentan volúmenes mayores a 6000 y menores a 8000 cm³
- Las dos vasijas con diámetro superior a 40,1 cm. presentan volúmenes superiores a 10000 cm³

La fuerte correlación existente entre estas dos variables nos permite estimar rangos de volumen para la muestra de fragmentos de bordes de vasijas sin cuello en función del diámetro de su boca. Lo mismo no resulta posible si consideramos el volumen de la pieza en relación con el diámetro de la base. La Tabla A1.6 presenta las frecuencias de piezas, la correlación (r) y fuerza de la correlación (r^2) para estas dos

variables en cada uno de los niveles de análisis considerados. Puede observarse que si bien existen correlaciones positivas significativas al nivel de 0,01 la fuerza de las mismas es relativamente baja, sin superar el 45% en ningún caso, excepto a nivel del grupo escudilla representado por sólo siete casos. Por lo tanto, si bien se registra una tendencia al aumento del diámetro de la base a medida que aumenta el volumen, el diámetro de la base no constituye un indicador confiable del rango de volumen de la pieza para la muestra fragmentaria.

Correlaciones diámetro base - volumen	<i>f</i>	<i>r</i>	<i>r</i> ²
Muestra general	46	0,601**	0,36
Piezas del Formativo	18	0,668**	0,44
Piezas del Tardío	27	0,606**	0,37
Piezas NR contorno simple	17	0,597**	0,36
Piezas NR contornos inflexionados y compuestos	14	0,574**	0,33
Piezas RD simple	15	0,655**	0,43
Vaso	5	0,837	0,70
Puco	34	0,626**	0,39
Escudilla	7	0,808*	0,65

* La correlación es significativa a nivel de 0,05
 ** La correlación es significativa a nivel de 0,01

Referencias: NR: no restringido – RD: restringido dependiente

Tabla A1.6 – Frecuencias de piezas y resultados de correlación y fuerza de la correlación para las variables diámetro de base / volumen de la pieza.

B-ANÁLISIS MORFOMÉTRICO DE LAS VASIJAS CON CUELLO

El conjunto de vasijas enteras con cuello (n=50) corresponde en su mayoría a piezas de contorno compuesto entre las que predominan los estilos del PDR, (principalmente Belén) y pocas piezas del Formativo. Le siguen las vasijas de contorno inflexionado, entre las que están presentes todos los estilos identificados en la muestra, predominando las de adscripción al PDR. Por su parte los contornos compuestos son casi en su totalidad de estilo Belén, excepto un caso de estilo Ciénaga -ver Tabla A1.7

Piezas con cuello – clase restringida independiente				
Tipo cerámico	Contorno			Total
	inflexionado	compuesto	complejo	
Saujil	1	0	0	1
Ciénaga	1	0	1	2
Aguada	2	4	0	6
Formativo n/d fino	1	0	0	1
Formativo n/d grueso	2	2	0	4
Belén	2	14	10	26
Sanagasta	6	1	0	7
Tardío indeterminado	3	0	0	3
Total	18	21	11	50

Tabla A1.7- Frecuencias de piezas con cuello (clase restringida independiente) en función de su contorno y tipo cerámico.

En la Tabla A1.8 se presenta la estadística descriptiva de las variables métricas seleccionadas; por su parte, en los diagramas de caja reproducidos en las Figuras A1.6 a, b, c y d se grafican los valores de la mediana, el rango intercuartil, los valores atípicos y los casos extremos de variables individuales para cada variable métrica en función de las unidades de medida de los datos (cm, grados o cm^3). A partir del análisis de estos resultados puede decirse que:

Piezas restringidas independientes	N	Mínimo	Máximo	Mediana	Media	Desv. típ.	C.V.
Diámetro boca (cm)	50	6.2	48	29.25	25.9	10.21	0.39
H total (cm)	50	6.6	82	29.75	29.18	13.95	0.48
Diámetro base (cm)	45*	3.6	13	9.5	8.93	2.25	0.25
Espesor (cm)	50	0.42	1	0.7	0.71	0.15	0.21
Volumen (cm^3)	50	186.5	168362	13431	19183.8	26273.8	1.37

* cinco de las piezas presentan bases cónicas y/o cóncavas por lo cual no es posible determinar su diámetro

Tabla A1.8. Estadística descriptiva de variables métricas de piezas con cuello.

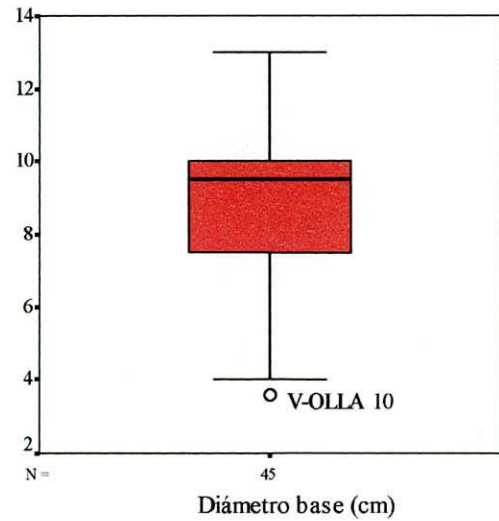
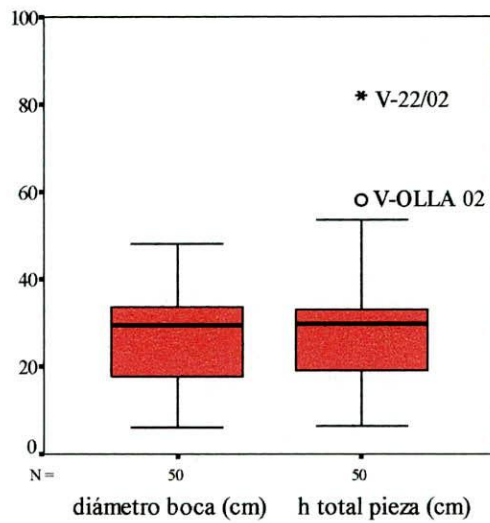


Figura A1.6 a – Diagramas de caja para las variables diámetro de boca y altura total de la pieza

Figura A1.6 b – Diagrama de caja para la variable diámetro de base

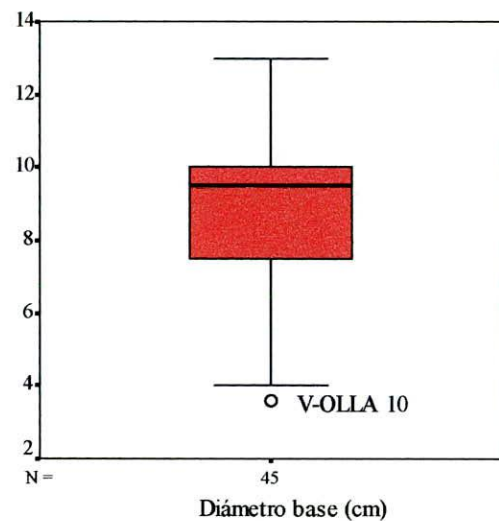
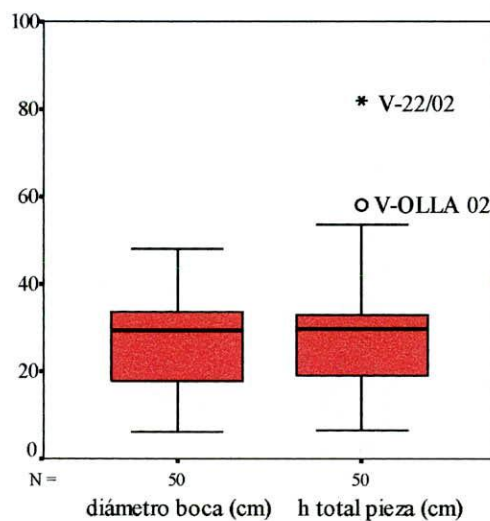


Figura A1.6 c – Diagrama de caja para la variable espesor

Figura A1.6 d – Diagrama de caja para la variable volumen

- Diámetro de la boca: presenta distribución trimodal, sin casos por fuera del rango de la dispersión central con asimetría negativa (-0,446).
- Altura de la pieza: presenta asimetría positiva (1,13) y con dos casos por fuera del rango de la dispersión central (4%) correspondientes a un caso atípico (V-olla 2/2) y un caso extremo (V-22/02) cuya altura es mucho mayor que las restantes.

- Diámetro de la base: presenta distribución normal con asimetría negativa (-0,708) presenta un caso atípico (V-olla) cuyo diámetro de base es menor que las restantes.
- Espesor: presenta distribución normal sin valores atípicos ni extremos.
- Volumen: no presenta distribución normal presentando cuatro casos por fuera de la dispersión central (8%). Estos corresponden a dos casos extremos (V22/2 y V-olla 2) y dos casos atípicos (V-olla 12/2 y V-olla 16).
- La vasija V22-02 constituye un caso particular presentando valores extremos para la altura y el volumen y constituye el contenedor del entierro del Bebé de La Troya antes mencionado.

Con el objetivo de evaluar la existencia de distintas formas – independientemente de la clase estructural/contorno de la pieza²– se realizó una clasificación de las piezas con cuello siguiendo los criterios establecidos por Balfet y colegas (Balfet *et al.* 1992). Este criterio considera la relación entre el diámetro máximo y el diámetro mínimo de las vasijas, resultando en dos clases morfológicas mayores y sus respectivas variantes. La primera clase corresponde a las ollas, cuyo diámetro mínimo es igual o superior a un tercio del diámetro máximo. La segunda clase corresponde a las botellas, cuyo diámetro mínimo es inferior a un tercio del diámetro máximo. La aplicación de estos criterios permitió identificar una sola forma dentro de la muestra, el correspondiente a las ollas, con una variedad dentro del conjunto clasificable como jarro (olla pequeña con asa). Lamentablemente esta clasificación no nos dice mucho acerca de las diferencias morfológicas dentro del grupo de ollas. Por este motivo se decidió generar una clasificación más fina basándose en la relación entre el **diámetro de la boca** y el **diámetro máximo del cuerpo** de las piezas clasificadas como olla. Como resultado se pudieron identificar tres grupos de ollas que se describen a continuación. En la Figura A1.7 se presentan ejemplos de los grupos morfológicos identificados y se señala la frecuencia y porcentaje de las mismas presentes en la muestra.

² Las piezas de contorno complejo presentan más de un punto característico, ya sea angular o de inflexión o la combinación de ambos; debido a que en la muestra fragmentaria de bordes generalmente se presenta un solo punto característico (asociado al cuello) no es posible clasificarlas como de contorno complejo. Por este motivo se decidió unir las piezas enteras complejas a las piezas de contorno compuesto o inflexionado, dependiendo del tipo de punto característico asociado al cuello.

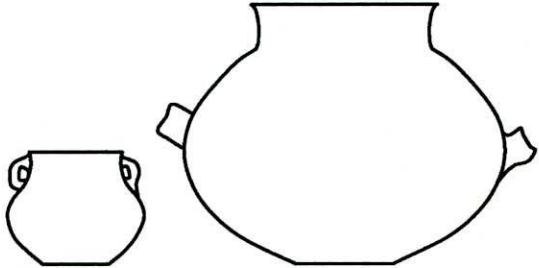
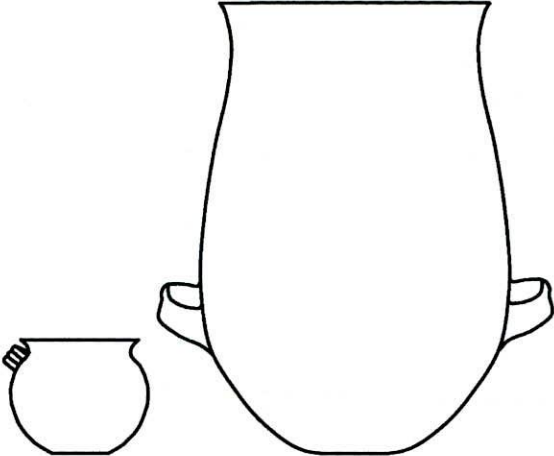
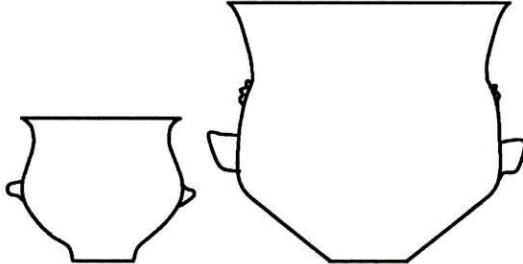
Forma		frecuencia	%
Olla A		15	30
Olla B		9	18
Jarra (olla B)		2	4
Olla C		24	48
Total		50	100

Figura A1.7. Clases morfológicas y variantes presentes en la muestra de vasijas enteras con cuello.

Ollas: vasija cerrada, con o sin cuello, cuyo diámetro mínimo es igual o superior a un tercio del diámetro máximo.

- **Olla (a):** corresponde a piezas fuertemente restringidas en donde el diámetro máximo del cuerpo superior o igual a 1,25 veces el diámetro de la boca.
- **Olla (b):** corresponde a piezas en donde el diámetro máximo del cuerpo es superior a 1 e inferior a 1,25 veces el tamaño de la boca. Dentro de este conjunto se identificó la **variante: Jarra:** Olla pequeña con un asa, de dimensión pequeña a mediana, con o sin vertedera, de contorno compuesto o inflexionado. Diámetro de boca inferior a 15 cm.
- **Olla (c):** corresponde a piezas en donde el diámetro máximo del cuerpo es igual o menor a al diámetro de la boca.

Para la muestra fragmentaria de vasijas con cuello, en la mayoría de los casos no es posible contar con la dimensión del diámetro máximo de la pieza, es por esto que se decidió analizar el ángulo resultante al trazar una tangente entre el diámetro del punto terminal boca y el diámetro de la pieza 3 cm. por debajo del punto característico que marca la base del cuello (ya sea este un punto angular o de inflexión) al que también denominaremos AEP(bo). En estos puntos característicos se produce la división entre el cuello y el cuerpo y comienza a delinearse el diámetro máximo de ésta última porción de la pieza.

En la Figura A1.8 se presenta la dispersión de la variable AEP(bo). Puede observarse que independientemente del diámetro de boca los tres tipos de olla identificados entre las piezas completas se diferencian entre sí en función del ángulo de eversión de la pared tal como fue definido previamente. Las ollas A presentan AEP(bo) mayores o iguales a 100° , por su parte las de tipo B son menores a 100° y mayores a 90° mientras que las de tipo C son inferiores a 90° . Teniendo en cuenta lo anteriormente dicho, consideramos que el ángulo de eversión de la pared calculado entre el diámetro de la boca y el diámetro a 3 cm por debajo de la base del cuello constituye una herramienta útil para poder clasificar distintos grupos morfológicos de piezas con cuello en la muestra fragmentaria de bordes.

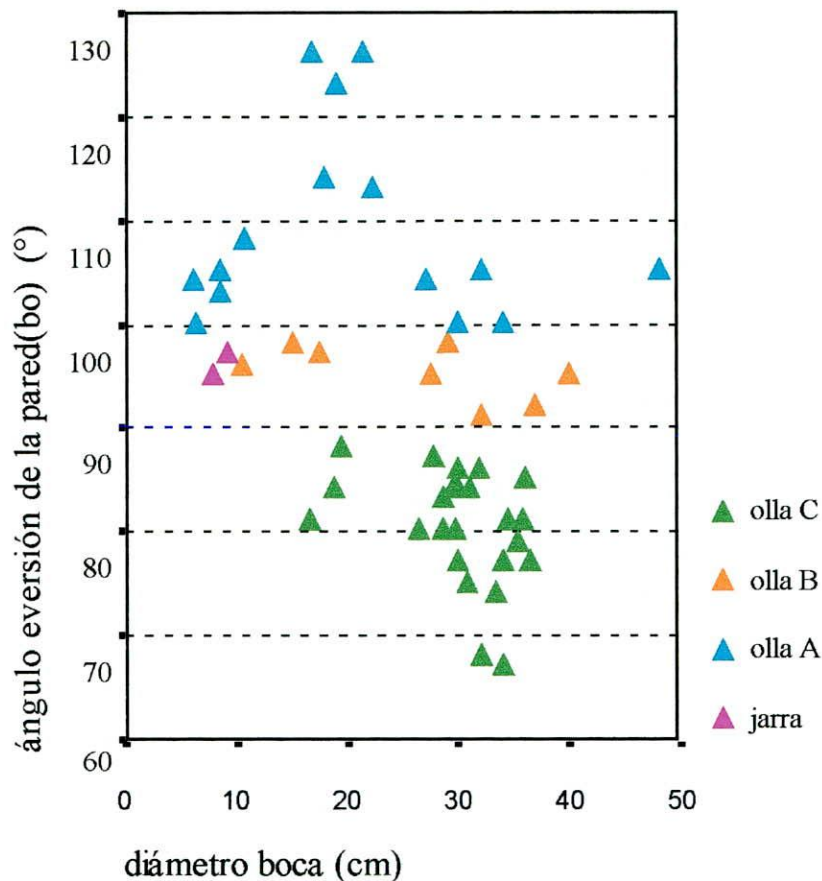


Figura A1.8 Diagrama de dispersión de las variables ángulo de eversión de la pared desde la boca vs. diámetro de la boca para las piezas con cuello (n=50).

Si para el mismo conjunto de piezas consideramos el ángulo de eversión de la pared a partir de la base veremos, al igual que lo sucedido con las vasijas sin cuello, que las categorías se superponen por que no es posible identificar grupos morfológicos utilizando esta medida –ver Figura A1.10.

Finalmente, analizamos la relación existente entre el diámetro de las vasijas con cuello y su volumen. Debido a los valores extremos que presenta la pieza V22/02 no será considerada en éste análisis, por lo que el número de casos analizado se reduce a 49. Este análisis se realiza conjuntamente en distintos niveles, correlacionando las variables tanto a nivel de la sub-muestra general como a nivel del período cultural de referencia de las piezas, su clase estructural/contorno y su adscripción morfológica.

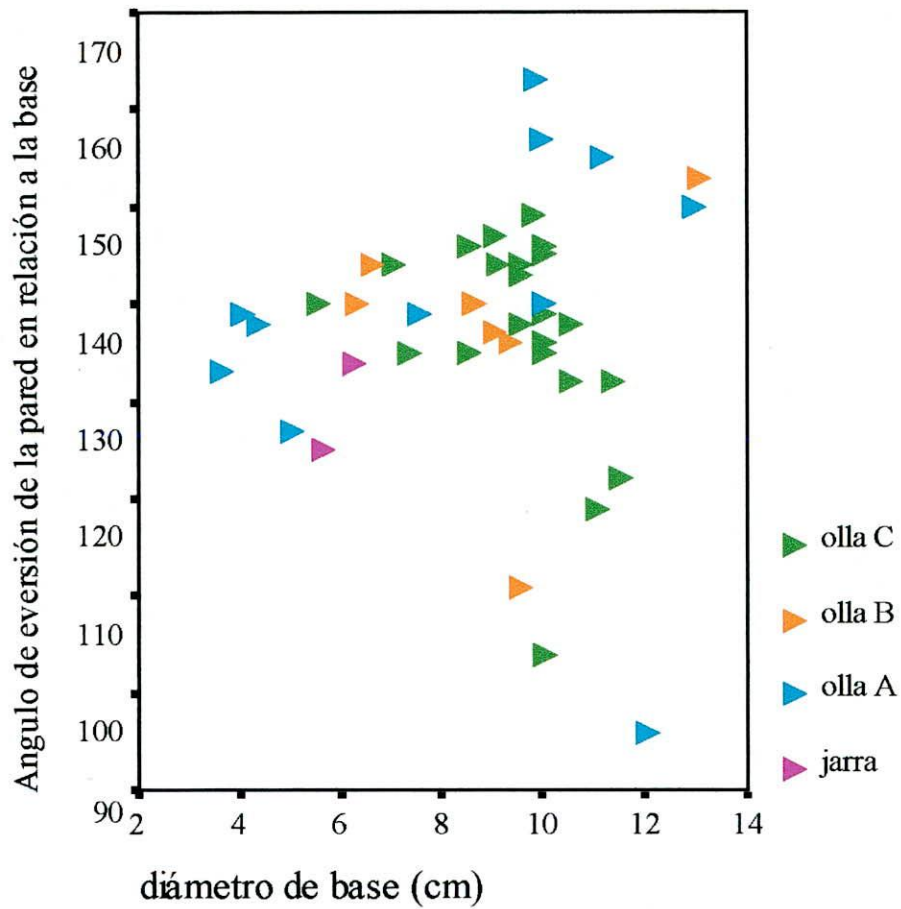


Figura A1.9. Diagrama de dispersión de las variables ángulo de eversion de la pared en relación a la base vs. diámetro de la base para las piezas con cuello (n=50).

En la Tabla A1.9 se presenta las frecuencias de piezas, la correlación (r) y fuerza de la correlación (r^2) para las variables diámetro de boca/volumen de la vasija para cada uno de los niveles de análisis mencionados. A nivel de la muestra general la fuerza de la correlación es relativamente baja, sin embargo si se considera a las piezas en función de su adscripción morfológica, la fuerza de la correlación aumenta considerablemente. Por este motivo se considerará este criterio para estimar volumen a partir del diámetro de la boca en la muestra fragmentaria.

Correlaciones diámetro boca - volumen			
Piezas con cuello	<i>f</i>	<i>r</i>	<i>r</i> ²
Muestra general	49	0,573**	0,328
Piezas Formativas	14	0,707**	0,808
Piezas Tardías	35	0,743**	0,552
Piezas de contorno inflexionado	18	0,770**	0,592
Piezas de contorno compuesto/complejo	31	0,26	0,068
Ollas (a)	16	0,894**	0,779
Ollas (b)	9	0,892**	0,796
Ollas (c)	24	0,964**	0,929

* La correlación es significativa a nivel de 0,05

** La correlación es significativa a nivel de 0,01

Tabla A1.9- Frecuencias de piezas y resultados del análisis de correlación (*r*) y fuerza de la correlación (*r*²) para las variables diámetro de boca / volumen de la pieza para vasijas con cuello.

En las Figuras A1.10 a y b se presenta la dispersión de estas dos variables en función de variantes morfológicas de las ollas. En el gráfico se han señalado conjuntos de piezas en discriminados en función de su diámetro de boca y volumen. Puede observarse que existen diferencias en estas proporciones entre las ollas A por un lado y las B y C por otro.

Para las ollas A:

- En todos los casos las vasijas con diámetro de boca inferior a 15 cm presentan volúmenes inferiores a 6000 cm³.
- Las piezas con diámetro entre 15,1 y 20 cm presentan volúmenes entre 6000 y 20000 cm³
- Las vasijas con diámetro de boca mayor a 20 cm presentan volúmenes mayores a 20000 cm³

Mientras que para las ollas B y C:

- En todos los casos las vasijas con diámetro de boca inferior a 20 cm presentan volúmenes inferiores a 6000 cm³.
- Las piezas con diámetro entre 20,1 y 29,9 cm presentan volúmenes entre 6000 y 12000 cm³
- Las vasijas con diámetro de boca mayor a 30 cm presentan volúmenes mayores a 12000 cm³

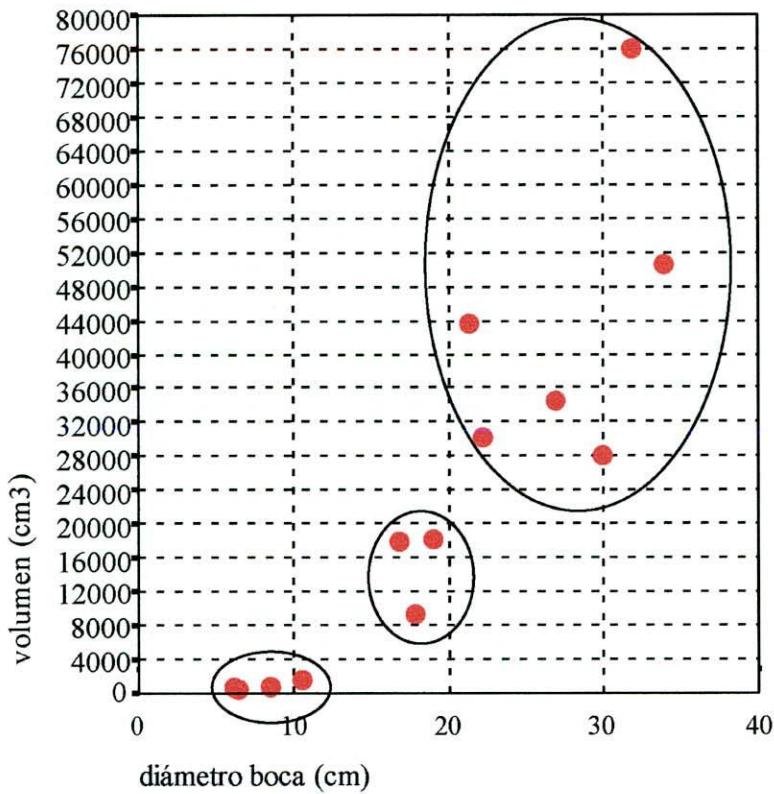


Figura A1.10 a
 Diagrama de dispersión de las variables diámetro de boca/volumen en donde se detallan grupos de tamaño de las ollas tipo (a)

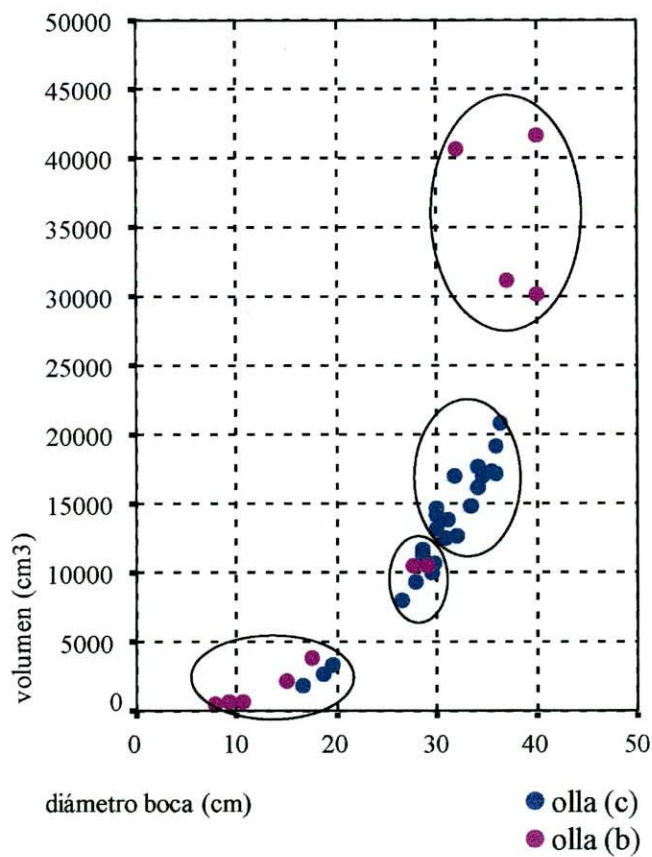


Figura A1.10 b-
 Diagrama de dispersión de las variables diámetro de boca/volumen en donde se detallan grupos de tamaño de las ollas tipo (b) y (c)

Por lo tanto, la correlación existente entre estas dos variables registradas en la sub-muestra a nivel de la adscripción morfológica A, B o C nos permite estimar rangos de volumen para la muestra de fragmentos de bordes de vasijas con cuello en función del diámetro de su boca. Lo mismo no resulta posible si consideramos el volumen de la pieza en relación con el diámetro de la base. La Tabla A1.10 presenta las frecuencias de piezas, la correlación (r) y fuerza de la correlación (r^2) para estas dos variables en cada uno de los niveles de análisis considerados. Puede observarse que si bien existen correlaciones positivas significativas al nivel de 0,01 la fuerza de las mismas es relativamente baja, superando el 50% solamente para las ollas B y C. Por lo tanto, si bien se registra una tendencia al aumento del diámetro de la base a medida que aumenta el volumen, el diámetro de la base no constituye un indicador confiable del rango de volumen de la pieza para las muestras fragmentarias.

Correlaciones diámetro base - volumen			
Piezas con cuello	<i>f</i>	<i>r</i>	<i>r</i> ²
Muestra general	44	0,622**	0,387
Piezas Formativas	11	0,707*	0,4998
Piezas Tardías	33	0,551**	0,303
Piezas de contorno inflexionado	14	0,819**	0,67
Piezas de contorno compuesto/complejo	29	0,384*	0,1475
Ollas (a)	11	0,629*	0,396
Ollas (b)	9	0,837**	0,700
Ollas (c)	24	0,772**	0,596

* La correlación es significativa a nivel de 0,05
 ** La correlación es significativa a nivel de 0,01

Tabla A1.10. Frecuencias de piezas y resultados del análisis correlación (r) y fuerza de la correlación (r^2) para las variables diámetro de base / volumen de la pieza para vasijas con cuello

Hasta aquí hemos analizado las características morfo-métricas de las piezas enteras. En la Tabla A1.11 se presenta un resumen de los resultados obtenidos en donde se expresan los criterios que fueron utilizados para la clasificación y análisis de la muestra de piezas parcialmente reconstruidas en función de sus bordes y bases.

Vasijas sin cuello	AEP \leq 65°	Diám. boca (cm) Volumen (cm ³) Forma Capacidad	≤ 20 < 2000 Escudilla muy baja	$> 20 \leq 30$ > 2000 < 6000 Escudilla baja	$> 30 \leq 40$ > 6000 < 10000 Escudilla media	> 40 > 10000 Escudilla alta		
	AEP > 65° < 89°	Diám. boca (cm) Volumen (cm ³) Forma Capacidad	< 15 < 2000 Vaso o puco muy baja	$> 15 < 20$ < 2000 Puco muy baja	$> 20 \leq 30$ > 2000 < 6000 Puco baja	$> 30 \leq 40$ > 6000 < 10000 Puco media	> 40 > 10000 Puco alta	
	AEP = 90°	Diám. boca (cm) Volumen (cm ³) Forma Capacidad	< 15 < 2000 Vaso muy baja					
	AEP > 90°	Diám. boca (cm) Volumen (cm ³) Forma Capacidad	≤ 20 < 2000 Puco muy baja	$> 20 \leq 30$ > 2000 < 6000 Puco baja	$> 30 \leq 40$ > 6000 < 10000 Puco media	> 40 > 10000 Puco alta		
Vasijas con cuello	AEC >90° < 100°	Diám. boca (cm) Volumen (cm ³) Forma Capacidad	≤ 20 < 6000 olla (b) muy baja/baja	$> 20 < 30$ > 6000 < 12000 olla (b) media/alta	> 30 > 12000 olla (b) muy alta/altísima			
	AEP \leq 90°	Diám. boca (cm) Volumen (cm ³) Forma Capacidad	≤ 20 < 6000 olla (c) muy baja/baja	$> 20 < 30$ > 6000 < 12000 olla (c) media/alta	> 30 > 12000 olla (c) muy alta/altísima			
	AEP \geq 100°	Diám. boca (cm) Volumen (cm ³) Forma Capacidad	< 15 < 6000 olla (a) muy baja/baja	$> 15 < 20$ > 6000 < 20000 olla (a) media/alta/muy alta	> 20 > 20000 olla (a) muy alta/altísima			

Tabla A1.11. Criterios métricos para la determinación de formas y capacidad (volumen) de piezas cerámicas.

1.2 - PERFILES DE PIEZAS Y BASE DE DATOS MORFOMÉTRICA DE LA MUESTRA DE PIEZAS ENTERAS

Referencias:

Grupo morfológico: ver Apéndice 1.1

Base: forma de la base –ver Capítulo 5

Variables métricas: -ver Capítulo 5

Ø base: diámetro de la base (cm)

AEP base: ángulo de eversión de la pared desde la base (°)

Ø boca: diámetro de la boca (cm)

Áng. Borde: ángulo de borde (°)

AEP: ángulo de eversión de la pared (°)

Ø PC: diámetro al punto característico (cm)

h PC: altura al punto característico (cm)

Ø Máx: diámetro máximo (cm)

h Ø Máx: altura al diámetro máximo (cm)

Ø Mín: diámetro mínimo (cm)

h Ø Mín: altura al diámetro mínimo (cm)

H: altura total de la pieza (cm)

Esp: espesor (cm)

Volumen: volumen total de la pieza (cm³)

Ø b/H: razón entre el diámetro de la boca y la altura total de la pieza

Ø máx/ Ø boca: razón entre el diámetro máximo y el diámetro de la boca

Ø mín/ Ø máx: razón entre el diámetro mínimo y el diámetro máximo

Tipo cerámico: -ver Capítulo 3

Grupo de pasta: variante del grupo de pasta –ver capítulo 5 y 6

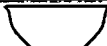
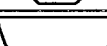
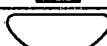
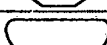
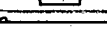
ET: estilo tecnológico –ver Capítulo 11

Apéndice 1

	Sigla	Procedencia	Eco-zona	grupo morfo	base	Ø base	AEP- base	Ø boca	ang borde
	V-22/06	La Troya	Valle bajo	Es-NRI	cóncavo-convexa	5,5	140	17	51
	Ho-16189	El Horno	Valle alto	Es-NRS	plana	4,11	135	11,1	75
	Ho-16204	El Horno	Valle alto	Es-NRS	plana	3,28	133	11,3	59
	VBAT-078	Batungasta	Valle bajo	Es-NRS	plana	7,3	153	26	55
	PB-16215	Palo Blanco	Valle alto	Es-NRS	plana	7,5	159	27	90
	V-OLLA 11	La Troya	Valle bajo	Es-NRS	cóncavo-convexa	9,56	143	45,1	43
	V-OLLA 07/1	La Troya	Valle bajo	Es-NRS	cóncavo-convexa	8,04	151	45,8	42
	V-22/05	Bebé de La Troya	Valle bajo	Pu-NRI	cóncavo-convexa	6,7	132	17,5	60
	FJP-T1 05	Finca Justo Pereyra	Valle alto	Pu-NRI	cóncavo-convexa	8,5	136	20	55
	BY-F2	Las Champas	Valle medio	Pu-NRI	cóncavo-convexa	9,5	146	24,5	56
	BY-F1	Las Champas	Valle medio	Pu-NRI	cóncavo-convexa	8	136	24,5	67
	FJP-T1 06	Finca Justo Pereyra	Valle alto	Pu-NRI	cóncavo-convexa	7	143	25,5	48
	FJP-T2 01	Finca Justo Pereyra	Valle alto	Pu-NRI	cóncavo-convexa	7	141	27	50
	Ho-16186	El Horno	Valle alto	Pu-NRS	cóncava	2,62	n/p	12	90
	It-15216	Ista-taco	Valle alto	Pu-NRS	plana	5,3	131	17,5	85
	FJP-T1 07	Finca Justo Pereyra	Valle alto	Pu-NRS	cóncavo-convexa	7,7	137	19,7	87
	FJP-T1 08	Finca Justo Pereyra	Valle alto	Pu-NRS	cóncavo-convexa	6,8	136	23,7	83
	CC-02	Localidad Mishma	Valle medio	Pu-NRS	cóncavo-convexa	8	147	26,6	83
	FJP-T2 02	Finca Justo Pereyra	Valle alto	Pu-NRS	cóncavo-convexa	9	140	26,8	90
	V-22/01	La Troya	Valle bajo	Pu-NRS	cóncavo-convexa	11	s/d	76,5	90

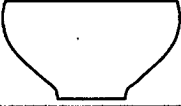
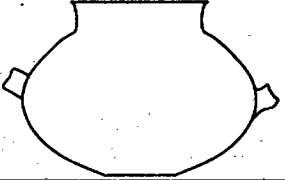
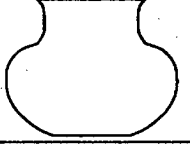
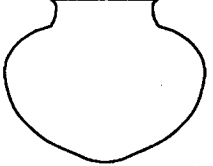
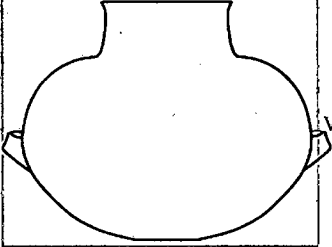
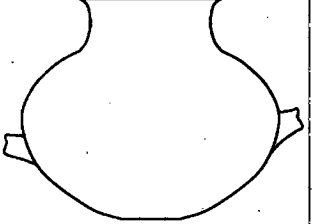
Apéndice 1

Sigla	AEP	Ø PC	h pc	Ø		h		H	esp.	volumen (cm ³)	Tipo cerámico	Ømax/ Ømin/		Grupo pasta	ET	
				max	Ømax	min	Ømin					Øb / h	Øboca			Ømáx
V-22/06	58	n/p	n/p	17	0	n/p	n/p	6,6	0,5	837	Belén	2,58	1	n/p	s/d	s/d
Ho-16189	62	n/p	n/p	11,1	0	n/p	n/p	4	0,5	283,7	Saujil	2,78	1	n/p	s/d	s/d
Ho-16204	51	n/p	n/p	11,3	0	n/p	n/p	4,5	0,5	240	Saujil	2,51	1	n/p	s/d	s/d
VBAT-078	47	n/p	n/p	26	0	n/p	n/p	7,5	0,51	1170	Inka	3,47	1	n/p	VII(B)	I
PB-16215	64	n/p	n/p	27	0	n/p	n/p	8,4	0,6	2904	Ftivo. fino	3,21	1	n/p	s/d	s/d
V-OLLA 11	42	n/p	n/p	45,1	0	n/p	n/p	14,9	0,7	11071	Ftivo. fino	3,03	1	n/p	II(A)	D-II
V-OLLA 07/11	40	n/p	n/p	45,8	0	n/p	n/p	13,8	0,78	10240	Ftivo. fino	3,33	1	n/p	I(A)	A-III
V-22/05	60	14	3,5	17,5	0	n/p	n/p	9	0,4	1244	Belén	1,94	1	n/p	s/d	s/d
FJP-T1 05	70	18,2	3,4	20	0	n/p	n/p	9,4	0,72	1716	Belén	2,13	1	n/p	s/d	s/d
BY-F2	68	22,5	4	24,5	0	n/p	n/p	12	0,72	3635	Belén	2,04	1	n/p	I-C	B-III
BY-F1	85	24	2,5	24,5	0	n/p	n/p	13	0,62	3892	Belén	1,88	1	n/p	I(B)	B-III
FJP-T1 06	74	23,4	2	25,5	0	n/p	n/p	12	0,72	3109	Belén	2,13	1	n/p	s/d	s/d
FJP-T2 01	69	24,8	2,4	27	0	n/p	n/p	12,5	0,52	3930	Belén	2,16	1	n/p	s/d	s/d
Ho-16186	83	n/p	n/p	12	0	n/p	n/p	8	0,97	465	Sanagasta	1,5	1	n/p	I(A)	B-II
It-15216	75	n/p	n/p	17,5	0	n/p	n/p	7,3	0,55	1170	Belén	2,4	1	n/p	s/d	s/d
FJP-T1 07	72	n/p	n/p	19,7	0	n/p	n/p	8,7	0,73	1524	Belén	2,26	1	n/p	s/d	s/d
FJP-T1 08	76	n/p	n/p	23,7	0	n/p	n/p	11,8	0,8	2746	Belén	2,01	1	n/p	s/d	s/d
CC-02	75	n/p	n/p	26,6	0	n/p	n/p	10,2	0,6	3310	Aguada	2,47	1	n/p	s/d	s/d
FJP-T2 02	81	n/p	n/p	26,8	0	n/p	n/p	12	0,8	3997	Belén	2,23	1	n/p	s/d	s/d
V-22/01	90	n/p	n/p	76,5	0	n/p	n/p	52	1,2	115832	Sanagasta	1,47	1	n/p	VIII(B)	J

	Siala	Procedencia	Eco-zona	grupo morfo	base	Ø base	AEP- base	Ø boca	ang borde
	V-OLLA 07/3	Ollas Vialmani	Valle bajo	Pu-NRC	cóncavo-convexa	4,83	147	15,4	90
	V-22/04	La Troya	Valle bajo	Pu-NRC	cóncavo-convexa	7,7	127	16,8	61
	MH-0006	?	Tinogasta	Pu-NRC	cóncavo-convexo	7	141	20	76
	It-15183	Ista-taco	Valle alto	Pu-NRC	cóncavo-convexa	9	134	22	59
	MH-0007	?	Tinogasta	Pu-NRC	cóncavo-convexo	7	146	26	72
	FJP-T3 05	Finca Justo Pereyra	Valle alto	Pu-NRC	cóncavo-convexa	9	139	27,3	56
	PC-006	Punta Colorada	Valle medio	Pu-NRC	cóncavo-convexa	8,2	147	28,5	75
	It-16263	Ista-taco	Valle alto	Pu-RDS	cóncavo-convexa	6	131	8,7	140
	It-15185	Ista-taco	Valle alto	Pu-RDS	cóncavo-convexa	7,1	120	13	108
	PB-CG P3	Los Horcones	Pre-cordillera	Pu-RDS	cóncavo-convexa	5,13	143	14,8	132
	PB-CG P2	Los Horcones	Pre-cordillera	Pu-RDS	cóncavo-convexa	6,35	141	15,3	131
	CC F15	Localidad Mishma	Valle medio	Pu-RDS	cóncavo-convexa	7,5	137	15,3	128
	Ho-15181	El Horno	Valle alto	Pu-RDS	cóncavo-convexa	6,5	126	16,5	123
	FJP-T1 09	Finca Justo Pereyra	Valle alto	Pu-RDS	cóncavo-convexa	7	143	20,8	112
	FJP-T3 04	Finca Justo Pereyra	Valle alto	Pu-RDS	cóncavo-convexa	6,7	142	21	120
	FJP-T2 03	Finca Justo Pereyra	Valle alto	Pu-RDS	cóncavo-convexa	7,5	144	22	104
	FJP-T2 04	Finca Justo Pereyra	Valle alto	Pu-RDS	cóncavo-convexa	8,6	147	23	109
	FJP-T3 02	Finca Justo Pereyra	Valle alto	Pu-RDS	cóncavo-convexa	7,5	144	25	112
	PBNH6-N-43-01	Palo Blanco	Valle alto	Pu-RDS	cóncavo-convexa	7,8	150	26,5	127
	Md-15200	Medanitos	Valle alto	Pu-RDS	cóncavo-convexa	9,5	151	27	101
	Tumhuaq2-12	Guanchin	Valle medio	Pu-RDS	cóncavo-convexa	6,5	123	30,5	103

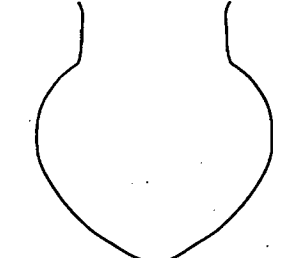
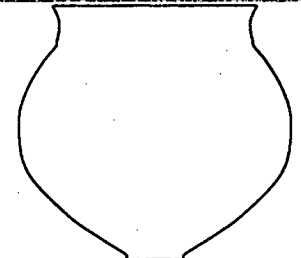
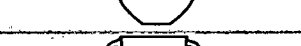
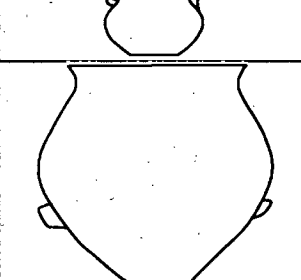
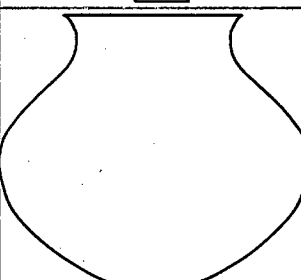
Apéndice 1

Sigla	AEP	Ø PC	h pc	Ø max	h Ømax	Ø min	h Ømin	H	esp.	volumen (cm3)	Tipo cerámico	Øb / h	Ømax/ Øboca	Ømin/ Ømáx	Grupo pasta	ET
V-OLLA 07/3	84	12,8	3,5	15,4	0	n/p	n/p	6,79	0,4	936	Ciénaga	2,27	1	n/p	I(A)	A-IV
V-22/04	70	13,6	4	16,8	0	n/p	n/p	8,5	0,4	935,2	Belén	1,98	1	n/p	s/d	s/d
MH-0006	75	17,2	5,4	20	0	n/p	n/p	10	0,5	1968	Ciénaga	2	1	n/p	s/d	s/d
It-15183	69	19,5	7,4	22	0	n/p	n/p	13,3	0,73	2885	Belén	1,65	1	n/p	s/d	s/d
MH-0007	70	20,6	7,4	26	0	n/p	n/p	12	0,5	3743	Aguada	2,17	1	n/p	s/d	s/d
FJP-T3 05	81	26,8	2,5	27,3	0	n/p	n/p	13,5	0,6	4734	Belén	2,02	1	n/p	s/d	s/d
PC-006	69	23,2	7,7	28,5	0	n/p	n/p	13	0,5	5304	Aguada	2,19	1	n/p	I(A)	A-II
It-16263	120	11,5	2,1	11,5	2,1	n/p	n/p	6	0,72	379,6	Td. Indet.	1,45	1,32	n/p	s/d	s/d
It-15185	103	13,8	1,4	13,8	1,4	n/p	n/p	7,4	0,61	629	Belén	1,76	1,06	n/p	s/d	s/d
PB-CG P3	119	16,9	1,85	16,9	1,85	n/p	n/p	7,92	0,6	1029	Aguada	1,87	1,14	n/p	s/d	s/d
PB-CG P2	119	17,5	1,85	17,5	1,85	n/p	n/p	9,52	0,6	1373	Aguada	1,6	1,15	n/p	s/d	s/d
CC F15	112	17	2,15	17	2,15	n/p	n/p	9,15	0,6	1352	Sanagasta	1,67	1,11	n/p	s/d	s/d
Ho-15181	111	18,5	2,2	18,5	2,2	n/p	n/p	11,2	0,59	1708	Sanagasta	1,47	1,12	n/p	s/d	s/d
FJP-T1 09	104	21,7	1,7	21,7	1,7	n/p	n/p	10,5	0,7	2310	Belén	1,98	1,04	n/p	s/d	s/d
FJP-T3 04	107	22	2,5	22	2,5	n/p	n/p	13	0,52	3248	Belén	1,62	1,05	n/p	s/d	s/d
FJP-T2 03	101	22,6	1,5	22,6	1,5	n/p	n/p	11,5	0,65	2804	Belén	1,91	1,03	n/p	s/d	s/d
FJP-T2 04	105	24	1,75	24	1,75	n/p	n/p	10,2	0,8	2831	Belén	2,25	1,04	n/p	s/d	s/d
FJP-T3 02	102	26	2	26	2	n/p	n/p	12,4	0,61	3982	Belén	2,02	1,04	n/p	s/d	s/d
PBNH6-N-43-01	112	28,7	2,4	28,7	2,4	n/p	n/p	11	0,6	4470	Aguada	2,41	1,08	n/p	I(A)	B-II
Md-15200	98	27,5	1	27,5	1	n/p	n/p	12,5	0,71	5028	Belén	2,16	1,02	n/p	s/d	s/d
Tumbuaq2-12	102	31,4	2	31,4	2	n/p	n/p	17	0,7	7008	Sanagasta	1,79	1,03	n/p	III(A)	E

	Sigla	Procedencia	Eco-zona	grupo morfo	base	Ø base	AEP-base	Ø boca	ang borde
	Md-12108	Medanitos	Valle alto	Pu-RDS	cóncavo-convexa	11,3	118	30,5	104
	Ho-15197	El Horno	Valle alto	Va-NRS	cóncavo-convexa	5,51	108	7,2	90
	Ho-12207	El Horno	Valle alto	Va-NRS	cóncavo-convexa	8,8	112	12	90
	Ho-12237	El Horno	Valle alto	Va-NRS	plana	6,5	120	15	
	Ho-15219	El Horno	Valle alto	Va-NRS	cóncavo-convexa	5	112	9	78
	V-OLLA 09	La Troya	Valle bajo	Va-NRS	cóncavo-convexa	8,7	108	12,3	90
	It-15194	Ista-taco	Valle alto	OA-RIC	cóncavo-convexa	4	139	8,5	51
	V-OLLA 13	La Troya	Valle bajo	OA-RIC	cóncavo-convexa	11,1	155	16,8	57
	PC-005	Punta Colorada	Valle medio	OA-RIC	plana	12,9	150	17,9	52
	V-OLLA 01	La Troya	Valle bajo	OA-RIC	cóncava			19	50
	V-OLLA 12/2	La Troya	Valle bajo	OA-RIC	cóncavo-convexa	9,83	163	21,5	72
	V-OLLA 12/1	La Troya	Valle bajo	OA-RIC	cóncavo-convexa	9,94	157	22,3	54

Apéndice 1

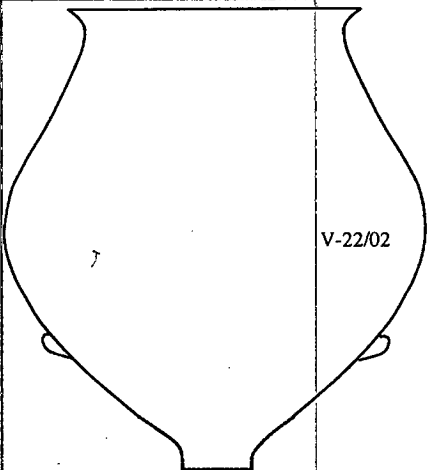
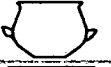
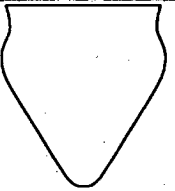
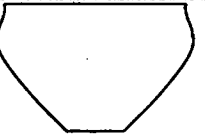
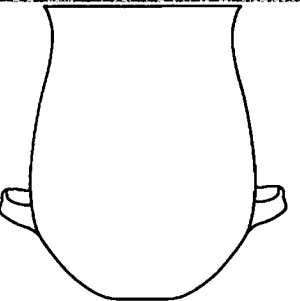
Sigla	AEP	Ø PC	h pc	Ø max	h Ømax	Ø min	h Ømin	H	esp.	volumen (cm ³)	Tipo cerámico	Øb / h	Ømax/ Øboca	Ømin/ Ømáx	Grupo pasta	ET
Md-12108	100	29,5	2,4	29,5	2,4	n/p	n/p	17,8	0,58	7520	Sanagasta	1,6	1,04	n/p	s/d	s/d
Ho-15197	90	n/p	n/p	7,2	0	n/p	n/p	6,3	0,3	228,2	Ciénaga	1,14	1	n/p	s/d	s/d
Ho-12207	90	n/p	n/p	12	0	n/p	n/p	14,8	0,3	1561	Ciénaga	0,81	1	n/p	s/d	s/d
Ho-12237	78	n/p	n/p	15	0	n/p	n/p	15,5	0,56	1516	Ciénaga	0,97	1	n/p	s/d	s/d
Ho-15219	70	n/p	n/p	9	0	n/p	n/p	10,2	0,38	439,6	Ftivo. fino	0,88	1	n/p	s/d	s/d
V-OLLA 09	90	n/p	n/p	12,3	0	n/p	n/p	18	0,59	1503	Saujil	0,68	1	n/p	II(A)	D-II
It-15194	103	7,9	4,5	11,1	7,6	6,42	1,7	11,8	0,49	562	Belén	0,72	1,31	0,58	s/d	s/d
V-OLLA 13	126	15,1	3,56	31,3	16,5	20	3,5	30,6	0,45	17986	Aguada	0,549	1,86	0,64	I(A)	B-II
PC-005	114	17,9	8,05	28,5	15	15,6	4	25,2	0,55	9248	Aguada	0,709	1,6	0,55	VI(B)	K
V-OLLA 01	123	18	5,4	35,2	13,9	16,8	2	32,3	0,56	18071	Ftivo. grueso	0,589	1,85	0,48	III-C	F
V-OLLA 12/2	126	23,2	9,74	47,6	26,8	20	3	42,4	0,6	43541	Aguada	0,506	2,22	0,42	I(A)	B-II
V-OLLA 12/1	113	22,3	9,4	42	22	19,7	4,7	39,5	0,65	30140	Aguada	0,565	1,88	0,47	I(A)	B-II

	Sigla	Procedencia	Eco-zona	grupo morfo	base	Ø base	AEP-base	Ø boca	ang borde
	V-OLLA 04	La Troya	Valle bajo	OA-RIC	cóncava			27	66
	V-OLLA 16	La Troya	Valle bajo	OA-RIC	cóncavo-convexa	10	140	34	63
	Md-15087	Medanitos	Valle alto	OA-RII	cóncavo-convexa	5	127	6,2	68
	V-OLLA 10	La Troya	Valle bajo	OA-RII	cóncavo-convexa	3,6	133	6,4	77
	PB-CG P1	Los Horcones	Pre-cordillera	OA-RII	cóncavo-convexa	4,33	138	8,52	81
	CC-01	Localidad Mishma	Valle medio	OA-RII	cóncavo-convexa	7,5	139	10,6	58
	BC-01	El Puesto	Valle bajo	OA-RII	cóncavo-convexa	10	140	30	53
	V-OLLA 02	La Troya	Valle bajo	OA-RII	cóncava	n/p	n/p	32	55

Apéndice 1

Siela	AEP	Ø PC	h pc	Ø max	h Ømax	Ø min	h Ømin	H	esp.	volumen (cm ³)	Tipo cerámico	Øb / h	Ømax/ Øboca	Ømin/ Ømáx	Grupo pasta	ET
V-OLLA 04	104	25,8	10,6	45	23,95	25,3	2,5	47,4	0,89	34404	Ftivo. grueso	0,57	1,67	0,56	III-C	F
V-OLLA 16	100	32,8	7,4	45,2	22,4	31,9	3,5	46,8	0,75	50522	Sanagasta	0,726	1,33	0,71	s/d	s/d
Md-15087	104	6,63	2	8	4,1	5,55	1	6,6	0,58	186,5	Belén	0,939	1,29	0,69	s/d	s/d
V-OLLA 10	100	7	3,55	8,1	5,51	5,55	2,25	8,8	0,42	256,1	Aguada	0,727	1,27	0,69	I(A)	B-1
PB-CG P1	105	10,3	4,63	12,4	7,07	8,04	0,75	13,3	0,7	770,7	Aguada	0,643	1,46	0,65	s/d	s/d
CC-01	108	11,9	4	15,7	7,6	10	1,25	13,6	0,65	1605	Formativo no dec. tosco	0,781	1,48	0,64	s/d	s/d
BC-01	100	29,4	7,34	38,4	17,45	26,7	3,2	41,4	0,9	28208	Sanagasta	0,725	1,28	0,70	VIII(B)	J
V-OLLA 02	105	33,4	11,8	56,2	30,12	27,8	5	58	0,76	75961	Ftivo. grueso	0,552	1,76	0,50	III-C	F

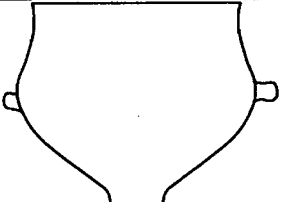
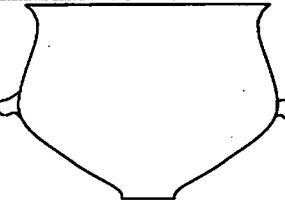
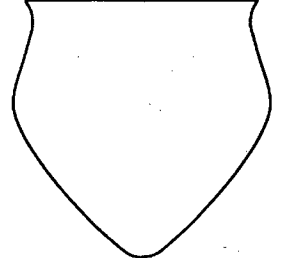
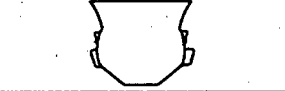
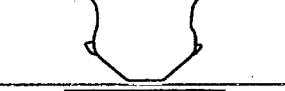
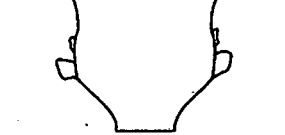
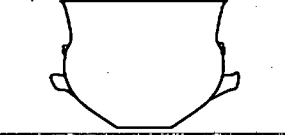
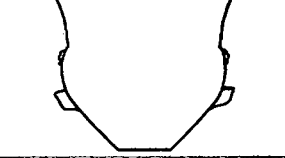
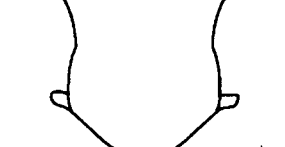
Apéndice 1

Sigla	Procedencia	Eco-zona	grupo morfo	base	Ø base	AEP- base	Ø boca	ang borde
 V-22/02	La Troya	Valle bajo	OA-RII	cóncavo-convexa	12	96	48	40
 Ho-15168	El Homo	Valle alto	OB-RII	cóncavo-convexa	5,6	125	7,8	80
 Ho-12206	El Homo	Valle alto	OB-RII	cóncavo-convexa	6,21	134	9,2	76
 It-15182	Ista-taco	Valle alto	OB-RII	cóncavo-convexa	6,3	140	10,5	59
 PBNH1-005	Palo Blanco	Valle alto	OB-RII	cóncavo-convexa	6,6	144	15	47
 CC F18	Localidad Mishma	Valle medio	OB-RII	cóncavo-convexa	9	137	17,5	72
 V-OLLA 08/8	La Troya	Valle bajo	OB-RII	cónica			27,6	74
 Md-12107	Medanitos	Valle alto	OB-RII	cóncavo-convexa	9,3	136	29	80
 V-OLLA 03	La Troya	Valle bajo	OB-RII	cóncavo-convexa	13	153	32	58

Apéndice 1

Sigla	AEP	Ø PC	h pc	Ø max	h max	Ø min	h min	H	esp.	volumen (cm3)	Tipo cerámico	Øb/h	Ømax/Øboca	Ømin/Ømáx	Grupo pasta	ET
V-22/02	105	45	10	67,6	40	45,5	4	82	1	168362	Sanagasta	0,585	1,41	0,67	VIII(B)	J
Ho-15168	95	8,29	5,28	9,4	6,9	7,36	2	11	0,42	471,7	Ciénaga	0,709	1,21	0,78	s/d	s/d
Ho-12206	97	9,13	4,16	11,2	8,08	8,8	2,5	11	0,58	634,7	Ciénaga	0,836	1,22	0,79	s/d	s/d
It-15182	96	10	2	11,8	5,7	9,47	0,75	9,9	0,6	685,8	Belén	1,061	1,12	0,80	s/d	s/d
PBNH1-005	98	14,5	2,61	17,5	6,63	13,1	1,5	14	0,7	2166	Saujil	1,071	1,17	0,74	s/d	s/d
CC F18	97	16	4,6	20,5	11	15,8	2,5	19	0,72	3764	Sanagasta	0,921	1,17	0,77	s/d	s/d
V-OLLA 08/8	95	28,8	6,63	29,9	8,9	26,1	4	32,5	0,93	10512	Td. Indet.	0,849	1,08	0,87	s/d	s/d
Md-12107	98	29,5	2,5	31	7	28,8	1	23	0,81	10453	Td. Indet.	1,261	1,07	0,93	s/d	s/d
V-OLLA 03	91	30,2	11,5	36,2	32,9	29	5	53,6	0,56	40692	Ftivo. fino	0,597	1,13	0,80	III(A)	F

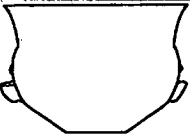
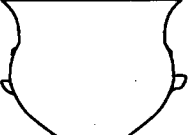
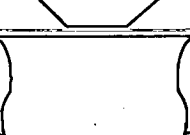
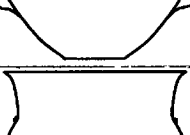
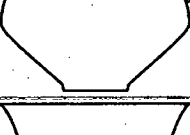
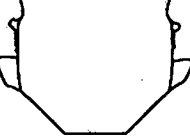
Apéndice 1

	Sigla	Procedencia	Eco-zona	grupo morfo	base	Ø base	AEP- base	Ø boca	ang borde
	MH-0017	Guanchin	Valle medio	OB-RII	cóncavo-convexo	9,5	111	37	78
	MH-0023	?	Tinogasta	OB-RII	cóncavo-convexo	8,6	140	40	42
	V-OLLA 08/1	La Troya	Valle bajo	OB-RII	cónica	n/p	n/p	40	64
	It-15184	Ista-taco	Valle alto	OC-RIC	cóncavo-convexa	5,5	140	16,7	61
	V-22/03	La Troya	Valle bajo	OC-RIC	cóncavo-convexa	7	144	18,7	46
	BY-F4	Las Champas	Valle medio	OC-RIC	cóncavo-convexa	10	104	26,5	48
	FJP-T2 09	Finca Justo Pereyra	Valle alto	OC-RIC	cóncavo-convexa	8,5	146	27,8	53
	FJP-T3-01	Finca Justo Pereyra	Valle alto	OC-RIC	cóncavo-convexa	8,5	135	28,5	66
	BY-F7	Las Champas	Valle medio	OC-RIC	cóncavo-convexa	9,05	144	28,6	51

Apéndice 1

Sigla	AEP	Ø PC	h pc	Ø		h		H	esp.	volumen (cm3)	Tipo cerámico	Øb / h	Ømax/ Ømin/		Grupo	
				max	min	Ømax	Ømin						Ømáx	pastá	ET	
MH-0017	92	37,3	7,1	42	16,7	36,1	3,5	37,5	1	31149	Sanagasta	0,987	1,14	0,86	s/d	s/d
MH-0023	95	37,6	8,5	42,2	18,3	36	4	35	1	30205	Sanagasta	1,143	1,06	0,85	s/d	s/d
V-OLLA 08/1	95	40	8,51	42,4	18,4	37,9	4	45,2	0,79	41741	Tardío no decorado	0,885	1,06	0,89	VII(A)	I
It-15184	81	12,9	5,2	14	11,5	12,9	5,2	15,5	0,58	1879	Belén	1,077	0,84	0,92	s/d	s/d
V-22/03	84	15,7	5,6	17,5	10,5	15,7	5,6	15,5	0,45	2629	Belén	1,206	0,94	0,90	s/d	s/d
BY-F4	80	22,2	7,2	22,5	16	22,2	7,2	25,8	0,65	7939	Belén	1,029	0,85	0,99	s/d	s/d
FJP-T2 09	87	24,5	7,5	26,6	13	24,5	7,5	23,2	0,7	9390	Belén	1,198	0,96	0,92	s/d	s/d
FJP-T3-01	83	24,5	9,5	26,8	13,8	24,5	9,5	28	0,73	11371	Belén	1,018	0,94	0,91	II-C	B-III
BY-F7	80	23,3	9,5	25,8	21,5	23,3	9,5	28,8	0,6	11746	Belén	0,993	0,9	0,90	I-C	B-III

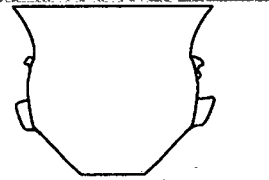
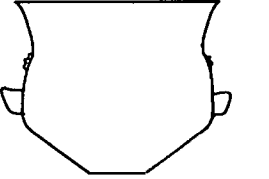
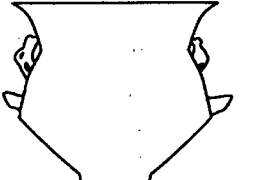
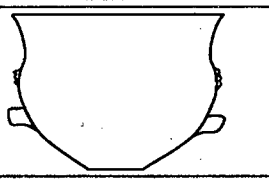
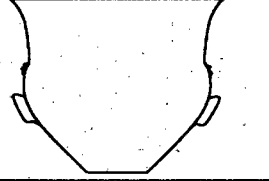
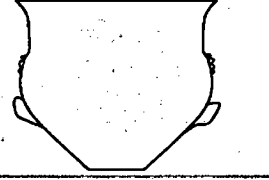
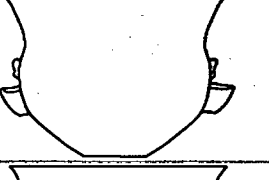
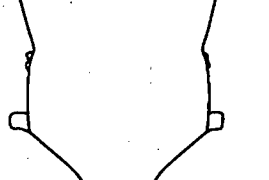
Apéndice 1

	Sigla	Procedencia	Eco-zona	grupo morfo	base	∅ base	AEP- base	∅ boca	ang borde
	FJP-T2 05	Finca Justo Pereyra	Valle alto	OC-RIC	cóncavo-convexa	10	145	29,5	54
	FJP-T3 07	Finca Justo Pereyra	Valle alto	OC-RIC	cóncavo-convexa	9,5	143	29,7	44
	FJP-T1-04	Finca Justo Pereyra	Valle alto	OC-RIC	cóncavo-convexa	10	135	30	40
	FJP-T1 02	Finca Justo Pereyra	Valle alto	OC-RIC	cóncavo-convexa	9,5	143	30	39
	FJP-T3 08	Finca Justo Pereyra	Valle alto	OC-RIC	cóncavo-convexa	10,5	132	30	43
	BY-00	Las Champas	Valle medio	OC-RIC	cóncavo-convexa	10	139	30,8	50
	FJP-T2-06	Finca Justo Pereyra	Valle alto	OC-RIC	cóncavo-convexa	9,5	138	31	56
	FJP-T3-03	Finca Justo Pereyra	Valle alto	OC-RIC	cóncavo-convexa	9,8	149	31,8	62
	BY-F3	Las Champas	Valle medio	OC-RIC	cóncavo-convexa	11	119	32	38

Apéndice 1

Sigla	AEP	Ø PC	h pc	Ø		h		H	esp.	volumen (cm ³)	Tipo cerámico	Øb / h	Ømax/ Ømin/ Ømáx		Grupo pasta		ET
				max	Ømax	min	Ømin						Øboca	Ømáx			
FJP-T2 05	84	25,5	7,5	27,3	11,5	25,5	7,5	23,2	0,78	10068	Belén	1,272	0,93	0,93	s/d	s/d	
FJP-T3 07	80	24	7,6	27,2	13,75	24	7,6	25,7	0,68	10610	Belén	1,156	0,92	0,88	s/d	s/d	
FJP-T1-04	77	23	11	28,2	16,5	23	11	29,5	0,79	13106	Belén	1,017	0,94	0,82	I-C	B-III	
FJP-T1 02	86	27,8	9,5	30,3	14	27,8	9,5	30	0,9	14584	Belén	1	1,01	0,92	s/d	s/d	
FJP-T3 08	84	25	8,5	30,5	17	25	8,5	29,5	0,7	14131	Belén	1,017	1,02	0,82	s/d	s/d	
BY-00	75	23,3	10	25	24	23,3	10	31,8	0,8	12420	Belén	0,969	0,81	0,93	s/d	s/d	
FJP-T2-06	84	26	11	31	16,3	26	11	30,2	0,73	13756	Belén	1,026	1	0,84	I-C	B-III	
FJP-T3-03	86	27	9	31,7	15	27	9	30,5	0,78	17074	Belén	1,043	1	0,85	I-C	B-III	
BY-F3	68	22,7	9,2	27,6	20,2	22,7	9,2	31	0,97	12701	Belén	1,032	0,86	0,82	s/d	s/d	

Apéndice 1

	Sigla	Procedencia	Eco-zona	grupo morfo	base	∅ base	AEP- base	∅ boca	ang borde
	It-12001	Ista-taco	Valle alto	OC-RIC	cóncavo-convexa	10,5	138	33,5	55
	FJP-T1 01	Finca Justo Pereyra	Valle alto	OC-RIC	cóncavo-convexa	9,5	144	34	51
	BY-F6	Las Champas	Valle medio	OC-RIC	cóncavo-convexa	11,5	122	34	35
	FJP-T2 08	Finca Justo Pereyra	Valle alto	OC-RIC	cóncavo-convexa	9	147	34,5	57
	FJP-T3 06	Finca Justo Pereyra	Valle alto	OC-RIC	cóncavo-convexa	10	136	35,4	45
	FJP-T2 07	Finca Justo Pereyra	Valle alto	OC-RIC	cóncavo-convexa	10	140	35,9	46
	FJP-T1-03	Finca Justo Pereyra	Valle alto	OC-RIC	cóncavo-convexa	10	146	36	66
	BY-F5	Las Champas	Valle medio	OC-RIC	cóncavo-convexa	11,3	132	36,5	54
	Md-12109	Medanitos	Valle alto	OC-RII	cóncavo-convexa	7,3	135	19,5	40

Apéndice 1

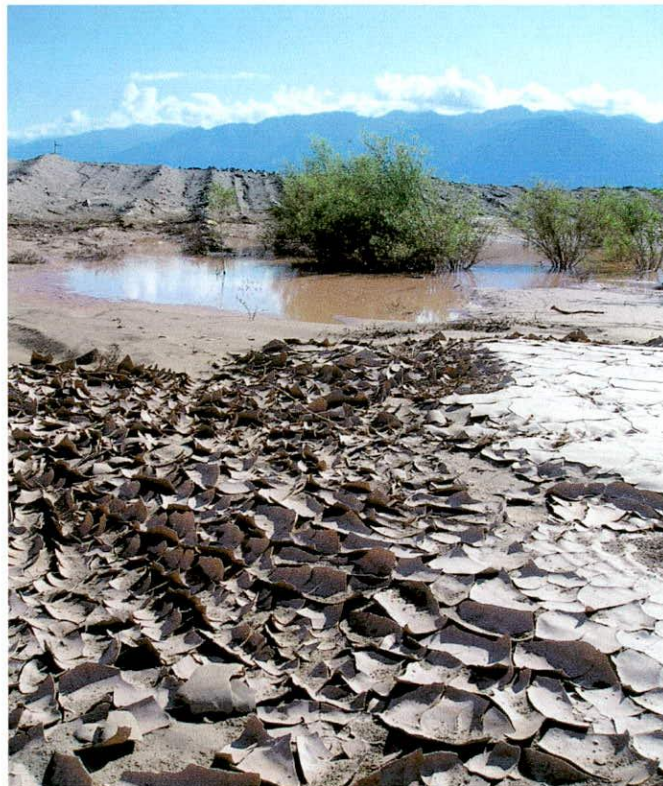
Sigla	AEP	Ø PC	h pc	Ø h		Ø h		H	esp.	volumen (cm ³)	Tipo cerámico	Øb/h	Ømax/ Ømin/		Grupo pasta		ET
				max	Ømax	min	Ømin						Øboca	Ømáx			
It-12001	74	25	10,1	29,2	21,6	25	10,1	30,6	0,79	14887	Belén	1,095	0,87	0,86	s/d	s/d	
FJP-T1 01	77	28,5	9,5	31,6	20,5	28,5	9,5	31,5	0,7	17725	Belén	1,079	0,93	0,90	s/d	s/d	
BY-F6	67	24,5	8,5	31,7	21	24,5	8,5	33	0,8	16182	Belén	1,03	0,93	0,77	s/d	s/d	
FJP-T2 08	81	29,5	8,5	33,7	14,5	29,5	8,5	28	0,7	17083	Belén	1,232	0,98	0,88	s/d	s/d	
FJP-T3 06	79	29	11,2	32	17	29	11,2	31,3	0,7	17292	Belén	1,131	0,9	0,91	s/d	s/d	
FJP-T2 07	81	30,9	7	34,2	15,5	30,9	7	30,1	0,75	19090	Belén	1,195	0,95	0,90	s/d	s/d	
FJP-T1-03	85	32	9,5	34	15,5	32	9,5	29,5	0,72	17137	Belén	1,22	0,94	0,94	I-C	B-III	
BY-F5	77	28,4	12,5	30,6	27,5	28,4	12,5	37	1	20838	Belén	0,986	0,84	0,93	s/d	s/d	
Md-12109	88	16,8	3,65	19,3	8,6	16,7	2,6	17,2	0,6	3254	Sanagasta	1,134	0,99	0,87	s/d	s/d	

APÉNDICE 2

ARCILLAS REGIONALES

APÉNDICE 2.1 – MUESTREOS DE ARCILLAS REGIONALES

APÉNDICE 2.2 – CARACTERÍSTICAS DE LAS ARCILLAS REGIONALES –ANÁLISIS DE BRIQUETAS POR MICROSCOPIO BINOCULAR (20-40X)



APÉNDICE 2.I – MUESTREOS DE ARCILLAS REGIONALES¹

Muestra	Sigla	Ubicación geográfica	Descripción de campo y observaciones
PALO BLANCO 1800-1900 msnm	PB-01	Río Colorado. Oeste de la Ruta N° 34, acceso a Palo Blanco. Tercer puente desde el pueblo.	Acumulaciones de material arcilloso de poca extensión de origen antrópico (represas). Buena calidad, untuosa al tacto, plástica
	PB-02/1	Área denominada Ranchillos, camino desde Palo Blanco a la toma “Tucumán”. La muestra fue tomada en la barranca de un cauce de agua en el que actualmente desemboca la acequia que acarrea “agua roja”.	Sedimentos areno-limo-arcillosos. Se tomó una muestra en el sector intermedio del perfil de la barranca que presentaba niveles con materiales arcillosos. Al extraer los sedimentos estos resultaron de distinta granulometría (areno-limo-arcillosos), untuosos al tacto pero de poca plasticidad. Una segunda observación de la barranca produjo la impresión de que la arcilla se deposita como resultado del escurrimiento del agua.
	PB-04	Toma de agua “Tucumán”.	Material arcillo-limoso, buena calidad, untuosa al tacto, plástica. Acumulaciones en forma de depósitos aislados poco fértiles
	PB-05	Toma de agua “Tucumán”.	Material arcilloso depositado en el fondo de la acequia.
	PB-06	Camino que va hasta la Toma “Tucumán”.	Material arcilloso decantado en el fondo seco de los piletones del estanque. Buena calidad: untuosa al tacto, plástica.
	PB-07	Río Colorado. Oeste de la Ruta N° 34, acceso a Palo Blanco. Primer puente desde el pueblo.	Depósitos de material arcillosos mezclados con arena micácea. Se presentan en forma de pequeños montículos de origen antrópico. Buena calidad: untuosa al tacto, plástica.
	PB-09	Veta arcillosa en cauce del Río Colorado; acceso a Palo Blanco.	Material arcilloso de buena calidad, untuosa al tacto, plástica.
	PB-10	Veta arcillosa en cauce del Río Colorado; acceso a Palo Blanco.	Material arcilloso de buena calidad, untuosa al tacto, plástica.

1. Datos tomados de Ratto (2006).

Muestra	Sigla	Ubicación geográfica	Descripción de campo y observaciones
FIAMBALÁ 1500 msnm	AB-M02	Barranca del río Abaucán en área denominada Los Morteros. Cruce badén.	Material arcilloso untuoso al tacto, plástica, libre de inclusiones
	AB-M03	En barranca del río Abaucán en área denominada Los Morteros. A 100 mts. al SSW del punto anterior.	Material arcilloso untuoso al tacto, plástica, libre de inclusiones
	F-02/1	La Angostura	Proporcionada por la alfarera Angélica Reales de Torres. Material arcilloso plástico, limpio, al humectarla no se desintegra completamente. Para usarla la filtra con un tejido metálico de malla fina.
	F-02/2	Lorohuasi	Proporcionada por la alfarera Angélica Reales de Torres. Material arcilloso limpio, de baja plasticidad, levemente limosa. Para usarla la alfarera la filtra con un tejido metálico de malla fina.
	F-02/3	Río Guanchín	Proporcionada por la alfarera Angélica Reales de Torres. Material arcilloso plástico, limpio, con variaciones de color. Para usarla la alfarera la filtra con un tejido metálico de malla fina.
	F-02/4	La Angostura / Lorohuasi / Río Guanchín	Es una mezcla de las arcillas Fiambalá 02/1, Fiambalá 02/2 y Fiambalá 02/3. Esta mezcla de las tres arcillas es la masa que utiliza la alfarera Torres para dictar su taller de cerámica. No fue posible determinar en que proporciones la mezcla.

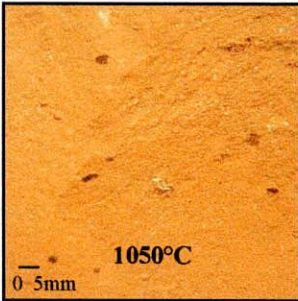
Muestra	Sigla	Ubicación geográfica	Descripción de campo y observaciones
LA TROYA (1400-1500 msnm) - curso inferior	LT-WP70	En zona de "bed crack" con previa acumulación de agua luego evaporada. Los fragmentos recuperados se presentan como arcillita.	Buena calidad, untuosa al tacto, plástica.
	LT-WP71	Piletón natural dentro del cauce	Material arcilloso buena calidad, untuoso al tacto, plástico.
	LT-WP72	Perfil de barda margen izquierda. Láminas centimétricas de material arcilloso producto de diferentes eventos.	Material arcilloso buena calidad, untuoso al tacto, plástico.
	LT-WP73	Piletón natural dentro del cauce. Espesor de 4 cm.	Material arcilloso buena calidad, untuoso al tacto, plástico.
	LT-WP74	Piletón natural dentro del cauce	Material arcilloso buena calidad, untuoso al tacto, plástico.
	LT-WP75	Piletón natural de arcilla dentro del cauce	Material arcilloso buena calidad, untuoso al tacto, plástico.
	LT-WP76 (a)	En barranca margen izquierda. Estrato con diferente contenido de arena	Material arcilloso buena calidad, untuoso al tacto, plástico.
	LT-WP76 (b)	En barranca margen izquierda. Estrato con diferente contenido de arena	Material arcilloso buena calidad, untuoso al tacto, plástico.
	LT-WP77 (a)	En perfiles de cerros al W de Batungasta	Material arcilloso buena calidad, untuoso al tacto, plástico.
	LT-WP77 (b)	En perfiles de cerros al W de Batungasta	Material arcilloso buena calidad, untuoso al tacto, plástico.
LT-WP78	En proximidades del sitio V50PB. Fluvio que cortó al barreal con barranca de 2,5 m de altura	Material arcilloso buena calidad, untuoso al tacto, plástico.	

**APÉNDICE 2.2 – CARACTERÍSTICAS DE LAS
ARCILLAS REGIONALES –ANÁLISIS DE POR LUPA
TRINOCULAR (20-40X) DE FRAGMENTOS DE BRIQUETAS**

Se presenta aquí la descripción de los fragmentos de las briquetas manufacturadas con las arcillas regionales. Estas fueron analizadas por microscopio trinocular de 20 a 40X considerando las variables: porcentaje y tamaño de inclusiones presentes; porcentajes de tipos de antiplástico; porosidad y compacidad de la pasta y color.

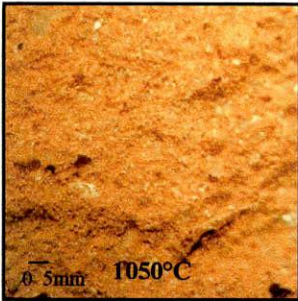
Muestra: PBL-01 (Palo Blanco) - Contexto de recuperación: Acumulaciones de material arcilloso de poca extensión en represa

Cocción	Porosidad	Tipo de fractura	compacidad	Color	Inclusiones				Observaciones
					%	Tamaño	Forma	Distribución	
850°C	Ligeramente porosa, escasos poros pequeños redondeados	regular	compacta	5YR 6/6 Orange	muy escasas 0,1%	muy fino	redondeada	irregular	Presenta principalmente mica, cuarzo y litoclastos
950°C	ídem	ídem	ídem	ídem	ídem	ídem	ídem	ídem	
1050°C	ídem	ídem	muy compacta	2.5YR 6/6 Orange	ídem	ídem	ídem	ídem	



Muestra: PBL-04 (Palo Blanco) - Contexto de recuperación: Banco cerca de La Toma

Cocción	Porosidad	Tipo de fractura	compacidad	Color	Inclusiones				Observaciones
					%	Tamaño	Forma	Distribución	
850°C	Media, abundantes poros de tamaño medio, redondeados	irregular	desgranable	5YR 6/6 Orange	abundantes 30%	muy fino /fino	redondeada	regular	Cuarzo y litoclastos, en menor proporción inclusiones blancas angulares y mica
950°C	ídem	ídem	ídem	2.5YR 6/6 Orange	ídem	ídem	ídem	ídem	
1050°C	ídem	ídem	ídem	2.5YR 5/6 Bright Brown	ídem	ídem	ídem	ídem	



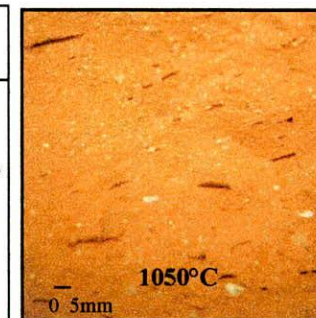
Muestra: PBL-06 (Palo Blanco) Contexto de recuperación: Material arcilloso decantado en el fondo seco de los piletos del estanque

Cocción	Porosidad	Tipo de fractura	compacidad	Color	Inclusiones				Observaciones
					%	Tamaño	Forma	Distribución	
850°C	Muy porosa, poros medianos a grandes de forma irregular	regular	compacta	5YR 6/6 Orange	escasas 10%	muy fino /fino	redondeada	regular	Cuarzo y feldspatos (angulares, pequeños) en menor proporción mica y litoclastos.
950°C	ídem	ídem	ídem	2.5YR 6/6 Orange	ídem	ídem	ídem	ídem	
1050°C	media a muy porosa, medianos y pequeños irregulares	ídem	ídem	2.5YR 5/6 Bright Brown	ídem	ídem	ídem	ídem	



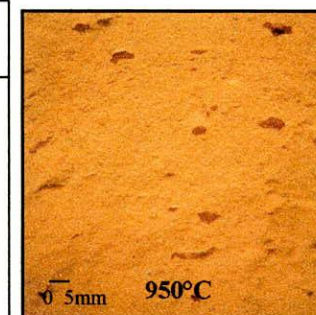
Muestra: PBL-07 (Palo Blanco) - Contexto de recuperación: Depósitos de material arcilloso mezclados con arena micácea

Cocción	Porosidad	Tipo de fractura	compacidad	Color	Inclusiones				Observaciones
					%	Tamaño	Forma	Distribución	
850°C	Media, abundantes poros de tamaño medio y distribución irregular	regular	compacta	5YR 6/6 Orange	escasas 12%	muy fino/ fino - escaso medio	redondeada	regular	Cuarzo y feldspatos, en menor proporción litoclastos y mica
950°C	media a lig. porosa, medianos y pequeños de forma alargada.	irreg.	ídem	2.5YR 6/6 Orange	ídem	ídem	ídem	ídem	
1050°C	ídem	ídem	muy compacta	ídem	ídem	ídem	ídem	ídem	



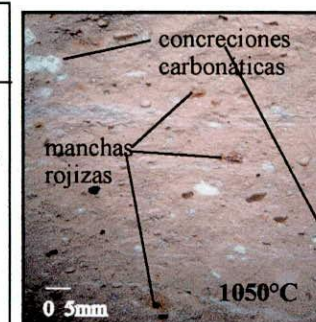
Muestra: PBL-09 (Palo Blanco) - Contexto de recuperación: Veta arcillosa en cauce del Río Colorado

Cocción	Porosidad	Tipo de fractura	compacidad	Color	Inclusiones				Observaciones
					%	Tamaño	Forma	Distribución	
850°C	ligeramente porosa a media/ poros muy pequeños y medianos de forma y distrib. irreg	regular	compacta	5YR 6/6 Orange	muy escasas 0,1%	muy fino	redondeada	irregular	
950°C	media, poros medianos y pequeños, forma irreg., distrib. regular	laminar	ídem	2.5YR 6/6 Orange	sin inclusiones visibles	n/p	n/p	n/p	
1050°C	ídem	regular	muy compacta	ídem	ídem	n/p	n/p	n/p	



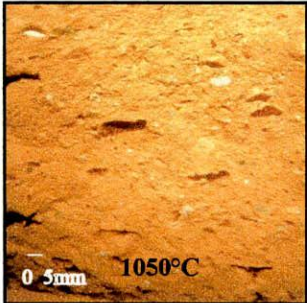
Muestra: AB-M02 (Abaucán-Los Morteros) - Contexto de recuperación: Barranca del río Abaucán

Cocción	Porosidad	Tipo de fractura	compacidad	Color	Inclusiones				Observaciones
					%	Tamaño	Forma	Distribución	
850°C	media, poros medianos redondeados de distribución regular	regular	compacta	5YR 7.4 Dull orange	medio 17%	fino	redondeada	irregular	Principalmente cuarzo, concreciones carbonáticas y litoclastos. También se visualizan abundantes manchas de color rojizo
950°C	media, poros medianos y grandes irregulares	ídem	ídem	ídem	ídem	fino/medio/ escaso grueso	ídem	ídem	
1050°C	ídem	ídem	ídem	ídem	ídem	ídem	ídem	ídem	



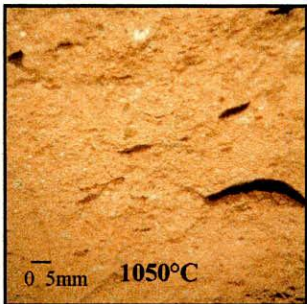
Muestra: AB-M03 (Abaucán-Los Morteros) - Contexto de recuperación: Barranca del río Abaucán

Cocción	Porosidad	Tipo de fractura	compacidad	Color	Inclusiones				Observaciones
					%	Tamaño	Forma	Distrib.	
850°C	lig. porosa, poros pequeños y muy pequeños redondeados distrib. reg	regular	compacta	5YR 7/4 Dull orange	medio 17%	muy fino/ fino - escaso medio	redondeada angular	regular	Cuarzo y litoclastos, inclusiones blancas (feldespatos descompuestos y concreciones carbonáticas) escasas manchas rojizas. No se visualizan manchas rojizas
950°C	media/muy porosa, poros grandes alargados	irreg.	ídem	5YR 7/6 Orange	ídem	ídem	ídem	ídem	
1050°C	ídem	ídem	muy compacta	ídem	ídem	ídem	ídem	ídem	



Muestra: Ar-Gu-01 (Guanchín) - Contexto de recuperación: Barranca del río Guanchín.

Cocción	Porosidad	Tipo de fractura	compacidad	Color	Inclusiones				Observaciones
					%	Tamaño	Forma	Distrib.	
850°C	ligeramente porosa a media, redondeados de distribución irregular.	regular	compacta	5YR 6/4 Dull orange	medias 17%	muy fino	redondeada	irreg.	Principalmente cuarzo y litoclastos oscuros y mica
950°C	ídem	ídem	ídem	5YR 6/6 Orange	ídem	n/p	n/p	n/p	
1050°C	muy porosa, poros grandes alargados, distribución regular	regular	ídem	5YR 7/6 Orange	ídem	n/p	n/p	n/p	



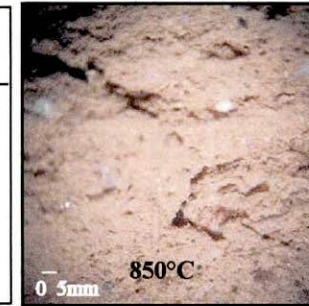
Muestra: C.de Reyes 01 (Costa de Reyes)

Cocción	Porosidad	Tipo de fractura	compacidad	Color	Inclusiones				Observaciones
					%	Tamaño	Forma	Distrib.	
850°C	media, poros medianos redondeados de distribución regular	regular/textura media	media	2.5YR 6/6 Orange	abundantes 25%	muy fino/ fino	redondeada	regular	Principalmente cuarzo, y litoclastos, escasa presencia de concreciones carbonáticas de tamaño fino
950°C	ligeramente porosa, poros medianos, redondeados, regulares	regular/textura arenosa	compacta	2.5YR 6/4 Dull orange	ídem	ídem	ídem	ídem	
1050°C	media a muy porosa, poros grandes irregulares	ídem	ídem	ídem	ídem	ídem	ídem	ídem	



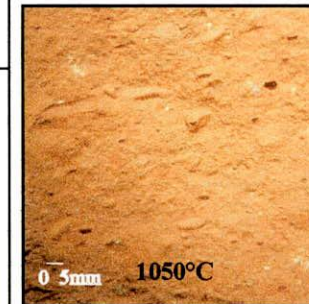
Muestra: CSW-1a (Río La Troya) - Contexto de recuperación, barranca en el curso inferior del río La Troya

Cocción	Porosidad	Tipo de fractura	compacidad	Color	Inclusiones				Observaciones
					%	Tamaño	Forma	Distrib.	
850°C	muy porosa, poros pequeños y grandes irreg. distrib. regular	irreg. textura arenosa	media	5YR 6/4 Dull orange	abundantes 27%	muy fino/ fino - medio	redondeada	regular	Principalmente cuarzo y litoclastos, en menor proporción mica, escaso feldespato
950°C	media/muy porosa, poros pequeños.	irreg.	ídem	2.5YR 6/6 Orange	ídem	muy fino/ fino	ídem	ídem	
1050°C	media, abundantes poros pequeños, redondeados	ídem	compacta	ídem	ídem	ídem	ídem	ídem	



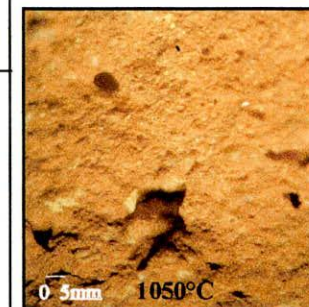
Muestra: CSW-05 (Río La Troya) - Contexto de recuperación, barranca en el curso inferior del río La Troya

Cocción	Porosidad	Tipo de fractura	compacidad	Color	Inclusiones				Observaciones
					%	Tamaño	Forma	Distrib.	
850°C	media a muy porosa, poros mediano/grandes forma y distrib. irreg.	regular	media	5YR 6/4 Dull orange	escasas 7%	fino/ medio	redondeada angular	regular	Cuarzo, litoclastos y mica muy fina, posiblemente feldespato en baja proporción
950°C	media, abundantes poros medianos de forma y distrib. irreg.	ídem	muy compacta	2.5YR 6/6 Orange	ídem	n/p	n/p	n/p	
1050°C	lig. porosa/sin poros pequeños, de forma y distrib. irreg.	regular	compacta	ídem	ídem	n/p	n/p	n/p	



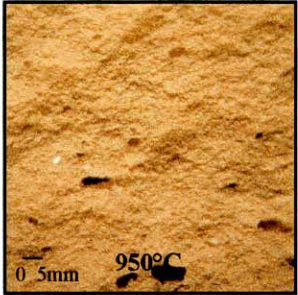
Muestra: CSW-07 (Río La Troya) - Contexto de recuperación, barranca en el curso inferior del río La Troya

Cocción	Porosidad	Tipo de fractura	compacidad	Color	Inclusiones				Observaciones
					%	Tamaño	Forma	Distrib.	
850°C	muy porosa, poros grandes de forma y distribución irregular	irregular	media	2.5YR 6/4 Dull Orange	medio 17%	muy fino/ fino	redondeada	regular	Principalmente cuarzo, litoclastos y mica, escasa presencia de feldespatos
950°C	ídem	ídem	compacta	2.5YR 6/6 Orange	ídem	ídem	ídem	ídem	
1050°C	ídem	ídem	ídem	5YR 6/6 Orange	ídem	ídem	ídem	ídem	



Muestra: CSW-09 (Río La Troya) - Contexto de recuperación, barranca en el curso inferior del río La Troya

Cocción	Porosidad	Tipo de fractura	compacidad	Color	Inclusiones				Observaciones
					%	Tamaño	Forma	Distrib.	
850°C	lig. porosa, poros muy pequeños redondeados	regular textura arenosa	media	2.5YR 6/4 Dull orange	media 15%	muy fino/ escaso medio	redondeada	regular	Principalmente cuarzo y litoclastos, difícil identificación debido al tamaño muy fino
950°C	media/lig. porosa, poros muy peq./medianos.	ídem	compacta	2.5YR 6/6 Orange	ídem	muy fino	ídem	ídem	
1050°C	lig. porosa, poros muy pequeños, redondeados e irregulares	regular	compacta	ídem	ídem	ídem	ídem	ídem	



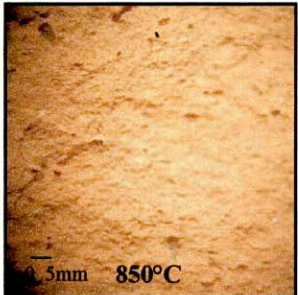
Muestra: CSW-13 (Río La Troya) - Contexto de recuperación, barranca en el curso inferior del río La Troya

Cocción	Porosidad	Tipo de fractura	compacidad	Color	Inclusiones				Observaciones
					%	Tamaño	Forma	Distrib.	
850°C	media, abundantes poros pequeños redondeados	regular/ textura arenosa	media	5YR 6/4 Dull orange	muy abundantes 25%	muy fino/ fino	redondeada	regular	Cuarzo, litoclastos y mica muy fina
950°C	lig. porosa, poros muy pequeños, redondeados	ídem	compacta	ídem	ídem	n/p	n/p	n/p	
1050°C	ídem	ídem	muy compacta	2.5YR 6/6 Orange	muy abundantes 32%	muy fino/ fino- esc. medio	n/p	n/p	Aparición de abundantes inclusiones blancas, desgranables que no se veían con anterioridad



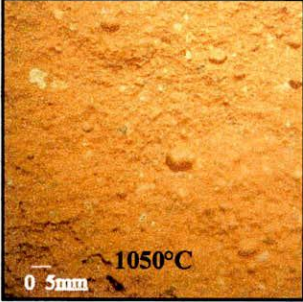
Muestra: CSW-16 (Río La Troya) - Contexto de recuperación, barranca en el curso inferior del río La Troya

Cocción	Porosidad	Tipo de fractura	compacidad	Color	Inclusiones				Observaciones
					%	Tamaño	Forma	Distrib.	
850°C	ligeramente porosa a media, poros pequeños y medianos regulares	irregular	compacta	2.5YR 6/4 Dull Orange	escaso 7%	muy fino/ fino- esc. medio	redondeada angular	irreg.	Principalmente cuarzo y litoclastos
950°C	ídem	ídem	muy compacta	ídem	ídem	ídem	ídem	ídem	
1050°C	ídem	ídem	compacta	5YR 6/6 Orange	ídem	ídem	ídem	ídem	



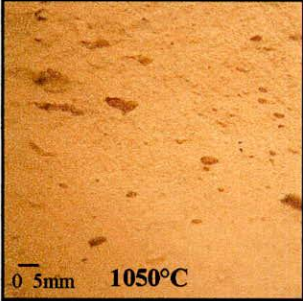
Muestra: El Puesto 04 (Río El Puesto) - Barranca del río El Puesto

Cocción	Porosidad	Tipo de fractura	compacidad	Color	Inclusiones				Observaciones
					%	Tamaño	Forma	Distrib.	
850°C	media, poros medianos redondeados, distribución regular	irregular	media	5YR 5/6 bright reddish brown	muy abundantes 27%	muy fino/ fino -esc. medio	redondeada	regular	Principalmente cuarzo y litoclastos oscuros
950°C	muy porosa, poros medianos regulares y muy grandes irregulares	ídem	compacta	2.5YR 5/6 Bright brown	muy abundantes 30%	muy fino	ídem	ídem	cuarzo, litoclastos, en menor proporción, feldespatos, concreciones carbonáticas y frag. de roca
1050°C	lig. porosa, poros muy pequeños, redondeados	ídem	ídem	ídem	ídem	ídem	ídem	ídem	



Muestra: F01 Contexto de recuperación: represa La Ripiera

Cocción	Porosidad	Tipo de fractura	compacidad	Color	Inclusiones				Observaciones
					%	Tamaño	Forma	Distrib.	
850°C	media, abundantes poros de tamaño y forma variable	regular	compacta	5YR 6/6 Orange	sin inclusiones visibles	n/p	n/p	n/p	Sin inclusiones visibles, excepto martículas de mica muy fina
950°C	ídem	ídem	ídem	2.5YR 5/6 Orange	ídem	n/p	n/p	n/p	
1050°C	ídem	ídem	muy compacta	5YR 7/6 Orange	ídem	n/p	n/p	n/p	



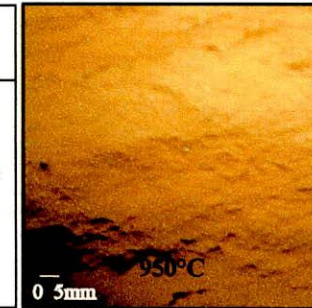
Muestra: F02-1 (Ceramista)

Cocción	Porosidad	Tipo de fractura	compacidad	Color	Inclusiones				Observaciones
					%	Tamaño	Forma	Distrib.	
850°C	muy porosa, escasa ligazón entre las partículas.	irregular	desgranable	7.5R 5/4 Red	muy abundantes 40%	bimodal m.f/fino m.g/grueso	redondeada angular	irreg.	Abundantes inclusiones gruesas/muy gruesas del mismo color que la arcilla. Fragmentos de roca muy grueso. También se observan inclusiones finas y muy finas en alta densidad, presencia de cuarzo y litoclastos muy finos.
950°C	ídem	ídem	ídem	10R 6/4 Reddish orange	ídem	ídem	ídem	ídem	
1050°C	ídem	ídem	ídem	2.5YR 4/6 Reddish brown	ídem	ídem	ídem	ídem	



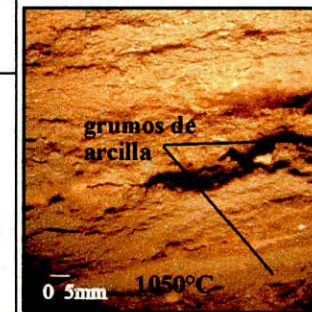
Muestra: F02-2 (Alfarera)

Cocción	Porosidad	Tipo de fractura	compacidad	Color	Inclusiones				Observaciones
					%	Tamaño	Forma	Distrib.	
850°C	lig. porosa, poros pequeños y medios, filiformes	regular	muy compacta	5YR 6/6 Orange	sin inclusiones visibles	n/p	n/p	n/p	Sin inclusiones visibles, excepto martículas de mica muy fina
950°C	sin poros	regular	ídem	ídem	ídem	n/p	n/p	n/p	
1050°C	ídem	ídem	ídem	2.5YR 5/6 Bright brown	ídem	n/p	n/p	n/p	



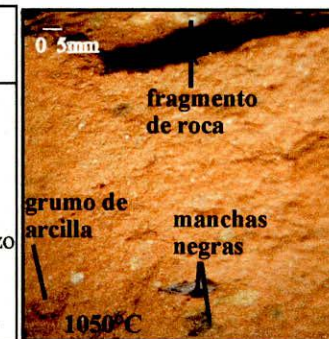
Muestra: F02-3 (Alfarera)

Cocción	Porosidad	Tipo de fractura	compacidad	Color	Inclusiones				Observaciones
					%	Tamaño	Forma	Distrib.	
850°C	media, poros de tamaño medio y finos alargados	laminar, textura arenosa	media	5YR 6/6 Orange	escasas 9%	muy fino fino	redondeada	irreg.	Principalmente cuarzo y litoclastos, también se observan grumos de arcilla más compacta y de color ligeramente más oscuro de forma irregular
950°C	lig. porosa, poros pequeños irregulares y redondeados	irregular	ídem	2.5YR 6/6 Orange	ídem	ídem	ídem	ídem	
1050°C	ídem	laminar	desgranable	2.5YR 4/4 Reddish brown	ídem	n/p	n/p	n/p	



Muestra: F02-4 (Mezcla Alfarera)

Cocción	Porosidad	Tipo de fractura	compacidad	Color	Inclusiones				Observaciones
					%	Tamaño	Forma	Distrib.	
850°C	lig. porosa, escasos poros de tamaño medio irregulares	regular	compacta	5YR 6/6 Orange	abundantes 20%	muy fino/ fino - esc medio	redondeada angular	regular	Se observan los grumos de arcilla presentes en las otras muestras y los fragmentos de roca de F2-02 pero de tamaño medio, también hay cuarzo y litoclastos de tamaño muy fino. A 1050°C aparecen manchas negras
950°C	sin poros	ídem	muy compacta	2.5YR 6/6 Orange	ídem	ídem	ídem	ídem	
1050°C	ídem	ídem	ídem	2.5YR 4/6 Reddish brown	ídem	ídem	ídem	ídem	



Muestra: WP-70 (Río La Troya) Contexto: en zona de "bed crack" con previa acumulación de agua luego evaporada. Se presenta como arcillita.

Cocción	Porosidad	Tipo de fractura	compacidad	Color	Inclusiones				Observaciones
					%	Tamaño	Forma	Distrib.	
850°C	lig. porosa, poros pequeños redondeados, distribución regular	regular	compacta	5YR 6/6 Orange	escasas/medio 13%	muy fino	redondeada	regular	Principalmente cuarzo y litoclastos, escaso feldespatos muy finos
950°C	lig. porosa a sin poros, muy pequeños redondeados	regular	muy compacta	5YR 6/4 Dull orange	ídem	ídem	ídem	ídem	
1050°C	sin poros	ídem	ídem	ídem	ídem	ídem	ídem	ídem	



Muestra de arcilla: WP-71 (Río La Troya) Contexto de recuperación: Piletón natural de arcilla dentro del cauce

Cocción	Porosidad	Tipo de fractura	compacidad	Color	Inclusiones				Observaciones
					%	Tamaño	Forma	Distrib.	
850°C	lig. porosa, escasos poros medianos, alargados	regular	media	5YR 6/4 Dull orange	abundante/medio 17%	muy fino	redondeada	regular	Principalmente cuarzo y litoclastos, en menor proporción feldespatos, mica y concreciones carbonáticas muy pequeñas
950°C	sin poros	ídem	compacta	ídem	ídem	ídem	ídem	ídem	
1050°C	ídem	irregular	ídem	ídem	ídem	ídem	n/p	n/p	



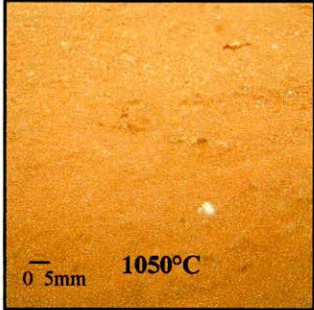
Muestra de arcilla: WP-72 (Río La Troya) Contexto de recuperación: barranca del río La Troya

Cocción	Porosidad	Tipo de fractura	compacidad	Color	Inclusiones				Observaciones
					%	Tamaño	Forma	Distrib.	
850°C	lig. porosa/media, poros pequeños y medianos irregulares	regular	compacta	5YR 6/6 Orange	escasa/media 15%	fino/muy fino-esc. medio	redondeada	regular	Presenta cuarzo, litoclastos y feldespatos
950°C	media, abundantes poros medianos irregulares	ídem	muy compacta	ídem	ídem	ídem	ídem	ídem	
1050°C	lig. porosa/media, poros pequeños y medianos irregulares	ídem	ídem	2.5YR 4/6 Reddish brown	ídem	ídem	ídem	ídem	



Muestra: WP-73 (Río La Troya) Contexto de recuperación: piletón natural en el lecho del río

Cocción	Porosidad	Tipo de fractura	compacidad	Color	Inclusiones				Observaciones
					%	Tamaño	Forma	Distrib.	
850°C	lig. porosa a sin poros, poros pequeños irregulares	regular	compacta	5YR 6/6 Orange	muy escasas/ 0,2%	muy fino	redondeada	irreg.	inclusiones muy escasas, cuarzo y mica
950°C	sin poros	regular	muy compacta	ídem	ídem	ídem	ídem	ídem	
1050°C	sin poros	ídem	ídem	5YR 6/4 Dull orange	ídem	ídem	ídem	ídem	



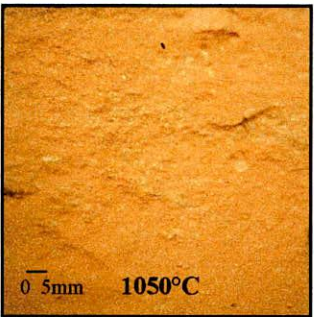
Muestra: WP-74 (Río La Troya) Contexto de recuperación: piletón natural en el lecho del río

Cocción	Porosidad	Tipo de fractura	compacidad	Color	Inclusiones				Observaciones
					%	Tamaño	Forma	Distrib.	
850°C	lig. porosa a sin poros, pequeños, alargados	regular	compacta	5YR 6/4 Dull orange	escaso/ medio 10%	muy fino	redondeada	regular	Principalmente cuarzo y litoclastos, en menor proporción feldespatos y mica
950°C	sin poros	ídem	compacta	5YR 6/6 Orange	ídem	ídem	ídem	ídem	
1050°C	ídem	irregular	ídem	ídem	ídem	ídem	n/p	n/p	



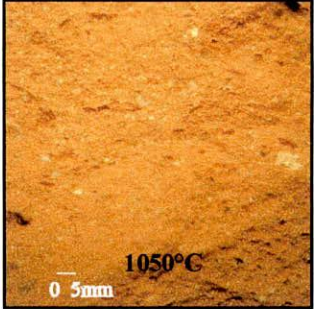
Muestra: WP-75 (Río La Troya) Contexto de recuperación: piletón natural en el lecho del río

Cocción	Porosidad	Tipo de fractura	compacidad	Color	Inclusiones				Observaciones
					%	Tamaño	Forma	Distrib.	
850°C	sin poros	regular	muy compacta	5YR 6/6 Orange	muy escasa 1%	muy fino	redondeada	irreg.	Presenta cuarzo, litoclastos y feldespatos
950°C	ídem	ídem	muy compacta	ídem	ídem	ídem	ídem	ídem	
1050°C	ídem	ídem	ídem	5YR 6/4 Dull orange	ídem	ídem	ídem	ídem	



Muestra: WP-76a (Río La Troya) - Contexto de recuperación: barranca margen izquierdo del Río La Troya

Cocción	Porosidad	Tipo de fractura	compacidad	Color	Inclusiones				Observaciones
					%	Tamaño	Forma	Distrib.	
850°C	media, poros pequeños y medianos redondeados e irregulares	regular	media	5YR 6/4 Dull Orange	abundantes 22%	muy fino esc. fino	redondeada	regular	Mayoritariamente cuarzo, en menor proporción litoclastos y mica
950°C	lig. porosa a sin poros. pequeños irregulares	ídem	compacta	2.5YR 6/6 Orange	ídem	m fino/fino esc. medio	ídem	ídem	
1050°C	sin poros	irregular	muy compacta	5YR 6/4 Dull orange	ídem	ídem	ídem	ídem	



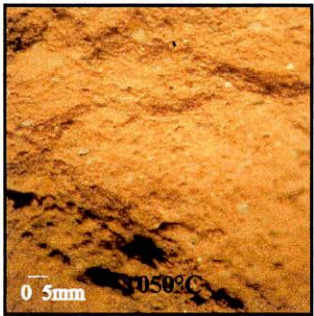
Muestra: WP-76b (Río La Troya) - Contexto de recuperación: barranca margen izquierdo del Río La Troya

Cocción	Porosidad	Tipo de fractura	compacidad	Color	Inclusiones				Observaciones
					%	Tamaño	Forma	Distrib.	
850°C	media, poros de tamaño medio redondeados distribución irregular	regular	media	2.5YR 6/4 Dull orange	medio 15%	muy fino esc. fino	redondeada	regular	Principalmente cuarzo y litoclastos, en menor proporción feldespatos y mica
950°C	ligeramente porosa a media, pequeños y medianos, irregulares	ídem	compacta	2.5YR 6/6 Orange	ídem	ídem	ídem	ídem	
1050°C	lig. porosa, pequeños y medianos irregulares	irregular	ídem	2.5YR 6/4 Dull orange	ídem	ídem	n/p	n/p	

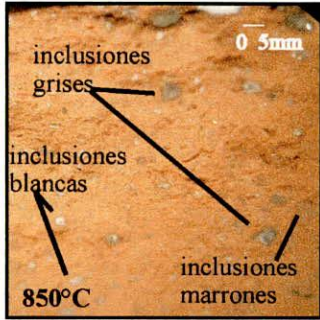
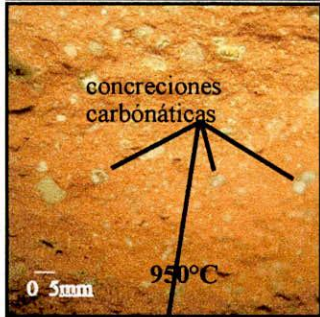
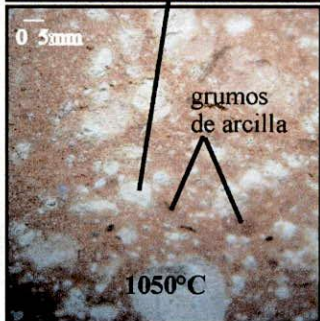


Muestra: WP-78 (Río La Troya - V50) - Contexto de recuperación: barranca de fluvio que cortó el barreal

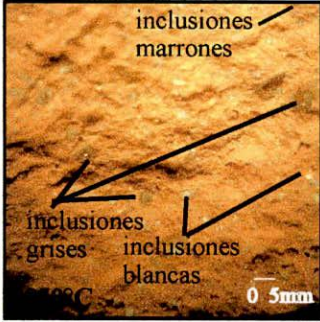
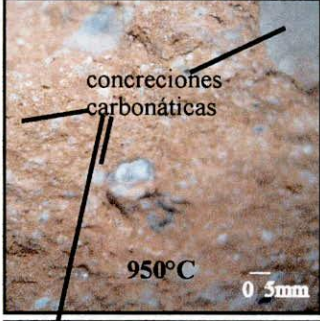
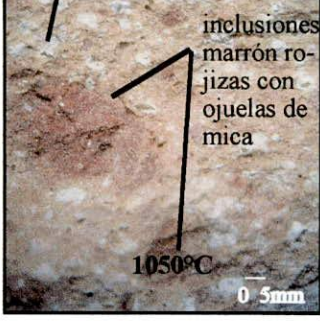
Cocción	Porosidad	Tipo de fractura	compacidad	Color	Inclusiones				Observaciones
					%	Tamaño	Forma	Distrib.	
850°C	media, poros medianos y pequeños, irregulares	irregular	compacta	5YR 6/6 Orange	abundantes 23%	muy fino/ fino	redondeada	regular	Mayoritariamente cuarzo, en menor proporción litoclastos y feldespatos
950°C	ídem	ídem	ídem	2.5YR 6/6 Orange	ídem	ídem	ídem	ídem	
1050°C	ligeramente porosa a media, poros medianos irregulares	ídem	ídem	ídem	ídem	ídem	ídem	ídem	



Muestra: WP-77a- Contexto de recuperación: perfil de cerro al oeste del sitio Batungasta

Cocción	Porosidad	Tipo de fractura	compacidad	Color	Inclusiones				Observaciones	
					%	Tamaño	Forma	Distrib.		
850°C	sin poros, escasos poros muy pequeños redondeados de distribución regular	regular	muy compacta	2.5YR 5/6 Bright brown	medio 15%	fino muy fino y medio	angular, en menor proporción redondeada	regular	Las inclusiones no son similares a las de otras arcillas. Predominan inclusiones grises opacas, escasas inclusiones amarillentas y blancas redondeadas desgranables. También hay presencia de cuarzo, mica, feldespatos y concreciones carbonáticas	
950°C	ídem	ídem	ídem	2.5YR 6/4 Dull Orange	abundantes 20%	ídem	ídem	regular	Las inclusiones no son similares a las de otras arcillas, las inclusiones grises comienzan a descomponerse y se vuelven blanquecinas desgranables (concreciones carbonáticas). Desaparecen las inclusiones de amarillentas. También hay presencia de cuarzo, mica feldespatos	
1050°C	ídem	ídem	ídem	5YR 7/4 Dull Orange	muy abundantes 35%	medio/ grueso y muy grueso, en menor proporción fino y muy fino	redondeada en menor proporción angulares	regular	Predominan las concreciones carbonáticas de tamaño grueso y medio. Han desaparecido las inclusiones grises opacas. Se observan grumos de arcilla que asemejan tiesto molido. En el fondo de pasta se observa cuarzo, feldespatos y escasa mica	

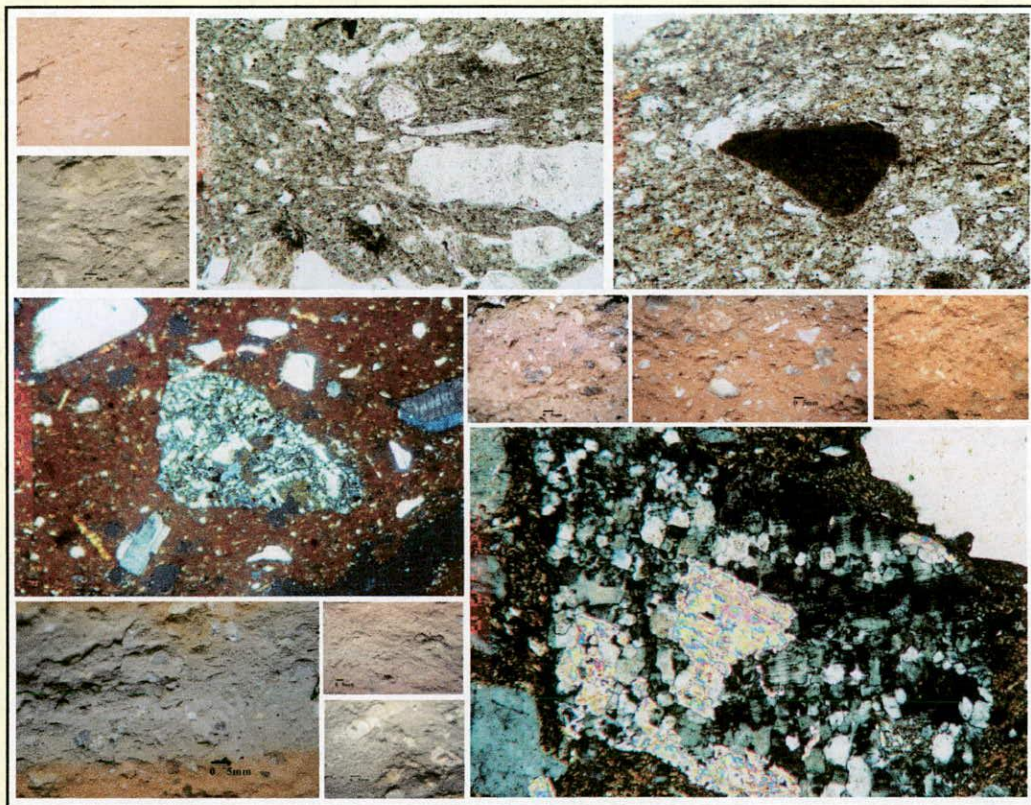
Muestra: WP-77b - Contexto de recuperación: perfil de cerro al oeste del sitio Batungasta

Cocción	Porosidad	Tipo de fractura	compacidad	Color	Inclusiones				Observaciones	
					%	Tamaño	Forma	Distrib.		
850°C	ligeramente porosa poros pequeños redondeados de distribución regular	regular	compacta	2.5YR 5/6 Bright brown	medio 15%	fino muy fino y medio	angular, en menor proporción redondeada	regular	Las inclusiones no son similares a las de otras arcillas. Predominan inclusiones grises opacas, escasas inclusiones amarionadas y blancas redondeadas desgranables. También hay presencia de cuarzo, mica, feldespatos y calcita - Similar a WP-77a	
950°C	sin poros	idem	idem	2.5YR 6/4 Dull Orange	abundantes 30%	idem	idem	regular	Las inclusiones no son similares a las de otras arcillas, las inclusiones grises comienzan a descomponerse y se vuelven blanquecinas desgranables. Desaparecen las inclusiones de amarionadas. Presenta grumos de arcilla. También hay presencia de cuarzo, mica feldespatos.	
1050°C	idem	idem	idem	10YR 8/3 Light yellow orange	muy abundantes 35%	medio/ grueso y muy grueso, en menor proporción fino y muy fino	redondeada en menor proporción angulares	regular	Predominan las concreciones carbonáticas redondeadas de tamaño medio. Han desaparecido las inclusiones grises opacas. Se observan inclusiones marrón-rojizas con ojuelas de mica, semejantes a las registradas en pastas tardías. En el fondo de pasta se observa cuarzo, feldespatos y escasa mica	

APÉNDICE 3 – ANÁLISIS DE PASTAS

APÉNDICE 3.1 – BASE DE DATOS DE LUPA TRINOCULAR.

APÉNDICE 3.2 – BASE DE DATOS DE PETROGRAFÍA CERÁMICA



Referencias: **q:** cuarzo; **fel:** feldespato; **m:** mica; **ca:** carbonatos de calcio; **tm/ia:** tiesto molido/inclusiones arcillosas; **frag. roc. vol:** fragmentos de roca volcánica; **frag. roc. graníticos:** fragmentos de roca granítica; **lito/frag. roc no ident.:** litoclastos y/o fragmentos de roca no identificados.

3.1 – BASE DE DATOS DE LUPA TRINOCULAR

Sigla	Procedencia	Eco-zona	% antip	tamaño	forma	q		f		m		ca	
						tt	p	tt	p	tt	p	tt	p
G2-08-03	Giuseppe 2	V-ba	4	fino	redondeada	4	1.8	0	0.0	1	0,4	0	0.0
G2-08-04	Giuseppe 2	V-ba	9	fino	redondeada	2	2.3	1	1.1	0	0,0	0	0.0
G2-11-01	Giuseppe 2	V-ba	7	fino	redondeada	7	3.3	0	0.0	2	0,9	4	1.9
G2-14-06	Giuseppe 2	V-ba	6	fino/ muy fino	redondeada	10	3.0	0	0.0	0	0,0	5	1.5
G2-51-01	Giuseppe 2	V-ba	12	muy fino/ fino	red ang	6	3.4	5	2.9	2	1,1	3	1.7
G2-61-01	Giuseppe 2	V-ba	0	n/p	n p	0	0.0	0	0.0	0	0,0	0	0.0
G2-65FM-02	Giuseppe 2	V-ba	9	fino	redondeada	7	3.7	3	1.6	0	0,0	1	0.5
G3-749-01	Giuseppe 2	V-ba	3	muy fino/fino	redondeada	4	0.7	2	0.3	0	0,0	0	0.0
V1344-10	LT-V1344	V-ba	4	muy fino/fino	laminar	10	0.8	4	0.3	32	2,6	0	0.0
V1344-15	LT-V1344	V-ba	4	muy fino/fino	laminar	0	0.0	2	0.2	30	3,5	0	0.0
V1344-18	LT-V1344	V-ba	13	muy fino/fino	redondeada	3	2.3	7	5.4	3	2,3	2	1.5
V1344-20	LT-V1344	V-ba	0	n/p	n p	0	0.0	0	0.0	0	0,0	0	0.0
V1344-U03-03	LT-V1344	V-ba	7	muy fino/ fino	redondeada	4	0.7	14	2.6	1	0,2	0	0.0
V1344-U11-04	LT-V1344	V-ba	12	muy fino	red ang	4	1.7	6	2.5	8	3,3	0	0.0
V1344-U13-23	LT-V1344	V-ba	0,5	muy fino	laminar	2	0.1	1	0.0	12	0,4	0	0.0
V1344-U15-01	LT-V1344	V-ba	6	muy fino	redondeada	4	2.2	1	0.5	4	2,2	0	0.0
V1344-U15-08	LT-V1344	V-ba	5	muy fino	laminar	10	1.3	7	0.9	15	2,0	0	0.0
V1344-U15-14	LT-V1344	V-ba	4	muy fino	redondeada	9	1.7	3	0.6	2	0,4	0	0.0
V1344-U22-17	LT-V1344	V-ba	5	muy fino	redondeada	3	0.8	2	0.6	7	1,9	0	0.0
V1344-U23-02	LT-V1344	V-ba	3	muy fino	redondeada	4	0.6	6	0.9	4	0,6	0	0.0
V1344-U23-06	LT-V1344	V-ba	12	muy fino/ fino	redondeada	4	2.4	4	2.4	0	0,0	0	0.0
V1344-U23-08	LT-V1344	V-ba	13	muy fino/ fino	redondeada	10	3.7	3	1.1	12	4,5	0	0.0
V1344-U23-19	LT-V1344	V-ba	4,5	fino	redondeada	4	0.7	0	0.0	7	1,2	0	0.0
V1344-U23-41	LT-V1344	V-ba	4	fino	redondeada	2	0.5	6	1.4	0	0,0	0	0.0
V1344-U23-43	LT-V1344	V-ba	5	muy fino/ fino	redondeada	11	2.8	1	0.3	2	0,5	0	0.0
V1344-U26-17	LT-V1344	V-ba	7	fino	red ang	3	0.9	3	0.9	2	0,6	0	0.0
V1344-U29-10	LT-V1344	V-ba	6	muy fino	laminar	5	1.5	3	0.9	10	3,0	0	0.0
V1344-U29-18	LT-V1344	V-ba	7	muy fino/ fino	redondeada	5	2.7	3	1.6	3	1,6	0	0.0
V1344-U31-01/04	LT-V1344	V-ba	4	muy fino/ fino	red laminar	7	1.3	3	0.6	9	1,7	0	0.0
V1344-U31-10	LT-V1344	V-ba	6	fino	redondeada	11	3.3	2	0.6	2	0,6	0	0.0
V1344-U31-11	LT-V1344	V-ba	2	muy fino/ fino	red lam	6	0.8	2	0.3	6	0,8	0	0.0
V1344-U31-19	LT-V1344	V-ba	0,5	muy fino	redondeada	5	0.1	5	0.1	5	0,1	0	0.0
V1344-U31-20	LT-V1344	V-ba	5	muy fino	redondeada	5	1.9	2	0.8	3	1,2	0	0.0
V1344-U31-22	LT-V1344	V-ba	8	muy fino/ fino	red laminar	12	3.3	2	0.6	10	2,8	0	0.0
V1344-U31-24	LT-V1344	V-ba	0,5	muy fino	red laminar	8	0.2	5	0.1	8	0,2	0	0.0
V1344-U31-24b	LT-V1344	V-ba	5	muy fino/ fino	laminar	8	1.0	6	0.7	18	2,2	0	0.0
V1344-U31-27	LT-V1344	V-ba	0	n/p	n p	0	0.0	0	0.0	0	0,0	0	0.0
V1344-U31-28	LT-V1344	V-ba	5	fino	redondeada	3	0.8	4	1.1	2	0,6	0	0.0
V1344-U31-29	LT-V1344	V-ba	3	muy fino	red laminar	2	0.3	7	1.0	7	1,0	0	0.0
V1344-U31-30	LT-V1344	V-ba	3,5	muy fino/ fino	redondeada	7	0.9	12	1.5	5	0,6	0	0.0
V1344-U43-12	LT-V1344	V-ba	2,5	muy fino	redondeada	6	0.7	5	0.5	2	0,2	0	0.0
V1344-U43-39	LT-V1344	V-ba	3,5	muy fino/ fino	redondeada	9	0.7	4	0.3	9	0,7	0	0.0
V1344-U43-48	LT-V1344	V-ba	13	muy fino/ fino	red laminar	5	3.4	2	1.4	6	4,1	0	0.0
V1344-U43-53	LT-V1344	V-ba	2	muy fino/ fino	redondeada	6	0.5	1	0.1	6	0,5	0	0.0
V1344-U43-59	LT-V1344	V-ba	7	fino	redondeada	17	3.2	4	0.8	8	1,5	1	0.2
V1344-U47-01	LT-V1344	V-ba	2	muy fino	redondeada	7	0.7	1	0.1	3	0,3	0	0.0
V1344-U47-14	LT-V1344	V-ba	1,5	muy fino	angular	3	0.3	5	0.5	3	0,3	0	0.0
V1344-U47-18	LT-V1344	V-ba	0	n/p	n p	0	0.0	0	0.0	0	0,0	0	0.0
V1344-U53-22	LT-V1344	V-ba	8	fino/ muy fino	redondeada	6	3.4	2	1.1	3	1,7	0	0.0
V1344-U58-11	LT-V1344	V-ba	3	muy fino/ fino	red laminar	6	0.9	3	0.5	6	0,9	0	0.0
V1344-U63-04	LT-V1344	V-ba	7	muy fino/fino	redondeada	4	2.2	2	1.1	3	1,6	0	0.0
V1344-U66-03	LT-V1344	V-ba	4,5	fino/muy fino	red ang	5	1.4	1	0.3	1	0,3	0	0.0
V1344-U66-06	LT-V1344	V-ba	1,5	fino	redondeada	4	0.8	1	0.2	1	0,2	0	0.0
V1344-U66-14	LT-V1344	V-ba	10	muy fino/fino	laminar	4	0.9	5	1.1	25	5,4	0	0.0
V1344-U66-27	LT-V1344	V-ba	3	muy fino	laminar	0	0.0	0	0.0	23	3,0	0	0.0
V1344-U66-33	LT-V1344	V-ba	4	fino/muy fino	red lam	6	0.6	4	0.4	17	1,8	2	0.2
V1344-U66-34	LT-V1344	V-ba	1,5	fino	redondeada	3	0.3	1	0.1	3	0,3	0	0.0

Apéndice 3

Sigla	Tm/ia		frag roc volc		frag roc graníticos		lito/frag. no identif		otros		TT.	Observaciones	Pasta
	tt	p	tt	p	tt	p	tt	p	tt	p			
G2-08-03	0	0,0	0	0,0	0	0,0	4	1,8	0	0,0	9		I (A)
G2-08-04	0	0,0	0	0,0	0	0,0	5	5,6	0	0,0	8		I (A)
G2-11-01	0	0,0	0	0,0	0	0,0	2	0,9	0	0,0	15		I (A)
G2-14-06	0	0,0	0	0,0	0	0,0	5	1,5	0	0,0	20		I (A)
G2-51-01	0	0,0	0	0,0	0	0,0	5	2,9	0	0,0	21		I (A)
G2-61-01	0	0,0	0	0,0	0	0,0	0	0,0	0	0,0	0		I (A)
G2-65FM-02	0	0,0	0	0,0	0	0,0	6	3,2	0	0,0	17		I (A)
G3-749-01	0	0,0	0	0,0	0	0,0	12	2,0	0	0,0	18		I (A)
V1344-10	0	0,0	0	0,0	0	0,0	4	0,3	0	0,0	50		I (A)
V1344-15	0	0,0	0	0,0	0	0,0	2	0,2	0	0,0	34		I (A)
V1344-18	0	0,0	0	0,0	0	0,0	2	1,5	0	0,0	17		I (A)
V1344-20	0	0,0	0	0,0	0	0,0	0	0,0	0	0,0	0		I (A)
V1344-U03-03	0	0,0	0	0,0	0	0,0	19	3,5	0	0,0	38		I (A)
V1344-U11-04	0	0,0	0	0,0	0	0,0	11	4,6	0	0,0	29		I (A)
V1344-U13-23	0	0,0	0	0,0	0	0,0	0	0,0	1	0,0	16	materia orgánica quemada	I (A)
V1344-U15-01	0	0,0	0	0,0	0	0,0	2	1,1	0	0,0	11		I (A)
V1344-U15-08	0	0,0	0	0,0	0	0,0	6	0,8	0	0,0	38		I (A)
V1344-U15-14	0	0,0	0	0,0	0	0,0	7	1,3	0	0,0	21		I (A)
V1344-U22-17	0	0,0	0	0,0	0	0,0	6	1,7	0	0,0	18		I (A)
V1344-U23-02	0	0,0	0	0,0	0	0,0	6	0,9	0	0,0	20		I (A)
V1344-U23-06	0	0,0	0	0,0	0	0,0	12	7,2	0	0,0	20		I (A)
V1344-U23-08	0	0,0	0	0,0	0	0,0	10	3,7	0	0,0	35	litoclastos oscuros redondeados	I (A)
V1344-U23-19	0	0,0	0	0,0	0	0,0	15	2,6	0	0,0	26		I (A)
V1344-U23-41	0	0,0	0	0,0	0	0,0	9	2,1	0	0,0	17		I (A)
V1344-U23-43	0	0,0	0	0,0	0	0,0	5	1,3	1	0,3	20	materia orgánica quemada	I (A)
V1344-U26-17	0	0,0	0	0,0	0	0,0	16	4,7	0	0,0	24		I (A)
V1344-U29-10	0	0,0	0	0,0	0	0,0	2	0,6	0	0,0	20		I (A)
V1344-U29-18	0	0,0	0	0,0	0	0,0	2	1,1	0	0,0	13		I (A)
V1344-U31-01 04	0	0,0	0	0,0	0	0,0	2	0,4	0	0,0	21		I (A)
V1344-U31-10	0	0,0	0	0,0	0	0,0	5	1,5	0	0,0	20		I (A)
V1344-U31-11	0	0,0	0	0,0	0	0,0	1	0,1	0	0,0	15		I (A)
V1344-U31-19	0	0,0	0	0,0	0	0,0	5	0,1	0	0,0	20		I (A)
V1344-U31-20	0	0,0	0	0,0	0	0,0	3	1,2	0	0,0	13		I (A)
V1344-U31-22	0	0,0	0	0,0	0	0,0	5	1,4	0	0,0	29		I (A)
V1344-U31-24	0	0,0	0	0,0	0	0,0	5	0,1	0	0,0	26		I (A)
V1344-U31-24b	0	0,0	0	0,0	0	0,0	9	1,1	0	0,0	41		I (A)
V1344-U31-27	0	0,0	0	0,0	0	0,0	0	0,0	0	0,0	0		I (A)
V1344-U31-28	0	0,0	0	0,0	0	0,0	9	2,5	0	0,0	18		I (A)
V1344-U31-29	0	0,0	0	0,0	0	0,0	5	0,7	0	0,0	21		I (A)
V1344-U31-30	0	0,0	0	0,0	0	0,0	4	0,5	0	0,0	28		I (A)
V1344-U43-12	0	0,0	0	0,0	0	0,0	10	1,1	0	0,0	23		I (A)
V1344-U43-39	0	0,0	0	0,0	0	0,0	24	1,8	0	0,0	46		I (A)
V1344-U43-48	0	0,0	0	0,0	0	0,0	6	4,1	0	0,0	19		I (A)
V1344-U43-53	0	0,0	0	0,0	0	0,0	10	0,9	0	0,0	23		I (A)
V1344-U43-59	0	0,0	0	0,0	0	0,0	7	1,3	0	0,0	37		I (A)
V1344-U47-01	0	0,0	0	0,0	0	0,0	8	0,8	0	0,0	19		I (A)
V1344-U47-14	0	0,0	0	0,0	0	0,0	4	0,4	0	0,0	15		I (A)
V1344-U47-18	0	0,0	0	0,0	0	0,0	0	0,0	0	0,0	0		I (A)
V1344-U53-22	0	0,0	0	0,0	0	0,0	3	1,7	0	0,0	14		I (A)
V1344-U58-11	0	0,0	0	0,0	0	0,0	5	0,8	0	0,0	20		I (A)
V1344-U63-04	0	0,0	0	0,0	0	0,0	4	2,2	0	0,0	13		I (A)
V1344-U66-03	0	0,0	0	0,0	0	0,0	9	2,5	0	0,0	16		I (A)
V1344-U66-06	0	0,0	0	0,0	0	0,0	2	0,4	0	0,0	8		I (A)
V1344-U66-14	0	0,0	0	0,0	0	0,0	12	2,6	0	0,0	46		I (A)
V1344-U66-27	0	0,0	0	0,0	0	0,0	0	0,0	0	0,0	23		I (A)
V1344-U66-33	0	0,0	0	0,0	0	0,0	9	0,9	0	0,0	38		I (A)
V1344-U66-34	0	0,0	0	0,0	0	0,0	7	0,8	0	0,0	14		I (A)

Sigla	Procedencia	Eco-zona	% antip	tamaño	forma	q		f		m		ca	
						tt	p	tt	p	tt	p	tt	p
V1344-U72-07	LT-V1344	V-ba	4	fino/muy fino	redondeada	10	1.7	4	0.7	1	0,2	0	0.0
V1344-U72-12	LT-V1344	V-ba	8	fino/muy fino	redondeada	8	4.6	3	1.7	0	0,0	0	0.0
V1344-U74-05	LT-V1344	V-ba	5	muy fino/fino	redondeada	6	1.7	3	0.8	4	1,1	0	0.0
V1344-U74-10	LT-V1344	V-ba	8	muy fino/fino	red ang lam	7	1.5	17	3.7	10	2,2	0	0.0
V1344-U74-12	LT-V1344	V-ba	5	fino	redondeada	5	1.8	0	0.0	4	1,4	0	0.0
V1344-U74-26	LT-V1344	V-ba	3	fino/muy fino	redondeada	4	1.0	2	0.5	3	0,8	0	0.0
V1344-U74-29	LT-V1344	V-ba	5	fino	redondeada	9	2.0	2	0.4	0	0,0	0	0.0
V1344-U74-33	LT-V1344	V-ba	6	muy fino	redondeada	10	2.0	4	0.8	3	0,6	0	0.0
V1344-U74-44	LT-V1344	V-ba	9	muy fino	laminar	1	0.5	0	0.0	16	8,0	0	0.0
V1344-U74-49	LT-V1344	V-ba	7	muy fino/fino	redondeada	8	1.6	5	1.0	7	1,4	0	0.0
V1344-U74-75	LT-V1344	V-ba	7	muy fino	laminar	5	1.3	3	0.8	13	3,3	0	0.0
V1344-U74-80	LT-V1344	V-ba	6	fino	red ang	7	1.7	1	0.2	3	0,7	0	0.0
V1344-U92-03	LT-V1344	V-ba	0,5	muy fino	redondeada	3	0.2	0	0.0	2	0,1	0	0.0
V50PB-07	LT-V50	V-ba	5	muy fino	red laminar	2	0.8	2	0.8	5	2,1	0	0.0
V50PB-08	LT-V50	V-ba	0	n/p	n p	0	0.0	0	0.0	0	0,0	0	0.0
V50PB-13	LT-V50	V-ba	2	muy fino	laminar	1	0.1	1	0.1	17	1,8	0	0.0
V50PB-173-04	LT-V50	V-ba	2	muy fino	ang laminar	2	0.3	4	0.5	5	0,6	0	0.0
V50PB-173-12	LT-V50	V-ba	7	fino	redondeada	5	2.2	2	0.9	2	0,9	0	0.0
V50PB-173-13	LT-V50	V-ba	3	fino	red ang	3	0.6	4	0.9	4	0,9	0	0.0
V50PB-173-14	LT-V50	V-ba	7	fino/muy fino	red ang lam	3	0.9	8	2.3	10	2,9	0	0.0
V50PB-173-17	LT-V50	V-ba	12	fino/muy fino	redondeada	19	6.0	2	0.6	5	1,6	0	0.0
V50PB-173-22	LT-V50	V-ba	2	muy fino	redondeada	0	0.0	1	0.3	2	0,6	2	0.6
V50PB-173-24	LT-V50	V-ba	10	fino/muy fino	redondeada	6	3.8	3	1.9	2	1,3	1	0.6
V50PB-175-09	LT-V50	V-ba	9	fino	angular	2	1.1	6	3.2	1	0,5	0	0.0
V50PB-176-02	LT-V50	V-ba	8	muy fino	redondeada	15	3.5	8	1.9	7	1,6	0	0.0
V50PB-176-05	LT-V50	V-ba	1	muy fino	laminar	1	0.1	1	0.1	13	0,9	0	0.0
V50PB-176-07	LT-V50	V-ba	7	muy fino/fino	red ang	2	1.1	5	2.7	3	1,6	0	0.0
V50PB-176-19	LT-V50	V-ba	0,5	muy fino	laminar	1	0.0	1	0.0	9	0,3	0	0.0
V50PB-177-05	LT-V50	V-ba	4	fino	red laminar	3	0.5	3	0.5	7	1,2	0	0.0
V50PB-SN-01	LT-V50	V-ba	4	medio/fino	red laminar	2	0.2	1	0.1	32	3,3	0	0.0
V50PB-SN-02	LT-V50	V-ba	1	muy fino	laminar	2	0.1	1	0.0	14	0,5	0	0.0
V50PB-wp80-01	LT-V50	V-ba	9	fino/muy fino	redondeada	11	3.2	5	1.5	3	0,9	0	0.0
V50PB-wp80-02	LT-V50	V-ba	3	fino	red laminar	5	0.8	1	0.2	9	1,4	0	0.0
V50PB-wp80-03	LT-V50	V-ba	2	muy fino	redondeada	5	0.6	2	0.3	3	0,4	1	0.1
V50PB-wp80-04	LT-V50	V-ba	1	muy fino/fino	laminar	0	0.0	0	0.0	19	0,8	0	0.0
V50PB-wp80-06	LT-V50	V-ba	1	fino	red laminar	3	0.3	1	0.1	5	0,6	0	0.0
V50PB-wp80-08	LT-V50	V-ba	2,5	muy fino	redondeada	4	0.6	5	0.7	0	0,0	1	0.1
V-OLLA 07/1	La Troya	V-ba	6	fino	redondeada	12	3.8	1	0.3	0	0,0	0	0.0
V-OLLA 07/3	La Troya	V-ba	6	muy fino	redondeada	15	3.6	1	0.2	5	1,2	0	0.0
V-OLLA 10	La Troya	V-ba	2	muy fino	redondeada	10	1.1	0	0.0	5	0,6	0	0.0
V-OLLA 12/1	La Troya	V-ba	4	muy fino	redondeada	14	2.5	0	0.0	1	0,2	0	0.0
V-OLLA 12/2	La Troya	V-ba	4	muy fino	redondeada	13	2.6	0	0.0	1	0,2	0	0.0
V-OLLA 13	La Troya	V-ba	5	fino	redondeada	14	3.0	0	0.0	5	1,1	0	0.0
Huan-02	Huanchín	V-me	0,5	muy fino	red laminar	2	0.2	0	0.0	2	0,2	0	0.0
Huan-04	Huanchín	V-me	0	n/p	n p	0	0.0	0	0.0	0	0,0	0	0.0
Huan-05	Huanchín	V-me	4	fino	redondeada	11	1.8	1	0.2	4	0,6	0	0.0
Huan-06	Huanchín	V-me	0	n/p	n p	0	0.0	0	0.0	0	0,0	0	0.0
Huan-07	Huanchín	V-me	0,1	muy fino	redondeada	2	0.0	1	0.0	0	0,0	0	0.0
Huan-08	Huanchín	V-me	10	fino	redondeada	8	4.7	1	0.6	1	0,6	0	0.0
Huan-09	Huanchín	V-me	0	n/p	n p	0	0.0	0	0.0	0	0,0	0	0.0
Huan-10	Huanchín	V-me	13	muy fino	red laminar	6	3.4	4	2.3	7	4,0	0	0.0
Huan-11	Huanchín	V-me	3	muy fino	laminar	0	0.0	0	0.0	13	2,6	0	0.0
Huan-13	Huanchín	V-me	0	n/p	n p	0	0.0	0	0.0	0	0,0	0	0.0
Huan-14	Huanchín	V-me	6	muy fino	laminar	2	0.6	3	0.9	13	4,1	0	0.0
Huan-15	Huanchín	V-me	5	fino	redondeada	8	3.6	3	1.4	0	0,0	0	0.0
Huan-16	Huanchín	V-me	2,5	muy fino	redondeada	5	1.0	2	0.4	0	0,0	0	0.0
Huan-17	Huanchín	V-me	12	muy fino	redondeada	10	4.1	8	3.3	3	1,2	0	0.0

Sigla	Tm/ia		frag roc volc		frag roc graníticos		lito/frag. no identif		otros		TT.	Observaciones	Pasta
	tt	p	tt	p	tt	p	tt	p	tt	p			
V1344-U72-07	0	0,0	0	0,0	0	0,0	9	1,5	0	0,0	24		I (A)
V1344-U72-12	0	0,0	0	0,0	0	0,0	3	1,7	0	0,0	14		I (A)
V1344-U74-05	0	0,0	0	0,0	0	0,0	5	1,4	0	0,0	18		I (A)
V1344-U74-10	0	0,0	0	0,0	0	0,0	3	0,6	0	0,0	37		I (A)
V1344-U74-12	0	0,0	0	0,0	0	0,0	5	1,8	0	0,0	14		I (A)
V1344-U74-26	0	0,0	0	0,0	0	0,0	3	0,8	0	0,0	12		I (A)
V1344-U74-29	0	0,0	0	0,0	0	0,0	12	2,6	0	0,0	23		I (A)
V1344-U74-33	0	0,0	0	0,0	0	0,0	13	2,6	0	0,0	30		I (A)
V1344-U74-44	0	0,0	0	0,0	0	0,0	1	0,5	0	0,0	18		I (A)
V1344-U74-49	0	0,0	0	0,0	0	0,0	15	3,0	0	0,0	35		I (A)
V1344-U74-75	0	0,0	0	0,0	0	0,0	7	1,8	0	0,0	28		I (A)
V1344-U74-80	0	0,0	0	0,0	0	0,0	14	3,4	0	0,0	25		I (A)
V1344-U92-03	0	0,0	0	0,0	0	0,0	3	0,2	0	0,0	8		I (A)
V50PB-07	0	0,0	0	0,0	0	0,0	3	1,3	0	0,0	12		I (A)
V50PB-08	0	0,0	0	0,0	0	0,0	0	0,0	0	0,0	0		I (A)
V50PB-13	0	0,0	0	0,0	0	0,0	0	0,0	0	0,0	19		I (A)
V50PB-173-04	0	0,0	0	0,0	0	0,0	5	0,6	0	0,0	16		I (A)
V50PB-173-12	0	0,0	0	0,0	0	0,0	7	3,1	0	0,0	16		I (A)
V50PB-173-13	0	0,0	0	0,0	0	0,0	2	0,4	1	0,2	14	materia orgánica quemada	I (A)
V50PB-173-14	0	0,0	0	0,0	0	0,0	3	0,9	0	0,0	24		I (A)
V50PB-173-17	0	0,0	0	0,0	0	0,0	12	3,8	0	0,0	38		I (A)
V50PB-173-22	0	0,0	0	0,0	0	0,0	2	0,6	0	0,0	7		I (A)
V50PB-173-24	0	0,0	0	0,0	0	0,0	4	2,5	0	0,0	16		I (A)
V50PB-175-09	0	0,0	0	0,0	0	0,0	8	4,2	0	0,0	17		I (A)
V50PB-176-02	0	0,0	0	0,0	0	0,0	4	0,9	0	0,0	34		I (A)
V50PB-176-05	0	0,0	0	0,0	0	0,0	0	0,0	0	0,0	15		I (A)
V50PB-176-07	0	0,0	0	0,0	0	0,0	3	1,6	0	0,0	13		I (A)
V50PB-176-19	0	0,0	0	0,0	0	0,0	2	0,1	0	0,0	13		I (A)
V50PB-177-05	0	0,0	0	0,0	0	0,0	10	1,7	0	0,0	23		I (A)
V50PB-SN-01	0	0,0	0	0,0	0	0,0	3	0,3	1	0,1	39	materia orgánica quemada	I (A)
V50PB-SN-02	0	0,0	0	0,0	0	0,0	10	0,4	0	0,0	27		I (A)
V50PB-wp80-01	0	0,0	0	0,0	0	0,0	12	3,5	0	0,0	31		I (A)
V50PB-wp80-02	0	0,0	0	0,0	0	0,0	4	0,6	0	0,0	19		I (A)
V50PB-wp80-03	0	0,0	0	0,0	0	0,0	5	0,6	0	0,0	16		I (A)
V50PB-wp80-04	0	0,0	0	0,0	0	0,0	5	0,2	0	0,0	24		I (A)
V50PB-wp80-06	0	0,0	0	0,0	0	0,0	0	0,0	0	0,0	9		I (A)
V50PB-wp80-08	0	0,0	0	0,0	0	0,0	8	1,1	0	0,0	18		I (A)
V-OLLA 07 1	0	0,0	0	0,0	0	0,0	5	1,6	1	0,3	19	materia orgánica quemada	I (A)
V-OLLA 07 3	0	0,0	0	0,0	0	0,0	4	1,0	0	0,0	25		I (A)
V-OLLA 10	0	0,0	0	0,0	0	0,0	3	0,3	0	0,0	18		I (A)
V-OLLA 12 1	0	0,0	0	0,0	0	0,0	7	1,3	0	0,0	22		I (A)
V-OLLA 12 2	0	0,0	0	0,0	0	0,0	6	1,2	0	0,0	20		I (A)
V-OLLA 13	0	0,0	0	0,0	0	0,0	4	0,9	0	0,0	23		I (A)
Huan-02	0	0,0	0	0,0	0	0,0	2	0,2	0	0,0	6		I (A)
Huan-04	0	0,0	0	0,0	0	0,0	0	0,0	0	0,0	0		I (A)
Huan-05	0	0,0	0	0,0	0	0,0	9	1,4	0	0,0	25		I (A)
Huan-06	0	0,0	0	0,0	0	0,0	0	0,0	0	0,0	0		I (A)
Huan-07	0	0,0	0	0,0	0	0,0	1	0,0	3	0,0	7	materia orgánica quemada	I (A)
Huan-08	0	0,0	0	0,0	0	0,0	4	2,4	3	1,8	17	materia orgánica quemada	I (A)
Huan-09	0	0,0	0	0,0	0	0,0	0	0,0	0	0,0	0		I (A)
Huan-10	0	0,0	0	0,0	0	0,0	1	0,6	5	2,8	23	materia orgánica quemada	I (A)
Huan-11	0	0,0	0	0,0	0	0,0	0	0,0	2	0,4	15	materia orgánica quemada	I (A)
Huan-13	0	0,0	0	0,0	0	0,0	0	0,0	0	0,0	0		I (A)
Huan-14	0	0,0	0	0,0	0	0,0	1	0,3	0	0,0	19		I (A)
Huan-15	0	0,0	0	0,0	0	0,0	0	0,0	0	0,0	11		I (A)
Huan-16	0	0,0	0	0,0	0	0,0	5	1,0	0	0,0	12		I (A)
Huan-17	0	0,0	0	0,0	0	0,0	8	3,3	0	0,0	29		I (A)

Sigla	Procedencia	Eco-zona	% antip	tamaño	forma	q		f		m		ca	
						tt	p	tt	p	tt	p	tt	p
Huan-18	Huanchín	V-me	1	muy fino	red laminar	4	0.4	0	0.0	6	0,5	0	0.0
Huan-19	Huanchín	V-me	2	fino	red laminar	2	0.4	2	0.4	4	0,7	0	0.0
Huan-22	Huanchín	V-me	9	fino	redondeada	4	2.6	2	1.3	1	0,6	0	0.0
Huan-23	Huanchín	V-me	3	muy fino	redondeada	11	1.5	1	0.1	2	0,3	0	0.0
Huan-24	Huanchín	V-me	0,5	muy fino	redondeada	2	0.1	2	0.1	2	0,1	0	0.0
Huan-25	Huanchín	V-me	2	muy fino	redondeada	1	0.3	1	0.3	0	0,0	0	0.0
Huan-26	Huanchín	V-me	4	muy fino/fino	redondeada	4	1.2	3	0.9	2	0,6	0	0.0
Huan-27	Huanchín	V-me	5	muy fino	redondeada	4	1.3	3	1.0	4	1,3	0	0.0
Huan-28	Huanchín	V-me	3	muy fino	redondeada	5	1.1	3	0.6	2	0,4	0	0.0
Huan-29	Huanchín	V-me	6	fino/muy fino	redondeada	5	1.7	3	1.0	4	1,3	0	0.0
Huan-30	Huanchín	V-me	5	muy fino	redondeada	4	1.3	3	1.0	4	1,3	0	0.0
Huan-31	Huanchín	V-me	3	muy fino	redondeada	5	1.1	2	0.4	4	0,9	0	0.0
Huan-32	Huanchín	V-me	3	muy fino	redondeada	4	0.7	3	0.5	5	0,9	0	0.0
Huan-33	Huanchín	V-me	0	n/p	n p	0	0.0	0	0.0	0	0,0	0	0.0
melga2-01	Melga 2	V-me	3	fino	red laminar	7	0.8	3	0.3	11	1,2	0	0.0
melga2-02	Melga 2	V-me	2	muy fino	red laminar	16	0.9	0	0.0	12	0,7	0	0.0
Mishma2-01	Mishma 2	V-me	7	muy fino/fino	redondeada	11	3.2	2	0.6	4	1,2	0	0.0
Mishma2-02	Mishma 2	V-me	1	muy fino	redondeada	4	0.4	4	0.4	0	0,0	0	0.0
Mishma2-03	Mishma 2	V-me	1	muy fino	red ang	3	0.4	2	0.3	0	0,0	0	0.0
Mishma2-04	Mishma 2	V-me	1	muy fino	laminar	3	0.3	0	0.0	7	0,6	0	0.0
Mishma2-05	Mishma 2	V-me	0	n/p	n p	0	0.0	0	0.0	0	0,0	0	0.0
Mishma2-06	Mishma 2	V-me	2	muy fino	red laminar	5	0.8	0	0.0	4	0,7	0	0.0
Mishma2-07	Mishma 2	V-me	3	muy fino	redondeada	5	0.9	3	0.5	3	0,5	0	0.0
Mishma2-08	Mishma 2	V-me	3	muy fino	redondeada	4	0.8	3	0.6	4	0,8	0	0.0
Mishma2-10	Mishma 2	V-me	3	muy fino	redondeada	5	1.3	2	0.5	1	0,3	0	0.0
PC-003	Punta Colorada	V-me	7	muy fino	redondeada	16	3.6	6	1.4	2	0,5	0	0.0
PC-004	Punta Colorada	V-me	1	muy fino	redondeada	8	0.6	1	0.1	1	0,1	0	0.0
PC-006	Punta Colorada	V-me	4	muy fino	redondeada	3	0.7	2	0.4	1	0,2	0	0.0
PC-008	Punta Colorada	V-me	8	muy fino	redondeada	9	3.0	1	0.3	0	0,0	0	0.0
PC-011	Punta Colorada	V-me	6	muy fino	redondeada	6	2.4	4	1.6	2	0,8	0	0.0
PC-020	Punta Colorada	V-me	2	fino	redondeada	1	0.7	0	0.0	0	0,0	0	0.0
PC-025	Punta Colorada	V-me	1,5	muy fino	redondeada	4	0.5	2	0.2	2	0,2	0	0.0
PC-026	Punta Colorada	V-me	0,5	muy fino	laminar	1	0.1	0	0.0	6	0,4	0	0.0
PC-027	Punta Colorada	V-me	3	muy fino	laminar	3	0.5	1	0.2	8	1,4	0	0.0
PC-046	Punta Colorada	V-me	0	n/p	n p	0	0.0	0	0.0	0	0,0	0	0.0
PC-048	Punta Colorada	V-me	0	n/p	n p	0	0.0	0	0.0	0	0,0	0	0.0
PC-049	Punta Colorada	V-me	0	n/p	n p	0	0.0	0	0.0	0	0,0	0	0.0
PC-082	Punta Colorada	V-me	4	muy fino	redondeada	12	1.5	1	0.1	8	1,0	0	0.0
PC-098	Punta Colorada	V-me	3	muy fino	redondeada	2	0.8	1	0.4	2	0,8	0	0.0
PC-125	Punta Colorada	V-me	3	muy fino	redondeada	3	0.8	2	0.5	2	0,5	0	0.0
PC-145	Punta Colorada	V-me	14	fino	redondeada	11	7.7	2	1.4	2	1,4	0	0.0
PC-146	Punta Colorada	V-me	1,5	fino	redondeada	2	0.3	1	0.2	0	0,0	0	0.0
PC-150	Punta Colorada	V-me	2	muy fino	redondeada	3	0.5	2	0.3	3	0,5	0	0.0
PC-151	Punta Colorada	V-me	10	muy fino	redondeada	3	2.5	3	2.5	4	3,3	0	0.0
PC-152	Punta Colorada	V-me	3	muy fino	redondeada	3	0.9	2	0.6	2	0,6	0	0.0
PC-153	Punta Colorada	V-me	3	muy fino/fino	redondeada	4	1.5	2	0.8	0	0,0	0	0.0
PC-154	Punta Colorada	V-me	5	muy fino	red laminar	8	1.4	1	0.2	7	1,3	0	0.0
PC-156	Punta Colorada	V-me	1	fino	angular	1	0.5	1	0.5	0	0,0	0	0.0
PC-157	Punta Colorada	V-me	5	muy fino	redondeada	6	1.7	4	1.1	2	0,6	1	0.3
PC-158	Punta Colorada	V-me	4	muy fino/fino	redondeada	6	1.2	3	0.6	3	0,6	0	0.0
Ho-16186	MJJM	V-al	7	fino	redondeada	8	2.3	1	0.3	7	2,0	2	0.6
PBNH1-002	Palo Blanco NH1	V-al	6	fino	laminar	15	2.2	1	0.1	21	3,1	1	0.1
PBNH1-008	Palo Blanco NH1	V-al	2,5	muy fino	redondeada	9	1.0	2	0.2	6	0,7	0	0.0
PBNH1-009	Palo Blanco NH1	V-al	3	muy fino/fino	laminar	0	0.0	0	0.0	25	3,0	0	0.0
PBNH1-011	Palo Blanco NH1	V-al	3	fino	redondeada	14	2.2	0	0.0	3	0,5	0	0.0
PBNH1-015-16-17	Palo Blanco NH1	V-al	3	fino	red laminar	9	1.3	2	0.3	9	1,3	0	0.0

Sigla	Tm/ia		frag roc volc		frag roc graníticos		lito/frag. no identif		otros		TT.	Observaciones	Pasta
	tt	p	tt	p	tt	p	tt	p	tt	p			
Huan-18	0	0,0	0	0,0	0	0,0	1	0,1	0	0,0	11		I(A)
Huan-19	0	0,0	0	0,0	0	0,0	3	0,5	0	0,0	11		I(A)
Huan-22	0	0,0	0	0,0	0	0,0	7	4,5	0	0,0	14		I(A)
Huan-23	0	0,0	0	0,0	0	0,0	8	1,1	0	0,0	22		I(A)
Huan-24	0	0,0	0	0,0	0	0,0	2	0,1	0	0,0	8		I(A)
Huan-25	0	0,0	0	0,0	0	0,0	0	0,0	4	1,3	6	materia orgánica quemada	I(A)
Huan-26	0	0,0	0	0,0	0	0,0	4	1,2	0	0,0	13		I(A)
Huan-27	0	0,0	0	0,0	0	0,0	4	1,3	0	0,0	15		I(A)
Huan-28	0	0,0	0	0,0	0	0,0	4	0,9	0	0,0	14		I(A)
Huan-29	0	0,0	0	0,0	0	0,0	6	2,0	0	0,0	18		I(A)
Huan-30	0	0,0	0	0,0	0	0,0	4	1,3	0	0,0	15		I(A)
Huan-31	0	0,0	0	0,0	0	0,0	3	0,6	0	0,0	14		I(A)
Huan-32	0	0,0	0	0,0	0	0,0	5	0,9	0	0,0	17		I(A)
Huan-33	0	0,0	0	0,0	0	0,0	0	0,0	0	0,0	0		I(A)
melga2-01	0	0,0	0	0,0	0	0,0	3	0,3	4	0,4	28	materia orgánica quemada	I(A)
melga2-02	0	0,0	0	0,0	0	0,0	3	0,2	3	0,2	34	materia orgánica quemada	I(A)
Mishma2-01	0	0,0	0	0,0	0	0,0	7	2,0	0	0,0	24		I(A)
Mishma2-02	0	0,0	0	0,0	0	0,0	2	0,2	0	0,0	10		I(A)
Mishma2-03	0	0,0	0	0,0	0	0,0	3	0,4	0	0,0	8		I(A)
Mishma2-04	0	0,0	0	0,0	0	0,0	2	0,2	0	0,0	12		I(A)
Mishma2-05	0	0,0	0	0,0	0	0,0	0	0,0	0	0,0	0		I(A)
Mishma2-06	0	0,0	0	0,0	0	0,0	3	0,5	0	0,0	12		I(A)
Mishma2-07	0	0,0	0	0,0	0	0,0	6	1,1	0	0,0	17		I(A)
Mishma2-08	0	0,0	0	0,0	0	0,0	4	0,8	0	0,0	15		I(A)
Mishma2-10	0	0,0	0	0,0	0	0,0	4	1,0	0	0,0	12		I(A)
PC-003	0	0,0	0	0,0	0	0,0	7	1,6	0	0,0	31		I(A)
PC-004	0	0,0	0	0,0	0	0,0	3	0,2	0	0,0	13		I(A)
PC-006	0	0,0	0	0,0	0	0,0	6	1,3	6	1,3	18	materia orgánica quemada	I(A)
PC-008	0	0,0	0	0,0	0	0,0	14	4,7	0	0,0	24		I(A)
PC-011	0	0,0	0	0,0	0	0,0	3	1,2	0	0,0	15		I(A)
PC-020	0	0,0	0	0,0	0	0,0	2	1,3	0	0,0	3		I(A)
PC-025	0	0,0	0	0,0	0	0,0	4	0,5	1	0,1	13	materia orgánica quemada	I(A)
PC-026	0	0,0	0	0,0	0	0,0	0	0,0	0	0,0	7		I(A)
PC-027	0	0,0	0	0,0	0	0,0	3	0,5	2	0,4	17	materia orgánica quemada	I(A)
PC-046	0	0,0	0	0,0	0	0,0	0	0,0	0	0,0	0		I(A)
PC-048	0	0,0	0	0,0	0	0,0	0	0,0	0	0,0	0		I(A)
PC-049	0	0,0	0	0,0	0	0,0	0	0,0	0	0,0	0		I(A)
PC-082	0	0,0	0	0,0	0	0,0	10	1,3	0	0,0	31		I(A)
PC-098	0	0,0	0	0,0	0	0,0	3	1,1	0	0,0	8		I(A)
PC-125	0	0,0	0	0,0	0	0,0	4	1,1	0	0,0	11		I(A)
PC-145	0	0,0	0	0,0	0	0,0	5	3,5	0	0,0	20		I(A)
PC-146	0	0,0	0	0,0	0	0,0	6	1,0	0	0,0	9		I(A)
PC-150	0	0,0	0	0,0	0	0,0	4	0,7	0	0,0	12		I(A)
PC-151	0	0,0	0	0,0	0	0,0	2	1,7	0	0,0	12		I(A)
PC-152	0	0,0	0	0,0	0	0,0	3	0,9	0	0,0	10		I(A)
PC-153	0	0,0	0	0,0	0	0,0	2	0,8	0	0,0	8		I(A)
PC-154	0	0,0	0	0,0	0	0,0	8	1,4	4	0,7	28	materia orgánica quemada	I(A)
PC-156	0	0,0	0	0,0	0	0,0	0	0,0	0	0,0	2		I(A)
PC-157	0	0,0	0	0,0	0	0,0	3	0,8	2	0,6	18	materia orgánica quemada	I(A)
PC-158	0	0,0	0	0,0	0	0,0	8	1,6	0	0,0	20		I(A)
Ho-16186	0	0,0	0	0,0	0	0,0	6	1,8	0	0,0	24		I(A)
PBNH1-002	0	0,0	0	0,0	0	0,0	1	0,1	2	0,3	41	materia orgánica quemada	I(A)
PBNH1-008	0	0,0	0	0,0	0	0,0	3	0,3	3	0,3	23	materia orgánica quemada	I(A)
PBNH1-009	0	0,0	0	0,0	0	0,0	0	0,0	0	0,0	25		I(A)
PBNH1-011	0	0,0	0	0,0	0	0,0	1	0,2	1	0,2	19	materia orgánica quemada	I(A)
PBNH1-015 16-17	0	0,0	0	0,0	0	0,0	1	0,1	0	0,0	21		I(A)

Sigla	Procedencia	Eco-zona	% antip	tamaño	forma	q		f		m		ca	
						tt	p	tt	p	tt	p	tt	p
PBNH1-020	Palo Blanco NH1	V-al	3	fino	red laminar	10	1.5	0	0.0	7	1,1	0	0.0
PBNH1-023	Palo Blanco NH1	V-al	2	fino	redondeada	3	0.8	0	0.0	2	0,5	0	0.0
PBNH1-035	Palo Blanco NH1	V-al	5	fino	redondeada	13	3.4	2	0.5	2	0,5	0	0.0
PBNH1-037	Palo Blanco NH1	V-al	7	muy fino/fino	redondeada	12	4.7	1	0.4	0	0,0	0	0.0
PBNH1-039	Palo Blanco NH1	V-al	5	fino/muy fino	redondeada	9	2.4	2	0.5	2	0,5	1	0.3
PBNH1-041	Palo Blanco NH1	V-al	1	muy fino	laminar	0	0.0	0	0.0	17	1,0	0	0.0
PBNH1-042	Palo Blanco NH1	V-al	12	muy fino	redondeada	21	5.9	3	0.8	10	2,8	0	0.0
PBNH1-043	Palo Blanco NH1	V-al	3	muy fino	laminar	5	0.5	2	0.2	18	1,9	0	0.0
PBNH1-045	Palo Blanco NH1	V-al	7	fino	redondeada	16	3.6	2	0.5	8	1,8	2	0.5
PBNH1-047	Palo Blanco NH1	V-al	0,99	fino	redondeada	3	1.0	0	0.0	0	0,0	0	0.0
PBNH1-069	Palo Blanco NH1	V-al	6	fino	redondeada	21	3.7	1	0.2	4	0,7	2	0.4
PBNH1-091	Palo Blanco NH1	V-al	6	fino	redondeada	11	2.9	0	0.0	0	0,0	1	0.3
PBNH1-092	Palo Blanco NH1	V-al	0	n/p	n p	0	0.0	0	0.0	0	0,0	0	0.0
PBNH1-097	Palo Blanco NH1	V-al	6	muy fino/fino	red laminar	7	1.3	2	0.4	19	3,5	0	0.0
PBNH1-098	Palo Blanco NH1	V-al	3	muy fino	red laminar	8	0.8	1	0.1	15	1,6	0	0.0
PBNH1-104	Palo Blanco NH1	V-al	0	n/p	n p	0	0.0	0	0.0	0	0,0	0	0.0
PBNH1-109	Palo Blanco NH1	V-al	2	muy fino	red laminar	3	0.3	2	0.2	10	1,1	0	0.0
PBNH1-115	Palo Blanco NH1	V-al	4	muy fino/fino	laminar	6	0.8	2	0.3	20	2,8	0	0.0
PBNH1-116	Palo Blanco NH1	V-al	1	muy fino	redondeada	3	0.6	0	0.0	0	0,0	0	0.0
PBNH1-117	Palo Blanco NH1	V-al	3,5	muy fino	laminar	0	0.0	0	0.0	30	3,5	0	0.0
PBNH1-118	Palo Blanco NH1	V-al	2	fino	redondeada	5	1.1	0	0.0	1	0,2	0	0.0
PBNH1-123	Palo Blanco NH1	V-al	1	muy fino	laminar	2	0.1	1	0.0	19	0,9	0	0.0
PBNH1-124	Palo Blanco NH1	V-al	3	muy fino	red laminar	7	0.7	2	0.2	19	1,8	0	0.0
PBNH1-125	Palo Blanco NH1	V-al	5	muy fino/fino	redondeada	7	1.8	3	0.8	6	1,5	0	0.0
PBNH1-127	Palo Blanco NH1	V-al	3,5	fino/muy fino	angular	0	0.0	5	1.8	3	1,1	0	0.0
PBNH1-141	Palo Blanco NH1	V-al	0	n/p	n p	0	0.0	0	0.0	0	0,0	0	0.0
PBNH2-001	Palo Blanco NH2	V-al	1,5	muy fino	laminar	1	0.1	2	0.1	18	1,2	0	0.0
PBNH2-002	Palo Blanco NH2	V-al	1	muy fino	laminar	2	0.1	3	0.2	12	0,7	0	0.0
PBNH2-005	Palo Blanco NH2	V-al	1	muy fino	redondeada	3	0.3	1	0.1	3	0,3	0	0.0
PBNH2-006	Palo Blanco NH2	V-al	3	fino	redondeada	5	0.8	1	0.2	6	1,0	0	0.0
PBNH2-008	Palo Blanco NH2	V-al	1,5	muy fino	redondeada	4	0.6	2	0.3	2	0,3	0	0.0
PBNH2-014	Palo Blanco NH2	V-al	1,5	muy fino	redondeada	3	0.3	1	0.1	5	0,6	0	0.0
PBNH3-005-03	Palo Blanco NH3	V-al	2	fino	redondeada	6	1.0	0	0.0	4	0,7	0	0.0
PBNH3-005-22	Palo Blanco NH3	V-al	3	muy fino	redondeada	8	1.3	3	0.5	2	0,3	0	0.0
PBNH3-009-01	Palo Blanco NH3	V-al	3	muy fino	red/ang	3	0.7	3	0.7	2	0,5	0	0.0
PBNH3-010-09	Palo Blanco NH3	V-al	0,5	muy fino	red laminar	4	0.1	2	0.1	5	0,2	0	0.0
PBNH3-010-10	Palo Blanco NH3	V-al	3	fino	redondeada	3	0.9	0	0.0	1	0,3	1	0.3
PBNH3-012-01	Palo Blanco NH3	V-al	0	n/p	n p	0	0.0	0	0.0	0	0,0	0	0.0
PBNH3-024-02	Palo Blanco NH3	V-al	1	muy fino	redondeada	6	0.5	0	0.0	3	0,2	0	0.0
PBNH3-034-01	Palo Blanco NH3	V-al	0,5	muy fino	laminar	3	0.1	0	0.0	12	0,3	0	0.0
PBNH3-057-01	Palo Blanco NH3	V-al	0	n/p	n p	0	0.0	0	0.0	0	0,0	0	0.0
PBNH3-073-02	Palo Blanco NH3	V-al	3	fino	redondeada	7	1.0	2	0.3	5	0,7	2	0.3
PBNH3-076-01	Palo Blanco NH3	V-al	2	muy fino/fino	laminar	4	0.2	0	0.0	28	1,6	0	0.0
PBNH3-082-15	Palo Blanco NH3	V-al	0,5	muy fino	red laminar	5	0.1	0	0.0	15	0,4	0	0.0
PBNH3-091-02	Palo Blanco NH3	V-al	1	muy fino	red laminar	3	0.1	0	0.0	15	0,6	0	0.0
PBNH3-091-03	Palo Blanco NH3	V-al	0,5	muy fino	redondeada	1	0.0	1	0.0	3	0,1	0	0.0
PBNH3-100-07	Palo Blanco NH3	V-al	2	muy fino/fino	red laminar	2	0.3	0	0.0	7	0,9	0	0.0
PBNH3-101-04	Palo Blanco NH3	V-al	1	fino	red laminar	2	0.1	2	0.1	22	0,8	0	0.0
PBNH3-101-05	Palo Blanco NH3	V-al	5	fino/muy fino	red/ang	10	2.3	2	0.5	2	0,5	0	0.0
PBNH3-101-13 18	Palo Blanco NH3	V-al	8	muy fino	redondeada	8	3.6	2	0.9	3	1,3	0	0.0
PBNH3-107-01	Palo Blanco NH3	V-al	1,5	muy fino	redondeada	10	0.9	1	0.1	3	0,3	0	0.0
PBNH3-117-04	Palo Blanco NH3	V-al	0,5	muy fino	laminar	4	0.1	0	0.0	9	0,3	0	0.0
PBNH3-117-25	Palo Blanco NH3	V-al	1	muy fino	redondeada	7	0.5	1	0.1	5	0,3	0	0.0
PBNH3-128-01	Palo Blanco NH3	V-al	4	fino	redondeada	7	2.0	1	0.3	2	0,6	0	0.0
PBNH3-130-01	Palo Blanco NH3	V-al	7	fino/muy fino	redondeada	2	0.8	9	3.7	3	1,2	0	0.0
PBNH3-155-02	Palo Blanco NH3	V-al	4	fino/muy fino	redondeada	16	2.8	0	0.0	3	0,5	0	0.0

Sigla	Tm/ia		frag roc volc		frag roc graníticos		lito/frag. no identif		otros		TT.	Observaciones	Pasta
	tt	p	tt	p	tt	p	tt	p	tt	p			
PBNH1-020	0	0,0	0	0,0	0	0,0	3	0,5	0	0,0	20		I(A)
PBNH1-023	0	0,0	0	0,0	0	0,0	3	0,8	0	0,0	8		I(A)
PBNH1-035	0	0,0	0	0,0	0	0,0	2	0,5	0	0,0	19		I(A)
PBNH1-037	0	0,0	0	0,0	0	0,0	5	1,9	0	0,0	18		I(A)
PBNH1-039	0	0,0	0	0,0	0	0,0	5	1,3	0	0,0	19		I(A)
PBNH1-041	0	0,0	0	0,0	0	0,0	0	0,0	0	0,0	17		I(A)
PBNH1-042	0	0,0	0	0,0	0	0,0	5	1,4	4	1,1	43	materia orgánica quemada	I(A)
PBNH1-043	0	0,0	0	0,0	0	0,0	3	0,3	0	0,0	28		I(A)
PBNH1-045	0	0,0	0	0,0	0	0,0	3	0,7	0	0,0	31		I(A)
PBNH1-047	0	0,0	0	0,0	0	0,0	0	0,0	0	0,0	3		I(A)
PBNH1-069	0	0,0	0	0,0	0	0,0	5	0,9	1	0,2	34	materia orgánica quemada	I(A)
PBNH1-091	0	0,0	0	0,0	0	0,0	11	2,9	0	0,0	23		I(A)
PBNH1-092	0	0,0	0	0,0	0	0,0	0	0,0	0	0,0	0		I(A)
PBNH1-097	0	0,0	0	0,0	0	0,0	3	0,5	2	0,4	33	materia orgánica quemada	I(A)
PBNH1-098	0	0,0	0	0,0	0	0,0	5	0,5	0	0,0	29		I(A)
PBNH1-104	0	0,0	0	0,0	0	0,0	0	0,0	0	0,0	0		I(A)
PBNH1-109	0	0,0	0	0,0	0	0,0	2	0,2	2	0,2	19	materia orgánica quemada	I(A)
PBNH1-115	0	0,0	0	0,0	0	0,0	1	0,1	0	0,0	29		I(A)
PBNH1-116	0	0,0	0	0,0	0	0,0	2	0,4	0	0,0	5		I(A)
PBNH1-117	0	0,0	0	0,0	0	0,0	0	0,0	0	0,0	30		I(A)
PBNH1-118	0	0,0	0	0,0	0	0,0	2	0,4	1	0,2	9	materia orgánica quemada	I(A)
PBNH1-123	0	0,0	0	0,0	0	0,0	0	0,0	0	0,0	22		I(A)
PBNH1-124	0	0,0	0	0,0	0	0,0	3	0,3	0	0,0	31		I(A)
PBNH1-125	0	0,0	0	0,0	0	0,0	4	1,0	0	0,0	20		I(A)
PBNH1-127	0	0,0	0	0,0	0	0,0	2	0,7	0	0,0	10		I(A)
PBNH1-141	0	0,0	0	0,0	0	0,0	0	0,0	0	0,0	0		I(A)
PBNH2-001	0	0,0	0	0,0	0	0,0	1	0,1	0	0,0	22		I(A)
PBNH2-002	0	0,0	0	0,0	0	0,0	0	0,0	0	0,0	17		I(A)
PBNH2-005	0	0,0	0	0,0	0	0,0	3	0,3	0	0,0	10		I(A)
PBNH2-006	0	0,0	0	0,0	0	0,0	6	1,0	0	0,0	18		I(A)
PBNH2-008	0	0,0	0	0,0	0	0,0	2	0,3	0	0,0	10		I(A)
PBNH2-014	0	0,0	0	0,0	0	0,0	4	0,5	0	0,0	13		I(A)
PBNH3-005-03	0	0,0	0	0,0	0	0,0	2	0,3	0	0,0	12		I(A)
PBNH3-005-22	0	0,0	0	0,0	0	0,0	5	0,8	0	0,0	18		I(A)
PBNH3-009-01	0	0,0	0	0,0	0	0,0	2	0,5	3	0,7	13	materia orgánica quemada	I(A)
PBNH3-010-09	0	0,0	0	0,0	0	0,0	2	0,1	3	0,1	16	materia orgánica quemada	I(A)
PBNH3-010-10	0	0,0	0	0,0	0	0,0	5	1,5	0	0,0	10		I(A)
PBNH3-012-01	0	0,0	0	0,0	0	0,0	0	0,0	0	0,0	0		I(A)
PBNH3-024-02	0	0,0	0	0,0	0	0,0	4	0,3	0	0,0	13		I(A)
PBNH3-034-01	0	0,0	0	0,0	0	0,0	0	0,0	3	0,1	18	materia orgánica quemada	I(A)
PBNH3-057-01	0	0,0	0	0,0	0	0,0	0	0,0	0	0,0	0		I(A)
PBNH3-073-02	0	0,0	0	0,0	0	0,0	5	0,7	0	0,0	21		I(A)
PBNH3-076-01	0	0,0	0	0,0	0	0,0	3	0,2	0	0,0	35		I(A)
PBNH3-082-15	0	0,0	0	0,0	0	0,0	1	0,0	0	0,0	21		I(A)
PBNH3-091-02	0	0,0	0	0,0	0	0,0	3	0,1	3	0,1	24	materia orgánica quemada	I(A)
PBNH3-091-03	0	0,0	0	0,0	0	0,0	2	0,1	5	0,2	12	materia orgánica quemada	I(A)
PBNH3-100-07	0	0,0	0	0,0	0	0,0	6	0,8	0	0,0	15		I(A)
PBNH3-101-04	0	0,0	0	0,0	0	0,0	3	0,1	0	0,0	29		I(A)
PBNH3-101-05	0	0,0	0	0,0	0	0,0	8	1,8	0	0,0	22		I(A)
PBNH3-101-13 18	0	0,0	0	0,0	0	0,0	5	2,2	0	0,0	18		I(A)
PBNH3-107-01	0	0,0	0	0,0	0	0,0	3	0,3	0	0,0	17		I(A)
PBNH3-117-04	0	0,0	0	0,0	0	0,0	1	0,0	0	0,0	14		I(A)
PBNH3-117-25	0	0,0	0	0,0	0	0,0	2	0,1	0	0,0	15		I(A)
PBNH3-128-01	0	0,0	0	0,0	0	0,0	4	1,1	0	0,0	14		I(A)
PBNH3-130-01	0	0,0	0	0,0	0	0,0	3	1,2	0	0,0	17		I(A)
PBNH3-155-02	0	0,0	0	0,0	0	0,0	4	0,7	0	0,0	23		I(A)

Sigla	Procedencia	Eco-zona	° antip	tamaño	forma	q		f		m		ca	
						tt	p	tt	p	tt	p	tt	p
PBNH3-158-01	Palo Blanco NH3	V-al	2	muy fino/fino	red laminar	4	0,3	8	0,7	9	0,8	0	0,0
PBNH3-165-09	Palo Blanco NH3	V-al	2	muy fino	redondeada	5	0,5	2	0,2	3	0,3	0	0,0
PBNH3-168-04	Palo Blanco NH3	V-al	0,5	fino	redondeada	2	0,5	0	0,0	0	0,0	0	0,0
PBNH3-175-02	Palo Blanco NH3	V-al	9	muy fino	laminar	2	0,5	2	0,5	30	7,3	0	0,0
PBNH3-175-03	Palo Blanco NH3	V-al	1	muy fino	redondeada	8	0,6	1	0,1	2	0,1	0	0,0
PBNH3-175-54	Palo Blanco NH3	V-al	12	muy fino/fino	red laminar	15	4,6	0	0,0	19	5,8	0	0,0
PBNH3-181-05	Palo Blanco NH3	V-al	4	fino	redondeada	14	2,3	2	0,3	4	0,7	0	0,0
PBNH3-181-07	Palo Blanco NH3	V-al	0,7	muy fino	laminar	0	0,0	0	0,0	15	0,6	0	0,0
PBNH3-181-28	Palo Blanco NH3	V-al	6	muy fino	redondeada	4	1,7	0	0,0	4	1,7	0	0,0
PBNH3-181-33	Palo Blanco NH3	V-al	1	muy fino	redondeada	5	0,3	0	0,0	4	0,3	0	0,0
PBNH3-189-09	Palo Blanco NH3	V-al	0	n/p	n p	0	0,0	0	0,0	0	0,0	0	0,0
PBNH3-190-11	Palo Blanco NH3	V-al	2	fino/muy fino	redondeada	6	1,1	0	0,0	3	0,5	0	0,0
PBNH3-193-09	Palo Blanco NH3	V-al	2	fino	redondeada	9	0,9	2	0,2	6	0,6	0	0,0
PBNH3-193-13 16	Palo Blanco NH3	V-al	0	n/p	n p	0	0,0	0	0,0	0	0,0	0	0,0
PBNH3-193-19	Palo Blanco NH3	V-al	2	fino/muy fino	angular	3	0,6	5	1,0	1	0,2	0	0,0
PBNH3-194-23	Palo Blanco NH3	V-al	0,5	muy fino	redondeada	6	0,2	3	0,1	0	0,0	0	0,0
PBNH3-198-01	Palo Blanco NH3	V-al	3	muy fino	redondeada	4	0,8	1	0,2	7	1,3	0	0,0
PBNH3-198-06	Palo Blanco NH3	V-al	3	muy fino	red laminar	2	0,2	3	0,3	17	1,8	0	0,0
PBNH3-198-20	Palo Blanco NH3	V-al	4	muy fino	redondeada	3	1,2	1	0,4	3	1,2	0	0,0
PBNH3-206-20	Palo Blanco NH3	V-al	0	n/p	n p	0	0,0	0	0,0	0	0,0	0	0,0
PBNH3-206-24	Palo Blanco NH3	V-al	0,5	muy fino	red laminar	2	0,1	0	0,0	8	0,4	0	0,0
PBNH3-228-02	Palo Blanco NH3	V-al	2	muy fino	redondeada	3	0,3	1	0,1	10	1,1	0	0,0
PBNH3-232-01	Palo Blanco NH3	V-al	0,5	muy fino	red laminar	2	0,1	0	0,0	5	0,3	0	0,0
PBNH3-271-01	Palo Blanco NH3	V-al	5	fino	redondeada	11	3,4	0	0,0	2	0,6	0	0,0
PBNH3-272-02	Palo Blanco NH3	V-al	6	fino/muy fino	redondeada	10	3,5	0	0,0	3	1,1	0	0,0
PBNH3-277-33	Palo Blanco NH3	V-al	1,5	muy fino	redondeada	5	0,6	0	0,0	3	0,3	0	0,0
PBNH3-277-34	Palo Blanco NH3	V-al	0,5	muy fino	redondeada	6	0,3	0	0,0	3	0,1	0	0,0
PBNH3-277-37	Palo Blanco NH3	V-al	4	muy fino	redondeada	2	0,4	0	0,0	14	2,9	0	0,0
PBNH3-277-41	Palo Blanco NH3	V-al	12	muy fino	redondeada	10	5,7	1	0,6	7	4,0	0	0,0
PBNH3-277-47	Palo Blanco NH3	V-al	5	muy fino	redondeada	5	1,6	3	0,9	3	0,9	0	0,0
PBNH3-277-51	Palo Blanco NH3	V-al	2	muy fino	redondeada	9	0,9	2	0,2	4	0,4	0	0,0
PBNH3-277-63	Palo Blanco NH3	V-al	0,5	muy fino	redondeada	4	0,3	1	0,1	3	0,2	0	0,0
PBNH3-277-72	Palo Blanco NH3	V-al	0	n/p	n p	0	0,0	0	0,0	0	0,0	0	0,0
PBNH3-277-91	Palo Blanco NH3	V-al	0	n/p	n p	0	0,0	0	0,0	0	0,0	0	0,0
PBNH3-277-93	Palo Blanco NH3	V-al	3	fino	redondeada	8	1,7	0	0,0	3	0,6	0	0,0
PBNH4-006	Palo Blanco NH4	V-al	3	fino	red laminar	11	1,1	0	0,0	12	1,2	0	0,0
PBNH4-007	Palo Blanco NH4	V-al	3	muy fino/fino	red laminar	4	0,5	0	0,0	10	1,3	1	0,1
PBNH4-011	Palo Blanco NH4	V-al	2,5	fino	laminar	4	0,4	0	0,0	21	2,0	0	0,0
PBNH4-012	Palo Blanco NH4	V-al	1	muy fino	laminar	2	0,1	2	0,1	18	0,8	0	0,0
PBNH5-002	Palo Blanco NH5	V-al	1,5	muy fino	redondeada	8	0,6	1	0,1	2	0,2	1	0,1
PBNH5-004	Palo Blanco NH5	V-al	0,5	muy fino	redondeada	4	0,2	0	0,0	3	0,2	0	0,0
PBNH5-025	Palo Blanco NH5	V-al	0,5	muy fino/fino	red laminar	2	0,1	2	0,1	7	0,3	0	0,0
PBNH5-054	Palo Blanco NH5	V-al	0,5	fino	red laminar	3	0,3	0	0,0	3	0,3	0	0,0
PBNH5-057	Palo Blanco NH5	V-al	1	muy fino	laminar	2	0,1	0	0,0	15	0,9	0	0,0
PBNH5-059	Palo Blanco NH5	V-al	3	muy fino/fino	red laminar	15	2,0	0	0,0	7	0,9	0	0,0
PBNH5-074	Palo Blanco NH5	V-al	0	n/p	n p	0	0,0	0	0,0	0	0,0	0	0,0
PBNH5-077	Palo Blanco NH5	V-al	0	n/p	n p	0	0,0	0	0,0	0	0,0	0	0,0
PBNH6-001-01	Palo Blanco NH6	V-al	1	muy fino	redondeada	4	0,5	0	0,0	2	0,3	0	0,0
PBNH6-001-03	Palo Blanco NH6	V-al	1	muy fino	redondeada	7	0,4	4	0,2	0	0,0	0	0,0
PBNH6-001-05	Palo Blanco NH6	V-al	7	muy fino	redondeada	4	2,0	3	1,5	3	1,5	1	0,5
PBNH6-001-09	Palo Blanco NH6	V-al	4	muy fino/fino	redondeada	6	1,3	2	0,4	2	0,4	0	0,0
PBNH6-001-11	Palo Blanco NH6	V-al	5	fino/muy fino	laminar/red.	4	0,8	0	0,0	19	3,8	0	0,0
PBNH6-001-12	Palo Blanco NH6	V-al	1	muy fino	laminar	4	0,3	0	0,0	10	0,6	0	0,0
PBNH6-001-13	Palo Blanco NH6	V-al	8	fino	redondeada	9	3,1	3	1,0	4	1,4	1	0,3
PBNH6-001-18	Palo Blanco NH6	V-al	1	muy fino	redondeada	4	0,4	0	0,0	3	0,3	0	0,0
PBNH6-001-21	Palo Blanco NH6	V-al	5	fino/muy fino	redondeada	11	3,4	1	0,3	0	0,0	1	0,3
PBNH6-001-26	Palo Blanco NH6	V-al	1	muy fino	redondeada	1	0,3	2	0,7	0	0,0	0	0,0

Sigla	Tm/ia		frag roc volc		frag roc graníticos		lito/frag. no identif		otros		TT.	Observaciones	Pasta
	tt	p	tt	p	tt	p	tt	p	tt	p			
PBNH3-158-01	0	0,0	0	0,0	0	0,0	2	0,2	1	0,1	24	materia orgánica quemada	I (A)
PBNH3-165-09	0	0,0	0	0,0	0	0,0	12	1,1	0	0,0	22		I (A)
PBNH3-168-04	0	0,0	0	0,0	0	0,0	0	0,0	0	0,0	2		I (A)
PBNH3-175-02	0	0,0	0	0,0	0	0,0	1	0,2	2	0,5	37	materia orgánica quemada	I (A)
PBNH3-175-03	0	0,0	0	0,0	0	0,0	3	0,2	0	0,0	14		I (A)
PBNH3-175-54	0	0,0	0	0,0	0	0,0	5	1,5	0	0,0	39		I (A)
PBNH3-181-05	0	0,0	0	0,0	0	0,0	4	0,7	0	0,0	24		I (A)
PBNH3-181-07	0	0,0	0	0,0	0	0,0	0	0,0	2	0,1	17	materia orgánica quemada	I (A)
PBNH3-181-28	0	0,0	0	0,0	0	0,0	4	1,7	2	0,9	14	materia orgánica quemada	I (A)
PBNH3-181-33	0	0,0	0	0,0	0	0,0	7	0,4	0	0,0	16		I (A)
PBNH3-189-09	0	0,0	0	0,0	0	0,0	0	0,0	0	0,0	0		I (A)
PBNH3-190-11	0	0,0	0	0,0	0	0,0	2	0,4	0	0,0	11		I (A)
PBNH3-193-09	0	0,0	0	0,0	0	0,0	2	0,2	0	0,0	19		I (A)
PBNH3-193-13-16	0	0,0	0	0,0	0	0,0	0	0,0	0	0,0	0		I (A)
PBNH3-193-19	0	0,0	0	0,0	0	0,0	1	0,2	0	0,0	10		I (A)
PBNH3-194-23	0	0,0	0	0,0	0	0,0	8	0,2	0	0,0	17		I (A)
PBNH3-198-01	0	0,0	0	0,0	0	0,0	4	0,8	0	0,0	16		I (A)
PBNH3-198-06	0	0,0	0	0,0	0	0,0	5	0,5	1	0,1	28	materia orgánica quemada	I (A)
PBNH3-198-20	0	0,0	0	0,0	0	0,0	3	1,2	0	0,0	10		I (A)
PBNH3-206-20	0	0,0	0	0,0	0	0,0	0	0,0	0	0,0	0		I (A)
PBNH3-206-24	0	0,0	0	0,0	0	0,0	0	0,0	0	0,0	10		I (A)
PBNH3-228-02	0	0,0	0	0,0	0	0,0	1	0,1	4	0,4	19	materia orgánica quemada	I (A)
PBNH3-232-01	0	0,0	0	0,0	0	0,0	2	0,1	0	0,0	9		I (A)
PBNH3-271-01	0	0,0	0	0,0	0	0,0	3	0,9	0	0,0	16		I (A)
PBNH3-272-02	0	0,0	0	0,0	0	0,0	2	0,7	2	0,7	17	materia orgánica quemada	I (A)
PBNH3-277-33	0	0,0	0	0,0	0	0,0	5	0,6	0	0,0	13		I (A)
PBNH3-277-34	0	0,0	0	0,0	0	0,0	3	0,1	0	0,0	12		I (A)
PBNH3-277-37	0	0,0	0	0,0	0	0,0	1	0,2	2	0,4	19	materia orgánica quemada	I (A)
PBNH3-277-41	0	0,0	0	0,0	0	0,0	3	1,7	0	0,0	21		I (A)
PBNH3-277-47	0	0,0	0	0,0	0	0,0	5	1,6	0	0,0	16		I (A)
PBNH3-277-51	0	0,0	0	0,0	0	0,0	5	0,5	0	0,0	20		I (A)
PBNH3-277-63	0	0,0	0	0,0	0	0,0	0	0,0	0	0,0	8		I (A)
PBNH3-277-72	0	0,0	0	0,0	0	0,0	0	0,0	0	0,0	0		I (A)
PBNH3-277-91	0	0,0	0	0,0	0	0,0	0	0,0	0	0,0	0		I (A)
PBNH3-277-93	0	0,0	0	0,0	0	0,0	3	0,6	0	0,0	14		I (A)
PBNH4-006	0	0,0	0	0,0	0	0,0	7	0,7	0	0,0	30		I (A)
PBNH4-007	0	0,0	0	0,0	0	0,0	8	1,0	0	0,0	23		I (A)
PBNH4-011	0	0,0	0	0,0	0	0,0	1	0,1	0	0,0	26		I (A)
PBNH4-012	0	0,0	0	0,0	0	0,0	2	0,1	0	0,0	24		I (A)
PBNH5-002	0	0,0	0	0,0	0	0,0	7	0,6	0	0,0	19		I (A)
PBNH5-004	0	0,0	0	0,0	0	0,0	2	0,1	0	0,0	9		I (A)
PBNH5-025	0	0,0	0	0,0	0	0,0	3	0,1	0	0,0	14		I (A)
PBNH5-054	0	0,0	0	0,0	0	0,0	0	0,0	0	0,0	6		I (A)
PBNH5-057	0	0,0	0	0,0	0	0,0	0	0,0	0	0,0	17		I (A)
PBNH5-059	0	0,0	0	0,0	0	0,0	1	0,1	0	0,0	23		I (A)
PBNH5-074	0	0,0	0	0,0	0	0,0	0	0,0	0	0,0	0		I (A)
PBNH5-077	0	0,0	0	0,0	0	0,0	0	0,0	0	0,0	0		I (A)
PBNH6-001-01	0	0,0	0	0,0	0	0,0	2	0,3	0	0,0	8		I (A)
PBNH6-001-03	0	0,0	0	0,0	0	0,0	8	0,4	0	0,0	19		I (A)
PBNH6-001-05	0	0,0	0	0,0	0	0,0	3	1,5	0	0,0	14		I (A)
PBNH6-001-09	0	0,0	0	0,0	0	0,0	8	1,8	0	0,0	18		I (A)
PBNH6-001-11	0	0,0	0	0,0	0	0,0	2	0,4	0	0,0	25		I (A)
PBNH6-001-12	0	0,0	0	0,0	0	0,0	2	0,1	0	0,0	16		I (A)
PBNH6-001-13	0	0,0	0	0,0	0	0,0	6	2,1	0	0,0	23		I (A)
PBNH6-001-18	0	0,0	0	0,0	0	0,0	2	0,2	0	0,0	9		I (A)
PBNH6-001-21	0	0,0	0	0,0	0	0,0	3	0,9	0	0,0	16		I (A)
PBNH6-001-26	0	0,0	0	0,0	0	0,0	0	0,0	0	0,0	3		I (A)

Sigla	Procedencia	Eco-zona	% antip	tamaño	forma	q		f		m		ca	
						tt	p	tt	p	tt	p	tt	p
PBNH6-001-31	Palo Blanco NH6	V-al	0	n/p	n p	0	0.0	0	0.0	0	0,0	0	0.0
PBNH6-001-35	Palo Blanco NH6	V-al	7	muy fino/fino	redondeada	5	2.5	2	1.0	3	1,5	0	0.0
PBNH6-001-37	Palo Blanco NH6	V-al	0	n/p	n p	0	0.0	0	0.0	0	0,0	0	0.0
PBNH6-001-42	Palo Blanco NH6	V-al	3	muy fino	laminar	1	0.1	0	0.0	16	2,2	0	0.0
PBNH6-001-50	Palo Blanco NH6	V-al	7	fino	redondeada	9	3.5	2	0.8	2	0,8	0	0.0
PBNH6-001-57	Palo Blanco NH6	V-al	2	fino	redondeada	7	1.4	0	0.0	1	0,2	0	0.0
PBNH6-001-66	Palo Blanco NH6	V-al	4	muy fino	red laminar	3	1.2	0	0.0	4	1,6	0	0.0
PBNH6-001-68	Palo Blanco NH6	V-al	7	fino	redondeada	5	2.9	0	0.0	0	0,0	0	0.0
PBNH6-001-70	Palo Blanco NH6	V-al	7	muy fino	redondeada	5	2.5	1	0.5	4	2,0	0	0.0
PBNH6-014-c-01	Palo Blanco NH6	V-al	14	fino	redondeada	3	2.5	2	1.6	0	0,0	0	0.0
PBNH6-016-06	Palo Blanco NH6	V-al	15	fino/muy fino	redondeada	7	5.5	2	1.6	1	0,8	0	0.0
PBNH6-022-05	Palo Blanco NH6	V-al	5	fino	redondeada	2	1.4	0	0.0	0	0,0	0	0.0
PBNH6-024-07	Palo Blanco NH6	V-al	10	muy fino	redondeada	12	6.0	0	0.0	2	1,0	0	0.0
PBNH6-028-31	Palo Blanco NH6	V-al	5	fino	redondeada	7	1.9	2	0.6	0	0,0	0	0.0
PBNH6-028-48	Palo Blanco NH6	V-al	10	fino	redondeada	14	5.0	0	0.0	2	0,7	0	0.0
PBNH6-036-06	Palo Blanco NH6	V-al	5	fino	redondeada	2	1.3	1	0.6	2	1,3	0	0.0
PBNH6-043-12	Palo Blanco NH6	V-al	1	muy fino	redondeada	2	0.5	0	0.0	0	0,0	0	0.0
PBNH6-048-04	Palo Blanco NH6	V-al	2	fino	redondeada	0	0.0	1	0.5	0	0,0	0	0.0
PBNH6-048-14	Palo Blanco NH6	V-al	4	muy fino	redondeada	7	2.0	1	0.3	2	0,6	1	0.3
PBNH6-048-19	Palo Blanco NH6	V-al	12	muy fino/fino	redondeado	13	5.2	2	0.8	2	0,8	1	0.4
PBNH6-048-21	Palo Blanco NH6	V-al	15	fino/muy fino	redondeado	10	6.5	0	0.0	0	0,0	0	0.0
PBNH6-055-12	Palo Blanco NH6	V-al	10	fino/muy fino	redondeada	15	6.3	0	0.0	4	1,7	0	0.0
PBNH6-055-13	Palo Blanco NH6	V-al	6	fino/muy fino	redondeada	4	1.4	5	1.8	3	1,1	0	0.0
PBNH6-055-26	Palo Blanco NH6	V-al	11	muy fino	redondeada	15	7.2	2	1.0	2	1,0	0	0.0
PBNH6-055-29	Palo Blanco NH6	V-al	0	n/p	n p	0	0.0	0	0.0	0	0,0	0	0.0
PBNH6-055-39	Palo Blanco NH6	V-al	4	fino	redondeada	1	0.4	6	2.2	1	0,4	0	0.0
PBNH6-060-02	Palo Blanco NH6	V-al	3	muy fino	laminar	2	0.2	3	0.3	20	2,3	0	0.0
PBNH6-060-12	Palo Blanco NH6	V-al	14	fino	redondeada	9	5.5	1	0.6	1	0,6	0	0.0
PBNH6-060-13	Palo Blanco NH6	V-al	4	fino	redondeada	9	2.0	3	0.7	1	0,2	0	0.0
PBNH6-080-09	Palo Blanco NH6	V-al	2	muy fino	redondeada	6	2.0	0	0.0	0	0,0	0	0.0
PBNH6-080-10	Palo Blanco NH6	V-al	1	muy fino	laminar/red.	1	0.1	1	0.1	10	0,8	0	0.0
PBNH6-080-33	Palo Blanco NH6	V-al	1	muy fino	redondeada	4	0.7	0	0.0	0	0,0	0	0.0
PBNH6-080-34	Palo Blanco NH6	V-al	5	muy fino	redondeada	2	2.0	1	1.0	0	0,0	0	0.0
PBNH6-080-35/37	Palo Blanco NH6	V-al	7	fino	redondeada	8	2.8	2	0.7	0	0,0	1	0.4
PBNH6-084-05	Palo Blanco NH6	V-al	10	fino/muy fino	redondeada	16	5.7	4	1.4	2	0,7	1	0.4
PBNH6-084-09	Palo Blanco NH6	V-al	3	fino	redondeada	7	1.4	2	0.4	2	0,4	0	0.0
PBNH6-084-12	Palo Blanco NH6	V-al	1	muy fino	redondeada	2	0.3	1	0.1	2	0,3	0	0.0
PBNH6-084-25	Palo Blanco NH6	V-al	10	fino	redondeada	9	3.8	5	2.1	1	0,4	4	1.7
PBNH6-084-57	Palo Blanco NH6	V-al	2	muy fino	redondeada	3	0.7	0	0.0	4	0,9	0	0.0
PBNH6-084-62	Palo Blanco NH6	V-al	3	muy fino	redondeada	4	1.3	0	0.0	3	1,0	0	0.0
PBNH6-288-03	Palo Blanco NH6	V-al	2	muy fino	red laminar	5	0.4	0	0.0	19	1,4	1	0.1
PBNH6-288-09	Palo Blanco NH6	V-al	5	muy fino/fino	redondeada	4	1.3	3	1.0	5	1,7	0	0.0
PBNH6-288-11	Palo Blanco NH6	V-al	2	fino/muy fino	red laminar	8	0.7	1	0.1	12	1,1	0	0.0
PBNH6-288-13	Palo Blanco NH6	V-al	0,5	muy fino	laminar	5	0.2	0	0.0	11	0,3	0	0.0
PBNH6-288-14	Palo Blanco NH6	V-al	2	fino/muy fino	redondeada	3	0.9	0	0.0	2	0,6	0	0.0
PBNH6-288-15	Palo Blanco NH6	V-al	3	muy fino	red laminar	5	0.9	0	0.0	6	1,1	0	0.0
PBNH6-288-21	Palo Blanco NH6	V-al	0	n/p	n p	0	0.0	0	0.0	0	0,0	0	0.0
PBNH6-288-22	Palo Blanco NH6	V-al	0	n/p	n p	0	0.0	0	0.0	0	0,0	0	0.0
PBNH6-288-25	Palo Blanco NH6	V-al	3	muy fino	redondeada	5	0.9	2	0.4	4	0,7	0	0.0
PBNH6-288-26	Palo Blanco NH6	V-al	10	fino/muy fino	redondeada	10	4.3	3	1.3	4	1,7	0	0.0
PBNH6-288-27	Palo Blanco NH6	V-al	0	n/p	n p	0	0.0	0	0.0	0	0,0	0	0.0
PBNH6-288-30	Palo Blanco NH6	V-al	3	muy fino	laminar	2	0.2	0	0.0	30	2,7	0	0.0
PBNH6-288-35	Palo Blanco NH6	V-al	3,5	muy fino	red laminar	6	0.8	3	0.4	15	2,0	0	0.0
PBNH6-288-37	Palo Blanco NH6	V-al	0,5	muy fino	laminar	2	0.0	2	0.0	28	0,4	0	0.0
PBNH6-288-40	Palo Blanco NH6	V-al	0,5	muy fino	red/ang.	2	0.1	5	0.2	5	0,2	0	0.0
PBNH6-288-50	Palo Blanco NH6	V-al	10	fino/muy fino	redondeada	6	2.6	3	1.3	4	1,7	0	0.0
PBNH6-288-61	Palo Blanco NH6	V-al	1	muy fino	laminar	0	0.0	0	0.0	19	1,0	0	0.0

Apéndice 3

Sigla	Procedencia	Eco-zona	° antip	tamaño	forma	q		f		m		ca	
						tt	p	tt	p	tt	p	tt	p
PBNH6-288-67	Palo Blanco NH6	V-al	0,5	fino	redondeada	3	0.2	0	0.0	2	0.1	0	0.0
PBNH6-N-19-11	Palo Blanco NH6	V-al	1	muy fino	redondeada	3	0.5	0	0.0	2	0.3	0	0.0
PBNH6-N-19-14	Palo Blanco NH6	V-al	10	muy fino	redondeada	15	4.1	2	0.5	4	1.1	0	0.0
PBNH6-N-19-19	Palo Blanco NH6	V-al	8	fino/muy fino	red laminar	3	1.2	0	0.0	12	4.8	0	0.0
PBNH6-N-19-30	Palo Blanco NH6	V-al	12	muy fino/fino	redondeada	14	5.8	4	1.7	2	0.8	0	0.0
PBNH6-N-19-32	Palo Blanco NH6	V-al	9	muy fino/fino	red laminar	17	3.6	0	0.0	20	4.3	0	0.0
PBNH6-N-19-37	Palo Blanco NH6	V-al	2	muy fino	red laminar	7	0.6	2	0.2	9	0.7	0	0.0
PBNH6-N-19-43	Palo Blanco NH6	V-al	4	muy fino	redondeada	4	1.6	0	0.0	1	0.4	0	0.0
PBNH6-N-20-01	Palo Blanco NH6	V-al	5	fino/muy fino	redondeada	9	2.4	1	0.3	2	0.5	0	0.0
PBNH6-N-34-01	Palo Blanco NH6	V-al	1	muy fino	laminar	0	0.0	0	0.0	5	1.0	0	0.0
PBNH6-N-34-02	Palo Blanco NH6	V-al	2	muy fino	laminar	0	0.0	0	0.0	12	2.0	0	0.0
PBNH6-N-34-13	Palo Blanco NH6	V-al	5	fino	redondeada	5	2.3	0	0.0	2	0.9	0	0.0
PBNH6-N-39-14	Palo Blanco NH6	V-al	3	fino	redondeada	1	0.4	3	1.3	0	0.0	0	0.0
PBNH6-N-42-08	Palo Blanco NH6	V-al	1	muy fino/fino	red laminar	2	0.2	0	0.0	7	0.7	0	0.0
PBNH6-N-43-01	Palo Blanco NH6	V-al	0	n/p	n/p	0	0.0	0	0.0	0	0.0	0	0.0
PBNH7-06	Palo Blanco NH7	V-al	4	fino	redondeada	6	1.0	3	0.5	3	0.5	0	0.0
PBNH7-07	Palo Blanco NH7	V-al	0,5	muy fino	laminar	3	0.2	0	0.0	7	0.4	0	0.0
PBNH7-08	Palo Blanco NH7	V-al	5	fino	red laminar	18	2.8	1	0.2	11	1.7	0	0.0
PBNH7-09	Palo Blanco NH7	V-al	0	fino	redondeada	0	0.0	0	0.0	0	0.0	0	0.0
PBNH7-291-01	Palo Blanco NH7	V-al	3	muy fino	redondeada	16	2.1	0	0.0	2	0.3	0	0.0
PBNH7-291-02	Palo Blanco NH7	V-al	0,5	muy fino	redondeada	3	0.3	0	0.0	0	0.0	0	0.0
TS1-R01-07	Tatón 1	V-al	7	fino/muy fino	redondeada	7	2.3	3	1.0	8	2.7	0	0.0
TS1-SE1-Sup-01	Tatón 1	V-al	2	fino/muy fino	red laminar	4	0.4	0	0.0	10	1.1	0	0.0
TS3-R01-21	Tatón 1	V-al	1	muy fino	red laminar	5	0.2	0	0.0	16	0.8	0	0.0
TS3-R01-30	Tatón 1	V-al	2	muy fino	redondeada	6	0.7	2	0.2	5	0.6	0	0.0
TS3-R01-33	Tatón 1	V-al	7	fino/medio	redondeada	4	2.3	3	1.8	2	1.2	0	0.0
TS3-R01-34	Tatón 1	V-al	0	n/p	n/p	0	0.0	0	0.0	0	0.0	0	0.0
TS3-R05-40 (TT 02)	Tatón 1	V-al	1,5	muy fino	red laminar	8	0.4	4	0.2	13	0.6	2	0.1
TS3-R10-02	Tatón 1	V-al	1,5	muy fino	laminar	4	0.3	0	0.0	14	1.1	0	0.0
TS3-R10-06	Tatón 1	V-al	1	muy fino	redondeada	5	0.6	0	0.0	2	0.2	0	0.0
TS3-R10-08	Tatón 1	V-al	0,5	muy fino	redondeada	1	0.1	0	0.0	0	0.0	0	0.0
TS3-R10-39	Tatón 1	V-al	3	fino/muy fino	redondeada	8	1.1	2	0.3	1	0.1	0	0.0
TS3-R10-41	Tatón 1	V-al	0,5	fino	redondeada	6	0.3	0	0.0	3	0.1	0	0.0
TS3-R10-44	Tatón 1	V-al	3,5	muy fino	laminar	3	0.3	0	0.0	27	3.0	0	0.0
TS3-R10-48	Tatón 1	V-al	3,5	fino/muy fino	ang/laminar	7	0.8	2	0.2	19	2.1	0	0.0
TS4-R09-39	Tatón 1	V-al	0,5	muy fino	laminar	1	0.1	0	0.0	7	0.4	0	0.0
TS4-R12-04	Tatón 1	V-al	0,7	muy fino	laminar	1	0.0	1	0.0	12	0.4	0	0.0
TS4-R12-11	Tatón 1	V-al	10	fino	redondeada	4	2.2	3	1.7	5	2.8	0	0.0
TS4-R12-14 (TT 01)	Tatón 1	V-al	5	muy fino	redondeada	3	0.8	6	1.6	1	0.3	0	0.0
TS4-R13-07	Tatón 1	V-al	2	muy fino	laminar	6	0.5	2	0.2	15	1.2	0	0.0
TS4-R14-01	Tatón 1	V-al	0	n/p	n/p	0	0.0	0	0.0	0	0.0	0	0.0
TS4-R20-06	Tatón 1	V-al	2,5	muy fino	laminar	7	0.6	1	0.1	16	1.4	0	0.0
TS4-R21-04	Tatón 1	V-al	9	fino/muy fino	red laminar	25	5.0	2	0.4	15	3.0	0	0.0
TS4-R27-02	Tatón 1	V-al	7	fino	redondeada	9	3.9	0	0.0	2	0.9	0	0.0
TS5-R10-01 (TT 06)	Tatón 1	V-al	2	fino	redondeada	8	0.9	8	0.9	1	0.1	0	0.0
TS5-R10-02 (TT 07)	Tatón 1	V-al	1	muy fino	laminar	3	0.2	1	0.1	12	0.7	0	0.0
TS5-R25-01	Tatón 1	V-al	0,5	muy fino	red laminar	5	0.1	0	0.0	12	0.3	0	0.0
TS5-R27-09	Tatón 1	V-al	0,5	muy fino	red laminar	0	0.0	0	0.0	7	0.3	0	0.0
TS6-R31-11	Tatón 1	V-al	0,5	muy fino	laminar	0	0.0	0	0.0	15	0.5	0	0.0
TS7-R35-07	Tatón 1	V-al	2,5	muy fino	red laminar	9	1.2	0	0.0	8	1.1	0	0.0
TS7-R37-08	Tatón 1	V-al	0,5	muy fino	laminar	3	0.1	0	0.0	12	0.4	0	0.0
TS7-R38-01	Tatón 1	V-al	3	fino/muy fino	redondeada	9	2.1	0	0.0	2	0.5	0	0.0
TS7-R40-01	Tatón 1	V-al	4	muy fino	laminar	4	0.4	1	0.1	35	3.5	0	0.0
TS7-R40-15	Tatón 1	V-al	1	fino/muy fino	red laminar	3	0.2	0	0.0	9	0.7	0	0.0
TS7-R40-16	Tatón 1	V-al	2	fino/muy fino	redondeada	4	0.4	3	0.3	10	1.0	0	0.0
TS7-R40-28	Tatón 1	V-al	3	fino/muy fino	red laminar	5	0.7	0	0.0	12	1.6	0	0.0
TS7-R40-33	Tatón 1	V-al	3	fino	redondeada	7	1.1	1	0.2	5	0.8	0	0.0

Sigla	Tm:ia		frag roc volc		frag roc graníticos		lito/frag. no identif		otros		TT.	Observaciones	Pasta
	tt	p	tt	p	tt	p	tt	p	tt	p			
PBNH6-288-67	0	0,0	0	0,0	0	0,0	1	0,1	1	0,1	7	materia orgánica quemada	I(A)
PBNH6-N-19-11	0	0,0	0	0,0	0	0,0	1	0,2	0	0,0	6		I(A)
PBNH6-N-19-14	0	0,0	0	0,0	0	0,0	16	4,3	0	0,0	37		I(A)
PBNH6-N-19-19	0	0,0	0	0,0	0	0,0	5	2,0	0	0,0	20		I(A)
PBNH6-N-19-30	0	0,0	0	0,0	0	0,0	9	3,7	0	0,0	29		I(A)
PBNH6-N-19-32	0	0,0	0	0,0	0	0,0	5	1,1	0	0,0	42		I(A)
PBNH6-N-19-37	0	0,0	0	0,0	0	0,0	5	0,4	2	0,2	25	materia orgánica quemada	I(A)
PBNH6-N-19-43	0	0,0	0	0,0	0	0,0	5	2,0	0	0,0	10		I(A)
PBNH6-N-20-01	0	0,0	0	0,0	0	0,0	7	1,8	0	0,0	19		I(A)
PBNH6-N-34-01	0	0,0	0	0,0	0	0,0	0	0,0	0	0,0	5		I(A)
PBNH6-N-34-02	0	0,0	0	0,0	0	0,0	0	0,0	0	0,0	12		I(A)
PBNH6-N-34-13	0	0,0	0	0,0	0	0,0	4	1,8	0	0,0	11		I(A)
PBNH6-N-39-14	0	0,0	0	0,0	0	0,0	3	1,3	0	0,0	7		I(A)
PBNH6-N-42-08	0	0,0	0	0,0	0	0,0	1	0,1	0	0,0	10		I(A)
PBNH6-N-43-01	0	0,0	0	0,0	0	0,0	0	0,0	0	0,0	0		I(A)
PBNH7-06	0	0,0	0	0,0	0	0,0	12	2,0	0	0,0	24		I(A)
PBNH7-07	0	0,0	0	0,0	0	0,0	0	0,0	0	0,0	10		I(A)
PBNH7-08	0	0,0	0	0,0	0	0,0	2	0,3	0	0,0	32		I(A)
PBNH7-09	0	0,0	0	0,0	0	0,0	0	0,0	0	0,0	0		I(A)
PBNH7-291-01	0	0,0	0	0,0	0	0,0	5	0,7	0	0,0	23		I(A)
PBNH7-291-02	0	0,0	0	0,0	0	0,0	2	0,2	0	0,0	5		I(A)
TS1-R01-07	0	0,0	0	0,0	0	0,0	3	1,0	0	0,0	21		I(A)
TS1-SE1-Sup-01	0	0,0	0	0,0	0	0,0	5	0,5	0	0,0	19		I(A)
TS3-R01-21	0	0,0	0	0,0	0	0,0	0	0,0	0	0,0	21		I(A)
TS3-R01-30	0	0,0	0	0,0	0	0,0	4	0,5	0	0,0	17		I(A)
TS3-R01-33	0	0,0	0	0,0	0	0,0	3	1,8	0	0,0	12		I(A)
TS3-R01-34	0	0,0	0	0,0	0	0,0	0	0,0	0	0,0	0		I(A)
TS3-R05-40 (TT 02)	0	0,0	0	0,0	0	0,0	4	0,2	2	0,1	33	materia orgánica quemada	I(A)
TS3-R10-02	0	0,0	0	0,0	0	0,0	2	0,2	0	0,0	20		I(A)
TS3-R10-06	0	0,0	0	0,0	0	0,0	2	0,2	0	0,0	9		I(A)
TS3-R10-08	0	0,0	0	0,0	0	0,0	3	0,4	0	0,0	4		I(A)
TS3-R10-39	0	0,0	0	0,0	0	0,0	10	1,4	0	0,0	21		I(A)
TS3-R10-41	0	0,0	0	0,0	0	0,0	2	0,1	0	0,0	11		I(A)
TS3-R10-44	0	0,0	0	0,0	0	0,0	1	0,1	0	0,0	31		I(A)
TS3-R10-48	0	0,0	0	0,0	0	0,0	3	0,3	0	0,0	31		I(A)
TS4-R09-39	0	0,0	0	0,0	0	0,0	0	0,0	1	0,1	9	materia orgánica quemada	I(A)
TS4-R12-04	0	0,0	0	0,0	0	0,0	1	0,0	4	0,1	19	materia orgánica quemada	I(A)
TS4-R12-11	0	0,0	0	0,0	0	0,0	6	3,3	0	0,0	18		I(A)
TS4-R12-14 (TT 01)	0	0,0	0	0,0	0	0,0	9	2,4	0	0,0	19		I(A)
TS4-R13-07	0	0,0	0	0,0	0	0,0	3	0,2	0	0,0	26		I(A)
TS4-R14-01	0	0,0	0	0,0	0	0,0	0	0,0	0	0,0	0		I(A)
TS4-R20-06	0	0,0	0	0,0	0	0,0	3	0,3	1	0,1	28	materia orgánica quemada	I(A)
TS4-R21-04	0	0,0	0	0,0	0	0,0	2	0,4	1	0,2	45	materia orgánica quemada	I(A)
TS4-R27-02	0	0,0	0	0,0	0	0,0	5	2,2	0	0,0	16		I(A)
TS5-R10-01 (TT 06)	0	0,0	0	0,0	0	0,0	1	0,1	0	0,0	18		I(A)
TS5-R10-02 (TT 07)	0	0,0	0	0,0	0	0,0	1	0,1	0	0,0	17		I(A)
TS5-R25-01	0	0,0	0	0,0	0	0,0	1	0,0	0	0,0	18		I(A)
TS5-R27-09	0	0,0	0	0,0	0	0,0	5	0,2	2	0,1	14	materia orgánica quemada	I(A)
TS6-R31-11	0	0,0	0	0,0	0	0,0	0	0,0	0	0,0	15		I(A)
TS7-R35-07	0	0,0	0	0,0	0	0,0	2	0,3	0	0,0	19		I(A)
TS7-R37-08	0	0,0	0	0,0	0	0,0	0	0,0	0	0,0	15		I(A)
TS7-R38-01	0	0,0	0	0,0	0	0,0	2	0,5	0	0,0	13		I(A)
TS7-R40-01	0	0,0	0	0,0	0	0,0	0	0,0	0	0,0	40		I(A)
TS7-R40-15	0	0,0	0	0,0	0	0,0	1	0,1	0	0,0	13		I(A)
TS7-R40-16	0	0,0	0	0,0	0	0,0	4	0,4	0	0,0	21		I(A)
TS7-R40-28	0	0,0	0	0,0	0	0,0	4	0,5	1	0,1	22	materia orgánica quemada	I(A)
TS7-R40-33	0	0,0	0	0,0	0	0,0	6	0,9	0	0,0	19		I(A)

Apéndice 3

Sigla	Procedencia	Eco- zona	% antip	tamaño	forma	q		f		m		ca	
						tt	p	tt	p	tt	p	tt	p
TS7-R40-55 (TT 03)	Tatón 1	V-al	0,6	muy fino	redondeada	4	0,3	2	0,1	2	0,1	0	0,0
TS7-R41-08	Tatón 1	V-al	0,5	muy fino	red laminar	2	0,1	0	0,0	4	0,3	0	0,0
TS7-R41-09 (TT 11)	Tatón 1	V-al	2,5	fino/muy fino	redondeada	10	1,6	0	0,0	4	0,6	0	0,0
TS7-R42-08	Tatón 1	V-al	1	muy fino	laminar	5	0,3	0	0,0	12	0,7	0	0,0
TT-FM-01	Tatón 1	V-al	3	muy fino/fino	redondeada	6	1,6	0	0,0	0	0,0	0	0,0
TT-FM-02	Tatón 1	V-al	1,5	muy fino	laminar	1	0,1	0	0,0	15	1,3	0	0,0
TT-FM-04	Tatón 1	V-al	0,5	muy fino	redondeada	3	0,5	0	0,0	0	0,0	0	0,0
TT-FM-09	Tatón 1	V-al	8	muy fino/fino	redondeada	15	5,7	1	0,4	2	0,8	0	0,0
TT-FM-14	Tatón 1	V-al	1	muy fino	red laminar	6	0,4	0	0,0	8	0,6	0	0,0
TT-FM-17	Tatón 1	V-al	2	fino/muy fino	laminar	1	0,1	1	0,1	25	1,5	0	0,0
TT-FM-19	Tatón 1	V-al	0	n/p	n p	0	0,0	0	0,0	0	0,0	0	0,0
TT-FM-20	Tatón 1	V-al	0,5	muy fino	laminar	1	0,0	1	0,0	15	0,4	0	0,0
Bco-07-36	Ojo del Agua	Pr-c	1	muy fino	redondeada	11	0,5	2	0,1	3	0,1	2	0,1
OA1-001-33	Ojo del Agua	Pr-c	2	muy fino	red laminar	7	0,7	0	0,0	8	0,8	0	0,0
OA1-001-48	Ojo del Agua	Pr-c	4,5	muy fino/fino	redondeada	13	1,8	7	1,0	3	0,4	0	0,0
OA1-004-20	Ojo del Agua	Pr-c	4	fino/muy fino	redondeada	5	1,2	5	1,2	1	0,2	1	0,2
OA1-049-47	Ojo del Agua	Pr-c	1	muy fino	redondeada	6	0,5	0	0,0	2	0,2	0	0,0
OA1-049-66	Ojo del Agua	Pr-c	10	fino/muy fino	redondeada	15	5,2	3	1,0	1	0,3	0	0,0
OA1-049-75	Ojo del Agua	Pr-c	3	muy fino	red ang	9	1,2	4	0,5	5	0,7	1	0,1
OA1-R1-01	Ojo del Agua	Pr-c	3	fino/muy fino	redondeada	11	1,5	2	0,3	6	0,8	0	0,0
OA1-R1-04	Ojo del Agua	Pr-c	4	muy fino	redondeada	10	1,9	3	0,6	2	0,4	1	0,2
OA1-R1-06	Ojo del Agua	Pr-c	5	muy fino	redondeada	6	1,8	5	1,5	1	0,3	0	0,0
OA1-R2-06	Ojo del Agua	Pr-c	0,5	muy fino	redondeada	1	0,1	0	0,0	3	0,2	0	0,0
OA1-R3-14	Ojo del Agua	Pr-c	0,5	muy fino	redondeada	4	0,2	0	0,0	5	0,3	0	0,0
OA1-R5-04	Ojo del Agua	Pr-c	0,2	fino	redondeada	5	0,1	1	0,0	0	0,0	0	0,0
OA1-R5-36	Ojo del Agua	Pr-c	0	n/p	n/p	0	0,0	0	0,0	0	0,0	0	0,0
OA1-R5-37	Ojo del Agua	Pr-c	0	n/p	n p	0	0,0	0	0,0	0	0,0	0	0,0
OA1-R6-28 o 38	Ojo del Agua	Pr-c	1	muy fino	laminar	2	0,2	0	0,0	5	0,6	0	0,0
OA1-R6-31	Ojo del Agua	Pr-c	1	muy fino	redondeada	4	0,4	2	0,2	3	0,3	0	0,0
OA1-R7-002	Ojo del Agua	Pr-c	2	muy fino	red laminar	6	0,6	1	0,1	10	1,0	0	0,0
OA1-R7-022	Ojo del Agua	Pr-c	0,5	muy fino	redondeada	3	0,2	2	0,1	2	0,1	0	0,0
OA1-R7-038	Ojo del Agua	Pr-c	10	muy fino	redondeada	9	3,6	1	0,4	4	1,6	0	0,0
OA1-R7-050	Ojo del Agua	Pr-c	10	muy fino/fino	redondeada	14	4,7	4	1,3	0	0,0	0	0,0
OA1-R7-072	Ojo del Agua	Pr-c	10	muy fino/fino	redondeada	5	2,9	2	1,2	5	2,9	0	0,0
OA1-R7-077	Ojo del Agua	Pr-c	2	muy fino	laminar	2	0,6	0	0,0	5	1,4	0	0,0
OA1-R7-105	Ojo del Agua	Pr-c	4	muy fino	redondeada	3	0,9	2	0,6	6	1,7	1	0,3
OA1-R7-106	Ojo del Agua	Pr-c	3	fino	redondeada	4	1,7	1	0,4	0	0,0	0	0,0
OA1-R7-110	Ojo del Agua	Pr-c	4	fino	angular	3	1,2	3	1,2	2	0,8	0	0,0
OA1-R7-120	Ojo del Agua	Pr-c	7	medio	angular	3	1,1	14	4,9	0	0,0	0	0,0
OA1-R7-125	Ojo del Agua	Pr-c	5	muy fino	red lam	3	1,1	2	0,7	6	2,1	0	0,0
OA1-R7-139	Ojo del Agua	Pr-c	1	muy fino	redondeada	4	0,4	3	0,3	2	0,2	0	0,0
OA1-R7-148	Ojo del Agua	Pr-c	4	muy fino	redondeada	2	0,8	2	0,8	3	1,2	0	0,0
OA1-R7-150	Ojo del Agua	Pr-c	5	muy fino	redondeada	6	1,7	5	1,4	2	0,6	0	0,0
OA1-R7-152	Ojo del Agua	Pr-c	4	muy fino	redondeada	2	0,4	2	0,4	2	0,4	0	0,0
OA1-R7-153	Ojo del Agua	Pr-c	3	muy fino	redondeada	8	1,3	5	0,8	2	0,3	1	0,2
OA1-R7-173	Ojo del Agua	Pr-c	2	fino	red lam	1	0,2	2	0,3	7	1,2	0	0,0
OA1-R7-176	Ojo del Agua	Pr-c	1	muy fino	redondeada	3	0,8	0	0,0	0	0,0	0	0,0
OA1-R7-193	Ojo del Agua	Pr-c	4	fino/muy fino	red laminar	5	0,8	1	0,2	12	2,0	0	0,0
OA1-R7-197	Ojo del Agua	Pr-c	10	muy fino/fino	redondeada	6	3,3	1	0,6	2	1,1	0	0,0
OA1-R7-198	Ojo del Agua	Pr-c	5	fino/muy fino	redondeada	11	3,9	0	0,0	1	0,4	0	0,0
OA1-R7-199	Ojo del Agua	Pr-c	10	fino/muy fino	red ang	3	1,9	3	1,9	3	1,9	0	0,0
OA1-R7-202	Ojo del Agua	Pr-c	7	fino/medio	angular	2	1,0	7	3,5	1	0,5	0	0,0
OA1-R7-203	Ojo del Agua	Pr-c	1	muy fino	redondeada	3	0,3	0	0,0	2	0,2	0	0,0
OA1-R7-204	Ojo del Agua	Pr-c	0,5	muy fino	redondeada	1	0,1	0	0,0	4	0,3	0	0,0
OA1-R7-206	Ojo del Agua	Pr-c	0	n/p	n/p	0	0,0	0	0,0	0	0,0	0	0,0
OA1-R7-211	Ojo del Agua	Pr-c	5	fino/muy fino	redondeada	10	2,8	1	0,3	1	0,3	0	0,0
OA1-R7-259	Ojo del Agua	Pr-c	2	muy fino	redondeada	3	0,8	0	0,0	2	0,5	0	0,0

Sigla	Tm/ia		frag roc volc		frag roc graníticos		lito/frag. no identif		otros		TT.	Observaciones	Pasta
	tt	p	tt	p	tt	p	tt	p	tt	p			
TS7-R40-55 (TT 03)	0	0,0	0	0,0	0	0,0	1	0,1	0	0,0	9		I (A)
TS7-R41-08	0	0,0	0	0,0	0	0,0	2	0,1	0	0,0	8		I (A)
TS7-R41-09 (TT 11)	0	0,0	0	0,0	0	0,0	2	0,3	0	0,0	16		I (A)
TS7-R42-08	0	0,0	0	0,0	0	0,0	0	0,0	0	0,0	17		I (A)
TT-FM-01	0	0,0	0	0,0	0	0,0	5	1,4	0	0,0	11		I (A)
TT-FM-02	0	0,0	0	0,0	0	0,0	2	0,2	0	0,0	18		I (A)
TT-FM-04	0	0,0	0	0,0	0	0,0	0	0,0	0	0,0	3		I (A)
TT-FM-09	0	0,0	0	0,0	0	0,0	3	1,1	0	0,0	21		I (A)
TT-FM-14	0	0,0	0	0,0	0	0,0	0	0,0	0	0,0	14		I (A)
TT-FM-17	0	0,0	0	0,0	0	0,0	4	0,2	3	0,2	34	materia orgánica quemada	I (A)
TT-FM-19	0	0,0	0	0,0	0	0,0	0	0,0	0	0,0	0		I (A)
TT-FM-20	0	0,0	0	0,0	0	0,0	0	0,0	0	0,0	17		I (A)
Bco-07-36	0	0,0	0	0,0	0	0,0	3	0,1	0	0,0	21		I (A)
OA1-001-33	0	0,0	0	0,0	0	0,0	2	0,2	2	0,2	19	materia orgánica quemada	I (A)
OA1-001-48	0	0,0	0	0,0	0	0,0	9	1,3	0	0,0	32		I (A)
OA1-004-20	0	0,0	0	0,0	0	0,0	5	1,2	0	0,0	17		I (A)
OA1-049-47	0	0,0	0	0,0	0	0,0	2	0,2	1	0,1	11	materia orgánica quemada	I (A)
OA1-049-66	0	0,0	0	0,0	0	0,0	7	2,4	3	1,0	29	materia orgánica quemada	I (A)
OA1-049-75	0	0,0	0	0,0	0	0,0	3	0,4	0	0,0	22		I (A)
OA1-R1-01	0	0,0	0	0,0	0	0,0	2	0,3	1	0,1	22	materia orgánica quemada	I (A)
OA1-R1-04	0	0,0	0	0,0	0	0,0	5	1,0	0	0,0	21		I (A)
OA1-R1-06	0	0,0	0	0,0	0	0,0	5	1,5	0	0,0	17		I (A)
OA1-R2-06	0	0,0	0	0,0	0	0,0	3	0,2	0	0,0	7		I (A)
OA1-R3-14	0	0,0	0	0,0	0	0,0	0	0,0	0	0,0	9		I (A)
OA1-R5-04	0	0,0	0	0,0	0	0,0	3	0,1	0	0,0	9		I (A)
OA1-R5-36	0	0,0	0	0,0	0	0,0	0	0,0	0	0,0	0		I (A)
OA1-R5-37	0	0,0	0	0,0	0	0,0	0	0,0	0	0,0	0		I (A)
OA1-R6-28 o 38	0	0,0	0	0,0	0	0,0	1	0,1	1	0,1	9	materia orgánica quemada	I (A)
OA1-R6-31	0	0,0	0	0,0	0	0,0	2	0,2	0	0,0	11		I (A)
OA1-R7-002	0	0,0	0	0,0	0	0,0	2	0,2	2	0,2	21	materia orgánica quemada	I (A)
OA1-R7-022	0	0,0	0	0,0	0	0,0	1	0,1	0	0,0	8		I (A)
OA1-R7-038	0	0,0	0	0,0	0	0,0	8	3,2	3	1,2	25	materia orgánica quemada	I (A)
OA1-R7-050	0	0,0	0	0,0	0	0,0	10	3,3	2	0,7	30	concreciones carbonáticas escasas, muy finas	I (A)
OA1-R7-072	0	0,0	0	0,0	0	0,0	5	2,9	0	0,0	17		I (A)
OA1-R7-077	0	0,0	0	0,0	0	0,0	0	0,0	0	0,0	7		I (A)
OA1-R7-105	0	0,0	0	0,0	0	0,0	2	0,6	0	0,0	14		I (A)
OA1-R7-106	0	0,0	0	0,0	0	0,0	0	0,0	2	0,9	7	materia orgánica quemada	I (A)
OA1-R7-110	0	0,0	0	0,0	0	0,0	1	0,4	1	0,4	10	materia orgánica quemada	I (A)
OA1-R7-120	0	0,0	0	0,0	0	0,0	3	1,1	0	0,0	20		I (A)
OA1-R7-125	0	0,0	0	0,0	0	0,0	3	1,1	0	0,0	14		I (A)
OA1-R7-139	0	0,0	0	0,0	0	0,0	2	0,2	0	0,0	11		I (A)
OA1-R7-148	0	0,0	0	0,0	0	0,0	3	1,2	0	0,0	10		I (A)
OA1-R7-150	0	0,0	0	0,0	0	0,0	5	1,4	0	0,0	18		I (A)
OA1-R7-152	0	0,0	0	0,0	0	0,0	12	2,7	0	0,0	18		I (A)
OA1-R7-153	0	0,0	0	0,0	0	0,0	2	0,3	0	0,0	18		I (A)
OA1-R7-173	0	0,0	0	0,0	0	0,0	2	0,3	0	0,0	12		I (A)
OA1-R7-176	0	0,0	0	0,0	0	0,0	1	0,3	0	0,0	4		I (A)
OA1-R7-193	0	0,0	0	0,0	0	0,0	6	1,0	0	0,0	24		I (A)
OA1-R7-197	0	0,0	0	0,0	0	0,0	7	3,9	2	1,1	18	materia orgánica quemada	I (A)
OA1-R7-198	0	0,0	0	0,0	0	0,0	2	0,7	0	0,0	14		I (A)
OA1-R7-199	0	0,0	0	0,0	0	0,0	4	2,5	3	1,9	16	materia orgánica quemada	I (A)
OA1-R7-202	0	0,0	0	0,0	0	0,0	2	1,0	2	1,0	14	materia orgánica quemada	I (A)
OA1-R7-203	0	0,0	0	0,0	0	0,0	4	0,4	2	0,2	11	materia orgánica quemada	I (A)
OA1-R7-204	0	0,0	0	0,0	0	0,0	1	0,1	0	0,0	6		I (A)
OA1-R7-206	0	0,0	0	0,0	0	0,0	0	0,0	0	0,0	0		I (A)
OA1-R7-211	0	0,0	0	0,0	0	0,0	6	1,7	0	0,0	18		I (A)
OA1-R7-259	0	0,0	0	0,0	0	0,0	3	0,8	0	0,0	8		I (A)

Apéndice 3

Sigla	Procedencia	Eco-zona	% antip	tamaño	forma	q		f		m		ca	
						tt	p	tt	p	tt	p	tt	p
OA1-R7-312	Ojo del Agua	Pr-c	7	muy fino	redondeada	5	2.5	6	3,0	3	1,5	0	0.0
OA1-R7-338	Ojo del Agua	Pr-c	3	muy fino	laminar/red.	1	0.2	1	0,2	10	1,7	0	0.0
OA1-R7-344	Ojo del Agua	Pr-c	2	muy fino	redondeada	4	1.1	1	0,3	2	0,6	0	0.0
OA1-R7-347	Ojo del Agua	Pr-c	2	fino	redondeada	3	0.7	2	0,4	2	0,4	0	0.0
OA1-R7-352	Ojo del Agua	Pr-c	7	muy fino	redondeada	17	3.4	2	0,4	8	1,6	0	0.0
OA1-R7-356	Ojo del Agua	Pr-c	7	muy fino/fino	redondeada	4	2.0	2	1,0	0	0,0	0	0.0
OA1-R7-358	Ojo del Agua	Pr-c	0	n/p	n p	0	0.0	0	0,0	0	0,0	0	0.0
OA1-R7-360	Ojo del Agua	Pr-c	8	muy fino	redondeada	10	2.4	4	0,9	6	1,4	1	0.2
OA1-R7-364	Ojo del Agua	Pr-c	8	muy fino	redondeada	11	4.2	3	1,1	4	1,5	0	0.0
OA1-R7-369	Ojo del Agua	Pr-c	7	muy fino	redondeada	11	2.5	2	0,5	3	0,7	0	0.0
OA1-R7-388	Ojo del Agua	Pr-c	3,5	muy fino	redondeada	19	2.1	0	0,0	7	0,8	0	0.0
OA1-R7-397	Ojo del Agua	Pr-c	10	muy fino/fino	redondeada	2	0.9	3	1,4	9	4,1	0	0.0
OA1-R7-399	Ojo del Agua	Pr-c	2	muy fino	redondeada	6	0.8	3	0,4	6	0,8	0	0.0
OA1-R7-400	Ojo del Agua	Pr-c	1	muy fino	redondeada	3	1.0	0	0,0	0	0,0	0	0.0
OA1-R7-410	Ojo del Agua	Pr-c	3	muy fino	red laminar	3	0.9	0	0,0	6	1,8	0	0.0
OA1-R7-412	Ojo del Agua	Pr-c	0,5	fino	redondeada	2	0.2	2	0,2	0	0,0	0	0.0
OA1-R7-415	Ojo del Agua	Pr-c	10	muy fino	redondeada	10	4.5	5	2,3	3	1,4	0	0.0
OA1-R7-416	Ojo del Agua	Pr-c	4	fino/muy fino	redondeada	7	1.4	1	0,2	3	0,6	0	0.0
OA1-R7-418	Ojo del Agua	Pr-c	6	muy fino	redondeada	7	3.0	3	1,3	2	0,9	0	0.0
OA1-R7-423	Ojo del Agua	Pr-c	7	fino	redondeada	10	3.9	4	1,6	0	0,0	0	0.0
OA1-R7-425	Ojo del Agua	Pr-c	2	muy fino	redondeada	2	0.4	1	0,2	3	0,6	1	0.2
OA1-R7-426	Ojo del Agua	Pr-c	9	muy fino	redondeada	10	3.6	4	1,4	2	0,7	0	0.0
OA1-R7-427	Ojo del Agua	Pr-c	2	muy fino	laminar	2	0.3	2	0,3	8	1,0	0	0.0
OA1-R7-429	Ojo del Agua	Pr-c	0	n/p	n p	0	0.0	0	0,0	0	0,0	0	0.0
OA1-R7-432	Ojo del Agua	Pr-c	2	muy fino	redondeada	2	0.5	1	0,3	2	0,5	0	0.0
OA1-R7-433	Ojo del Agua	Pr-c	3	fino	redondeada	5	1.9	1	0,4	0	0,0	0	0.0
OA1-R7-439	Ojo del Agua	Pr-c	3	fino	redondeada	3	0.8	4	1,1	0	0,0	0	0.0
OA1-R7-445	Ojo del Agua	Pr-c	2	muy fino	redondeada	2	0.4	3	0,7	3	0,7	0	0.0
OA1-R7-454	Ojo del Agua	Pr-c	3	fino	redondeada	8	1.8	0	0,0	1	0,2	0	0.0
OA1-R7-610/632	Ojo del Agua	Pr-c	11	fino	angular	9	3.3	11	4,0	0	0,0	0	0.0
OA1-R7-611	Ojo del Agua	Pr-c	10	muy fino	red laminar	12	3.8	1	0,3	10	3,1	0	0.0
OA1-R7-620	Ojo del Agua	Pr-c	1,5	muy fino	red laminar	10	0.6	2	0,1	11	0,6	0	0.0
OA1-R7-622	Ojo del Agua	Pr-c	1	muy fino	laminar	0	0.0	0	0,0	8	0,9	0	0.0
OA1-R7-636	Ojo del Agua	Pr-c	3	fino	red/angular	6	1.5	1	0,3	2	0,5	0	0.0
OA1-R7-644	Ojo del Agua	Pr-c	7	muy fino	redondeada	11	2.9	2	0,5	6	1,6	0	0.0
OA1-R7-672	Ojo del Agua	Pr-c	6	muy fino	laminar	2	0.3	0	0,0	30	5,0	0	0.0
OA1-R7-680	Ojo del Agua	Pr-c	2	fino	red/angular	1	0.3	2	0,7	1	0,3	0	0.0
OA1-R7-705	Ojo del Agua	Pr-c	6	muy fino/fino	redondeada	8	3.0	1	0,4	4	1,5	0	0.0
OA1-R7-749	Ojo del Agua	Pr-c	4	fino	red/angular	2	0.7	2	0,7	0	0,0	0	0.0
OA1-SE-E7-02	Ojo del Agua	Pr-c	1	muy fino	redondeada	2	0.3	0	0,0	2	0,3	0	0.0
OA1-SE-E7-05	Ojo del Agua	Pr-c	1	muy fino	redondeada	2	0.3	1	0,1	2	0,3	0	0.0
OA1-SE-E7-06	Ojo del Agua	Pr-c	2	fino	redondeada	3	2.0	0	0,0	0	0,0	0	0.0
OA1-SE-E7-07	Ojo del Agua	Pr-c	2	muy fino	red laminar	12	0.8	0	0,0	17	1,1	0	0.0
OA1-SE-E7-22	Ojo del Agua	Pr-c	4	muy fino/fino	red laminar	13	1.7	2	0,3	12	1,6	0	0.0
OA1-SE-E7-36	Ojo del Agua	Pr-c	0	n/p	n p	0	0.0	0	0,0	0	0,0	0	0.0
OA1-SE-E7-40	Ojo del Agua	Pr-c	0	n/p	n p	0	0.0	0	0,0	0	0,0	0	0.0
OA1-SE-E7-49	Ojo del Agua	Pr-c	0,5	fino	laminar	0	0.0	2	0,1	12	0,4	0	0.0
OA1-SE-E7-60	Ojo del Agua	Pr-c	2	fino	redondeada	6	1.1	1	0,2	4	0,7	0	0.0
OA1-SE-E7-77	Ojo del Agua	Pr-c	2	muy fino	red laminar	4	0.5	0	0,0	12	1,4	0	0.0
OA1-SE-E7-85	Ojo del Agua	Pr-c	8	muy fino/fino	red/angular	10	4.0	5	2,0	1	0,4	0	0.0
OA1-SE-E7-90	Ojo del Agua	Pr-c	0	n/p	n p	0	0.0	0	0,0	0	0,0	0	0.0
OA1-SE-E7-92	Ojo del Agua	Pr-c	6	fino	redondeada	19	5.2	0	0,0	0	0,0	0	0.0
OA1-U14-06	Ojo del Agua	Pr-c	3	fino	redondeada	5	1.5	3	0,9	0	0,0	0	0.0
OA1-U14-10	Ojo del Agua	Pr-c	3	fino/muy fino	red laminar	8	1.0	0	0,0	12	1,4	0	0.0
OA1-U14-12	Ojo del Agua	Pr-c	2	muy fino	red laminar	6	0.5	5	0,4	12	0,9	0	0.0
OA1-U14-15	Ojo del Agua	Pr-c	2	fino	red laminar	7	0.6	0	0,0	11	1,0	0	0.0
OA1-U14-20	Ojo del Agua	Pr-c	5	fino	redondeada	17	3.1	1	0,2	3	0,6	0	0.0

Sigla	Tm/ia		frag roc volc		frag roc graníticos		lito/frag. no identif		otros		TT.	Observaciones	Pasta
	tt	p	tt	p	tt	p	tt	p	tt	p			
OA1-R7-312	0	0,0	0	0,0	0	0,0	0	0,0	0	0,0	14		I(A)
OA1-R7-338	0	0,0	0	0,0	0	0,0	1	0,2	5	0,8	18	materia orgánica quemada	I(A)
OA1-R7-344	0	0,0	0	0,0	0	0,0	0	0,0	0	0,0	7		I(A)
OA1-R7-347	0	0,0	0	0,0	0	0,0	2	0,4	0	0,0	9		I(A)
OA1-R7-352	0	0,0	0	0,0	0	0,0	6	1,2	2	0,4	35	materia orgánica quemada	I(A)
OA1-R7-356	0	0,0	0	0,0	0	0,0	8	4,0	0	0,0	14		I(A)
OA1-R7-358	0	0,0	0	0,0	0	0,0	0	0,0	0	0,0	0		I(A)
OA1-R7-360	0	0,0	0	0,0	0	0,0	11	2,6	2	0,5	34	concreciones carbonáticas escasas, muy finas	I(A)
OA1-R7-364	0	0,0	0	0,0	0	0,0	3	1,1	0	0,0	21		I(A)
OA1-R7-369	0	0,0	0	0,0	0	0,0	15	3,4	0	0,0	31		I(A)
OA1-R7-388	0	0,0	0	0,0	0	0,0	5	0,6	0	0,0	31		I(A)
OA1-R7-397	0	0,0	0	0,0	0	0,0	7	3,2	1	0,5	22	materia orgánica quemada	I(A)
OA1-R7-399	0	0,0	0	0,0	0	0,0	0	0,0	0	0,0	15		I(A)
OA1-R7-400	0	0,0	0	0,0	0	0,0	0	0,0	0	0,0	3		I(A)
OA1-R7-410	0	0,0	0	0,0	0	0,0	1	0,3	0	0,0	10		I(A)
OA1-R7-412	0	0,0	0	0,0	0	0,0	1	0,1	0	0,0	5		I(A)
OA1-R7-415	0	0,0	0	0,0	0	0,0	4	1,8	0	0,0	22		I(A)
OA1-R7-416	0	0,0	0	0,0	0	0,0	9	1,8	0	0,0	20		I(A)
OA1-R7-418	0	0,0	0	0,0	0	0,0	2	0,9	0	0,0	14		I(A)
OA1-R7-423	0	0,0	0	0,0	0	0,0	4	1,6	0	0,0	18		I(A)
OA1-R7-425	0	0,0	0	0,0	0	0,0	3	0,6	0	0,0	10		I(A)
OA1-R7-426	0	0,0	0	0,0	0	0,0	9	3,2	0	0,0	25		I(A)
OA1-R7-427	0	0,0	0	0,0	0	0,0	2	0,3	2	0,3	16	materia orgánica quemada	I(A)
OA1-R7-429	0	0,0	0	0,0	0	0,0	0	0,0	0	0,0	0		I(A)
OA1-R7-432	0	0,0	0	0,0	0	0,0	3	0,8	0	0,0	8		I(A)
OA1-R7-433	0	0,0	0	0,0	0	0,0	2	0,8	0	0,0	8		I(A)
OA1-R7-439	0	0,0	0	0,0	0	0,0	4	1,1	0	0,0	11		I(A)
OA1-R7-445	0	0,0	0	0,0	0	0,0	1	0,2	0	0,0	9		I(A)
OA1-R7-454	0	0,0	0	0,0	0	0,0	4	0,9	0	0,0	13		I(A)
OA1-R7-610 632	0	0,0	0	0,0	0	0,0	10	3,7	0	0,0	30		I(A)
OA1-R7-611	0	0,0	0	0,0	0	0,0	9	2,8	0	0,0	32		I(A)
OA1-R7-620	0	0,0	0	0,0	0	0,0	4	0,2	0	0,0	27		I(A)
OA1-R7-622	0	0,0	0	0,0	0	0,0	1	0,1	0	0,0	9		I(A)
OA1-R7-636	0	0,0	0	0,0	0	0,0	3	0,8	0	0,0	12		I(A)
OA1-R7-644	0	0,0	0	0,0	0	0,0	5	1,3	3	0,8	27	materia orgánica quemada	I(A)
OA1-R7-672	0	0,0	0	0,0	0	0,0	4	0,7	0	0,0	36		I(A)
OA1-R7-680	0	0,0	0	0,0	0	0,0	2	0,7	0	0,0	6		I(A)
OA1-R7-705	0	0,0	0	0,0	0	0,0	3	1,1	0	0,0	16		I(A)
OA1-R7-749	0	0,0	0	0,0	0	0,0	7	2,5	0	0,0	11		I(A)
OA1-SE-E7-02	0	0,0	0	0,0	0	0,0	3	0,4	0	0,0	7		I(A)
OA1-SE-E7-05	0	0,0	0	0,0	0	0,0	2	0,3	0	0,0	7		I(A)
OA1-SE-E7-06	0	0,0	0	0,0	0	0,0	0	0,0	0	0,0	3		I(A)
OA1-SE-E7-07	0	0,0	0	0,0	0	0,0	1	0,1	0	0,0	30		I(A)
OA1-SE-E7-22	0	0,0	0	0,0	0	0,0	3	0,4	0	0,0	30		I(A)
OA1-SE-E7-36	0	0,0	0	0,0	0	0,0	0	0,0	0	0,0	0		I(A)
OA1-SE-E7-40	0	0,0	0	0,0	0	0,0	0	0,0	0	0,0	0		I(A)
OA1-SE-E7-49	0	0,0	0	0,0	0	0,0	1	0,0	1	0,0	16	materia orgánica quemada	I(A)
OA1-SE-E7-60	0	0,0	0	0,0	0	0,0	0	0,0	0	0,0	11		I(A)
OA1-SE-E7-77	0	0,0	0	0,0	0	0,0	1	0,1	0	0,0	17		I(A)
OA1-SE-E7-85	0	0,0	0	0,0	0	0,0	4	1,6	0	0,0	20		I(A)
OA1-SE-E7-90	0	0,0	0	0,0	0	0,0	0	0,0	0	0,0	0		I(A)
OA1-SE-E7-92	0	0,0	0	0,0	0	0,0	3	0,8	0	0,0	22		I(A)
OA1-U14-06	0	0,0	0	0,0	0	0,0	2	0,6	0	0,0	10		I(A)
OA1-U14-10	0	0,0	0	0,0	0	0,0	4	0,5	1	0,1	25	materia orgánica quemada	I(A)
OA1-U14-12	0	0,0	0	0,0	0	0,0	3	0,2	0	0,0	26		I(A)
OA1-U14-15	0	0,0	0	0,0	0	0,0	5	0,4	0	0,0	23		I(A)
OA1-U14-20	0	0,0	0	0,0	0	0,0	6	1,1	0	0,0	27		I(A)

Apéndice 3

Sigla	Procedencia	Eco-zona	% antip	tamaño	forma	q		f		m		ca	
						tt	p	tt	p	tt	p	tt	p
OA1-U22-08	Ojo del Agua	Pr-c	6	muy fino	redondeada	17	3.0	1	0,2	4	0,7	1	0.2
OA1-U28-04	Ojo del Agua	Pr-c	1	muy fino	redondeada	4	0,3	2	0,2	0	0,0	0	0.0
OA1-U28-37	Ojo del Agua	Pr-c	1	muy fino	laninar	1	0.1	0	0,0	16	0,8	0	0.0
OA1-U28-38	Ojo del Agua	Pr-c	12	fino/muy fino	redondeada	16	6.6	6	2,5	0	0,0	0	0.0
OA1-U28-39	Ojo del Agua	Pr-c	2,5	muy fino	redondeada	6	0.9	2	0,3	2	0,3	0	0.0
OA1-U28-41	Ojo del Agua	Pr-c	2	muy fino	redondeada	3	0.9	1	0,3	2	0,6	0	0.0
OA1-U28-44	Ojo del Agua	Pr-c	0	n/p	n p	0	0.0	0	0,0	0	0,0	0	0.0
OA1-U28-49	Ojo del Agua	Pr-c	2	muy fino	laninar	3	0.2	0	0,0	17	1,4	0	0.0
OA1-U28-52	Ojo del Agua	Pr-c	2	muy fino	redondeada	5	0.7	2	0,3	5	0,7	0	0.0
OA1-U28-54	Ojo del Agua	Pr-c	2	muy fino	redondeada	2	0.8	0	0,0	1	0,4	0	0.0
OA1-U28-75	Ojo del Agua	Pr-c	0	n/p	n p	0	0.0	0	0,0	0	0,0	0	0.0
OA1-U28-77	Ojo del Agua	Pr-c	5	muy fino/fino	red laminar	8	1.5	2	0,4	9	1,7	0	0.0
OA1-U29-17	Ojo del Agua	Pr-c	2	muy fino/fino	redondeada	6	1.1	0	0,0	0	0,0	0	0.0
OA1-U29-38	Ojo del Agua	Pr-c	2	fino	redondeada	6	1.1	1	0,2	1	0,2	0	0.0
OA1-U32-25	Ojo del Agua	Pr-c	0	n/p	n p	0	0.0	0	0,0	0	0,0	0	0.0
OA1-U32-34	Ojo del Agua	Pr-c	14	fino/muy fino	red/angular	24	9.3	4	1,6	5	1,9	0	0.0
OA1-U32-45	Ojo del Agua	Pr-c	5	fino	redondeada	7	3.2	2	0,9	0	0,0	0	0.0
OA1-U34-01	Ojo del Agua	Pr-c	3	muy fino/fino	red/angular	2	0.6	5	1,5	1	0,3	0	0.0
OA1-U34-04	Ojo del Agua	Pr-c	2	muy fino	redondeada	4	0.7	0	0,0	2	0,4	0	0.0
OA1-U34-25	Ojo del Agua	Pr-c	6	fino/muy fino	redondeada	15	3.3	3	0,7	2	0,4	0	0.0
OA1-U34-31	Ojo del Agua	Pr-c	1	muy fino	angular	2	0.3	2	0,3	3	0,4	0	0.0
PB-CG-02-02	Conector PB-CG	Pr-c	7	muy fino	redondeada	6	3.2	2	1,1	0	0,0	0	0.0
PB-CG-05-01	Conector PB-CG	Pr-c	4	muy fino	redondeada	4	1.0	9	2,3	1	0,3	0	0.0
PB-CG-08-15	Conector PB-CG	Pr-c	1	muy fino	redondeada	4	0.3	1	0,1	5	0,4	0	0.0
PB-CG-08-23	Conector PB-CG	Pr-c	5	fino	redondeada	5	1.4	4	1,1	3	0,8	0	0.0
PB-CG-08-38-39	Conector PB-CG	Pr-c	3	fino/muy fino	redondeada	4	3.0	0	0,0	0	0,0	0	0.0
PB-CG-09-01	Conector PB-CG	Pr-c	0,1	muy fino	redondeada	1	0.0	3	0,1	2	0,0	0	0.0
PB-CG-11-04	Conector PB-CG	Pr-c	0	n/p	n p	0	0.0	0	0,0	0	0,0	0	0.0
PB-CG-11-06	Conector PB-CG	Pr-c	0,5	muy fino	red laminar	7	0.3	0	0,0	7	0,3	0	0.0
PB-CG-11-07	Conector PB-CG	Pr-c	3	muy fino	redondeada	7	1.8	2	0,5	1	0,3	0	0.0
PB-CG-11-09	Conector PB-CG	Pr-c	5	muy fino	redondeada	6	1.9	2	0,6	4	1,3	0	0.0
PB-CG-12-07	Conector PB-CG	Pr-c	10	fino	ang/red.	3	3.3	2	2,2	1	1,1	0	0.0
PB-CG-15-07	Conector PB-CG	Pr-c	5	muy fino	redondeada	6	3.8	0	0,0	0	0,0	0	0.0
PB-CG-15-19	Conector PB-CG	Pr-c	1	muy fino	laninar	0	0.0	0	0,0	7	1,0	0	0.0
PB-CG-15-24	Conector PB-CG	Pr-c	3	muy fino	redondeada	4	1.7	0	0,0	0	0,0	1	0.4
PB-CG-15-26	Conector PB-CG	Pr-c	0	n/p	n p	0	0.0	0	0,0	0	0,0	0	0.0
PBCG-20-001	Conector PB-CG	Pr-c	0,1	muy fino	redondeada	4	0.1	0	0,0	0	0,0	0	0.0
PB-CG-20-004 003	Conector PB-CG	Pr-c	1	muy fino	redondeada	1	0.3	0	0,0	1	0,3	0	0.0
PB-CG-20-023	Conector PB-CG	Pr-c	9	muy fino	laninar	0	0.0	2	1,2	11	6,6	0	0.0
PB-CG-20-027	Conector PB-CG	Pr-c	0	n/p	n p	0	0.0	0	0,0	0	0,0	0	0.0
PBCG-20-049	Conector PB-CG	Pr-c	0,1	muy fino	redondeada	2	0.1	0	0,0	2	0,1	0	0.0
PBCG-20-051	Conector PB-CG	Pr-c	4	muy fino	redondeada	4	1.6	2	0,8	0	0,0	0	0.0
PBCG-20-069	Conector PB-CG	Pr-c	0,1	muy fino	redondeada	3	0.0	0	0,0	3	0,0	0	0.0
PBCG-20-071	Conector PB-CG	Pr-c	10	muy fino	redondeada	15	5.8	0	0,0	5	1,9	0	0.0
PBCG-20-072	Conector PB-CG	Pr-c	0,2	muy fino	redondeada	2	0.1	0	0,0	1	0,0	2	0.1
PBCG-20-073	Conector PB-CG	Pr-c	0,5	muy fino	redondeada	3	0.2	0	0,0	3	0,2	0	0.0
PBCG-20-074	Conector PB-CG	Pr-c	0	n/p	n p	0	0.0	0	0,0	0	0,0	0	0.0
PBCG-20-075	Conector PB-CG	Pr-c	0,5	muy fino	red laminar	3	0.2	0	0,0	3	0,2	0	0.0
PBCG-20-080	Conector PB-CG	Pr-c	2	muy fino	laninar	2	0.2	0	0,0	18	1,7	0	0.0
PBCG-20-082	Conector PB-CG	Pr-c	3	muy fino	laninar	1	0.2	2	0,5	6	1,4	3	0.7
PBCG-20-087	Conector PB-CG	Pr-c	6	muy fino/fino	red laminar	6	2.4	0	0,0	5	2,0	0	0.0
PBCG-20-127	Conector PB-CG	Pr-c	2	fino	redondeada	3	0.9	0	0,0	2	0,6	0	0.0
PBCG-20-130	Conector PB-CG	Pr-c	0	n/p	n p	0	0.0	0	0,0	0	0,0	0	0.0
PBCG-20-137	Conector PB-CG	Pr-c	7	muy fino/fino	laninar	1	0.8	0	0,0	6	4,7	0	0.0
PB-CG-20-140	Conector PB-CG	Pr-c	0	n/p	n p	0	0.0	0	0,0	0	0,0	0	0.0
PB-CG-20-32	Conector PB-CG	Pr-c	1	muy fino	laninar	2	0.2	0	0,0	5	0,6	0	0.0
Reh2-047-01	Ranchillos 2	Pr-c	3	muy fino/fino	red laminar	4	0.5	1	0,1	13	1,7	3	0.4

Sigla	Tm/ia		frag roc volc		frag roc graníticos		lito/frag. no identif		otros		TT.	Observaciones	Pasta
	tt	p	tt	p	tt	p	tt	p	tt	p			
OA1-U22-08	0	0,0	0	0,0	0	0,0	11	1,9	0	0,0	34		I (A)
OA1-U28-04	0	0,0	0	0,0	0	0,0	7	0,5	0	0,0	13		I (A)
OA1-U28-37	0	0,0	0	0,0	0	0,0	1	0,1	1	0,1	19	materia orgánica quemada	I (A)
OA1-U28-38	0	0,0	0	0,0	0	0,0	7	2,9	0	0,0	29		I (A)
OA1-U28-39	0	0,0	0	0,0	0	0,0	6	0,9	0	0,0	16		I (A)
OA1-U28-41	0	0,0	0	0,0	0	0,0	1	0,3	0	0,0	7		I (A)
OA1-U28-44	0	0,0	0	0,0	0	0,0	0	0,0	0	0,0	0		I (A)
OA1-U28-49	0	0,0	0	0,0	0	0,0	2	0,2	3	0,2	25	materia orgánica quemada	I (A)
OA1-U28-52	0	0,0	0	0,0	0	0,0	2	0,3	0	0,0	14		I (A)
OA1-U28-54	0	0,0	0	0,0	0	0,0	2	0,8	0	0,0	5		I (A)
OA1-U28-75	0	0,0	0	0,0	0	0,0	0	0,0	0	0,0	0		I (A)
OA1-U28-77	0	0,0	0	0,0	0	0,0	7	1,3	0	0,0	26		I (A)
OA1-U29-17	0	0,0	0	0,0	0	0,0	5	0,9	0	0,0	11		I (A)
OA1-U29-38	0	0,0	0	0,0	0	0,0	1	0,2	2	0,4	11	materia orgánica quemada	I (A)
OA1-U32-25	0	0,0	0	0,0	0	0,0	0	0,0	0	0,0	0		I (A)
OA1-U32-34	0	0,0	0	0,0	0	0,0	3	1,2	0	0,0	36		I (A)
OA1-U32-45	0	0,0	0	0,0	0	0,0	2	0,9	0	0,0	11		I (A)
OA1-U34-01	0	0,0	0	0,0	0	0,0	2	0,6	0	0,0	10		I (A)
OA1-U34-04	0	0,0	0	0,0	0	0,0	3	0,5	2	0,4	11	materia orgánica quemada	I (A)
OA1-U34-25	0	0,0	0	0,0	0	0,0	7	1,6	0	0,0	27		I (A)
OA1-U34-31	0	0,0	0	0,0	0	0,0	1	0,1	0	0,0	8		I (A)
PB-CG-02-02	0	0,0	0	0,0	0	0,0	5	2,7	0	0,0	13		I (A)
PB-CG-05-01	0	0,0	0	0,0	0	0,0	1	0,3	1	0,3	16	materia orgánica quemada	I (A)
PB-CG-08-15	0	0,0	0	0,0	0	0,0	2	0,2	0	0,0	12		I (A)
PB-CG-08-23	0	0,0	0	0,0	0	0,0	6	1,7	0	0,0	18		I (A)
PB-CG-08-38-39	0	0,0	0	0,0	0	0,0	0	0,0	0	0,0	4		I (A)
PB-CG-09-01	0	0,0	0	0,0	0	0,0	0	0,0	0	0,0	6		I (A)
PB-CG-11-04	0	0,0	0	0,0	0	0,0	0	0,0	0	0,0	0		I (A)
PB-CG-11-06	0	0,0	0	0,0	0	0,0	0	0,0	0	0,0	14		I (A)
PB-CG-11-07	0	0,0	0	0,0	0	0,0	2	0,5	0	0,0	12		I (A)
PB-CG-11-09	0	0,0	0	0,0	0	0,0	3	0,9	1	0,3	16	materia orgánica quemada	I (A)
PB-CG-12-07	0	0,0	0	0,0	0	0,0	3	3,3	0	0,0	9		I (A)
PB-CG-15-07	0	0,0	0	0,0	0	0,0	2	1,3	0	0,0	8		I (A)
PB-CG-15-19	0	0,0	0	0,0	0	0,0	0	0,0	0	0,0	7		I (A)
PB-CG-15-24	0	0,0	0	0,0	0	0,0	2	0,9	0	0,0	7		I (A)
PB-CG-15-26	0	0,0	0	0,0	0	0,0	0	0,0	0	0,0	0		I (A)
PBCG-20-001	0	0,0	0	0,0	0	0,0	1	0,0	1	0,0	6	materia orgánica quemada	I (A)
PB-CG-20-004 003	0	0,0	0	0,0	0	0,0	1	0,3	0	0,0	3		I (A)
PB-CG-20-023	0	0,0	0	0,0	0	0,0	2	1,2	0	0,0	15		I (A)
PB-CG-20-027	0	0,0	0	0,0	0	0,0	0	0,0	0	0,0	0		I (A)
PBCG-20-049	0	0,0	0	0,0	0	0,0	0	0,0	0	0,0	4		I (A)
PBCG-20-051	0	0,0	0	0,0	0	0,0	4	1,6	0	0,0	10		I (A)
PBCG-20-069	0	0,0	0	0,0	0	0,0	1	0,0	0	0,0	7		I (A)
PBCG-20-071	0	0,0	0	0,0	0	0,0	6	2,3	0	0,0	26		I (A)
PBCG-20-072	0	0,0	0	0,0	0	0,0	3	0,1	0	0,0	8		I (A)
PBCG-20-073	0	0,0	0	0,0	0	0,0	1	0,1	0	0,0	7		I (A)
PBCG-20-074	0	0,0	0	0,0	0	0,0	0	0,0	0	0,0	0		I (A)
PBCG-20-075	0	0,0	0	0,0	0	0,0	1	0,1	1	0,1	8	materia orgánica quemada	I (A)
PBCG-20-080	0	0,0	0	0,0	0	0,0	1	0,1	0	0,0	21		I (A)
PBCG-20-082	0	0,0	0	0,0	0	0,0	1	0,2	0	0,0	13		I (A)
PBCG-20-087	0	0,0	0	0,0	0	0,0	2	0,8	2	0,8	15	materia orgánica quemada	I (A)
PBCG-20-127	0	0,0	0	0,0	0	0,0	2	0,6	0	0,0	7		I (A)
PBCG-20-130	0	0,0	0	0,0	0	0,0	0	0,0	0	0,0	0		I (A)
PBCG-20-137	0	0,0	0	0,0	0	0,0	2	1,6	0	0,0	9		I (A)
PB-CG-20-140	0	0,0	0	0,0	0	0,0	0	0,0	0	0,0	0		I (A)
PB-CG-20-32	0	0,0	0	0,0	0	0,0	1	0,1	1	0,1	9	materia orgánica quemada	I (A)
Rch2-047-01	0	0,0	0	0,0	0	0,0	2	0,3	0	0,0	23		I (A)

Apéndice 3

Sigla	Procedencia	Eco-zona	% antip	tamaño	forma	q		f		m		ca	
						tt	p	tt	p	tt	p	tt	p
Rch2-047-11	Ranchillos 2	Pr-c	0,5	muy fino	lamínar	2	0,1	0	0,0	14	0,4	0	0,0
Rch2-E074-05	Ranchillos 2	Pr-c	2	muy fino	lamínar	5	0,7	6	0,8	2	0,3	0	0,0
Rch2-E074-08	Ranchillos 2	Pr-c	2	muy fino	redondeada	6	0,8	7	0,9	1	0,1	0	0,0
Rch2-E095-02	Ranchillos 2	Pr-c	2	muy fino	redondeada	4	0,7	2	0,3	2	0,3	0	0,0
Rch2-E155-02	Ranchillos 2	Pr-c	0,2	muy fino	lamínar	2	0,0	0	0,0	5	0,1	0	0,0
Rch2-R4-02-03	Ranchillos 2	Pr-c	0	n/p	n'p	0	0,0	0	0,0	0	0,0	0	0,0
Rch2-R9-22	Ranchillos 2	Pr-c	0	muy fino/fino	redondeada	0	0,0	0	0,0	0	0,0	0	0,0
Rch2-R9-27	Ranchillos 2	Pr-c	5	fino	redondeada	4	1,3	3	1,0	3	1,0	0	0,0
Rch2-W-U027-02	Ranchillos 2	Pr-c	0,3	muy fino	lamínar	1	0,0	1	0,0	8	0,2	0	0,0
Rch2-W-U068-10	Ranchillos 2	Pr-c	0,5	muy fino	lamínar	4	0,1	0	0,0	13	0,3	0	0,0
EZ-024-01	El Zorro	Puna	1	muy fino	redondeada	4	0,4	0	0,0	0	0,0	0	0,0
EZ-067-03	El Zorro	Puna	5	muy fino/fino	red/ang.	6	2,3	3	1,2	1	0,4	0	0,0
EZ-067-08	El Zorro	Puna	0	n/p	no pertinente	0	0,0	0	0,0	0	0,0	0	0,0
EZ-102-03	El Zorro	Puna	6	fino/muy fino	redondeada	4	2,0	1	0,5	2	1,0	0	0,0
EZ-C1-05	El Zorro	Puna	1	muy fino	lamínar	7	0,3	0	0,0	17	0,7	0	0,0
EZ-C5E-03	El Zorro	Puna	1	muy fino	red lamínar	2	0,1	0	0,0	10	0,7	0	0,0
EZ-C5E-04	El Zorro	Puna	2	muy fino	red lamínar	3	0,3	1	0,1	15	1,4	0	0,0
EZ-C5E-06	El Zorro	Puna	0	n/p	n p	0	0,0	0	0,0	0	0,0	0	0,0
Lag-02	Laguna 1 y 2	Puna	5	fino	redondeada	3	1,9	2	1,3	0	0,0	0	0,0
Lag-10	Laguna 1 y 2	Puna	2	muy fino	redondeada	3	0,6	0	0,0	2	0,4	0	0,0
Lag-24	Laguna 1 y 2	Puna	2	muy fino	red lamínar	2	0,2	0	0,0	11	1,1	0	0,0
Lag-25	Laguna 1 y 2	Puna	10	muy fino/fino	red/angular	10	3,8	2	0,8	2	0,8	0	0,0
Lag-27	Laguna 1 y 2	Puna	0,5	muy fino	red lamínar	2	0,1	1	0,1	5	0,3	0	0,0
Lag-29	Laguna 1 y 2	Puna	0	n/p	n p	0	0,0	0	0,0	0	0,0	0	0,0
G2-08-05	Giusepe 2	V-ba	20	fino/muy fino	redondeada	10	7,1	6	4,3	0	0,0	2	1,4
V1344-U10-12	LT-V1344	V-ba	17	fino/muy fino	redondeada	4	4,0	2	2,0	2	2,0	0	0,0
V1344-U13-02	LT-V1344	V-ba	17	fino/muy fino	red lamínar	24	7,7	2	0,6	15	4,8	0	0,0
V1344-U43-45	LT-V1344	V-ba	15	fino	red lamínar	9	4,8	3	1,6	9	4,8	0	0,0
V1344-U63-17	LT-V1344	V-ba	15	muy fino	redondeada	12	7,5	3	1,9	2	1,3	0	0,0
V1344-U72-12	LT-V1344	V-ba	19	fino/muy fino	redondeada	8	7,2	3	2,7	3	2,7	0	0,0
V50PB-03	LT-V50	V-ba	15	fino/muy fino	redondeada	6	3,5	8	4,6	2	1,2	0	0,0
V50PB-176-13	LT-V50	V-ba	15	muy fino	red lam	7	5,0	5	3,6	3	2,1	0	0,0
V50PB-SN-03	LT-V50	V-ba	22	muy fino	redondeada	19	10,2	6	3,2	6	3,2	0	0,0
VBAT-004-02	LT-V50	V-ba	20	fino	red ang	18	10,9	5	3,0	2	1,2	0	0,0
VBAT-038-02	LT-V50	V-ba	25	fino/muy fino	redondeada	15	9,9	3	2,0	5	3,3	2	1,3
VBAT-073-01-02	LT-V50	V-ba	20	fino	redondeada	16	9,1	5	2,9	4	2,3	0	0,0
VBAT-106	LT-V50	V-ba	25	fino	redondeada	25	17,9	3	2,1	2	1,4	0	0,0
VBAT-120-07	LT-V50	V-ba	25	fino/medio	red ang	14	9,2	5	3,3	5	3,3	2	1,3
BY-F1	Las Champas	V-me	23	muy fino/fino	redondeada	15	13,8	3	2,8	3	2,8	0	0,0
Huan-03	Huanchín	V-me	15	muy fino	redondeada	15	8,0	5	2,7	2	1,1	0	0,0
Huan-12	Huanchín	V-me	20	muy fino/fino	red lamínar	7	5,2	3	2,2	12	8,9	0	0,0
Huan-20	Huanchín	V-me	15	muy fino	redondeada	6	5,6	4	3,8	1	0,9	0	0,0
MSH-1-03	Mishma 1	V-me	20	fino/muy fino	redondeada	14	8,2	5	2,9	2	1,2	2	1,2
PC-149	Punta Colorada	V-me	19	muy fino/fino	redondeada	9	5,5	9	5,5	6	3,7	0	0,0
PC-155	Punta Colorada	V-me	25	fino/muy fino	redondeada	10	8,9	2	1,8	3	2,7	0	0,0
OAI-R7-001	Ojo del Agua	V-al	20	fino/muy fino	redondeada	15	10,0	2	1,3	4	2,7	0	0,0
OAI-R7-003	Ojo del Agua	V-al	15	fino/muy fino	redondeada	3	2,0	3	2,0	3	2,0	0	0,0
OAI-R7-359	Ojo del Agua	V-al	15	muy fino	red lamínar	5	2,5	0	0,0	17	8,5	0	0,0
OAI-R7-390	Ojo del Agua	V-al	15	muy fino	redondeada	16	7,3	3	1,4	5	2,3	0	0,0
OAI-R7-417	Ojo del Agua	V-al	15	muy fino	redondeada	9	5,4	1	0,6	1	0,6	1	0,6
OAI-R7-421	Ojo del Agua	V-al	15	fino	redondeada	7	3,8	0	0,0	3	1,6	0	0,0
OAI-U28-20	Ojo del Agua	V-al	17	muy fino/fino	redondeada	24	9,1	10	3,8	0	0,0	0	0,0
PBNH1-003	Palo Blanco NH1	V-al	25	muy fino/fino	redondeada	22	11,5	5	2,6	4	2,1	0	0,0
PBNH3-024-30	Palo Blanco NH3	V-al	23	muy fino/fino	redondeada	15	9,3	2	1,2	0	0,0	0	0,0
PBNH3-100-01	Palo Blanco NH3	V-al	15	muy fino	red lamínar	16	8,3	2	1,0	2	1,0	0	0,0
PBNH3-100-06	Palo Blanco NH3	V-al	15	muy fino	red lamínar	12	4,9	0	0,0	16	6,5	0	0,0
PBNH3-101-22	Palo Blanco NH3	V-al	21	muy fino	red lamínar	15	7,9	3	1,6	16	8,4	0	0,0

Sigla	T/m ²	Frag roc	Trag roc	litro/frag. no	identif	otros	TT.	Observaciones	Pasta
Rch2-E047-11	0	0,0	0	0,0	0	0,0	16		I(A)
Rch2-E074-08	0	0,0	0	0,0	2	0,3	16		I(A)
Rch2-E095-02	0	0,0	0	0,0	4	0,7	12		I(A)
Rch2-E155-02	0	0,0	0	0,0	2	0,0	9		I(A)
Rch2-R4-02 03	0	0,0	0	0,0	0	0,0	0		I(A)
Rch2-R9-22	0	0,0	0	0,0	0	0,0	0		I(A)
Rch2-R9-27	0	0,0	0	0,0	4	1,3	15	matéria orgánica quemada	I(A)
Rch2-V-U027-02	0	0,0	0	0,0	0	0,0	12	matéria orgánica quemada	I(A)
Rch2-V-U068-10	0	0,0	0	0,0	2	0,1	19	matéria orgánica quemada	I(A)
EZ-024-01	0	0,0	0	0,0	5	0,6	9		I(A)
EZ-067-03	0	0,0	0	0,0	3	1,2	13		I(A)
EZ-067-08	0	0,0	0	0,0	0	0,0	0		I(A)
EZ-102-03	0	0,0	0	0,0	5	2,5	12		I(A)
EZ-C1-05	0	0,0	0	0,0	2	0,1	26		I(A)
EZ-C5E-03	0	0,0	0	0,0	2	0,1	14	matéria orgánica quemada	I(A)
EZ-C5E-04	0	0,0	0	0,0	2	0,2	22	matéria orgánica quemada	I(A)
EZ-C5E-06	0	0,0	0	0,0	0	0,0	0	matéria orgánica quemada	I(A)
Lag-02	0	0,0	0	0,0	3	1,9	8		I(A)
Lag-10	0	0,0	0	0,0	2	0,4	10	matéria orgánica quemada	I(A)
Lag-24	0	0,0	0	0,0	7	0,7	20		I(A)
Lag-25	0	0,0	0	0,0	12	4,6	26		I(A)
Lag-27	0	0,0	0	0,0	0	0,0	8		I(A)
Lag-29	0	0,0	0	0,0	0	0,0	0		I(A)
G2-08-05	0	0,0	0	0,0	10	7,1	28		I(B)
V13-44-U10-12	0	0,0	0	0,0	9	9,0	17		I(B)
V13-44-U13-02	0	0,0	0	0,0	12	3,8	53		I(B)
V13-44-U13-45	0	0,0	0	0,0	7	3,8	28		I(B)
V13-44-U63-17	0	0,0	0	0,0	7	4,4	24		I(B)
V13-44-U72-12	0	0,0	0	0,0	7	6,3	21		I(B)
V50PB-03	0	0,0	0	0,0	10	5,8	26		I(B)
V50PB-176-13	0	0,0	0	0,0	6	4,3	21		I(B)
V50PB-SN-03	0	0,0	0	0,0	10	5,4	41		I(B)
VBAT-004-02	0	0,0	0	0,0	8	4,8	33		I(B)
VBAT-038-02	0	0,0	0	0,0	13	8,6	38		I(B)
VBAT-073-01 02	0	0,0	0	0,0	10	5,7	35		I(B)
VBAT-106	0	0,0	0	0,0	5	3,6	35		I(B)
VBAT-120-07	0	0,0	0	0,0	12	7,9	38		I(B)
BY-P1	0	0,0	0	0,0	4	3,7	25		I(B)
Huan-03	0	0,0	0	0,0	6	3,2	28		I(B)
Huan-12	0	0,0	0	0,0	5	3,7	27		I(B)
Huan-20	0	0,0	0	0,0	5	4,7	16		I(B)
MSH-1-03	0	0,0	0	0,0	11	6,5	34		I(B)
PC-149	0	0,0	0	0,0	7	4,3	31		I(B)
PC-155	0	0,0	0	0,0	13	11,6	28		I(B)
OAI-R7-001	0	0,0	0	0,0	9	6,0	30		I(B)
OAI-R7-003	0	0,0	0	0,0	12	8,2	22	matéria orgánica quemada	I(B)
OAI-R7-359	0	0,0	0	0,0	7	3,5	30	matéria orgánica quemada	I(B)
OAI-R7-390	0	0,0	0	0,0	9	4,1	33	matéria orgánica quemada	I(B)
OAI-R7-417	0	0,0	0	0,0	12	7,2	25	matéria orgánica quemada	I(B)
OAI-R7-421	0	0,0	0	0,0	17	9,1	28	matéria orgánica quemada	I(B)
OAI-U28-20	0	0,0	0	0,0	11	4,2	45		I(B)
PBNH1-003	0	0,0	0	0,0	17	8,9	48		I(B)
PBNH3-024-30	0	0,0	0	0,0	20	12,4	37		I(B)
PBNH3-100-01	0	0,0	0	0,0	9	4,7	29		I(B)
PBNH3-100-06	0	0,0	0	0,0	9	3,6	37		I(B)
PBNH3-101-22	0	0,0	0	0,0	6	3,2	40		I(B)

Sigla	Procedencia	Eco-zona	° antip	tamaño	forma	q		f		m		ca	
						tt	p	tt	p	tt	p	tt	p
PBNH3-176-01	Palo Blanco NH3	V-al	17	muy fino/fino	redondeada	19	8.1	7	3.0	3	1,3	0	0.0
PBNH3-198-05	Palo Blanco NH3	V-al	25	fino/muy fino	red laminar	16	8.5	2	1.1	17	9,0	0	0.0
PBNH3-206-10	Palo Blanco NH3	V-al	27	fino/muy fino	redondeada	12	9,3	6	4.6	0	0,0	0	0.0
PBNH3-269-01	Palo Blanco NH3	V-al	15	muy fino	redondeada	13	6.5	5	2.5	7	3,5	0	0.0
PBNH4-013	Palo Blanco NH4	V-al	16	fino/muy fino	redondeada	14	7.5	3	1.6	8	4,3	0	0.0
PBNH6-001-02	Palo Blanco NH6	V-al	19	muy fino	redondeada	14	8.6	3	1.8	5	3,1	0	0.0
PBNH6-001-22	Palo Blanco NH6	V-al	24	muy fino	redondeada	29	12.7	7	3.1	4	1,7	0	0.0
PBNH6-001-38	Palo Blanco NH6	V-al	23	fino	redondeada	5	2.9	2	1.2	3	1,8	0	0.0
PBNH6-001-44	Palo Blanco NH6	V-al	20	fino	redondeada	19	13.6	4	2.9	0	0,0	0	0.0
PBNH6-001-49	Palo Blanco NH6	V-al	15	fino	redondeada	13	8.9	2	1.4	0	0,0	0	0.0
PBNH6-028-32	Palo Blanco NH6	V-al	16	fino	redondeada	12	7.4	4	2.5	1	0,6	0	0.0
PBNH6-036-26	Palo Blanco NH6	V-al	20	muy fino	redondeada	14	9.3	6	4.0	3	2,0	0	0.0
PBNH6-038-13	Palo Blanco NH6	V-al	20	fino	redondeada	15	13.6	3	2.7	1	0,9	1	0.9
PBNH6-288-02	Palo Blanco NH6	V-al	16	fino/muy fino	redondeada	22	11.0	2	1.0	3	1,5	2	1.0
PBNH6-N-19-42	Palo Blanco NH6	V-al	20	muy fino	redondeada	15	11.5	4	3.1	3	2,3	0	0.0
PBNH6-N-19-49	Palo Blanco NH6	V-al	16	fino	redondeada	13	7.7	2	1.2	3	1,8	0	0.0
TS1-R02-01	Tatón 1	V-al	17	fino/muy fino	red laminar	27	9.2	3	1.0	15	5,1	0	0.0
TS4-R9-044	Tatón 1	V-al	16	muy fino	red laminar	16	7.1	0	0.0	14	6,2	2	0.9
TS6-R32-05	Tatón 1	V-al	16	fino	redondeada	19	10.9	2	1.1	1	0,6	1	0.6
TT-FM-16	Tatón 1	V-al	15	muy fino/medio	red laminar	4	3.8	1	0.9	7	6,6	0	0.0
PB-CG-03-10	Conector PB-CG	Pr-c	15	muy fino	redondeada	24	10.3	0	0.0	4	1,7	0	0.0
PB-CG-08-20	Conector PB-CG	Pr-c	18	muy fino	redondeada	8	13.1	1	1.6	0	0,0	0	0.0
PB-CG-08-32	Conector PB-CG	Pr-c	17	muy fino/fino	redondeada	9	7.7	3	2.6	2	1,7	0	0.0
PB-CG-14-04	Conector PB-CG	Pr-c	15	muy fino	laminar	5	1.8	3	1.1	32	11,4	0	0.0
PB-CG-15-06	Conector PB-CG	Pr-c	18	muy fino	redondeada	12	12.7	0	0.0	0	0,0	0	0.0
PB-CG-16-03	Conector PB-CG	Pr-c	25	muy fino	redondeada	5	6.3	8	10.0	2	2,5	0	0.0
PB-CG-20-031	Conector PB-CG	Pr-c	17	muy fino	redondeada	10	10.0	0	0.0	4	4,0	0	0.0
PBCG-20-050	Conector PB-CG	Pr-c	17	muy fino/fino	redondeada	19	8.5	6	2.7	7	3,1	0	0.0
PBCG-20-067	Conector PB-CG	Pr-c	20	muy fino	redondeada	31	10.7	0	0.0	11	3,8	0	0.0
EZ-056-02	El Zorro	Puna	27	fino	redondeada	18	20.3	1	1.1	1	1,1	0	0.0
G3-734-02	Giusepe 2	V-ba	30	fino	redondeada	9	9.6	4	4.3	3	3,2	0	0.0
V1344-U47-07	LT-V1344	V-ba	30	muy fino/fino	redondeada	5	4.7	5	4.7	2	1,9	0	0.0
V50PB-173-31	LT-V50	V-ba	30	fino/muy fino	redondeada	7	7.2	10	10.3	3	3,1	0	0.0
VBAT-058-05	Batungasta	V-ba	35	fino/muy fino	redondeada	15	10.9	7	5.1	2	1,5	2	1.5
BY-F2	Las Champas	V-me	30	muy fino/fino	redondeada	13	12.6	3	2.9	5	4,8	0	0.0
BY-F7	Las Champas	V-me	30	fino	redondeada	15	10.0	9	6.0	4	2,7	2	1.3
MSH-1-06	Mishma 1	V-me	30	fino/muy fino	redondeada	22	12.9	3	1.8	7	4,1	0	0.0
FJP-T1-03	Finca J. Pereyra	V-al	30	fino	redondeada	17	13.1	2	1.5	5	3,8	2	1.5
FJP-T1-04	Finca J. Pereyra	V-al	30	muy fino	redondeada	20	18.8	2	1.9	3	2,8	0	0.0
FJP-T2-06	Finca J. Pereyra	V-al	30	fino	redondeada	10	8.6	4	3.4	7	6,0	1	0.9
FJP-T3-03	Finca J. Pereyra	V-al	30	fino	redondeada	22	16.1	0	0.0	10	7,3	0	0.0
PBNH6-021-01	Palo Blanco NH6	V-al	35	muy fino	redondeada	30	20.2	3	2.0	4	2,7	1	0.7
OA1-R5-01	Ojo del Agua	Pr-c	30	muy fino/fino	red ang	25	15.3	10	6.1	10	6,1	0	0.0
OA1-R7-370	Ojo del Agua	Pr-c	30	muy fino/fino	red laminar	30	15.3	3	1.5	15	7,6	0	0.0
PB-CG-02-06	Conector PB-CG	Pr-c	30	muy fino	redondeada	16	20.0	3	3.8	3	3,8	0	0.0
PB-CG-14-06	Conector PB-CG	Pr-c	30	fino	redondeada	17	17.0	4	4.0	0	0,0	0	0.0
Rch2-R10-Ext-01	Ranchillos 2	Pr-c	30	fino/muy fino	redondeada	7	7.0	4	4.0	2	2,0	2	2.0
G2-08-02	Giusepe 2	V-ba	10	fino/medio	redondeada	10	4.5	4	1.8	1	0,5	0	0.0
G2-12-03	Giusepe 2	V-ba	12	medio fino	red ang	2	2.0	2	2.0	0	0,0	0	0.0
V1344-04	LT-V1344	V-ba	10	medio	red ang	9	3.8	3	1.3	0	0,0	2	0.8
V1344-U02-01	LT-V1344	V-ba	15	fino/medio	redondeada	22	10.6	1	0.5	2	1,0	0	0.0
V1344-U15-15	LT-V1344	V-ba	12	fino/medio	redondeada	14	7.0	3	1.5	0	0,0	0	0.0
V1344-U31-13	LT-V1344	V-ba	6	medio	red ang	3	1.4	0	0.0	2	0,9	1	0.5
V1344-U31-21	LT-V1344	V-ba	10	fino/medio	redondeada	24	5.7	1	0.2	5	1,2	0	0.0
V1344-U66-29	LT-V1344	V-ba	15	fino/medio	redondeada	6	5.6	3	2.8	0	0,0	0	0.0
V1344-U74-03	LT-V1344	V-ba	9	medio	red ang	10	4.1	3	1.2	1	0,4	0	0.0
V1344-U74-09	LT-V1344	V-ba	12	medio	red ang	5	2.9	2	1.1	4	2,3	0	0.0

Apéndice 3

Sigla	Procedencia	Eco-zona	% antip	tamaño	forma	q		f		m		ca	
						tt	p	tt	p	tt	p	tt	p
V1344-U74-16	LT-V1344	V-ba	10	medio/fino	redondeada	5	3,1	1	0,6	0	0,0	0	0,0
V1344-U74-62	LT-V1344	V-ba	10	fino/medio	redondeada	4	5,0	0	0,0	0	0,0	0	0,0
V1344-U92-01	LT-V1344	V-ba	5	medio/fino	red laminar	2	0,7	3	1,0	7	2,3	0	0,0
V50PB-06	LT-V50	V-ba	9	fino/medio	red laminar	9	3,1	4	1,4	7	2,4	0	0,0
V50PB-173-10	LT-V50	V-ba	7	fino/medio	red ang	4	1,4	3	1,1	3	1,1	0	0,0
V50PB-173-19	LT-V50	V-ba	5	medio	redondeada	7	2,5	1	0,4	2	0,7	0	0,0
V50PB-175-02	LT-V50	V-ba	10	medio	red ang	6	2,9	4	1,9	1	0,5	0	0,0
V50PB-175-05	LT-V50	V-ba	10	fino/medio	redondeada	9	4,5	4	2,0	3	1,5	0	0,0
V50PB-175-24	LT-V50	V-ba	10	medio	redondeada	1	0,8	0	0,0	3	2,3	0	0,0
V50PB-175-31	LT-V50	V-ba	10	medio	red ang	2	2,0	2	2,0	0	0,0	0	0,0
V50PB-175-38	LT-V50	V-ba	4	medio	redondeada	6	2,2	0	0,0	0	0,0	1	0,4
V50PB-176-12	LT-V50	V-ba	7	medio/muy fino	redondeada	2	1,8	1	0,9	2	1,8	0	0,0
V50PB-176-26	LT-V50	V-ba	5	fino/medio	redondeada	4	1,1	0	0,0	4	1,1	2	0,5
V50PB-177-03	LT-V50	V-ba	11	medio	red ang	5	3,9	4	3,1	0	0,0	0	0,0
V50PB-177-06	LT-V50	V-ba	3	medio	redondeada	5	0,7	2	0,3	8	1,1	0	0,0
V50PB-26	LT-V50	V-ba	12	medio/fino	red ang	13	6,2	0	0,0	1	0,5	0	0,0
V50PB-SN-04	LT-V50	V-ba	11	fino/medio	red ang	13	4,9	4	1,5	3	1,1	0	0,0
V50PB-wp80-05	LT-V50	V-ba	8	fino/medio	red ang lam	4	1,5	3	1,1	6	2,2	0	0,0
TS3-R01-25	Tatón 1	V-al	9	medio/fino	redondeada	6	3,6	0	0,0	1	0,6	0	0,0
Rch2-E074-11	Ranchillos 2	Pr-c	10	fino/medio	angular	4	3,6	0	0,0	0	0,0	0	0,0
Rch2-W124-01	Ranchillos 2	Pr-c	14	medio/fino	angular	3	3,5	1	1,2	0	0,0	0	0,0
V-OLLA 09	La Troya	V-ba	6	medio	red/angular	9	2,7	2	0,6	0	0,0	0	0,0
V-OLLA 11	La Troya	V-ba	8	medio	red/angular	3	2,0	2	1,3	0	0,0	1	0,7
Huan-21	Huanchín	V-me	10	fino/medio	redondeada	17	6,3	2	0,7	0	0,0	0	0,0
G2-12-02	Giusepe 2	V-ba	17	medio	red ang	5	7,1	1	1,4	0	0,0	0	0,0
G2-13-01	Giusepe 2	V-ba	18	medio	redondeada	6	5,7	2	1,9	3	2,8	0	0,0
G2-14-41	Giusepe 2	V-ba	17	medio/fino	red ang	3	2,7	4	3,6	0	0,0	0	0,0
G2-57-01	Giusepe 2	V-ba	20	medio	red ang	13	9,0	3	2,1	0	0,0	0	0,0
V1344-U11-05	LT-V1344	V-ba	17	fino	redondeada	8	5,7	2	1,4	3	2,1	0	0,0
V1344-U29-17	LT-V1344	V-ba	17	medio/fino	angular	3	3,2	1	1,1	0	0,0	0	0,0
V1344-U47-17	LT-V1344	V-ba	29	medio/fino	angular	2	2,1	17	18,3	0	0,0	0	0,0
V1344-U74-17	LT-V1344	V-ba	17	medio	red ang	11	7,8	2	1,4	2	1,4	1	0,7
V1344-U92-02	LT-V1344	V-ba	16	medio	redondeada	7	3,6	4	2,1	2	1,0	0	0,0
V50PB-01	LT-V50	V-ba	15	medio/fino	redondeada	2	1,7	2	1,7	1	0,8	0	0,0
V50PB-R1-E-04	LT-V50	V-ba	20	medio/fino	red ang	11	10,0	4	3,6	1	0,9	0	0,0
V50PB-SN-05	LT-V50	V-ba	17	medio	red ang	5	4,5	2	1,8	1	0,9	0	0,0
VBAT-001/2	Batungasta	V-ba	20	medio	ang red	15	9,4	3	1,9	6	3,8	0	0,0
VBAT-021	Batungasta	V-ba	16	fino/medio	ang red	5	3,5	1	0,7	2	1,4	0	0,0
VBAT-073-06	Batungasta	V-ba	20	fino/medio	redondeada	7	6,7	0	0,0	0	0,0	1	1,0
VBAT-138-02	Batungasta	V-ba	25	medio	angular	19	11,0	8	4,7	3	1,7	2	1,2
Tumhuaq2-11	Melgas	V-me	16	muy fino/medio	redondeada	14	5,2	3	1,1	13	4,8	0	0,0
FJP-T3-01	Finca J. Pereyra	V-al	30	muy fino/medio	redondeada	22	18,9	5	6,0	2	1,7	0	0,0
TS5-R25-18	Tatón 1	V-al	15	grueso/medio	angular	5	3,1	2	1,3	3	1,9	0	0,0
G2-09-01	Giusepe 2	V-ba	7	medio grueso	angular	2	1,6	1	0,8	0	0,0	0	0,0
G2-65FM-03	Giusepe 2	V-ba	7	medio grueso	red ang	3	1,8	4	2,3	0	0,0	0	0,0
V1344-06	LT-V1344	V-ba	15	medio	redondeada	6	4,3	3	2,1	0	0,0	0	0,0
V1344-U03-22	LT-V1344	V-ba	12	medio/grueso	red ang	2	1,8	0	0,0	0	0,0	0	0,0
V1344-U92-06	LT-V1344	V-ba	10	medio/grueso	angular	3	2,0	2	1,3	0	0,0	0	0,0
V-OLLA 03	LT-V1344	V-ba	15	medio	redondeada	7	5,5	3	2,4	3	2,4	0	0,0
V50PB-173-29	LT-V50	V-ba	10	medio/grueso	angular	3	1,8	4	2,4	2	1,2	0	0,0
V50PB-175-06	LT-V50	V-ba	15	grueso	red ang	3	2,4	1	0,8	2	1,6	0	0,0
V50PB-wp80-07	LT-V50	V-ba	5	grueso/muy grueso	angular	3	1,4	2	0,9	0	0,0	0	0,0
VBAT-110-04	Batungasta	V-ba	15	grueso muy grueso	red ang	3	2,8	4	3,8	0	0,0	0	0,0
VBAT-120-03	Batungasta	V-ba	13	medio/grueso	red ang	5	3,3	3	2,0	0	0,0	3	2,0
PC-014	Punta Colorada	V-me	15	grueso/muy grueso	angular	4	3,8	1	0,9	0	0,0	0	0,0
Tumhuaq2-12	Melgas	V-me	9	medio/grueso	red ang	3	1,9	1	0,6	0	0,0	1	0,6
Rch2-E074-03	Ranchillos 2	Pr-c	15	medio/grueso	red/ang	2	1,6	3	2,4	2	1,6	0	0,0

Sigla	Tm/ia		frag roc volc		frag roc graníticos		lito/frag. no identif		otros		TT.	Observaciones	Pasta
	tt	p	tt	p	tt	p	tt	p	tt	p			
V1344-U74-16	0	0.0	5	3,1	0	0,0	5	3,1	0	0,0	16	Possible presencia de fragmentos de roca metamórficos	II (A)
V1344-U74-62	0	0.0	4	5,0	0	0,0	0	0,0	0	0,0	8		II (A)
V1344-U92-01	0	0.0	3	1.0	0	0.0	0	0.0	0	0.0	15		II (A)
V50PB-06	0	0.0	4	1,4	0	0,0	2	0,7	0	0,0	26		II (A)
V50PB-173-10	0	0.0	6	2,1	1	0,4	3	1,1	0	0,0	20		II (A)
V50PB-173-19	0	0.0	4	1.4	0	0.0	0	0.0	0	0.0	14		II (A)
V50PB-175-02	0	0.0	7	3,3	2	1,0	1	0,5	0	0,0	21	Possible presencia de fragmentos de roca metamórficos	II (A)
V50PB-175-05	0	0.0	4	2.0	0	0.0	0	0.0	0	0.0	20		II (A)
V50PB-175-24	0	0.0	4	3,1	1	0,8	2	1,5	2	1,5	13	concreciones carbonáticas escasas, muy finas	II (A)
V50PB-175-31	0	0.0	3	3,0	1	1,0	2	2,0	0	0,0	10		II (A)
V50PB-175-38	0	0.0	3	1.1	0	0.0	1	0.4	0	0.0	11		II (A)
V50PB-176-12	0	0.0	3	2.6	0	0.0	0	0.0	0	0.0	8		II (A)
V50PB-176-26	0	0.0	6	1,6	1	0,3	2	0,5	0	0,0	19		II (A)
V50PB-177-03	0	0.0	4	3,1	0	0.0	1	0,8	0	0.0	14		II (A)
V50PB-177-06	0	0.0	4	0,6	1	0,1	1	0,1	0	0,0	21		II (A)
V50PB-26	0	0.0	7	3,4	1	0,5	3	1,4	0	0,0	25	Possible presencia de fragmentos de roca metamórficos	II (A)
V50PB-SN-04	0	0.0	6	2.3	0	0.0	3	1.1	0	0.0	29		II (A)
V50PB-wp80-05	0	0.0	6	2.2	1	0.4	2	0.7	0	0.0	22		II (A)
TS3-R01-25	0	0.0	5	3,0	0	0,0	3	1,8	0	0,0	15		II (A)
Rch2-E074-11	0	0.0	5	4,5	2	1,8	0	0,0	0	0,0	11		II (A)
Rch2-W124-01	0	0.0	4	4,7	1	1,2	3	3,5	0	0,0	12		II (A)
V-OLLA 09	0	0.0	5	1.5	0	0.0	4	1.2	0	0.0	20		II (A)
V-OLLA 11	0	0.0	4	2.7	1	0.7	1	0.7	0	0.0	12		II (A)
Huan-21	0	0.0	6	2,2	1	0,4	1	0,4	0	0,0	27		II (A)
G2-12-02	0	0.0	3	4,3	1	1,4	2	2,8	0	0,0	12		II (B)
G2-13-01	0	0.0	5	4,7	1	0,9	2	1,9	0	0,0	19		II (B)
G2-14-41	0	0.0	6	5.4	2	1.8	4	3.6	0	0.0	19		II (B)
G2-57-01	0	0.0	7	4,8	2	1,4	4	2,8	0	0,0	29		II (B)
V1344-U11-05	0	0.0	6	4,3	2	1,4	3	2,1	0	0,0	24		II (B)
V1344-U29-17	0	0.0	6	6,4	2	2,1	4	4,3	0	0,0	16	Possible presencia de fragmentos de roca metamórficos	II (B)
V1344-U47-17	0	0.0	5	5,4	1	1,1	2	2,1	0	0,0	27		II (B)
V1344-U74-17	0	0.0	6	4,3	0	0,0	2	1,4	0	0,0	24		II (B)
V1344-U92-02	0	0.0	8	4,1	3	1,5	6	3,1	1	0,5	31	materia orgánica quemada	II (B)
V50PB-01	0	0.0	6	5,0	1	0,8	6	5,0	0	0,0	18		II (B)
V50PB-R1-E-04	0	0.0	6	5,5	0	0,0	0	0,0	0	0,0	22		II (B)
V50PB-SN-05	0	0.0	5	4,5	2	1,8	4	3,6	0	0,0	19		II (B)
VBAT-001/2	0	0.0	6	3,8	0	0,0	2	1,3	0	0,0	32	concreciones carbonáticas escasas, muy finas	II (B)
VBAT-021	0	0.0	7	4,9	2	1,4	6	4,2	0	0,0	23		II (B)
VBAT-073-06	0	0.0	7	6,7	1	1,0	5	4,8	0	0,0	21	Possible presencia de fragmentos de roca metamórficos	II (B)
VBAT-138-02	0	0.0	6	3,5	1	0,6	4	2,3	0	0,0	43		II (B)
Tumhuaq2-11	0	0.0	6	2,2	2	0,7	5	1,9	0	0,0	43		II (B)
FJP-T3-01	0	0.0	4	3,4	1	0,9	1	0,9	0	0,0	35		II (C)
TS5-R25-18	0	0.0	5	3,1	2	1,3	6	3,8	1	0,6	24	materia orgánica quemada	III (A)
G2-09-01	0	0.0	4	3,1	1	0,8	1	0,8	0	0,0	9		III (A)
G2-65FM-03	0	0.0	4	2,3	0	0,0	1	0,6	0	0,0	12		III (A)
V1344-06	0	0.0	6	4,3	2	1,4	4	2,9	0	0,0	21		III (A)
V1344-U03-22	0	0.0	4	3,7	0	0,0	7	6,5	0	0,0	13	litoclastos oscuros redondeados	III (A)
V1344-U92-06	0	0.0	5	3,3	3	2,0	2	1,3	0	0,0	15		III (A)
V-OLLA 03	0	0.0	4	3,2	1	0,8	1	0,8	0	0,0	19		III (A)
V50PB-173-29	0	0.0	5	2,9	0	0,0	3	1,8	0	0,0	17		III (A)
V50PB-175-06	0	0.0	6	4,7	2	1,6	5	3,9	0	0,0	19		III (A)
V50PB-wp80-07	0	0.0	4	1.8	1	0.5	1	0.5	0	0.0	11		III (A)
VBAT-110-04	0	0.0	5	4,7	0	0,0	4	3,8	0	0,0	16	Possible presencia de fragmentos de roca metamórficos	III (A)
VBAT-120-03	0	0.0	4	2,6	1	0,7	4	2,6	0	0,0	20		III (A)
PC-014	0	0.0	6	5.6	1	0.9	4	3.8	0	0.0	16		III (A)
Tumhuaq2-12	0	0.0	6	3,9	1	0,6	2	1,3	0	0,0	14		III (A)
Rch2-E074-03	0	0.0	4	3,2	2	1,6	6	4,7	0	0,0	19		III (A)

Apéndice 3

Sigla	Procedencia	Eco-zona	° antip	tamaño	forma	q		f		m		ca	
						tt	p	tt	p	tt	p	tt	p
OAI-049-007 16	Ojo del Agua	Pr-c	17	medio/muy grueso	red ang	9	8,5	1	0,9	4	3,8	0	0,0
OAI-U18-39	Ojo del Agua	Pr-c	22	grueso/medio	angular	8	11,7	1	1,5	0	0,0	0	0,0
PB-CG-08-33	Conector PB-CG	Pr-c	20	muy grueso/grueso	red/ang	2	2,2	2	2,2	1	1,1	0	0,0
PB-CG-08-35	Conector PB-CG	Pr-c	25	muy grueso	angular	1	2,8	1	2,8	0	0,0	0	0,0
PB-CG-18-02x03	Conector PB-CG	Pr-c	16	grueso/muy grueso	angular	3	3,4	3	3,4	0	0,0	0	0,0
PB-CG-19-09	Conector PB-CG	Pr-c	20	grueso	redondeada	2	3,3	1	1,7	2	3,3	0	0,0
PBCG-20-076	Conector PB-CG	Pr-c	27	grueso/medio	angular	3	5,4	2	3,6	0	0,0	0	0,0
PBCG-20-077	Conector PB-CG	Pr-c	16	muy grueso/grueso	angular	5	4,4	4	3,6	0	0,0	3	2,7
Rch2-W079-01	Ranchillos 2	Pr-c	20	grueso/medio	angular	4	6,7	1	1,7	0	0,0	0	0,0
TT-FMI-11	Tatón 1	V-al	26	medio/grueso	red/angular	16	11,9	0	0,0	5	3,7	0	0,0
G2-02-03	Giusepe 2	V-ba	25	medio/grueso/fino	red ang	5	6,6	3	3,9	1	1,3	5	6,6
G2-11-02	Giusepe 2	V-ba	17	grueso/muy grueso	angular	2	1,9	5	4,7	0	0,0	0	0,0
G2-11-03	Giusepe 2	V-ba	17	grueso/muy grueso	angular	3	4,6	2	3,1	0	0,0	1	1,5
G2-65FM-05	Giusepe 2	V-ba	23	grueso/muy fino	red ang	9	6,5	6	4,3	2	1,4	2	1,4
V1344-U31-08	LT-V1344	V-ba	25	grueso	red ang	10	8,6	6	5,2	0	0,0	0	0,0
V1344-U58-27	LT-V1344	V-ba	26	grueso/medio	angular	3	3,7	7	8,7	0	0,0	2	2,5
V1344-U72-06	LT-V1344	V-ba	20	grueso	angular	12	12,0	2	2,0	0	0,0	0	0,0
V1344-U74-13	LT-V1344	V-ba	20	grueso/muy grueso	red ang	7	9,3	0	0,0	0	0,0	0	0,0
V50PB-177-11	LT-V50	V-ba	19	medio/grueso	angular	3	3,8	3	3,8	1	1,3	0	0,0
V50PB-178-09	LT-V50	V-ba	20	medio/grueso	red ang	7	7,8	3	3,3	0	0,0	0	0,0
VBAT-120-02	Batungasta	V-ba	17	medio grueso	angular	6	4,4	3	2,2	3	2,2	2	1,5
VBAT-141-01	Batungasta	V-ba	20	medio/grueso	red ang	10	8,3	3	2,5	1	0,8	0	0,0
Mishma2-09	Mishma 2	V-me	20	grueso/muy grueso	red ang	3	7,5	0	0,0	0	0,0	0	0,0
MISH-7-06	Mishma 7	V-me	27	medio/grueso	angular	9	11,0	0	0,0	0	0,0	3	3,7
Tunhuaq2-03	Melgas	V-me	22	medio/fino	red ang	3	3,9	3	3,9	0	0,0	2	2,6
PB-CG-02-05	Conector PB-CG	Pr-c	30	medio/grueso	red/ang	14	16,8	1	1,2	0	0,0	0	0,0
Rch2-R10-Ext-04	Ranchillos 2	Pr-c	30	medio/grueso	red/ang	6	7,2	6	7,2	3	3,6	2	2,4
Rch2-R10-Ext-06	Ranchillos 2	Pr-c	20	grueso/medio	red/ang	7	4,2	4	2,4	8	4,8	0	0,0
EZ-028-01	El Zorro	Puma	16	grueso/medio	angular	6	6,4	2	2,1	0	0,0	0	0,0
TS3-R05-26	Tatón 1	V-al	30	grueso	angular	2	4,3	0	0,0	0	0,0	0	0,0
G2-65FM-01	Giusepe 2	V-ba	33	grueso/muy grueso	angular	6	13,2	4	8,8	0	0,0	0	0,0
G2-65FM-08	Giusepe 2	V-ba	30	muy grueso/fino	red ang	10	12,0	6	7,2	0	0,0	0	0,0
VBAT-058-07	Batungasta	V-ba	30	medio/grueso/fino	red ang	4	5,7	3	4,3	0	0,0	0	0,0
V-OLLA 01	La Troya	V-ba	30	medio/grueso	angular	10	14,3	2	2,9	3	4,3	0	0,0
V-OLLA 02	LT-V1344	V-ba	30	medio/grueso	ang red	3	4,3	4	5,7	3	4,3	0	0,0
V-OLLA 04	La Troya	V-ba	30	medio/grueso	ang/red	7	16,2	3	6,9	0	0,0	0	0,0
PBNH1-010	Palo Blanco NH1	V-al	9	fino/medio	red/ang	15	4,0	3	0,8	9	2,4	0	0,0
PBNH1-095	Palo Blanco NH1	V-al	6	medio/fino	angular	8	2,8	2	0,7	3	1,1	0	0,0
PBNH3-127-01 02	Palo Blanco NH3	V-al	11	fino/medio	redondeada	6	3,7	4	2,4	2	1,2	0	0,0
PBNH3-139-01	Palo Blanco NH3	V-al	7	fino/medio	redondeada	14	3,2	4	0,9	8	1,8	0	0,0
PBNH3-143-08	Palo Blanco NH3	V-al	10	medio	red/ang	11	4,6	2	0,8	8	3,3	0	0,0
PBNH3-194-27	Palo Blanco NH3	V-al	10	medio	redondeada	5	3,1	0	0,0	1	0,6	0	0,0
PBNH3-226-05	Palo Blanco NH3	V-al	7	medio/fino	redondeada	4	1,6	1	0,4	6	2,3	0	0,0
PBNH3-232-07	Palo Blanco NH3	V-al	3	fino	redondeada	7	1,4	0	0,0	5	1,0	0	0,0
PBNH3-277-71	Palo Blanco NH3	V-al	15	medio/fino	red/ang	3	3,0	1	1,0	5	5,0	0	0,0
PBNH3-285-01	Palo Blanco NH3	V-al	5	medio/fino	redondeada	2	1,0	0	0,0	2	1,0	0	0,0
PBNH4-005	Palo Blanco NH4	V-al	11	fino/medio	red/angular	6	3,9	2	1,3	4	2,6	0	0,0
PBNH4-010	Palo Blanco NH4	V-al	5	fino/medio	redondeada	17	2,4	2	0,3	3	0,4	0	0,0
PBNH7-04	Palo Blanco NH7	V-al	8	medio/fino	redondeada	5	2,1	2	0,8	0	0,0	0	0,0
TS4-R09-31	Tatón 1	V-al	7	medio	angular	4	2,2	4	2,2	1	0,5	0	0,0
TS7-R37-02	Tatón 1	V-al	10	medio/fino	angular	5	2,6	2	1,1	7	3,7	0	0,0
OAI-R7-389	Ojo del Agua	Pr-c	10	medio	redondeada	14	7,4	0	0,0	1	0,5	0	0,0
PB-CG-08-08	Conector PB-CG	Pr-c	17	fino/muy fino	redondeada	11	6,0	3	1,6	14	7,7	0	0,0
PB-CG-08-24	Conector PB-CG	Pr-c	15	fino/medio	redondeada	7	7,5	0	0,0	2	2,1	0	0,0
PB-CG-08-25-26	Conector PB-CG	Pr-c	14	fino medio	red ang	6	6,0	5	5,0	0	0,0	0	0,0
PB-CG-14-09	Conector PB-CG	Pr-c	15	fino/medio	redondeada	7	4,4	3	1,9	6	3,8	0	0,0
PB-CG-16-06	Conector PB-CG	Pr-c	7	fino/muy fino	redondeada	7	3,1	1	0,4	2	0,9	0	0,0

Sigla	Tm/ia		frag roc volc		frag roc graníticos		lito/frag. no identif		otros		TT.	Observaciones	Pasta
	tt	p	tt	p	tt	p	tt	p	tt	p			
OAI-049-07-16-26	0	0,0	4	3,8	0	0,0	0	0,0	0	0,0	18		III (B)
OAI-U18-39	0	0,0	4	5,9	0	0,0	2	2,9	0	0,0	15		III (B)
PB-CG-08-33	0	0,0	6	6,7	3	3,3	4	4,4	0	0,0	18		III (B)
PB-CG-08-35	0	0,0	5	13,9	1	2,8	1	2,8	0	0,0	9		III (B)
PB-CG-18-02-03	0	0,0	4	4,6	1	1,1	3	3,4	0	0,0	14		III (B)
PB-CG-19-09	0	0,0	4	6,7	0	0,0	3	5,0	0	0,0	12		III (B)
PBCG-20-076	0	0,0	6	10,8	1	1,8	3	5,4	0	0,0	15		III (B)
PBCG-20-077	0	0,0	4	3,6	0	0,0	2	1,8	0	0,0	18		III (B)
Reh2-W079-01	0	0,0	4	6,7	1	1,7	2	3,3	0	0,0	12		III (B)
TT-FM-11	0	0,0	8	5,9	2	1,5	4	3,0	0	0,0	35		III (B)
G2-02-03	0	0,0	4	5,3	0	0,0	1	1,3	0	0,0	19		III (B)
G2-11-02	0	0,0	8	7,6	1	0,9	2	1,9	0	0,0	18		III (B)
G2-11-03	0	0,0	3	4,6	0	0,0	2	3,1	0	0,0	11		III (B)
G2-65FM-05	0	0,0	8	5,8	1	0,7	4	2,9	0	0,0	32		III (B)
VI344-U31-08	0	0,0	7	6,0	1	0,9	5	4,3	0	0,0	29	Posible presencia de fragmentos de roca metamórficos	III (B)
VI344-U58-27	0	0,0	4	5,0	2	2,5	3	3,7	0	0,0	21		III (B)
VI344-U72-06	0	0,0	5	5,0	0	0,0	1	1,0	0	0,0	20		III (B)
VI344-U74-13	0	0,0	5	6,7	1	1,3	2	2,7	0	0,0	15		III (B)
V50PB-177-11	0	0,0	4	5,1	1	1,3	3	3,8	0	0,0	15		III (B)
V50PB-178-09	0	0,0	5	5,6	0	0,0	3	3,3	0	0,0	18		III (B)
VBAT-120-02	0	0,0	6	4,4	0	0,0	3	2,2	0	0,0	23	Posible presencia de fragmentos de roca metamórficos	III (B)
VBAT-141-01	0	0,0	7	5,8	1	0,8	2	1,7	0	0,0	24		III (B)
Mishma2-09	0	0,0	3	7,5	0	0,0	2	5,0	0	0,0	8		III (B)
MSH-7-06	0	0,0	6	7,4	1	1,2	3	3,7	0	0,0	22		III (B)
Tumhuaq2-03	0	0,0	5	6,5	1	1,3	3	3,9	0	0,0	17		III (B)
PB-CG-02-05	0	0,0	6	7,2	0	0,0	4	4,8	0	0,0	25		III (C)
Reh2-R10-Ext-04	0	0,0	4	4,8	1	1,2	3	3,6	0	0,0	25		III (C)
Reh2-R10-Ext-06	0	0,0	7	4,2	2	1,2	5	3,0	0	0,0	33		III (C)
EZ-028-01	0	0,0	5	5,3	0	0,0	2	2,1	0	0,0	15		III (C)
TS3-R05-26	0	0,0	7	15,0	1	2,1	4	8,6	0	0,0	14		III (C)
G2-65FM-01	0	0,0	5	11,0	0	0,0	0	0,0	0	0,0	15		III (C)
G2-65FM-08	0	0,0	5	6,0	1	1,2	3	3,6	0	0,0	25		III (C)
VBAT-058-07	0	0,0	6	8,6	1	1,4	7	10,0	0	0,0	21	Posible presencia de fragmentos de roca metamórficos	III (C)
V-OLLA 01	0	0,0	5	7,1	0	0,0	1	1,4	0	0,0	21		III (C)
V-OLLA 02	0	0,0	7	10,0	1	1,4	3	4,3	0	0,0	21		III (C)
V-OLLA 04	0	0,0	3	6,9	0	0,0	0	0,0	0	0,0	13		III (C)
PBNH1-010	0	0,0	0	0,0	4	1,1	3	0,8	0	0,0	34		IV (A)
PBNH1-095	0	0,0	0	0,0	4	1,4	0	0,0	0	0,0	17		IV (A)
PBNH3-127-01 02	0	0,0	0	0,0	4	2,4	1	0,6	1	0,6	18	materia orgánica quemada	IV (A)
PBNH3-139-01	0	0,0	0	0,0	4	0,9	0	0,0	1	0,2	31	materia orgánica quemada	IV (A)
PBNH3-143-08	0	0,0	0	0,0	3	1,3	0	0,0	0	0,0	24		IV (A)
PBNH3-194-27	0	0,0	2	1,3	6	3,8	2	1,3	0	0,0	16	Posible presencia de fragmentos de roca metamórficos	IV (A)
PBNH3-226-05	0	0,0	0	0,0	5	1,9	2	0,8	0	0,0	18		IV (A)
PBNH3-232-07	0	0,0	0	0,0	3	0,6	0	0,0	0	0,0	15		IV (A)
PBNH3-277-71	2	2,0	0	0,0	4	4,0	0	0,0	0	0,0	15		IV (A)
PBNH3-285-01	0	0,0	0	0,0	4	2,0	2	1,0	0	0,0	10		IV (A)
PBNH4-005	0	0,0	0	0,0	4	2,6	0	0,0	1	0,6	17	materia orgánica quemada	IV (A)
PBNH4-010	0	0,0	1	0,1	8	1,1	4	0,6	0	0,0	35		IV (A)
PBNH7-04	0	0,0	2	0,8	7	2,9	3	1,3	0	0,0	19		IV (A)
TS4-R09-31	0	0,0	0	0,0	3	1,6	1	0,5	0	0,0	13		IV (A)
TS7-R37-02	0	0,0	0	0,0	4	2,1	1	0,5	0	0,0	19		IV (A)
OAI-R7-389	0	0,0	0	0,0	4	2,1	0	0,0	0	0,0	19		IV (A)
PB-CG-08-08	0	0,0	0	0,0	3	1,6	0	0,0	0	0,0	31		IV (A)
PB-CG-08-24	0	0,0	0	0,0	4	4,3	1	1,1	0	0,0	14		IV (A)
PB-CG-08-25-26	0	0,0	0	0,0	3	3,0	0	0,0	0	0,0	14		IV (A)
PB-CG-14-09	0	0,0	1	0,6	6	3,8	1	0,6	0	0,0	24		IV (A)
PB-CG-16-06	0	0,0	0	0,0	4	1,8	1	0,4	1	0,4	16	materia orgánica quemada	IV (A)

Apéndice 3

Sigla	Procedencia	Eco-zona	° antip	tamaño	forma	q		f		m		ca	
						tt	p	tt	p	tt	p	tt	p
PB-CG-20-025	Conector PB-CG	Pr-c	12	fino/medio	redondeada	4	2,8	1	0,7	4	2,8	0	0,0
melga2-08	Melgas	V-me	16	medio/fino	angular	4	2,5	13	8,0	3	1,8	2	1,2
PBNH4-001	Palo Blanco NH4	V-al	21	fino/medio	redondeada	15	5,9	5	2,0	19	7,5	0	0,0
PBNH6-022-14	Palo Blanco NH6	V-al	17	fino/medio	red/ang	15	8,5	2	1,1	1	0,6	0	0,0
PBNH6-043-19	Palo Blanco NH6	V-al	20	fino/medio	red/ang	15	9,4	4	2,5	3	1,9	0	0,0
PBNH6-084-10	Palo Blanco NH6	V-al	25	fino/medio	red/ang	7	7,0	1	1,0	2	2,0	0	0,0
TS4-R12-13	Tatón 1	V-al	20	medio	red/ang	9	7,5	1	0,8	3	2,5	0	0,0
OAI-R7-487	Ojo del Agua	Pr-c	18	fino/medio	angular	7	7,4	0	0,0	4	4,2	0	0,0
OAI-SE-E7-58	Ojo del Agua	Pr-c	20	fino/medio	redondeada	13	6,8	5	2,6	0	0,0	2	1,1
OAI-U32-01	Ojo del Agua	Pr-c	24	medio/muy fino	red/ang	10	8,0	1	0,8	4	3,2	0	0,0
PB-CG-03-05	Conector PB-CG	Pr-c	22	medio	redondeada	5	5,2	2	2,1	2	2,1	0	0,0
PBNH1-040	Palo Blanco NH1	V-al	11	medio/grueso	angular	11	4,8	2	0,9	4	1,8	2	0,9
PBNH3-052-01	Palo Blanco NH3	V-al	14	medio/grueso	angular	4	3,5	5	4,4	2	1,8	0	0,0
PBNH3-210-13	Palo Blanco NH3	V-al	10	medio/muy grueso	angular	10	5,0	4	2,0	3	1,5	0	0,0
PBNH5-003b	Palo Blanco NH5	V-al	9	medio muy grueso	red ang	4	1,1	2	0,5	15	4,1	0	0,0
Rch2-047-02	Ranchillos 2	Pr-c	7	muy grueso/medio	redondeada	6	2,6	0	0,0	3	1,3	0	0,0
PBNH1-106	Palo Blanco NH1	V-al	28	grueso/muy grueso	angular	5	4,2	15	12,7	5	4,2	0	0,0
PBNH1-120	Palo Blanco NH1	V-al	20	grueso/muy grueso	angular	3	2,9	7	6,7	2	1,9	0	0,0
PBNH1-121	Palo Blanco NH1	V-al	19	medio/grueso	angular	7	4,9	12	8,4	2	1,4	0	0,0
PBNH3-108-01	Palo Blanco NH3	V-al	18	grueso/medio	angular	10	5,3	8	4,2	2	1,1	0	0,0
PBNH3-153-09	Palo Blanco NH3	V-al	16	medio/muy grueso	angular	6	6,4	2	2,1	1	1,1	0	0,0
PBNH3-194-11	Palo Blanco NH3	V-al	16	muy grueso/grueso	angular	2	2,7	3	4,0	1	1,3	0	0,0
PBNH3-215-20	Palo Blanco NH3	V-al	16	medio/grueso	angular	5	4,2	6	5,1	0	0,0	0	0,0
PBNH3-277-01	Palo Blanco NH3	V-al	22	grueso/muy grueso	angular	3	3,7	4	4,9	1	1,2	0	0,0
PBNH3-277-65	Palo Blanco NH3	V-al	18	grueso/muy grueso	angular	4	2,6	10	6,4	6	3,9	0	0,0
PBNH5-048	Palo Blanco NH5	V-al	16	grueso/muy grueso	angular	3	3,2	2	2,1	2	2,1	0	0,0
PBNH6-001-43	Palo Blanco NH6	V-al	18	medio grueso	angular	7	5,3	9	6,8	2	1,5	0	0,0
PBNH6-001-53	Palo Blanco NH6	V-al	22	medio/grueso	angular	2	1,9	2	1,9	1	1,0	1	1,0
PBNH6-001-54	Palo Blanco NH6	V-al	17	medio/grueso	angular	7	6,3	4	3,6	2	1,8	0	0,0
PBNH6-001-58	Palo Blanco NH6	V-al	17	grueso/medio	angular	3	2,7	5	4,5	2	1,8	0	0,0
PBNH6-024-11	Palo Blanco NH6	V-al	25	grueso/medio	angular	4	9,1	3	6,8	0	0,0	0	0,0
PBNH6-042-02 05	Palo Blanco NH6	V-al	22	muy grueso/fino	angular	4	3,0	13	9,9	4	3,0	0	0,0
PBNH6-288-04	Palo Blanco NH6	V-al	17	medio/muy grueso	angular	6	4,3	5	3,5	5	3,5	0	0,0
PBNH6-288-05	Palo Blanco NH6	V-al	18	medio/grueso	angular	1	1,3	6	7,7	1	1,3	0	0,0
PBNH6-288-66	Palo Blanco NH6	V-al	17	grueso	angular	3	2,3	7	5,4	2	1,5	0	0,0
TS5-R24-02	Tatón 1	V-al	15	medio/grueso	red/ang	11	7,5	1	0,7	6	4,1	0	0,0
TS9-RB-02	Tatón 1	V-al	17	medio/grueso	angular	4	3,4	0	0,0	7	6,0	0	0,0
OAI-049-04 20	Ojo del Agua	Pr-c	25	grueso/muy gureso	angular	8	8,0	5	5,0	5	5,0	0	0,0
OAI-049-70	Ojo del Agua	Pr-c	29	grueso/muy grueso	angular	5	6,0	10	12,1	3	3,6	0	0,0
OAI-U14-35	Ojo del Agua	Pr-c	17	grueso/muy grueso	angular	6	4,4	7	5,2	4	3,0	0	0,0
OAI-U18-05	Ojo del Agua	Pr-c	27	grueso/muy grueso	angular	7	5,7	15	12,3	2	1,6	3	2,5
PB-CG-03-12	Conector PB-CG	Pr-c	17	medio/grueso	ang red	10	8,1	4	3,2	1	0,8	0	0,0
PB-CG-15-27-29	Conector PB-CG	Pr-c	20	medio muy fino	angular	6	5,7	3	2,9	0	0,0	1	1,0
Rch2-E016-01	Ranchillos 2	Pr-c	25	medio/muy grueso	angular	7	6,3	9	8,0	6	5,4	1	0,9
PBNH1-174	Palo Blanco NH1	V-al	30	grueso/muy grueso	angular	7	6,4	9	8,2	7	6,4	0	0,0
PBNH6-001-51	Palo Blanco NH6	V-al	30	muy grueso/medio	angular	7	10,0	2	2,9	4	5,7	0	0,0
PBNH6-084-44	Palo Blanco NH6	V-al	40	medio/muy grueso	angular	10	10,3	20	20,5	2	2,1	0	0,0
PBNH6-084-66	Palo Blanco NH6	V-al	30	muy grueso/grueso	angular	4	8,6	2	4,3	4	8,6	0	0,0
PBNH6-N-19-12	Palo Blanco NH6	V-al	35	medio/grueso	red/ang	25	21,9	1	0,9	4	3,5	0	0,0
OAI-Olla 1	Ojo del Agua	Pr-c	30	muy grueso	angular	1	1,3	11	13,8	0	0,0	0	0,0
OAI-R7-481	Ojo del Agua	Pr-c	30	medio/grueso	red/ang	10	11,5	1	1,2	0	0,0	0	0,0
OAI-R7-484	Ojo del Agua	Pr-c	30	grueso	red/ang	6	13,8	2	4,6	0	0,0	0	0,0
OAI-SE-E7-73	Ojo del Agua	Pr-c	30	grueso/muy grueso	angular	5	8,3	5	8,3	3	5,0	0	0,0
PBCG-20-048	Conector PB-CG	Pr-c	30	grueso	angular	5	6,8	4	5,5	5	6,8	0	0,0
V1344-04A	LT-V1344	V-ba	24	medio grueso	redondeada	5	6,0	5	6,0	0	0,0	0	0,0
V1344-05	LT-V1344	V-ba	25	grueso medio	red ang	4	6,7	4	6,7	0	0,0	0	0,0
V1344-U23-10	LT-V1344	V-ba	20	medio grueso	red ang	3	3,3	4	4,4	0	0,0	1	1,1

Sigla	Tm/ia		frag roc vole		frag roc graníticos		lito/frag. no identif		otros		TT.	Observaciones	Pasta
	tt	p	tt	p	tt	p	tt	p	tt	p			
PB-CG-20-025	0	0,0	0	0,0	6	4,2	2	1,4	0	0,0	17		IV (A)
melga2-08	0	0,0	0	0,0	3	1,8	1	0,6	0	0,0	26		IV (B)
PBNH4-001	0	0,0	2	0,8	7	2,8	4	1,6	1	0,4	53	materia orgánica quemada	IV (B)
PBNH6-022-14	0	0,0	2	1,1	8	4,5	2	1,1	0	0,0	30	Posible presencia de fragmentos de roca metamórficos	IV (B)
PBNH6-043-19	0	0,0	1	0,6	7	4,4	2	1,3	0	0,0	32		IV (B)
PBNH6-084-10	0	0,0	2	2,0	9	9,0	4	4,0	0	0,0	25		IV (B)
TS4-R12-13	0	0,0	1	0,8	8	6,7	2	1,7	0	0,0	24		IV (B)
OAI-R7-487	0	0,0	0	0,0	5	5,3	1	1,1	0	0,0	17		IV (B)
OAI-SE-E7-58	0	0,0	2	1,1	10	5,3	6	3,2	0	0,0	38		IV (B)
OAI-U32-01	0	0,0	1	0,8	9	7,2	5	4,0	0	0,0	30		IV (B)
PB-CG-03-05	0	0,0	0	0,0	8	8,4	4	4,2	0	0,0	21		IV (B)
PBNH1-040	0	0,0	0	0,0	5	2,2	1	0,4	0	0,0	25		V (A)
PBNH3-052-01	0	0,0	0	0,0	4	3,5	1	0,9	0	0,0	16	materia orgánica quemada	V (A)
PBNH3-210-13	0	0,0	0	0,0	3	1,5	0	0,0	0	0,0	20		V (A)
PBNH5-003b	0	0,0	1	0,3	6	1,6	5	1,4	0	0,0	33	Posible presencia de fragmentos de roca metamórficos	V (A)
Rch2-047-02	0	0,0	0	0,0	6	2,6	1	0,4	0	0,0	16		V (A)
PBNH1-106	0	0,0	0	0,0	6	5,1	2	1,7	0	0,0	33		V (B)
PBNH1-120	0	0,0	0	0,0	7	6,7	2	1,9	0	0,0	21		V (B)
PBNH1-121	0	0,0	0	0,0	5	3,5	1	0,7	0	0,0	27		V (B)
PBNH3-108-01	0	0,0	2	1,1	8	4,2	4	2,1	0	0,0	34		V (B)
PBNH3-153-09	0	0,0	0	0,0	5	5,3	1	1,1	0	0,0	15		V (B)
PBNH3-194-11	0	0,0	0	0,0	4	5,3	2	2,7	0	0,0	12		V (B)
PBNH3-215-20	0	0,0	1	0,8	6	5,1	1	0,8	0	0,0	19		V (B)
PBNH3-277-01	0	0,0	1	1,2	6	7,3	3	3,7	0	0,0	18		V (B)
PBNH3-277-65	0	0,0	0	0,0	6	3,9	2	1,3	0	0,0	28		V (B)
PBNH5-048	0	0,0	0	0,0	5	5,3	3	3,2	0	0,0	15		V (B)
PBNH6-001-43	0	0,0	0	0,0	4	3,0	2	1,5	0	0,0	24		V (B)
PBNH6-001-53	0	0,0	2	1,9	9	8,6	6	5,7	0	0,0	23	Posible presencia de fragmentos de roca metamórficos	V (B)
PBNH6-001-54	0	0,0	0	0,0	4	3,6	2	1,8	0	0,0	19		V (B)
PBNH6-001-58	0	0,0	0	0,0	6	5,4	3	2,7	0	0,0	19		V (B)
PBNH6-024-11	0	0,0	0	0,0	4	9,1	0	0,0	0	0,0	11		V (B)
PBNH6-042-02 05	0	0,0	0	0,0	5	3,8	3	2,3	0	0,0	29		V (B)
PBNH6-288-04	0	0,0	0	0,0	6	4,3	2	1,4	0	0,0	24		V (B)
PBNH6-288-05	0	0,0	0	0,0	6	7,7	0	0,0	0	0,0	14		V (B)
PBNH6-288-66	0	0,0	1	0,8	6	4,6	3	2,3	0	0,0	22		V (B)
TS5-R24-02	0	0,0	0	0,0	4	2,7	0	0,0	0	0,0	22		V (B)
TS9-RB-02	0	0,0	1	0,9	5	4,3	3	2,6	0	0,0	20		V (B)
OAI-049-04 20	0	0,0	0	0,0	4	4,0	3	3,0	0	0,0	25		V (B)
OAI-049-70	0	0,0	0	0,0	5	6,0	1	1,2	0	0,0	24		V (B)
OAI-U14-35	0	0,0	0	0,0	5	3,7	1	0,7	0	0,0	23		V (B)
OAI-U18-05	0	0,0	0	0,0	6	4,9	0	0,0	0	0,0	33		V (B)
PB-CG-03-12	0	0,0	0	0,0	5	4,0	1	0,8	0	0,0	21		V (B)
PB-CG-15-27-29	0	0,0	2	1,9	7	6,7	2	1,9	0	0,0	21		V (B)
Rch2-E016-01	0	0,0	0	0,0	5	4,5	0	0,0	0	0,0	28		V (B)
PBNH1-174	0	0,0	0	0,0	6	5,5	4	3,6	0	0,0	33	Posible presencia de fragmentos de roca metamórficos	V (C)
PBNH6-001-51	0	0,0	0	0,0	5	7,1	3	4,3	0	0,0	21		V (C)
PBNH6-084-44	0	0,0	0	0,0	6	6,2	1	1,0	0	0,0	39		V (C)
PBNH6-084-66	0	0,0	0	0,0	4	8,6	0	0,0	0	0,0	14		V (C)
PBNH6-N-19-12	0	0,0	1	0,9	8	7,0	1	0,9	0	0,0	40		V (C)
OAI-Olla 1	0	0,0	0	0,0	6	7,5	6	7,5	0	0,0	24		V (C)
OAI-R7-481	0	0,0	0	0,0	8	9,2	7	8,1	0	0,0	26	litoclastos oscuros redondeados	V (C)
OAI-R7-484	0	0,0	0	0,0	4	9,2	1	2,3	0	0,0	13		V (C)
OAI-SE-E7-73	0	0,0	0	0,0	5	8,3	0	0,0	0	0,0	18		V (C)
PBCG-20-048	0	0,0	0	0,0	5	6,8	3	4,1	0	0,0	22		V (C)
V1344-04A	0	0,0	4	4,8	0	0,0	6	7,2	0	0,0	20	Pasta negra con manchas rojizas, alterada, difícil identific.de inclusiones	VI (B)
V1344-05	0	0,0	4	6,7	0	0,0	3	5,0	0	0,0	15	Pasta negra con manchas rojizas, alterada, difícil identific.de inclusiones	VI (B)
V1344-U23-10	0	0,0	5	5,6	0	0,0	5	5,6	0	0,0	18	Pasta negra con manchas rojizas, alterada, difícil identific.de inclusiones	VI (B)

Apéndice 3

Sigla	Procedencia	Eco-zona	% antip	tamaño	forma	q		f		m		ca	
						tt	p	tt	p	tt	p	tt	p
V1344-U23-34	LT-V1344	V-ba	20	medio/grueso	angular	2	3,1	5	7,7	0	0,0	0	0,0
V1344-U23-35 37	LT-V1344	V-ba	22	medio/grueso	angular	3	4,7	4	6,3	0	0,0	0	0,0
V1344-U58-15	LT-V1344	V-ba	27	muy grueso/medio	angular	3	4,8	4	6,4	0	0,0	0	0,0
V1344-U58-20	LT-V1344	V-ba	17	medio grueso	red ang	2	2,3	6	6,8	0	0,0	0	0,0
V1344-U58-22 29	LT-V1344	V-ba	29	grueso muy grueso	red ang	1	1,5	9	13,1	0	0,0	2	2,9
V50PB-173-34	LT-V50	V-ba	27	muy grueso grueso	angular	5	10,4	0	0,0	0	0,0	0	0,0
V50PB-174-08	LT-V50	V-ba	15	medio grueso	angular	1	1,5	2	3,0	0	0,0	0	0,0
PC-005	Punta Colorada	V-me	29	medio/grueso	red ang	10	11,2	7	7,8	2	2,2	0	0,0
VBAT-070-01 02	Batungasta	V-ba	11	medio/grueso	red ang	2	2,0	2	2,0	1	1,0	3	3,0
V-OLLA 08 1	La Troya	V-ba	12	medio/grueso	ang/red	1	1,2	0	0,0	3	3,6	0	0,0
MSH-1-05	Mishma 1	V-me	15	fino/medio/grueso	red ang	6	3,3	7	3,9	0	0,0	3	1,7
MSH-7-05	Mishma 7	V-me	15	fino/medio	red ang	6	3,9	11	7,2	0	0,0	2	1,3
MSH-7-16	Mishma 7	V-me	8	medio/grueso	redondeada	3	1,0	9	3,0	0	0,0	4	1,3
PBNH3-210-04	Palo Blanco NH3	V-al	15	medio/fino	angular	5	3,4	6	4,1	2	1,4	4	2,7
PBNH3-233-08	Palo Blanco NH3	V-al	15	medio/fino	redondeada	4	1,5	30	11,0	1	0,4	3	1,1
Reh2-R10-05	Ranchillos 2	Pr-c	10	medio/fino	redondeada	1	0,7	8	5,7	0	0,0	3	2,1
G2-02-01	Giusepe 2	V-ba	20	medio/grueso/fino	red ang	3	2,3	12	9,2	1	0,8	3	2,3
G2-02-04	Giusepe 2	V-ba	20	medio	angular	4	2,5	13	8,1	0	0,0	5	3,1
G3-725-02	Giusepe 2	V-ba	20	fino/grueso	red ang	2	1,0	30	14,3	1	0,5	1	0,5
VBAT-078	Batungasta	V-ba	25	medio/fino	angular	5	4,3	15	12,9	4	3,4	1	0,9
VBAT-139-01	Batungasta	V-ba	17	fino/medio/grueso	red ang	4	3,8	6	5,7	0	0,0	2	1,9
Reh2-R10-Ext-07	Ranchillos 2	Pr-c	24	fino/medio/grueso	red/ang	5	4,6	10	9,2	4	3,7	2	1,8
Tumhuaq2-04	Melgas	V-me	30	medio	red ang	8	7,7	14	13,5	0	0,0	2	1,9
G2-08-07	Giusepe 2	V-ba	30	fino/muy fino	red ang	5	4,4	15	13,2	0	0,0	8	7,1
Reh2-R10-Ext-02	Ranchillos 2	Pr-c	30	medio	red ang	7	6,8	10	9,7	2	1,9	3	2,9
G2-02-02	Giusepe 2	V-ba	15	medio/grueso	angular	4	5,0	2	2,5	0	0,0	0	0,0
G2-65FM-06	Giusepe 2	V-ba	15	medio	redondeada	6	3,3	3	1,7	1	0,6	10	5,6
VBAT-093-02	Batungasta	V-ba	12	fino grueso	red ang	3	2,4	2	1,6	0	0,0	1	0,8
Melga-01	Melgas	V-me	6	medio/grueso	red ang	7	2,3	0	0,0	1	0,3	2	0,7
Melga-02	Melgas	V-me	7	muy grueso	angular	1	0,4	0	0,0	1	0,4	5	2,1
MSH-3-03	Mishma 3	V-me	10	fino/medio	angular	3	1,8	4	2,4	0	0,0	2	1,2
Tumhuaq2-06	Melgas	V-me	9	medio/fino/grueso	angular	6	2,7	5	2,3	3	1,4	2	0,9
Reh2-R10-Ext-05	Ranchillos 2	Pr-c	8	fino/medio	redondeada	2	1,2	1	0,6	2	1,2	3	1,8
BC-01	El Puesto	V-ba	21	medio/grueso	ang/red	5	4,0	5	4,0	0	0,0	6	4,8
G2-65FM-03-a	Giusepe 2	V-ba	27	medio	angular	3	3,1	6	6,2	0	0,0	9	9,3
G2-65FM-07	Giusepe 2	V-ba	20	fino/medio/grueso	red ang	3	4,3	1	1,4	0	0,0	4	5,7
V1344-U10-09	LT-V1344	V-ba	22	medio/muy grueso	red ang	7	4,5	9	5,8	1	0,6	6	3,9
V1344-U11-08	LT-V1344	V-ba	25	medio/grueso	red ang	4	5,9	2	2,9	0	0,0	0	0,0
V1344-U29-14	LT-V1344	V-ba	23	medio	red ang	15	9,9	11	7,2	0	0,0	0	0,0
V1344-U74-21	LT-V1344	V-ba	20	medio/muy grueso	angular	11	6,5	9	5,3	3	1,8	0	0,0
V-22 01	La Troya	V-ba	26	muy grueso muy fino	ang/rde	3	2,2	7	5,1	5	3,6	4	2,9
V-22/02	La Troya	V-ba	20	muy grueso	angular	3	2,9	2	1,9	0	0,0	2	1,9
MSH-1-01	Mishma 1	V-me	15	medio/muy grues	redondeada	21	7,7	4	1,5	7	2,6	2	0,7
MSH-2-01	Mishma 2	V-me	20	medio/grueso	angular	13	8,1	7	4,4	1	0,6	2	1,3
MSH-3-A	Mishma 3	V-me	19	medio/fino/grueso	angular	5	4,3	1	0,9	0	0,0	4	3,5
Tumhuaq2-09/10	Melgas	V-me	17	medio/fino	red ang	7	4,8	1	0,7	3	2,0	3	2,0
Reh2-R10-Ext-03	Ranchillos 2	Pr-c	10	fino/medio	redondeada	2	0,6	2	0,6	1	0,3	20	6,1
V1344-U63-21	LT-V1344	V-ba	25	medio	angular	2	2,4	7	8,3	2	2,4	3	3,6
VBAT-020	Batungasta	V-ba	30	medio fino	ang red	11	11,4	1	1,0	3	3,1	1	1,0
VBAT-032-01	Batungasta	V-ba	20	medio grueso	angular	9	6,7	9	6,7	3	2,2	0	0,0
Tomadeagua-01	Melgas	V-me	30	medio/grueso	angular	13	13,4	3	3,1	1	1,0	1	1,0
Reh2-R10-01/3/4	Ranchillos 2	Pr-c	30	grueso/muy grueso	redondeada	9	7,3	2	1,6	9	7,3	2	1,6
PB-CG-15-12	Conector PB-CG	Pr-c	30	grueso muy fino	laminar	1	0,6	0	0,0	48	27,2	0	0,0
PB-CG-15-18	Conector PB-CG	Pr-c	20	medio/grueso	angular	1	1,5	0	0,0	0	0,0	0	0,0
Reh2-001-01 a 04	Ranchillos 2	Pr-c	30	medio/grueso	angular	17	7,0	30	12,3	10	4,1	0	0,0
EZ-031-01	El Zorro	Puna	13	grueso/medio	angular	2	4,3	0	0,0	0	0,0	0	0,0
Techo-22	Techo	Puna	5	muy fino/medio	redondeada	9	1,7	1	0,2	2	0,4	0	0,0

Sigla	Tm/ia		frag roc volc		frag roc graníticos		lito/frag. no identif		otros		TT.	Observaciones	Pasta
	tt	p	tt	p	tt	p	tt	p	tt	p			
V1344-U23-34	0	0,0	2	3,1	0	0,0	4	6,2	0	0,0	13	Pasta negra con manchas rojizas, alterada. difícil identific.de inclusiones	VI (B)
V1344-U23-35 37	0	0,0	3	4,7	0	0,0	4	6,3	0	0,0	14	Pasta negra con manchas rojizas, alterada. difícil identific.de inclusiones	VI (B)
V1344-U58-15	0	0,0	4	6,4	0	0,0	6	9,5	0	0,0	17	Pasta negra con manchas rojizas, alterada. difícil identific.de inclusiones	VI (B)
V1344-U58-20	0	0,0	4	4,5	0	0,0	3	3,4	0	0,0	15	Pasta negra con manchas rojizas, alterada. difícil identific.de inclusiones	VI (B)
V1344-U58-22 29	0	0,0	5	7,3	0	0,0	3	4,4	0	0,0	20	Pasta negra con manchas rojizas, alterada. difícil identific.de inclusiones	VI (B)
V50PB-173-34	0	0,0	4	8,3	0	0,0	4	8,3	0	0,0	13	Pasta negra con manchas rojizas, alterada. difícil identific.de inclusiones	VI (B)
V50PB-174-08	0	0,0	3	4,5	0	0,0	4	6,0	0	0,0	10	Pasta negra con manchas rojizas, alterada. difícil identific.de inclusiones	VI (B)
PC-005	0	0,0	3	3,3	0	0,0	4	4,5	0	0,0	26	Pasta negra con manchas rojizas, alterada. difícil identific.de inclusiones	VI (B)
VBAT-070-01 02	0	0,0	0	0,0	0	0,0	3	3,0	0	0,0	11		VII (A)
V-OLLA 08 1	0	0,0	0	0,0	1	1,2	4	4,8	1	1,2	10		VII (A)
MSH-1-05	0	0,0	2	1,1	1	0,6	8	4,4	0	0,0	27		VII (A)
MSH-7-05	0	0,0	2	1,3	0	0,0	2	1,3	0	0,0	23		VII (A)
MSH-7-16	0	0,0	4	1,3	1	0,3	3	1,0	0	0,0	24		VII (A)
PBNH3-210-04	0	0,0	1	0,7	0	0,0	4	2,7	0	0,0	22		VII (A)
PBNH3-233-08	0	0,0	1	0,4	0	0,0	2	0,7	0	0,0	41		VII (A)
Rech2-R10-05	0	0,0	0	0,0	0	0,0	2	1,4	0	0,0	14		VII (A)
G2-02-01	0	0,0	2	1,5	1	0,8	4	3,1	0	0,0	26		VII (B)
G2-02-04	0	0,0	3	1,9	0	0,0	7	4,4	0	0,0	32		VII (B)
G3-725-02	0	0,0	4	1,9	0	0,0	4	1,9	0	0,0	42		VII (B)
VBAT-078	0	0,0	1	0,9	0	0,0	3	2,6	0	0,0	29		VII (B)
VBAT-139-01	0	0,0	1	0,9	1	0,9	4	3,8	0	0,0	18		VII (B)
Rech2-R10-Ext-07	0	0,0	1	0,9	0	0,0	4	3,7	0	0,0	26		VII (B)
Tumbuaq2-04	0	0,0	2	1,9	0	0,0	5	4,8	0	0,0	31		VII (C)
G2-08-07	0	0,0	1	0,9	0	0,0	5	4,4	0	0,0	34		VII (C)
Rech2-R10-Ext-02	0	0,0	2	1,9	1	1,0	6	5,8	0	0,0	31		VII (C)
G2-02-02	2	2,5	0	0,0	0	0,0	4	5,0	0	0,0	12		VIII (A)
G2-65FM-06	2	1,1	1	0,6	0	0,0	4	2,2	0	0,0	27		VIII (A)
VBAT-093-02	3	2,4	1	0,8	1	0,8	4	3,2	0	0,0	15	Possible presencia de fragmentos de roca metamórficos	VIII (A)
Melga-01	3	1,0	2	0,7	0	0,0	3	1,0	0	0,0	18		VIII (A)
Melga-02	6	2,5	0	0,0	1	0,4	3	1,2	0	0,0	17		VIII (A)
MSH-3-03	3	1,8	0	0,0	0	0,0	4	2,4	1	0,6	17	materia orgánica quemada	VIII (A)
Tumbuaq2-06	2	0,9	0	0,0	0	0,0	2	0,9	0	0,0	20		VIII (A)
Rech2-R10-Ext-05	2	1,2	1	0,6	0	0,0	2	1,2	0	0,0	13		VIII (A)
BC-01	3	2,4	2	1,6	2	1,6	3	2,4	0	0,0	26		VIII (B)
G2-65FM-03-a	7	7,3	0	0,0	0	0,0	1	1,0	0	0,0	26		VIII (B)
G2-65FM-07	1	1,4	1	1,4	0	0,0	4	5,7	0	0,0	14		VIII (B)
V1344-U10-09	4	2,6	2	1,3	1	0,6	4	2,6	0	0,0	34		VIII (B)
V1344-U11-08	2	2,9	2	2,9	1	1,5	6	8,8	0	0,0	17		VIII (B)
V1344-U29-14	2	1,3	2	1,3	1	0,7	4	2,6	0	0,0	35		VIII (B)
V1344-U74-21	4	2,4	2	1,2	1	0,6	4	2,4	0	0,0	34		VIII (B)
V-22/01	3	2,2	4	2,9	2	1,4	8	5,8	0	0,0	36	Possible presencia de fragmentos de roca metamórficos	VIII (B)
V-22-02	5	4,8	3	2,9	2	1,9	4	3,8	0	0,0	21		VIII (B)
MSH-1-01	2	0,7	1	0,4	0	0,0	4	1,5	0	0,0	41		VIII (B)
MSH-2-01	5	3,1	1	0,6	0	0,0	3	1,9	0	0,0	32		VIII (B)
MSH-3-A	4	3,5	2	1,7	1	0,9	5	4,3	0	0,0	22		VIII (B)
Tumbuaq2-09 10	7	4,8	0	0,0	0	0,0	4	2,7	0	0,0	25		VIII (B)
Rech2-R10-Ext-03	5	1,5	1	0,3	0	0,0	2	0,6	0	0,0	33		VIII (B)
V1344-U63-21	4	4,8	0	0,0	0	0,0	3	3,6	0	0,0	21		VIII (C)
VBAT-020	5	5,2	2	2,1	0	0,0	6	6,2	0	0,0	29	Possible presencia de frag. roca metam.	VIII (C)
VBAT-032-01 al 08	1	0,7	1	0,7	0	0,0	4	3,0	0	0,0	27		VIII (C)
Tomadeagua-01	6	6,2	0	0,0	1	1,0	4	4,1	0	0,0	29		VIII (C)
Rech2-R10-01 3 4 7	5	4,1	7	5,7	3	2,4	0	0,0	0	0,0	37		VIII (C)
PB-CG-15-12	0	0,0	1	0,6	1	0,6	2	1,1	0	0,0	53	Presenta muchísima mica de tamaño muy grueso	Atípica
PB-CG-15-18	0	0,0	1	1,5	1	1,5	10	15,4	0	0,0	13	Pasta atípica por el tipo de inclusiones presentes	Atípica
Rech2-001-01 a 04	0	0,0	0	0,0	0	0,0	16	6,6	0	0,0	73	Pasta atípica por el tipo de inclusiones presentes	Atípica
EZ-031-01	0	0,0	0	0,0	0	0,0	4	8,7	0	0,0	6	Pasta quemada	Atípica
Techo-22	0	0,0	0	0,0	0	0,0	15	2,8	0	0,0	27	Pasta atípica por el tipo de inclusiones	Atípica

Sigla	Procedencia	Eco- zona	% antip	tamaño	forma	q		f		m		ca	
						tt	p	tt	p	tt	p	tt	p
PBNH1-005	Palo Blanco NHI	V-al	12	grueso	angular	5	5.0	1	1.0	4	4.0	0	0.0
PBNH3-024-09	Palo Blanco NH3	V-al	50	muy fino	red laminar	0	0.0	0	0.0	0	0.0	0	0.0
PBNH6-022-01	Palo Blanco NH6	V-al	30	muy grueso/medio	angular	0	0.0	0	0.0	0	0.0	0	0.0
V1344-U13-22	LT-V1344	V-ba	0	n/p	n p	0	0.0	0	0.0	0	0.0	0	0.0
V1344-U72-10	LT-V1344	V-ba	8	fino/grueso	redondeada	4	1.8	8	3.6	0	0.0	0	0.0
V50PB-02	LT-V50	V-ba	10	fino	redondeada	3	1.9	3	1.9	3	1.9	0	0.0
V50PB-176-10	LT-V50	V-ba	9	muy fino/fino	redondeada	4	1.0	20	5.1	3	0.8	0	0.0
VBAT-093-03	Batungasta	V-ba	17	medio	angular	4	3.4	1	0.9	0	0.0	0	0.0
VBAT-110-07	Batungasta	V-ba	4	muy fino/fino	redondeada	7	1.6	4	0.9	2	0.4	2	0.4
VBAT-138-03	Batungasta	V-ba	10	medio	laminar	2	0.7	1	0.4	24	8.6	0	0.0
PC-013	Punta Colorada	V-me	12	muy fino/grueso	red.ang	1	0.9	0	0.0	2	1.8	0	0.0

Sigla	Tm/ia		frag roc volc		frag roc graníticos		lito/frag. no identif		otros		TT.	Observaciones	Pasta
	tt	p	tt	p	tt	p	tt	p	tt	p			
PBNH1-005	0	0.0	0	0.0	0	0.0	2	2.0	0	0.0	12	Pasta indeterminada por alteración térmica	Atípica
PBNH3-024-09	0	0.0	0	0.0	0	0.0	0	0.0	0	0.0	0	Pasta muy densa alterada. No se pueden identificar las inclusiones	Atípica
PBNH6-022-01	0	0.0	0	0.0	0	0.0	0	0.0	0	0.0	0	Pasta alterada, inclusiones no identificables	Atípica
V1344-U13-22	0	0.0	0	0.0	0	0.0	0	0.0	0	0.0	0	Pasta alterada por acción térmica. Aparentemente sin inclusiones	Atípica
V1344-U72-10	0	0.0	0	0.0	0	0.0	6	2.7	0	0.0	18	Pasta muy densa y pesada, como quemada	Atípica
V50PB-02	0	0.0	0	0.0	0	0.0	7	4.4	0	0.0	16	Pasta sobrecocida, difícil identificación de las inclusiones	Atípica
V50PB-176-10	0	0.0	0	0.0	0	0.0	8	2.1	0	0.0	35	La pasta es muy dura, como sobrecocida, presente manchas blancas no identificadas	Atípica
VBAT-093-03	0	0.0	0	0.0	0	0.0	15	12.8	0	0.0	20	Pasta atípica por el tipo de inclusiones presentes	Atípica
VBAT-110-07	0	0.0	0	0.0	0	0.0	3	0.7	0	0.0	18		Atípica
VBAT-138-03	0	0.0	0	0.0	0	0.0	1	0.4	0	0.0	28		Atípica
PC-013	0	0.0	0	0.0	0	0.0	10	9.2	0	0.0	13	Presenta abundantes fragmentos de posible roca metamórfica	Atípica

3.2 – BASE DE DATOS DE PETROGRAFÍA CERÁMICA¹

¹ Los análisis fueron realizados por la Dra. Sonia Quenardelle

Muestra	Granulometría	Porosidad	% Matriz	Cuarzo	Plagio-clasa	Feld. Potásico	Biotita	Opacos	Anfibol
				tamaño** abundancia	tamaño abundancia	tamaño abundancia	tamaño abundancia	tamaño abundancia	tamaño abundancia
HUA16128	fina	media	75	silt escaso	0,08/0,314 abundante	0,18 muy escasa	0,1/0,12 escasa	0,06-0,1 muy esc.	0,1 muy escasa
PBm	fina	baja	85	silt muy escaso	0,1/0,3 abundante	0,18/0,2 escasa	0,3/0,14 media	nd	nd
PBg	fina a media	media a baja	50	0,4/1,6 escaso	0,08/0,4 abundante	nd	0,26/0,5 media	0,1/0,14 muy esc.	0,2 muy escasa
Tt-01	fina	baja	70 - 65	0,08/0,18 medio	0,06/0,15 abundante	nd	0,1/0,17 escasa	0,04/0,1 muy esc.	nd
Tt-08	gruesa a muy gruesa	baja	65	0,64/1,0 medio	0,08/0,12 medio	nd	0,12/0,3 escasa	nd	nd
PBa	media	baja	70 - 75	0,18/0,28 abundante	0,14/0,4 abundante	silt escaso	0,24/0,4 escasa	0,16/0,26 escasa	0,1 escasa
HUA16130	fina	baja	90 - 95	0,06 escaso	0,05/0,16 abundante	nd	0,06/0,2 escasa	0,04 escasa	nd
TT6	fina	baja	80	0,08/0,14 abundante	0,16/0,2 abundante	nd	0,1/0,22 media	nd	nd
PBh	media	media	55 - 50	0,4/0,6 abundante	0,2/0,5 abundante	nd	0,06/0,16 media	0,08-0,12 muy esc.	nd
HUA16153	media a fina	baja	50	0,03/0,275 abundante	0,088 media	nd	0,132/0,22 media	nd	nd
IT-16167	media a gruesa	baja	50	0,03/1,045 media	0,363/0,495 escaso	nd	0,11/0,33 media	nd	nd
VBAT-098/2	media a gruesa	baja/ alargados	60 - 55	0,2/1,4 abundante	0,2/0,58 abundante	0,2/0,74 abundante	0,3/0,94 abundante	nd	nd
VBAT-078	fina a media	media	75 - 70	0,1/0,68 media	0,8/2,0 abundante	0,68 muy escaso	0,22 muy escasa	nd	nd
VBAT-020	media a gruesa	baja	50	0,2/1,0 media	0,26/0,46 media	nd	0,5/0,6 media	nd	nd
VBAT-021	fina a media	baja	75	0,3/0,84 media	0,12 escasa	nd	0,4/0,48 escasa	nd	nd
V-OLLA 12/1	fina a muy fina	baja	60 - 55	0,2/0,4 media	0,16/0,4 media	0,3 escaso	0,14/0,26 escasa	nd	nd
V-OLLA 2	media a gruesa	media-alta/ alargados	50 - 55	0,66/1,4 media	0,58/0,84 media	0,6/1,2 media	nd	0,5 muy escasa	nd
V50PB-06	media a fina	baja	70	0,5/0,6 escasa	0,18/0,7 abundante	0,6 muy escasa	0,4/0,5 escasa	silt escasa	0,1/0,12 muy escasa
V50PB-19	fino a media	media	80	0,5/0,8 media	0,6/0,8 media	nd	nd	nd	0,2/0,4 escasa
V50PB-29	media a gruesa	media-alta/ alargados	60 - 55	0,3/0,5 media	0,41/0,8 media	nd	0,14 escasa	0,1/0,2 escasa	0,14 muy escasa
Rch2 U01-03	gruesa a muy gruesa	baja	40	0,6/1,2 media	0,18/1,4 abundante	0,44/0,8 abundante	0,3/0,64 media	0,18/0,4 escasa	0,36/0,5 escasa
Rch2 U74-05	fina	baja	90	0,07/0,22 abundante	0,12/0,15 abundante	0,17 muy escaso	0,1 muy escasa	nd	nd
Rch2 U74-08	fina	baja	80 - 85	0,11/0,25 abundante	0,15/0,25 abundante	nd	0,24/0,3 escasa	nd	nd

** tamaño expresado en mm.

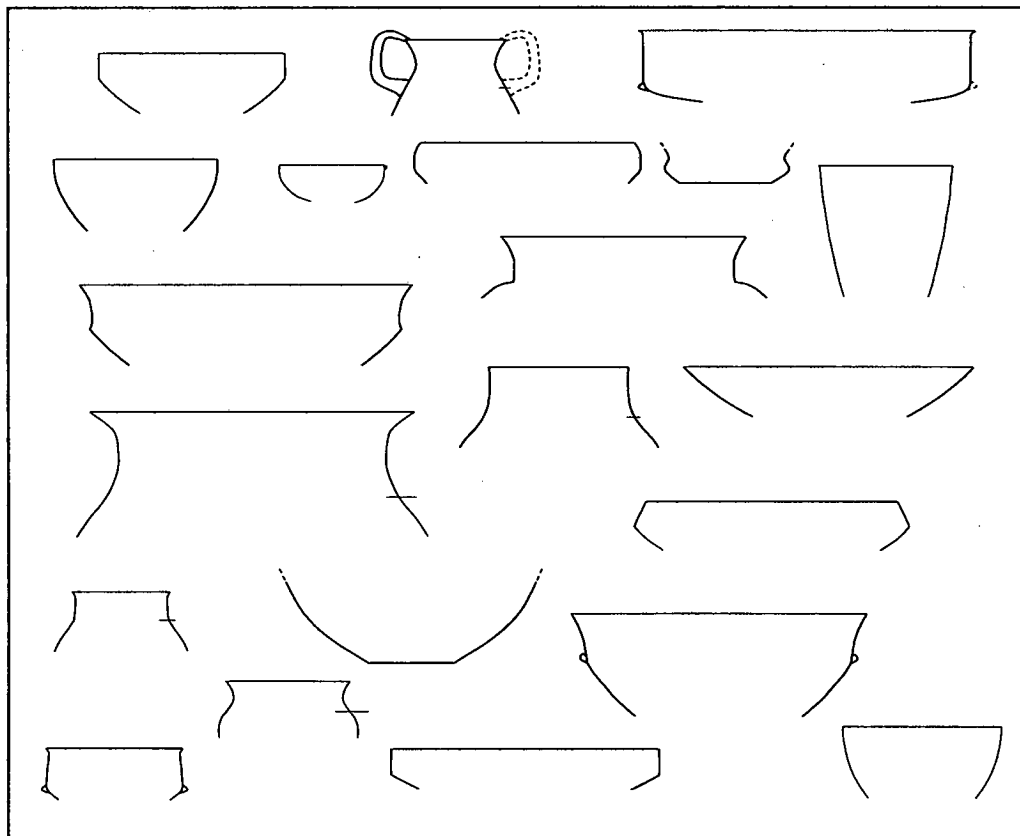
Muestra	Fragmentos Líticos					Metamórficos	Tiesto molido	Inclusiones arcillosas	Titanita
	Piroxeno	Epidoto	Vitro-clastos	Graníticos	Volcánicos				
	tamaño abundancia	tamaño abundancia	tamaño abundancia	tamaño abundancia	tamaño abundancia	tamaño abundancia	tamaño abundancia	tamaño abundancia	tamaño abundancia
HUA16128	0,12 muy escasa	nd	nd	nd	0,1/0,15 medio	nd	nd	nd	nd
PBm	nd	nd	nd	nd	0,12/0,24 abundante	nd	nd	nd	nd
PBg	nd	nd	0,3/0,6 muy esc.	nd	0,12/0,36 escaso	nd	nd	nd	nd
Tt-01	0,09 muy escasa	nd	nd	nd	nd	nd	nd	nd	nd
Tt-08	nd	nd	nd	nd	0,6/0,81 abundante	nd	nd	nd	nd
PBa	nd	nd	0,2/0,36 escasa	nd	0,4 escaso	nd	nd	nd	nd
HUA16130	0,05 muy escasa	nd	nd	nd	0,13 escaso	nd	nd	nd	nd
TT6	nd	nd	nd	nd	nd	nd	nd	nd	nd
PBh	nd	nd	0,4 escasa	nd	0,5/2,7 abundante	nd	nd	nd	nd
HUA16153	nd	nd	nd	nd	nd	nd	nd	nd	nd
IT-16167	nd	nd	nd	nd	0,55/1,10 abundante	0,29 muy escasa	nd	nd	nd
VBAT-098/2	0,18 muy escasa	0,16 muy escasa	0,48 escasa	0,2 escasa	0,48/0,2 escaso	silt muy esc	nd	nd	nd
VBAT-078	nd	nd	nd	nd	0,7/1,7 muy escaso	nd	nd	nd	nd
VBAT-020	nd	nd	nd	nd	0,9/1,6 abundante	0,7 muy escasa	1,04/3,6 abundante	nd	nd
VBAT-021	nd	nd	nd	0,6/0,92 abundante	0,8/1,0 abundante	0,5/1,0 muy escasa	nd	nd	nd
V-OLLA 12/1	0,2 muy escasa	0,14 muy escasa	nd	0,12/0,24 escasa	0,3/0,9 abundante	0,2/0,3 escasa	nd	nd	nd
V-OLLA 2	nd	nd	nd	0,8/1,0 media	0,7/1,52 abundante	0,9/1,9 escasa	1,10 escaso	nd	nd
V50PB-06	0,1/0,4 escasa	nd	nd	nd	0,3/1,16 media	nd	nd	nd	nd
V50PB-19	nd	nd	nd	0,8/0,9 escasa	0,6/0,84 abundante	0,5/1,1 media	nd	nd	nd
V50PB-29	nd	nd	nd	0,34/1,00 media	0,9/1,00 abundante	nd	nd	nd	nd
Reh2 U01-03	nd	0,08 muy escasa	nd	0,8/1,7 media	0,5 escasa	5,3 escasa	nd	nd	nd
Reh2 U74-05	nd	nd	0,2 muy escasa	nd	0,17/0,2 escasa	nd	nd	nd	nd
Reh2 U74-08	nd	nd	nd	nd	nd	nd	nd	nd	nd

Muestra	Granulometría	Porosidad	% Matriz	Cuarzo	Plagio-clasa	Feld. Potásico	Biotita	Opacos	Anfibol
				tamaño abundancia	tamaño abundancia	tamaño abundancia	tamaño abundancia	tamaño abundancia	tamaño abundancia
Bco-07-13	fina a muy fina		75 - 80	silt abundante	nd	nd	0,1-0,12 escasa	nd	nd
PP9-137-6	fina		80	silt escaso	0,09-0,6 abundante	nd	0,2-0,3 escasa	nd	0,2 muy escasa
PP9-137-1	fina a media		50	0,12/0,19 medio	0,1/0,55 abundante	0,07/0,25 escasa	0,1/0,44 media	nd	nd
FJP-03-01	media		85	0,4/0,22 medio	0,24/0,74 medio	nd	0,1/0,27 media	0,11 muy escasa	nd
PBNH3-224-10	media-gruesa	media	50	abundante	escaso	escasa	escasa	media	nd
PBNH3-100-01	media	media	60	0,14-0,22 muy abundante	0,08-0,16 media	0,22 muy escasa	0,33 escasa	0,44-0,88 muy escasas	0,132 muy escasa
PBNH3-158-01	media	escasa	70	0,066-0,33 medio	0,110-0,495 medio	nd	0,030-0,180 abundante	nd	0,165-0,198 muy esc.
PBNH3-130-01	media a fina	media	70	0,165 escaso	0,110-0,385 abundante	0,33 muy escasa	0,110 media	0,044 escasa	nd
PBNH3-286-01	media a fina	media	80	0,077-0,330 abundante	0,077-0,440 escaso	0,22-0,660 escasa	0,110 muy escasa	nd	0,110 muy escasa
PBNH3-228-20	gruesa	lig. porosa/media	50	0,385 medio	1,54 escasa	nd	0,22/0,33 escasa	0,066/0,11 escasa	nd
PBNH3-228-06	media a gruesa	lig. Porosa	60-70	0,506 medio	0,165/0,66 abundante	nd	0,528 escasa	muy escaso	nd
PBNH3-153-09	gruesa	lig. Porosa	70-80	0,44/1,54 medio	0,429 escasa	nd	0,385 escasa	nd	nd
PBNH3-108-01	media a gruesa	lig. Porosa	50-60	0,385 medio	0,088/0,165 medio	nd	0,198 escasa	0,275 escaso	nd
Lag-46	gruesa	lig. Porosa	60	0,22/0,385 abundante	0,11/0,495 abundante	nd	0,22/0,242 escasa	0,11 escaso	0,165 muy escaso
Lag-49	fina a media-fina	lig. Porosa	70-80	0,055/0,165 escaso	0,11/0,135 escaso	nd	nd	0,22 muy escaso	0,253 muy escaso
PBNH3-051-01	gruesa	lig. Porosa	40-50	0,297/0,385 abundante	0,165/0,66 abundante	escaso	0,11/0,605 escasa	escaso	0,121 muy escaso
PBNH3-277-01	fina-media	lig. Porosa	70-80	0,44/0,88 escaso	0,33/0,385 escaso	nd	0,715 muy escasa	nd	nd
PBNH3-127-01	media-fina	lig. Porosa	60-70	0,187/1,067 abundante	0,165/0,286 medio	nd	0,253/0,275 escasa	0,11 escaso	nd
PBNH3-049-01	media a gruesa	lig. Porosa	50	0,811 medio	0,624 medio	nd	0,624 escasa	0,187 muy escaso	0,53 muy escaso
PBNH6-288-05	gruesa a muy gruesa	media	50-60	np	0,22/0,99 media	nd	0,33 muy escasa	nd	nd
Techo-22	media	lig. Porosa	60	0,253/0,55 medio	0,176/0,99 escasa	1,1 escaso	0,132/0,198 muy escasa	0,132/0,363 muy escaso	0,22 muy escaso
Pirca-01	media a fina	lig. Porosa	50-60	0,11/0,165 escaso	0,341/0,132 medio	nd	nd	0,143/0,198 escaso	0,165/0,561 muy escaso
Quintar1-03	fina a media	lig. Porosa	60	0,275 muy escaso	0,10/0,22 muy escaso	muy escaso	nd	muy escaso	nd

Muestra	Piroxeno	Epidoto	Vitro-clastos	Graníticos	Volcánicos	Metamórficos	Tiesto molido	Inclusiones arcillosas	Titanita
	tamaño abundancia	tamaño abundancia	tamaño abundancia	tamaño abundancia	tamaño abundancia	tamaño abundancia	tamaño abundancia	tamaño abundancia	tamaño abundancia
Bco-07-13	nd	nd	nd	nd	nd	nd	nd	nd	nd
PP9-137-6	nd	nd	nd	0,15 escasa	0,30 escasa	nd	nd	nd	nd
PP9-137-1	0,07/0,1 muy esc	nd	0,14/0,35 abundante	0,28/0,35 escasa	0,1/0,29 abundante	nd	nd	nd	nd
FJP-03-01	0,05 muy escasa	nd	nd	0,6 escasa	0,32/1,10 abundante	nd	nd	nd	nd
PBNH3-224-10	nd	nd	nd	abundante	escasa	media	nd	nd	nd
PBNH3-100-01	0,143 muy escaso	nd	0,165-0,352 abundante	nd	0,110-0,22 abundante	nd	nd	nd	nd
PBNH3-158-01	nd	nd	0,165-0,440 escasa	0,484 escasa	nd	nd	nd	nd	nd
PBNH3-130-01	nd	nd	nd	0,385-0,440 escasa	1,32-4,95 escasa	nd	nd	nd	nd
PBNH3-286-01	nd	nd	nd	esc 0,136-0,440	nd	nd	nd	nd	nd
PBNH3-228-20	nd	nd	nd	0,605/1,21 abundante	nd	nd	nd	nd	¿? Muy escaso
PBNH3-228-06	nd	0,176 muy escaso	0,275 escaso	0,22/0,385 escaso	0,495 escaso	nd	nd	nd	0,55 muy escasa
PBNH3-153-09	nd	0,22 muy escaso	0,308 muy escaso	0,353/0,495/2,94 medio	0,22 muy escaso	nd	nd	nd	nd
PBNH3-108-01	nd	nd	muy escaso	0,825/1,144 medio	0,275 escaso	nd	nd	nd	nd
Lag-46	0,143 muy escaso	nd	0,198/0,22 escaso	muy escasos	0,22/0,715 escaso	nd	nd	nd	muy escasa
Lag-49	nd	nd	0,22 escaso	nd	0,22 muy escaso	nd	nd	escaso	0,066 muy escasa
PBNH3-051-01	nd	0,231 muy escaso	nd	0,44/1,32/5,88 medio	nd	nd	nd	0,275 escaso	nd
PBNH3-277-01	nd	nd	nd	1,68/2,142 abundante	nd	nd	nd	escaso	nd
PBNH3-127-01	nd	0,11 muy escaso	0,275 escaso	0,99/1,43 medio	0,715/0,737 escaso	medio	nd	0,583 escaso	nd
PBNH3-049-01	0,25 muy escaso	nd	0,11 muy escaso	0,624/0,811/1,654 muy escasos	0,46/0,686/1,747 medio	1,03 muy escaso	nd	0,718/0,936/1,654 medio	nd
PBNH6-288-05	nd	nd	0,77/0,803 escaso	1,115/1,254 media	0,33 escaso	3,99 muy escaso	nd	nd	nd
Techo-22	0,22 muy escaso	nd	0,308 medio	1,1 escaso	nd	nd	nd	nd	0,143 muy escasa
Firca-01	0,165/0,275 escaso	nd	nd	0,33 escaso	0,286/0,517 medio	nd	nd	0,132/0,308 medio	nd
Quintar1-03	nd	nd	nd	0,99 muy escasos	0,154 muy escaso	nd	0,77/0,55 abundante	0,264/0,55 abundante	nd

APÉNDICE 4

PERFILES DE PIEZAS Y BASE DE DATOS
MORFOMÉTRICA, TECNOLÓGICA Y
DECORATIVA DE LA MUESTRA
PARCIALMENTE RECONSTRUIDA A PARTIR
DE BORDES Y BASES



Referencias:

Variante morfológica: ver Capítulos 5 y 10

Borde/labio: ver Capítulos 5 y 10

DCT/RCT: directo-recto

DCT/RDD: directo-redondeado

DCT/EBI: directo en bisel interno

EVT/RDD: evertido-redondeado

EVT/RCT: evertido-recto

INV/RDD: invertido-redondeado

INV/RCT: invertido-recto

HZT-EI/RDD: horizontal de engrosamiento interno-redondeado

HZT-EE/RCT: horizontal de engrosamiento externo-recto

Variables métricas: -ver Capítulo 5

Ø boca: diámetro de boca

Áng. boca: ángulo de boca

AEP: ángulo de eversión de la pared

Esp: espesor (cm)

Capac.: Capacidad estimada de la vasija –ver Apéndice 1 y Capítulo 5

MB: muy baja;

Ba: baja;

Md: media;

Al: alta;

MB/B: muy baja-baja

ME/A: media-alta

MA/Als: muy alta-altísima

SC: secuencia cromática del corte transversal –ver Capítulo 5 y 9

Trat. sup. int: variante de tratamiento de superficie interno –ver Capítulo 5 y 8

Trat. sup. ext.: variante de tratamiento de superficie externo –ver Capítulos 5 y 8

Tec. dec. int: variante de técnica decorativa interna –ver Capítulos 5 y 8

Tec. dec. ext: variante de técnica decorativa externa –ver Capítulos 5 y 8

Pasta: variante de grupo de pasta –ver Capítulo 5 y 6

ET: estilo tecnológico –ver Capítulo 11

Tipo cerámico –ver Capítulo 3

MATERIALES PROCEDENTES DE VALLE BAJO

ESCUDELLAS, PUCOS Y VASOS NO RESTRINGIDOS SIMPLES

	Perfil pieza	sigla	Variante morfológica	Sitio	borde/labio	Ø boca (cm)	áng. boca	AEP	capac.	esp.	SC
1		VBAT-110-07	Es-NRS-a	Batungasta	DCT/RCT	14,4	50	63	MB	0,46	A
2		G2-65FM-07	Es-NRS-a	Giusepe 2	DCT/RCT	19,3	72	60	MB	0,72	A
3		V1344-U23-19	Es-NRS-a	LT-V50	DCT/RDD	21,6	63	65	Ba	0,6	E
4		V1344-U63-04	Es-NRS-a	LT-V50	DCT/EBI	22,0	60	50	Ba	0,48	E
5		V50PB-175-09	Es-NRS-a	LT-V50	DCT/EBI	22,2	46	37	Ba	0,62	E
6		V50PB-26	Es-NRS-a	LT-V50	DCT/RDD	22,3	70	62	Ba	0,6	H
7		G2-65FM-02	Es-NRS-a	LT-V50	DCT/RDD	24,7	66	53	Ba	0,59	D
8		VBAT-078	Es-NRS-a	Batungasta	DCT/RCT	26,0	55	47	Ba	0,51	A
9		V1344-U74-10	Es-NRS-a	LT-V50	DCT/RDD	26,8	57	53	Ba	0,41	E
10		G2-13-01	Es-NRS-a	Giusepe 2	DCT/EBI	27,3	51	45	Ba	0,71	H
11		G2-08-02	Es-NRS-a	Giusepe 2	DCT/RDD	27,9	48	38	Ba	0,58	B
12		V50PB-wp80-06	Es-NRS-a	LT-V50	DCT/RDD	28,3	63	63	Ba	0,57	H
13		V1344-U74-09	Es-NRS-a	LT-V50	DCT/RDD	28,6	71	61	Ba	0,59	E
14		V50PB-wp80-05	Es-NRS-a	LT-V50	DCT/EBI	29,0	54	51	Ba	0,64	H
15		V50PB-173-29	Es-NRS-a	LT-V50	DCT/EBI	30,3	48	46	Md	0,53	E
16		V1344-U74-03	Es-NRS-a	LT-V50	DCT/RDD	30,7	60	55	Md	0,69	E
17		V50PB-173-19	Es-NRS-a	LT-V50	DCT/RCT	30,9	57	44	Md	0,49	E
18		V50PB-SN-05	Es-NRS-a	LT-V50	DCT/EBI	31,4	37	30	Md	0,7	E
19		V1344-U92-01	Es-NRS-a	LT-V50	DCT/RDD	32,3	68	57	Md	0,67	E
20		V50PB-01	Es-NRS-a	LT-V50	DCT/RDD	32,6	72	59	Md	0,52	E
21		V50PB-173-31	Es-NRS-a	LT-V50	DCT/RDD	32,9	69	61	Md	0,64	E
22		V1344-U31-21	Es-NRS-a	LT-V50	DCT/RDD	36,4	57	52	Md	0,62	E
23		V50PB-175-24	Es-NRS-a	LT-V50	DCT/RDD	42,4	70	64	Al	0,81	E
24		V50PB-173-13	Es-NRS-a	LT-V50	DCT/RDD	43,3	61	47	Al	0,65	E
25		V-OLLA 11	Es-NRS-a	EP/LT	DCT/RDD	45,1	43	42	Al	0,7	E
26		V-OLLA 07/01	Es-NRS-a	EP/LT	DCT/RDD	45,8	42	40	Al	0,8	E
27		V50PB-SN-04	ES-NRS-b	LT-V50	DCT/RDD	12,8	84	50	MB	0,4	H
28		G2-51-01	ES-NRS-b	Giusepe 2	DCT/RDD	15,1	90	50	MB	0,57	A
29		V1344-U23-02	ES-NRS-b	LT-V50	DCT/RDD	19,2	87	55	MB	0,5	A
30		V1344-U63-21	ES-NRS-b	Batungasta	DCT/RDD	25,3	90	64	Ba	0,65	A
31		VBAT-093-03	ES-NRS-b	LT-V50	DCT/RDD	26,0	81	56	Ba	0,41	B
32		V1344-15	Pu-NRS-a	LT-V50	DCT/RDD	13,7	90	76	0,51	MB	E
33		G2-08-05	Pu-NRS-a	Giusepe 2	DCT/RDD	14,2	90	75	0,45	MB	D
34		VBAT-120-07	Pu-NRS-a	Batungasta	HZT-EI/ RDD	14,9	81	68	0,55	MB	A
35		V50PB-175-31	Pu-NRS-a	LT-V50	DCT/RDD	15,5	90	79	0,61	MB	H
36		V1344-U74-75	Pu-NRS-a	LT-V50	DCT/EBI	15,8	87	69	0,3	MB	H

sigla	Trat. sup. Int.	Trat. sup. ext.	Dec. Int	Dec. Ext.	Pasta	ET	Tipo cerámico	Observaciones
VBAT-110-07	Pu-D	Pu-D	ADP-E	ADP-F	atípica	indet.	Inka (D-CH)	plato pato
G2-65FM-07	Al-A	Al-A	S/D	S/D	VIII(B)	J	Tardío indet.	
V1344-U23-19	Pu-B	Pu-B	S/D	PEL	I(A)	A-III	Saujil	
V1344-U63-04	Pu-B	Al-B	PEL	S/D	I(A)	A-III	Saujil	
V50PB-175-09	Pu-B	Pu-C	PEL	S/D	I(A)	A-III	Saujil	
V50PB-26	Pu-B	Pu-A	ADP-B	S/D	II(A)	D-II	Saujil	
G2-65FM-02	Pu-D	Pu-D	ADP-F	ADP-F	I(A)	B-III	Tardío indet.	
VBAT-078	Pu-C	Pu-C	ADP-D	ADP-D + ADM-B	VII(B)	I	Inka	plato pato - Base R-A-C
V1344-U74-10	Pu-B	Al-B	PEL	S/D	I(A)	A-III	Saujil	
G2-13-01	Pu-B	Pu-B	ADP-B + PEL	S/D	II(B)	D-II	Saujil	
G2-08-02	Pu-C	Pu-C	S/D	S/D	II(A)	E	Ftivo. fino	Hoyo de reparación subcilíndrico.
V50PB-wp80-06	Pu-B	Al-B	PEL	ADM-A	I(A)	A-III	Saujil	
V1344-U74-09	Pu-B	Pu-A	PEL	ADP-B	II(A)	D-II	Saujil	
V50PB-wp80-05	Pu-B	Pu-B	ADP-B + PEL	S/D	II(A)	D-II	Saujil	
V50PB-173-29	Pu-B	Pu-B	ADP-B + PEL	S/D	III(A)	D-II	Saujil	
V1344-U74-03	Pu-B	Al-A	PEL	S/D	II(A)	D-II	Saujil	
V50PB-173-19	Pu-B	Pu-B	PEL	S/D	II(A)	D-II	Saujil	
V50PB-SN-05	Pu-B	Pu-A	PEL	ADP-B	II(B)	D-II	Saujil	
V1344-U92-01	Pu-B	Pu-A	PEL	ADM-A	II(A)	D-II	Saujil	
V50PB-01	Pu-B	Al-A	PEL	S/D	II(B)	D-II	Saujil	Evidencias de "raspado" en la superficie externa
V50PB-173-31	Pu-B	Pu-D	S/D	S/D	I (C)	A-II	Ftivo. fino	Evidencias de "raspado" en superficie externa.
V1344-U31-21	Pu-B	Pu-A	PEL	PEL	II(A)	D-II	Saujil	Dos hoyos de reparación -uno inconcluso-sección cónica y bordes astillados, desde el exterior
V50PB-175-24	Al-A	Al-A	S/D	S/D	II(A)	D-I	Ftivo. grueso	
V50PB-173-13	Pu-B	Pu-A	PEL	PEL	I(A)	A-III	Saujil	
V-OLLA 11	Pu-B	Al-B	PEL	ADM-A	II (A)	D-II	Ftivo. fino	Base: Cc-cx-A-c
V-OLLA 07/01	Pu-B	Pu-B	PEL	N/P	I (A)	A-III	Saujil	Base: Cc-cx-A-c
V50PB-SN-04	Pu-B	Pu-B	ADP-B	S/D	II(A)	D-II	Saujil	
G2-51-01	Pu-D	Pu-D	ADP-D	ADP-F + ADM-A	I(A)	B-III	Inka	plato pato
V1344-U23-02	Pu-C	Pu-C	S/D	ADP-A	I(A)	B-II	Aguada	
V1344-U63-21	Al-B	Al-B	ADP-A	ADP-A	VIII-C	J	Sanagasta	
VBAT-093-03	Pu-D	Pu-D	ADP-E	ADP-F + ADM-A	atípica	indet.	Inka (D-CH)	plato pato, la pasta es considerada atípica por el tipo de inclusiones presentes.
V1344-15	Pu-B	Pu-B	PEL	PEL	I(A)	A-III	Saujil	
G2-08-05	Pu-D	Pu-D	S/D	S/D	I(B)	B-I	Tardío indet.	
VBAT-120-07	Pu-C	Pu-C	ADP-D	ADP-D	I(B)	B-III	Belén	
V50PB-175-31	Al-B	Al-B	S/D	ADP-B	II(A)	D-II	Saujil	
V1344-U74-75	Pu-B	Pu-B	ADP-B	S/D	I(A)	A-III	Saujil	

	Perfil pieza	sigla	Variante morfológica	Sitio	borde/labio	Ø boca (cm)	áng. boca	AEP	capac.	esp.	SC
37		V50PB-175-05	Pu-NRS-a	LT-V50	DCT/RDD	16,4	82	74	0,71	MB	E
38		V1344-U13-23	Pu-NRS-a	LT-V50	DCT/RCT	16,4	86	76	0,49	MB	E
39		G2-14-06	Pu-NRS-a	Giusepe 2	DCT/RDD	17,9	76	74	0,51	MB	A
40		VBAT-058-05	Pu-NRS-a	Batungasta	DCT/RCT	19,2	90	70	0,78	MB	A
41		G2-02-02	Pu-NRS-a	Giusepe 2	DCT/RCT	22,8	90	68	0,71	Ba	B
42		V50PB-176-10	Pu-NRS-a	LT-V50	DCT/EBI	23,4	80	78	0,63	Ba	E
43		G2-08-03	Pu-NRS-a	Giusepe 2	DCT/RCT	24,7	81	79	0,41	Ba	E
44		V50PB-176-12	Pu-NRS-a	LT-V50	DCT/RDD	25,9	82	79	0,57	Ba	E
45		V50PB-176-13	Pu-NRS-a	LT-V50	DCT/RCT	26,4	73	69	0,64	Ba	A
46		VBAT-106	Pu-NRS-a	Batungasta	DCT/RCT	27,4	73	68	0,52	Ba	A
47		V50PB-177-05	Pu-NRS-a	LT-V50	DCT/RCT	28,3	90	78	0,52	Ba	E
48		V1344-U63-17	Pu-NRS-a	LT-V50	DCT/EBI	28,8	85	69	0,58	Ba	E
49		V50PB-wp80-03	Pu-NRS-b	LT-V50	DCT/RCT	16,7	90	83	0,49	MB	A
50		V50PB-173-04	Pu-NRS-b	LT-V50	DCT/RDD	18,3	90	80	0,4	MB	A
51		V50PB-176-05	Pu-NRS-b	LT-V50	DCT/RDD	22,3	90	84	0,6	Ba	E
52		V50PB-177-03	Pu-NRS-b	LT-V50	DCT/RDD	23,8	90	82	0,54	Ba	E
53		V50PB-176-19	Pu-NRS-b	LT-V50	DCT/RCT	24,2	83	80	0,39	Ba	E
54		V50PB-13	Pu-NRS-b	LT-V50	DCT/RCT	25,4	90	86	0,5	Ba	E
55		V50PB-176-07	Pu-NRS-b	LT-V50	DCT/RDD	34,0	90	85	0,72	Me	E
56		V50PB-175-06	Pu-NRS-b	LT-V50	DCT/EBI	35,2	90	84	0,81	Me	E
57		V50PB-173-34	Pu-NRS-b	LT-V50	DCT/RDD	41,9	90	87	0,91	Al	Ind
58		V-22/01	Pu-NRS-b	Bebé de La Troya	DCT/RCT	77,0	90	90	1,2	MA- Als	A
59		V-OLLA 9	Va-NRS-a	LT-V50	DCT/RDD	8,7	90	90	MB	0,7	E
60		V50PB-SN-01	Va-NRS-a	LT-V50	DCT/RCT	11,1	74	74	MB	0,47	E
61		V1344-U29-10	Va-NRS-a	LT-V50	DCT/RCT	13,3	75	80	MB	0,39	E
62		V1344-U66-27	Va-NRS-a	LT-V50	DCT/RCT	13,7	90	86	MB	0,59	E
63		G2-12-03	Va-NRS-a	Giusepe 2	DCT/RDD	15,0	80	81	MB	0,63	E

sigla	Trat. sup. Int.	Trat. sup. ext.	Dec. Int	Dec. Ext.	Pasta	ET	Tipo cerámico	Observaciones
V50PB-175-05	Pu-B	Pu-B	ADP-B	S/D	II(A)	D-II	Saujil	
V1344-U13-23	Pu-D	Pu-D	S/D	RDM-A	I(A)	A-VI	Aguada	
G2-14-06	Pu-B	Pu-B	ADP-B	S/D	I(A)	B-II	Saujil	Evidencias de manufactura por rodets.
VBAT-058-05	Pu-C	Pu-C	ADP-D	ADP-D	I-C	B-II	Belén	
G2-02-02	Al-A	Al-A	S/D	S/D	VIII(A)	J	Tardío indet.	Evidencias de manufactura por rodets.
V50PB-176-10	Pu-B	Al-A	S/D	S/D	atípica	indet.	Ftivo. fino	Pasta atípica por inclusiones, presenta muchas manchitas blancas no identificadas. Por otra parte es muy dura, probablemente por sobrecocción.
G2-08-03	Pu-B	Pu-B	PEL	DDM-A	I(A)	A-IV	Saujil	
V50PB-176-12	Pu-B	Pu-A	PEL	S/D	II(A)	D-II	Saujil	
V50PB-176-13	Pu-C	Pu-D	S/D	S/D	I(B)	B-I	Ftivo. fino	
VBAT-106	Pu-C	Pu-C	ADP-A	ADP-D + ADM-B	I(B)	B-III	Belén	
V50PB-177-05	Pu-B	Pu-B	PEL	S/D	I(A)	A-III	Saujil	
V1344-U63-17	Pu-B	Pu-C	S/D	DDM-A	I(B)	A-IV	Ciénaga	El pulido es posterior al inciso
V50PB-wp80-03	Pu-D	Pu-D	S/D	ADP-A	I(A)	B-II	Aguada	
V50PB-173-04	Pu-C	Pu-D	S/D	ADP-B	I(A)	B-II	Aguada	Posible presencia de engobe claro
V50PB-176-05	Pu-B	Al-A	PEL	S/D	I(A)	A-III	Saujil	Agujero de reparación de sección cilíndrica, atraviesa la pared limpiamente.
V50PB-177-03	Pu-B	Pu-B	S/D	DDM-A	II(A)	D-III	Saujil	
V50PB-176-19	Pu-C	Pu-C	S/D	RDM-A	I(A)	A-VI	Aguada	
V50PB-13	Pu-D	Pu-D	S/D	RDM-A	I(A)	A-VI	Aguada	
V50PB-176-07	Pu-B	Pu-A	S/D	S/D	I(A)	A-II	Ftivo. fino	
V50PB-175-06	Al-A	Al-A	S/D	S/D	III(A)	F	Ftivo. grueso	Evidencias de manufactura por rodets
V50PB-173-34	Al-A	Al-A	S/D	S/D	VI(B)	K	Ftivo. grueso	Evidencias de manufactura por rodets
V-22/01	Al-A	Al-A	ADP-A	ADP-A	VIII(B)	J	Sanagasta	Base: Cc-cx-B-b manufactura por rodets
V-OLLA 9	Pu-B	Pu-B	S/D	ADP-B/ADM-A	II (A)	D-II	Saujil	
V50PB-SN-01	Pu-C	Pu-C	S/D	DDM-A	I(A)	A-IV	Ciénaga	Pulido posterior al inciso
V1344-U29-10	Pu-C	Pu-C	S/D	DDM-A	I(A)	A-IV	Ftivo. fino	
V1344-U66-27	Pu-D	Pu-D	S/D	RDM-A	I(A)	A-VI	Aguada	Agujero de reparación de sección bi-cónica, con estrias.
G2-12-03	Pu-B	Pu-B	PEL	PEL	II(A)	D-II	Saujil	

ESCUILLAS Y PUCOS NO RESTRINGIDOS COMPUESTOS E INFLEXIONADOS

	Perfil pieza	sigla	Variante morfológica	Sitio	borde/labio	Ø boca (cm)	AEP	Ø PC	h PC	capacidad	esp.	AC
64		V1344-10	Es-NRC-a	LT-V50	EVT/RCT	24,71	61	21,3	4	Ba	0,48	A
65		V1344-U15-08	Es-NRC-a	LT-V50	EVT/RDD	27,89	57	24,8	3,5	Ba	0,72	A
66		V1344-U31-27	Es-NRC-a	LT-V50	EVT/RCT	30,98	60	29,8	2,8	Me	0,45	A
67		V50PB-173-12	Es-NRC-a	LT-V50	EVT/RDD	33,39	48	31,6	2,5	Me	0,53	E
68		V50PB-176-02	Es-NRC-a	LT-V50	EVT/RDD	37,17	61	32,3	6	Me	0,67	A
69		V1344-18	Es-NRC-a	LT-V50	EVT/RDD	40,7	53	34,2	4,7	Al	0,46	A
	Perfil pieza	sigla	Variante morfológica	Sitio	borde/labio	Ø boca (cm)	AEP	Ø PC	h PC	capacidad	esp.	AC
70		V1344-U15-01	Es-NRC-b	LT-V50	DCT/RCT	25,5	61	24,0	2,8	Ba	0,45	E
71		V50PB-173-17	Es-NRC-b	LT-V50	DCT/RDD	37,98	48	36,4	2,8	Me	0,7	E
72		V1344-U31-11	Es-NRC-d	LT-V50	DCT/RCT	10,71	60	10,7	1,8	MB	0,4	E
73		V1344-U66-29	Es-NRC-d	LT-V50	DCT/RCT	24,86	63	23,6	3	Ba	0,64	E
74		V1344-U74-33	Es-NRC-d	LT-V50	DCT/RCT	28,46	63	28,5	2	Ba	0,72	E
75		V1344-U22-17	Pu-NRC-a	LT-V50	EVT/RDD	20,4	77	18,9	3,8	Ba	0,59	A
76		V1344-U31-13	Pu-NRC-a	LT-V50	EVT/RDD	23,47	73	22,8	3,5	Ba	0,53	E
77		V1344-U31-20	Pu-NRC-a	LT-V50	EVT/RDD	24,3	80	23,6	2,4	Ba	0,52	E
78		V1344-U31-24	Pu-NRC-a	LT-V50	HZT-EE/ RDD	26	81	24,8	6,5	Ba	0,55	A
79		V1344-U58-11	Pu-NRC-a	LT-V50	EVT/RCT	27,47	76	25,8	6	Ba	0,45	E
80		V1344-U15-14	Pu-NRC-a	LT-V50	EVT/RCT	27,6	76	27,0	3,7	Ba	0,49	A
81		V1344-U47-01	Pu-NRC-a	LT-V50	EVT/RCT	27,68	76	26,8	5,3	Ba	0,4	A
82		Giusepe2/14	Pu-NRC-a	Giusepe	EVT/RDD	28,2	66	25,2	6,4	Ba	0,64	A
83		V1344-U31-10	Pu-NRC-a	LT-V50	EVT/RDD	31,17	66	28,2	6,1	Me	0,51	E
84		V1344-U31-01/04	Pu-NRC-a	LT-V50	EVT/RDD	32,7	68	30,0	3,4	Me	0,72	A
85		V1344-U23-06	Pu-NRC-a	LT-V50	EVT/RCT	34	73	32,7	5,5	Me	0,62	A
86		V-OLLA 07/3	Pu-NRC-b	LT-V50	DCT/RCT	15,4	84	12,8	3,5	Ba	0,4	E
87		V50PB-173-14	Pu-NRC-c	LT-V50	EVT/RDD	37,05	77	37,1	6,3	Me	0,7	A
88		V1344-U66-06	Pu-NRC-d	LT-V50	DCT/RCT	18,5	73	18,5	2,5	MB	0,49	A
89		V1344-U74-05	Pu-NRC-d	LT-V50	DCT/RDD	20,33	68	19,4	3	Ba	0,63	E
90		V1344-U92-03	Pu-NRC-d	LT-V50	DCT/RDD	22,56	71	22,6	2,8	Ba	0,58	E
91		V50PB-02	Pu-NRC-d	LT-V50	DCT/RCT	23,15	74	23,2	2,5	Ba	0,61	E
92		V1344-U74-29	Pu-NRC-d	LT-V50	DCT/RCT	23,55	73	23,6	3,8	Ba	0,5	E
93		V1344-U11-05	Pu-NRC-d	LT-V50	DCT/RCT	23,81	74	23,5	4	Ba	0,59	E
94		V1344-U02-01	Pu-NRC-d	LT-V50	DCT/RDD	25,89	78	25,9	2,5	Ba	0,63	E
95		V1344-U15-15	Pu-NRC-d	LT-V50	DCT/RCT	26,8	69	25,4	3,6	Ba	0,58	E
96		V1344-U74-12	Pu-NRC-d	LT-V50	DCT/RDD	27,82	71	27,8	3	Ba	0,52	E
97		V50PB-SN-02	Pu-NRC-d	LT-V50	DCT/RDD	27,92	70	27,3	4	Ba	0,5	E
98		V1344-U31-30	Pu-NRC-d	LT-V50	DCT/RCT	28,63	66	28,6	3	Ba	0,53	A
99		V1344-U74-49	Pu-NRC-d	LT-V50	DCT/RCT	29	74	28,0	5	Ba	0,51	E

sigla	trat. Sup int	trat sup ext	Dec. Int	Dec. Ext.	Pasta	ET	Tipo cerámico	Observaciones
V1344-10	Pu-C	Pu-C	ADP-C	S/D	I(A)	B-II	Aguada	
V1344-U15-08	Pu-C	Pu-C	S/D	ADP-A	I(A)	B-II	Aguada	
V1344-U31-27	Pu-C	Pu-C	S/D	ADP-A	I(A)	B-II	Aguada	
V50PB-173-12	Pu-A	Pu-B	S/D	DDM-D	I(A)	A-V	Ciénaga	Evidencias de raspado en superficie externa
V50PB-176-02	Pu-C	Pu-C	S/D	ADP-A	I(A)	B-II	Aguada	Hoyo de reparación de sección cónica desde el exterior
V1344-18	Pu-C	Pu-C	S/D	ADP-A	I(A)	B-II	Aguada	Evidencia de rodetes sobre el punto angular
sigla	trat. sup int	trat sup ext	Dec. Int	Dec. Ext.	Pasta	ET	Tipo cerámico	Observaciones
V1344-U15-01	Pu-B	Pu-B	S/D	DDM-A	I(A)	A-IV	Saujil	
V50PB-173-17	Pu-B	Pu-B	S/D	DDM-A +ADM-A	I(A)	A-IV	Saujil	
V1344-U31-11	Pu-C	Pu-C	S/D	S/D	I(A)	A-II	Ftivo. fino	
V1344-U66-29	Pu-B	Pu-B	S/D	DDM-A	II(A)	D-III	Saujil	el pulido es posterior al inciso
V1344-U74-33	Pu-B	Pu-B	PEL	DDM-A	I(A)	A-IV	Saujil	
V1344-U22-17	Pu-C	Pu-C	S/D	ADP-C	I(A)	B-II	Aguada	
V1344-U31-13	Pu-B	Pu-B	S/D	DDM-A	II(A)	D-III	Saujil	
V1344-U31-20	Pu-B	Pu-A	PEL	PEL	I(A)	A-III	Saujil	
V1344-U31-24	Pu-D	Pu-D	S/D	ADP-A	I(A)	B-II	Aguada	
V1344-U58-11	Pu-C	AI-A	S/D	S/D	I(A)	A-II	Ftivo. fino	
V1344-U15-14	Pu-C	Pu-C	S/D	ADP-A	I(A)	B-II	Aguada	
V1344-U47-01	Pu-C	Pu-C	S/D	ADP-C	I(A)	B-II	Aguada	
Giuseppe2/14	Pu-C	Pu-C	S/D	ADP-C	I(A)	B-II	Aguada	
V1344-U31-10	Pu-B	Pu-B	PEL	DDM-A	I(A)	A-IV	Saujil	
V1344-U31-01/04	Pu-C	Pu-C	S/D	S/D	I(A)	B-I	Ftivo. fino	
V1344-U23-06	Pu-C	Pu-C	S/D	ADP-A	I(A)	B-II	Aguada	
V-OLLA 07/3	Pu-C	Pu-C	N/P	DDM-A	I(A)	A-IV	Ciénaga	
V50PB-173-14	Pu-C	Pu-C	S/D	S/D	I(A)	B-I	Ftivo. fino	
V1344-U66-06	Pu-C	Pu-D	S/D	ADP-A	I(A)	B-II	Aguada	
V1344-U74-05	Pu-B	Pu-B	S/D	DDM-A	I(A)	A-IV	Saujil	
V1344-U92-03	Pu-B	Pu-B	S/D	DDM-A	I(A)	A-IV	Saujil	Pulido posterior al inciso
V50PB-02	Pu-B	Pu-B	S/D	DDM-A	indet.	indet.	Saujil	Tipo de pasta indeterminada por sobrecocción
V1344-U74-29	Pu-B	Pu-B	S/D	DDM-A-E	I(A)	A-IV	Saujil	Evidencias de raspado en superficie externa
V1344-U11-05	Pu-B	Pu-B	S/D	S/D	II(B)	D-I	Ftivo. fino	
V1344-U02-01	Pu-B	Pu-B	S/D	S/D	II(A)	D-I	Ftivo. fino	
V1344-U15-15	Pu-B	Pu-A	PEL	S/D	II(A)	D-II	Saujil	
V1344-U74-12	Pu-B	Pu-B	PEL	DDM-D	I(A)	A-V	Saujil	
V50PB-SN-02	Pu-B	Pu-C	S/D	DDM-A +ADM-B	I(A)	A-IV	Ciénaga	
V1344-U31-30	Pu-B	Pu-A	S/D	ADP-C	I(A)	B-II	Aguada	Evidencias de raspado en superficie externa
V1344-U74-49	Pu-B	AI-A	PEL	S/D	I(A)	A-III	Saujil	Evidencias de raspado en superficie externa

	Perfil pieza	sigla	Variante morfológica	Sitio	borde/labio	Ø boca (cm)	AEP	Ø PC	h PC	capacidad	esp.	AC
100		V1344-U43-45	Pu-NRC-d	LT-V50	DCT/RCT	29,35	77	29,4	4	Ba	0,59	E
101		V50PB-173-24	Pu-NRC-d	LT-V50	DCT/RDD	30,73	78	30,2	3,4	Me	0,5	H
102		V1344-U66-03	Pu-NRC-d	LT-V50	DCT/RCT	30,87	73	30,9	3	Me	0,58	E
103		G2-11-01	Pu-NRC-d	Giusepe 2	DCT/RDD	35,99	76	35,4	5,7	Me	0,69	E
104		V1344-U66-34	Pu-NRC-d	LT-V50	DCT/RCT	36,41	82	36,4	3,7	Me	0,48	E
105		V1344-U74-80	Pu-NRC-d	LT-V50	DCT/RCT	36,64	75	36,6	3	Me	0,52	E
106		V1344-U10-12	Pu-NRI-a	LT-V50	EVT/RDD	24,89	89	24,4	1,72	Ba	0,68	E
107		V1344-U11-04	Pu-NRI-a	LT-V50	EVT/RDD	30,16	87	29,4	4	Me	0,69	A

PUCOS RESTRINGIDOS DEPENDIENTES COMPUESTOS Y SIMPLES

	Perfil pieza	sigla	Variante morfológica	Sitio	borde/labio	Ø boca	AEP	Ø PC	h PC	capacidad	esp.	SC	
108		V1344-U13-22	Pu-RDC-b	LT-V50	INV/RDD	25,18	69	26	1	Ba	0,48	E	
109		V1344-U66-14	Pu-RDC-b	LT-V50	DCT/RCT	30,04	84	32	1,1	Me	0,51	J	
110		V50PB-wp80-01	Pu-RDC-b	LT-V50	DCT/RCT	35,21	93	36,9	2,8	Me	0,87	E	
	Perfil pieza	sigla	Variante morfológica	Sitio	borde/labio	Ø boca	áng. boca	AEP	Ø PC	h PC	capacidad	esp.	SC
111		V1344-U74-44	Pu-RDS-a	LT-V50	INV/RCT	12,37	107	98	13,3	3,2	MB	0,58	E
112		VBAT-038-02	Pu-RDS-a	LT-V50	INV/RCT	19,22	105	101	20	2,5	MB	0,59	A
113		V50PB-176-26	Pu-RDS-a	LT-V50	INV/RDD	22,65	103	100	23,4	2	Ba	0,49	E
114		G2-08-04	Pu-RDS-b	Giusepe 2	INV/RCT	13,91	119	109	14,7	2	MB	0,48	H
115		V50PB-173-10	Pu-RDS-b	LT-V50	INV/RDD	14,65	122	114	16	1,5	MB	0,4	E
116		V1344-U47-18	Pu-RDS-b	LT-V50	INV/RCT	16,13	125	120	17,4	1,5	MB	0,47	E
117		G2-65FM-03	Pu-RDS-b	Giusepe 2	INV/RDD	16,43	119	106	17,7	2,78	MB	0,86	D
118		V1344-U03-22	Pu-RDS-b	LT-V50	INV/RDD	17,9	124	116	19,2	1,52	MB	0,6	E
119		V50PB-173-22	Pu-RDS-b	LT-V50	INV/RCT	22,44	110	105	23	1,1	Ba	0,49	A
120		V1344-U72-07	Pu-RDS-b	LT-V50	INV/RCT	24,68	113	106	25,6	2	Ba	0,48	A
121		V50PB-08	Pu-RDS-b	LT-V50	INV/RDD	24,93	121	115	26,8	1,55	Ba	0,74	E
122		VBAT-073-06	Pu-RDS-b	LT-V50	INV/RCT	26,1	118	109	27,2	1,6	Ba	0,5	A
123		V50PB-07	Pu-RDS-b	LT-V50	HZT-El/RDD	28,63	115	112	30	2	Ba	0,52	A

OLLAS RESTRINGIDAS INDEPENDIENTES INFLEXIONADAS Y COMPUESTAS TIPO A

	Perfil pieza	sigla	Variante morfológica	Sitio	borde/labio	Ø boca	AEP	Ø PC	h PC	Ø min	h min	áng. Ø min	capacidad	esp.	SC
124		V1344-U31-29	OA-RII-a	LT-V50	DCT/RCT	14,0	112	14,2	4,1	14,0	0,0	90	MB/B	0,7	A
125		V1344-U47-17	OA-RII-a	LT-V50	DCT/RCT	14,9	> 100	15,2	2,6	14,9	0,0	90	MB/B	0,49	E
126		VBAT-058-07	OA-RII-a	LT-V50	EVT/RDD	15,1	> 100	17,0	3,0	15,1	0,0	90	Me/MA	0,7	A
127		V1344-U58-20	OA-RII-a	LT-V50	DCT/RCT	15,5	> 100	16,8	3,0	15,5	0,0	90	Me/MA	0,58	Ind.
128		V1344-U29-14	OA-RII-a	LT-V50	DCT/RCT	17,5	> 100	20,2	4,0	17,5	0,0	90	Me/MA	0,61	B
129		VBAT-120-03	OA-RII-a	LT-V50	DCT/RDD	19,0	> 100	19,3	4,5	18,2	1,5	75	Me/MA	0,51	A
130		V50PB-174-08	OA-RII-a	LT-V50	EVT/RDD	21,4	114	22,2	4,0	21,4	0,0	90	MA/Als	0,54	Ind.

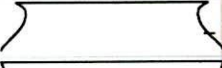
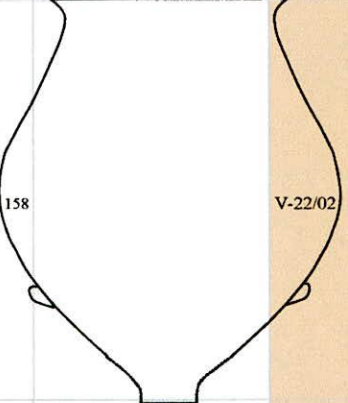
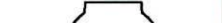
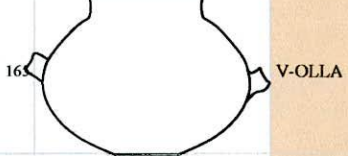
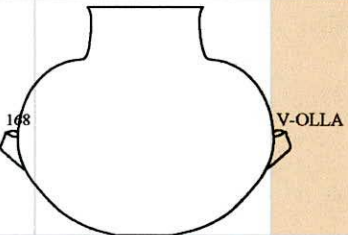
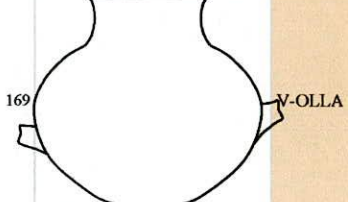
sigla	trat. sup int	trat sup ext	Dec. Int	Dec. Ext.	Pasta	ET	Tipo cerámico	Observaciones
V1344-U43-45	Pu-B	Al-A	S/D	S/D	I(B)	A-II	Ftivo. fino	Evidencias de manufactura por rodets
V50PB-173-24	Pu-B	Pu-B	S/D	N/P	I(A)	A-II	Ftivo. fino	Hoyo de reparación sección cilíndrica
V1344-U66-03	Pu-B	Pu-B	PEL	DDM-A	I(A)	A-IV	Saujil	
G2-11-01	Pu-B	Pu-B	S/D	DDM-A	I(A)	A-IV	Saujil	
V1344-U66-34	Pu-B	Pu-B	PEL	DDM-A+ PEL	I(A)	A-IV	Ciénaga	El pulido es posterior al inciso
V1344-U74-80	Pu-B	Pu-B	S/D	DDM-A	I(A)	A-IV	Saujil	
V1344-U10-12	Pu-B	Pu-C	S/D	N/P	I(B)	A-II	Ftivo. fino	
V1344-U11-04	Pu-C	Pu-C	S/D	ADP-A	I(A)	B-II	Aguada	

sigla	trat. sup int	trat sup ext	Dec. Int	Dec. Ext.	Pasta	ET	Tipo cerámico	Observaciones
V1344-U13-22	Pu-C	Pu-C	S/D	S/D	indet.	indet.	Ftivo. fino	Tipo de pasta indeterminada por sobrecocción
V1344-U66-14	Pu-C	Pu-C	S/D	S/D	I(A)	C	Ftivo. fino	
V50PB-wp80-01	Pu-B	Pu-A	PEL	DDM-A	I(A)	A-IV	Saujil	El pulido es posterior al inciso
sigla	trat. sup int	trat sup ext	Dec. Int	Dec. Ext.	Pasta	ET	Tipo cerámico	Observaciones
V1344-U74-44	Pu-B	Pu-B	PEL	S/D	I(A)	A-III	Saujil	
VBAT-038-02	Al-A	Pu-C	S/D	ADP-D+ RDM-b	I(B)	B-III	Belén	
V50PB-176-26	Pu-B	Pu-A	PEL	S/D	II(A)	D-II	Saujil	Evidencias de raspado en superficie externa y posible piqueteado en superficie interna
G2-08-04	Pu-A	Pu-B	S/D	S/D	I(A)	A-II	Ftivo. fino	
V50PB-173-10	Pu-B	Pu-B	PEL	S/D	II(A)	D-II	Saujil	Evidencias de raspado en la superficie externa
V1344-U47-18	Pu-B	Pu-B	S/D	DDM-A+ ADM-B	I(A)	A-IV	Saujil	
G2-65FM-03	Al-A	Al-A	ADP-A	ADM-A	III(A)	E	Sanagasta	
V1344-U03-22	Al-A	Al-A	S/D	ADM-A	III(A)	F	Ftivo. fino	Evidencias de manufactura por rodets
V50PB-173-22	Pu-C	Pu-D	S/D	ADP-A	I(A)	B-II	Aguada	Posible presencia de engobe de color claro
V1344-U72-07	Pu-C	Pu-C	S/D	ADP-A	I(A)	B-II	Aguada	Hoyo de reparación de sección cónica desde el exterior
V50PB-08	Pu-B	Pu-B	S/D	S/D	I(A)	A-II	Ftivo. fino	Evidencias de manufactura por rodets
VBAT-073-06	Pu-C	Pu-C	S/D	ADP-A	II(B)	E	Tardío indet.	
V50PB-07	Pu-B	Pu-B	S/D	ADP-A	I(A)	B-II	Aguada	Hoyo de reparación de sección cónica desde el exterior

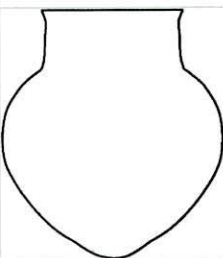
sigla	trat. Sup int	trat sup ext	Dec. Int	Dec. Ext.	Pasta	ET	Tipo cerámico	Observaciones
V1344-U31-29	Al-B	Al-B	S/D	ADP-A	I(A)	B-II	Aguada	
V1344-U47-17	Al-B	Al-B	S/D	S/D	II(B)	D-I	Ftivo. fino	
VBAT-058-07	Al-A	Al-A	S/D	S/D	III-C	E	Td. Indet.	
V1344-U58-20	Al-A	Al-A	S/D	S/D	VI(B)	K	Ftivo. grueso	Evidencia de manufactura por rodets.
V1344-U29-14	Al-A	Al-A	S/D	S/D	VIII(B)	J	Td. Indet.	Evidencia de manufactura por rodets.
VBAT-120-03	Al-A	Al-A	S/D	S/D	III(A)	E	Td. Indet.	
V50PB-174-08	Al-A	Al-A	S/D	S/D	VI(B)	K	Ftivo. grueso	Evidencias de manufactura por rodets.

	Perfil pieza	sigla	Variante morfológica	Sitio	borde/labio	Ø boca	AEP	Ø PC	h PC	Ø min	h Ø min	áng. Ø min	capacidad	esp.	SC
131		V1344-U74-16	OA-RII-a	LT-V50	DCT/RDD	29,3	102	29,4	4,3	29,3	0,0	90	MA/Als	0,59	E
132		V50PB-wp80-07	OA-RII-a	LT-V50	EVT/RDD	31,8	> 100	31,2	4,1	30,5	3,0	79	MA/Als	0,71	E
133		V1344-U31-19	OA-RII-b	LT-V50	DCT/RCT	17,8	113	20,6	5,1	17,4	1,0	80	Me/MA	0,41	A
134		G2-02-01	OA-RII-b	Giusepe 2	EVT/RCT	20,3	116	23,5	7,0	19,8	3,0	84	MA/Als	0,78	D
135		VBAT-110-04	OA-RII-b	Batungasta	EVT/RCT	24,8	> 100	27	7,9	23,8	2	75	MA/Als	0,8	A
136		G2-65FM-01	OA-RII-b	Giusepe 2	EVT/RCT	27,7	107	28,1	6,5	26,2	3,5	76	MA/Als	0,72	E
137		G2-65FM-08	OA-RII-b	Giusepe 2	DCT/RDD	36,1	107	37,6	5,0	36,1	0,0	90	MA/Als	0,85	D
138		V-OLLA 10	OA-RII-c	EP/LT	EVT/RDD	6,4	100	7,0	3,5	5,6	2,3	83	MB/B	0,42	A
139		V1344-04A	OA-RII-c	LT-V50	EVT/RDD	10,1	100	8,8	4,0	8,0	2,5	63	MB/B	0,64	Ind.
140		V1344-20	OA-RII-c	LT-V50	EVT/RCT	10,5	110	9,4	2,0	9,0	1,2	56	MB/B	0,3	A
141		V1344-U26-17	OA-RII-c	LT-V50	EVT/RDD	10,8	101	8,0	4,0	6,9	2,1	45	MB/B	0,62	A
142		VBAT-138-02	OA-RII-c	Batungasta	EVT/RDD	14,3	> 100	15,3	3,0	13,7	1,2	64	MB/B	0,69	A
143		VBAT-141-01	OA-RII-c	Batungasta	EVT/RDD	16,4	> 100	17,2	4,3	15,7	1,2	64	Me/MA	0,79	A
144		G2-11-03	OA-RII-c	Giusepe 2	EVT/RDD	17,7	> 100	16,7	3,1	15,2	1,5	50	Me/MA	0,46	E
145		V50PB-178-09	OA-RII-c	LT-V50	EVT/RCT	23,1	112	23,6	4,0	20,9	2,0	61	MA/Als	0,74	E
146		V1344-U74-17	OA-RII-c	LT-V50	DCT/RDD	30,2	111	31,0	4,0	29,5	1,5	72	MA/Als	0,41	E
147		V1344-U58-15	OA-RII-d	LT-V50	DCT/RDD	24,2	111	25,1	5,0	22,2	1,4	54	MA/Als	0,87	Ind.
148		G2-65FM-05	OA-RII-d	Giusepe 2	EVT/RDD	26,1	112	27,4	6,0	24,5	3,0	70	MA/Als	0,96	E
149		V1344-U11-08	OA-RII-d	LT-V50	EVT/RDD	27,0	> 100	29,0	5,0	23,9	2,0	50	MA/Als	0,65	A
150		VBAT-032-01 al 08	OA-RII-d	Batungasta	HZT-EE/RCT	27,4	> 100	28,4	5,4	26,4	1,5	72	MA/Als	0,99	A
151		VBAT-073-01/02	OA-RII-d	Batungasta	EVT/RCT	27,4	101	27,4	6,3	25,5	3,0	69	MA/Als	0,89	A
152		V1344-U58-22/29	OA-RII-d	LT-V50	EVT/RDD	31,6	103	31,0	7,6	27,8	3,5	59	MA/Als	0,83	Ind.
153		BC-01	OA-RII-d	Bebé del Cauce	EVT/RDD	30,0	104	25,8	10,6	25,3	2,5	75	MA/Als	0,89	A
154		V-OLLA 2	OA-RII-d	LT-V50	EVT/RDD	32,0	> 100	33,4	11,8	27,8	5,0	67	MA/Als	0,83	E

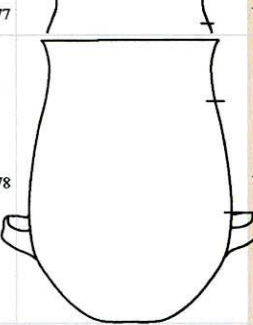
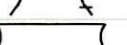
sigla	trat. Sup int	trat sup ext	Dec. Int	Dec. Ext.	Pasta	ET	Tipo cerámico	Observaciones
V1344-U74-16	AI-A	AI-A	S/D	DDM-A	II(A)	D-III	Saujil	Evidencias de manufactura por rodets.
V50PB-wp80-07	AI-A	AI-A	S/D	S/D	III(A)	F	Ftivo. grueso	
V1344-U31-19	AI-B	Pu-D	S/D	ADP-A	I(A)	B-II	Aguada	
G2-02-01	AI-A	AI-A	S/D	S/D	VII(B)	I	Td. Indet.	Evidencia de manufactura por rodets.
VBAT-110-04	AI-A	AI-A	S/D	S/D	III(A)	E	Td. Indet.	
G2-65FM-01	AI-A	AI-A	S/D	S/D	III-C	F	Ftivo. grueso	Evidencias de manufactura por rodets.
G2-65FM-08	AI-A	AI-A	S/D	S/D	III-C	E	Td. Indet.	Núcleo muy marcado y manchas de cocción en superficie externa
V-OLLA 10	Pu-D	Pu-D	S/D	S/D	I(A)	B-I	Ftivo. fino	
V1344-04A	AI-A	AI-A	S/D	S/D	VI(B)	K	Ftivo. grueso	Manufactura por rodets. Asa en arco vertical, formada por tres chorizos paralelos, labio y cuerpo adherida al pastillaje
V1344-20	Pu-C	Pu-D	S/D	ADP-C	I(A)	B-II	Aguada	
V1344-U26-17	AI-B	AI-B	ADP-A	ADP-A	I(A)	B-II	Aguada	
VBAT-138-02	AI-A	AI-A	S/D	S/D	II(B)	E	Td. Indet.	Hollín en superficie externa
VBAT-141-01	AI-A	AI-A	S/D	S/D	III(B)	E	Td. Indet.	Hollín en superficie externa
G2-11-03	AI-B	AI-A	S/D	S/D	III(B)	F	Ftivo. grueso	Manufactura por rodets.
V50PB-178-09	AI-A	AI-A	S/D	S/D	III(B)	F	Ftivo. grueso	Manufactura por rodets. Hollín en superficie externa
V1344-U74-17	AI-B	AI-B	S/D	DDM-B	II(B)	D-III	Saujil	
V1344-U58-15	AI-A	AI-A	S/D	S/D	VI(B)	K	Ftivo. grueso	Evidencias de manufactura por rodets.
G2-65FM-05	AI-A	AI-A	S/D	S/D	III(B)	F	Ftivo. grueso	Evidencias de manufactura por rodets.
V1344-U11-08	AI-A	AI-A	S/D	S/D	VIII(B)	J	Td. Indet.	Evidencias de manufactura por rodets.
VBAT-032-01 al 08	AI-A	AI-A	S/D	S/D	VIII-C	J	Td. Indet.	Manufactura por rodets. Hollín en superficie externa
VBAT-073-01/02	Pu-C	Pu-C	S/D	S/D	I(B)	B-I	Td. Indet.	
V1344-U58-22/29	AI-A	AI-A	S/D	S/D	VI(B)	K	Ftivo. grueso	Evidencias de manufactura por rodets.
BC-01	AI-A	AI-A	S/D	ADP-A	VIII(B)	J	Sanagasta	Base: Cc-cx-B-b - Manufactura por rodets
V-OLLA 2	AI-A	AI-A	S/D	S/D	III-C	F	Ftivo. grueso	Manufactura por rodets. Hollín en superficie externa

	Perfil pieza	sigla	Variante morfológica	Sitio	borde/labio	Ø boca	AEP	Ø PC	h PC	Ø min	h Ø min	áng. Ø min	capacidad	esp.	SC
155		V1344-U23-10	OA-RII-d	LT-V50	EVT/RDD	32,7	101	31,3	5,7	29,0	2,5	54	MA/Als	0,9	Ind.
156		V1344-U72-06	OA-RII-d	LT-V50	EVT/RDD	33,2	110	33,2	6,0	29,8	2,0	50	MA/Als	0,9	E
157		V1344-U72-10	OA-RII-d	LT-V50	EVT/RDD	38,6	> 100	38,4	6,6	37,4	2,0	74	MA/Als	0,83	B
158		V-22/02	OA-RII-d	Bebé de La Troya	EVT/RDD	48,0	105	45,0	10,0	45,5	4,0	60	MA/Als	1	A
159		V1344-U43-12	OA-RIC-a	LT-V50	HZT-EE/RCT	8,61	> 100	8,1	2	8,1	2,0	86	MB/B	0,42	A
160		V1344-U31-24b	OA-RIC-a	LT-V50	HZT-EE/RCT	10,31	> 100	10	2,5	10,3	0,0	90	MB/B	0,31	A
161		G2-65FM-06	OA-RIC-a	Giusepe 2	DCT/RCT	17,32	113	17	2,8	17,3	0,0	90	Me/MA	0,91	A
162		V1344-U23-41	OA-RIC-a	LT-V50	DCT/RCT	20,09	> 100	21	4	20,1	0,0	90	MA/Als	0,54	A
163		V1344-U03-03	OA-RIC-a	LT-V50	EVT/RCT	21,03	> 100	20	3,5	20,4	3,5	85	MA/Als	0,53	A
164		V1344-U47-14	OA-RIC-b	LT-V50	EVT/RCT	27,28	> 100	24	6,2	24,2	6,2	75	MA/Als	0,68	A
165		V-OLLA 13	OA-RIC-c	EP/LT	EVT/RDD	16,8	126	15	3,6	20,0	3,5	77	Me/MA	0,45	A
166		V-OLLA 01	OA-RIC-c	EP/LT	EVT/RDD	19	123	18	5,4	16,8	2,0	70	Me/MA	0,56	E
167		V50PB-03	OA-RIC-d	LT-V50	EVT/RCT	19,86	> 100	20	7,5	17,4	3,0	67	MA/Als	0,51	A
168		V-OLLA 12/2	OA-RIC-d	EP/LT	EVT/RDD	21,5	126	23	9,7	20,0	3,0	79	MA/Als	0,6	A
169		V-OLLA 12/1	OA-RIC-d	EP/LT	EVT/RDD	22,3	113	22	22	19,7	4,7	68	MA/Als	0,65	A

sigla	trat. Sup int	trat sup ext	Dec. Int	Dec. Ext.	Pasta	ET	Tipo cerámico	Observaciones
V1344-U23-10	AI-A	AI-A	S/D	S/D	VI(B)	K	Ftivo. grueso	Manufactura por rodets
V1344-U72-06	AI-A	AI-A	S/D	S/D	III(B)	F	Ftivo. grueso	Manufactura por rodets
V1344-U72-10	AI-B	AI-B	ADP-A	ADP-A	atípica	indet.	Sanagasta	Manufactura por rodets.
V-22/02	AI-A	AI-A	S/D	ADP-A	VIII(B)	J	Sanagasta	Base: Cc-cx-B-b - Manufactura por rodets
V1344-U43-12	Pu-D	Pu-D	S/D	ADP-A+ ADM-A	I(A)	B-II	Aguada	
V1344-U31-24b	Pu-C	Pu-C	S/D	ADP-A	I(A)	B-II	Aguada	
G2-65FM-06	AI-A	AI-A	S/D	S/D	VIII(A)	J	Td. Indet.	Manufactura por rodets
V1344-U23-41	AI-B	AI-B	S/D	ADP-A	I(A)	B-II	Aguada	
V1344-U03-03	AI-B	AI-B	S/D	ADP-A	I(A)	B-II	Aguada	
V1344-U47-14	AI-B	AI-B	S/D	ADP-A	I(A)	B-II	Aguada	Presenta hoyo de reparación de sección bi-cónica, astillado
V-OLLA 13	AI-B	AI-B	S/D	ADP-A	I(A)	B-II	Aguada	base: Cc-cx-A-c - Manufactura por rodets
V-OLLA 01	AI-A	AI-B	S/D	ADP-A	III-C	F	Ftivo. grueso	Base cónica - Manufactura por rodets. Hollin en superficie externa
V50PB-03	AI-B	AI-B	S/D	ADP-A	I(A)	B-II	Aguada	
V-OLLA 12/2	AI-B	AI-B	S/D	ADP-A	I(A)	B-II	Aguada	Base Cc-cx-A-c. Manufactura por rodets
V-OLLA 12/1	AI-B	AI-B	S/D	ADP-A	I(A)	B-II	Aguada	Base Cc-cx-A-c. Manufactura por rodets

	Perfil pieza	sigla	Variante morfológica	Sitio	borde/labio	Ø boca	AEP	Ø PC	h PC	Ø min	h Ø min	áng. Ø min	capacidad	esp.	SC
170		V50PB-wp80-08	OA-RIC-d	LT-V50	EVT/RDD	23,63	> 100	21	5,4	21,0	2,7	63	MA/Als	0,56	A
171		V-OLLA 04	OA-RIC-d	EP/LT	EVT/RDD	27	104	26	11	25,3	2,5	76	MA/Als	0,89	E

OLLAS RESTRINGIDAS INDEPENDIENTES INFLEXIONADAS TIPO B

172		V1344-U74-26	OB-RII-a	EP/LT	EVT/RCT	12,0	>90 <100	12,1	3,0	11,7	1,2	79	MB/B	0,57	E
173		V50PB-wp80-04	OB-RII-a	EP/LT	EVT/RDD	13,5	>90 <100	14,5	4,6	13,2	1,5	87	MB/B	0,51	E
174		V1344-U10-09	OB-RII-a	EP/LT	DCT/RDD	49,6	98	50,7	4,0	49,6	0,0	90	MA/Als	1,29	A
175		G2-57-01	OB-RII-b	Giusepe 2	DCT/RDD	16,8	98	16,9	5,0	16,6	4,0	89	MB/B	0,63	H
176		V50PB-wp80-02	OB-RII-b	LT-V50	EVT/RDD	18,2	95	17,6	7,5	16,5	3,5	77	MB/B	0,51	E
177		VBAT-120-02	OB-RII-b	Batungasta	EVT/RDD	26,4	>90 <100	27,7	6,5	25,3	2,5	80,0	Me/Al	1,1	A
178		V-OLLA 03	OB-RII-b	LT-V50	EVT/RDD	32,0	58	30,2	11,5	29,0	5,0	75	MA/Als	0,68	E
179		V1344-U31-28	OB-RII-b	LT-V50	EVT/RDD	32,7	96	32,2	7,6	30,8	3,1	75	MA/Als	0,7	E
180		V1344-U31-08	OB-RII-c	LT-V50	EVT/RDD	27,2	91	27,0	4,0	25,8	2,0	68	Me/Al	0,68	E
181		G2-61-01	OB-RII-d	Giusepe 2	EVT/RDD	14,0	>90 <100	12,5	5,5	11,3	3,2	67	MB/B	0,44	E
182		V1344-U53-22	OB-RII-d	LT-V50	EVT/RCT	19,2	>90 <100	19,3	5,0	17,8	2,5	73	MB/B	0,73	E
183		V1344-U23-35/37	OB-RII-d	LT-V50	EVT/RCT	20,7	97	19,0	5,0	17,8	4,2	58	Me/Al	0,6	Ind.
184		V1344-U47-07	OB-RII-d	LT-V50	EVT/RDD	25,5	92	23,0	6,5	21,4	3,0	57	Me/Al	0,77	E
185		V50PB-177-11	OB-RII-d	LT-V50	EVT/RDD	25,7	>90 <100	24,0	9,5	21,4	5,0	67	Me/Al	0,65	E
186		V1344-U72-13	OB-RII-d	LT-V50	EVT/RDD	26,5	>90 <100	26,3	7,2	23,7	3,5	68	Me/Al	0,55	E
187		V1344-U23-34	OB-RII-d	LT-V50	EVT/RDD	27,4	96	27,0	5,2	24,5	2,0	55	Me/Al	0,69	Ind.
188		G2-14-41	OB-RII-d	Giusepe 2	EVT/RDD	28,0	>90 <100	26,2	6,0	26,0	3,2	70	Me/Al	0,77	E
189		V1344-05	OB-RII-d	LT-V50	EVT/RDD	29,6	91	27,0	9,0	24,4	3,4	51	Me/Al	0,95	Ind.

sigla	trat. Sup int	trat sup ext	Dec. Int	Dec. Ext.	Pasta	ET	Tipo cerámico	Observaciones
V50PB-wp80-08	Al-B	Al-B	S/D	S/D	I(A)	B-I	Ftivo. fino	
V-OLLA 04	Al-A	Al-A	S/D	S/D	III-C	F	Ftivo. grueso	Base cónica - Manufactura por rodetes. Hollín en superficie externa
V1344-U74-26	Pu-B	Pu-B	S/D	DDM-A	I(A)	A-IV	Saujil	
V50PB-wp80-04	Pu-B	Pu-D	S/D	DDM-D	I(A)	A-V	Ciénaga	
V1344-U10-09	Al-A	Al-A	S/D	ADM-A	VIII(B)	J	Td. Indet.	Manufactura por rodetes gruesos
G2-57-01	Al-A	Pu-B	S/D	PEL	II(B)	D-II	Saujil	Manufactura por rodetes.
V50PB-wp80-02	Pu-B	Pu-B	S/D	DDM-A	I(A)	A-IV	Ciénaga	
VBAT-120-02	Al-A	Al-A	S/D	S/D	III(B)	E	Td. Indet.	Manufactura por rodetes.
V-OLLA 03	Al-A	Al-A	S/D	S/D	III(A)	F	Ftivo. grueso	Manufactura por rodetes. Presenta ocho agujeros de reparación uniendo una fractura horizontal en la zona de unión entre cuerpo y base. Dos asas en arco, lisas, horizontales a la altura del diámetro máximo de la pieza. Inserción indeterminada. Base: Cc-ex-A-c
V1344-U31-28	Pu-B	Pu-B	S/D	PEL	I(A)	A-III	Saujil	Manufactura por rodetes, evidencia de raspado en superficie externa. Hoyo de reparación inconcluso
V1344-U31-08	Al-A	Al-A	S/D	S/D	III(B)	F	Ftivo. grueso	
G2-61-01	Pu-C	Pu-B	S/D	ADM-A	I(A)	A-II	Ftivo. fino	
V1344-U53-22	Al-A	Al-A	S/D	DDM-D	I(A)	A-V	Saujil	
V1344-U23-35/37	Al-A	Al-A	S/D	S/D	VI(B)	K	Ftivo. grueso	Manufactura por rodetes
V1344-U47-07	Al-B	Al-A	S/D	S/D	I-C	A-I	Ftivo. fino	
V50PB-177-11	Al-A	Al-A	S/D	S/D	III(B)	F	Ftivo. grueso	
V1344-U72-12	Al-B	Pu-B	S/D	PEL	I(B)	A-III	Saujil	Manufactura por rodetes
V1344-U23-34	Al-A	Al-A	S/D	S/D	VI(B)	K	Ftivo. grueso	
G2-14-41	Al-B	Al-B	S/D	S/D	II(B)	D-I	Ftivo. fino	
V1344-05	Al-A	Al-A	S/D	S/D	VI(B)	K	Ftivo. grueso	

	Perfil pieza	sigla	Variante morfológica	Sitio	borde/labio	Ø boca	AEP	Ø PC	h PC	Ø mín	h Ø mín	áng.Ø mín	capacidad	esp.	SC
190		G2-11-02	OB-RII-d	Giusepe 2	EVT/RDD	31,0	97	29,8	6,2	27,8	3,0	58	MA/Als	0,89	E
191		V1344-U72-12	OB-RII-d	LT-V50	EVT/RDD	31,2	93	30,0	6,5	28,1	3,5	67	MA/Als	0,72	E
192		V1344-U23-08	OB-RII-d	LT-V50	EVT/RCT	31,4	91	29,6	7,0	28,4	5,0	73	MA/Als	0,63	E
193		V1344-06	OB-RII-d	LT-V50	EVT/RDD	32,2	98	29,5	8,5	25,6	5,0	57	MA/Als	0,74	E
194		V50PB-177-06	OB-RII-d	LT-V50	EVT/RDD	32,4	>90 <100	27,8	6,5	26,1	4,5	54	MA/Als	0,78	E
195		V1344-U74-13	OB-RII-d	LT-V50	EVT/RDD	32,6	96	30,9	6,7	29,0	4,0	67	MA/Als	0,94	E
196		V1344-U58-27	OB-RII-d	LT-V50	EVT/RDD	32,9	96	31,0	6,7	28,8	3,6	62	MA/Als	0,97	E
197		G3-725-02	OB-RII-d	Giusepe 2	EVT/RDD	39,7	>90 <100	35,9	6,9	34,7	4,5	57	MA/Als	1,33	A
198		V-OLLA 08/1	OB-RII-d	EP/LT	EVT/RCT	40,0	95	40,0	8,5	37,9	4,0	74	MA/Als	0,79	A
199		G2-08-07	OB-RII-d	Giusepe 2	EVT/RDD	40,4	>90 <100	36,2	8,2	34,7	6,0	64	MA/Als	1,13	D
200		V1344-U74-21	OB-RII-d	LT-V50	EVT/RDD	44,8	>90 <100	43,1	6,1	41,9	4,0	72	MA/Als	0,76	A

OLLAS RESTRINGIDAS INDEPENDIENTES INFLEXIONADAS y COMPUESTAS TIPO C

201		V1344-U43-59	OC-RII-d	LT-V50	EVT/RDD	23,7	88	18,5	6,2	16,8	4,0	49	MA/Als	0,56	E
202		G3-734-02	OC-RIC-b	Giusepe 2	EVT/RDD	37,23	< 90	34	11	34,2	11,0	82	MA/Als	0,81	A

OLLAS RESTRINGIDAS DEPENDIENTES SIMPLES - TIPO D

	Perfil pieza	sigla	Variante morfológica	Sitio	borde/labio	Ø boca	áng. Boca	AEP	Ø PC	h PC	capacidad	esp.	SC
203		G2-09-01	OD-RDS-a	Giusepe 2	INV/RDD	21	147	122	29,2	7,5	MA/Als	0,58	H
204		V1344-U92-06	OD-RDS-a	LT-V50	INV/RCT	27,5	161	133	40,8	8	MA/Als	0,61	E

BASES

	Perfil pieza	sigla	Sitio	forma de la base	Modalidad base	Ø base	AE- base	Eversion de la base	espesor base	esp. Cpo	SC
205		V50PB-175-38	LT-V50	Cóncavo-convexa	Cc-Cx-A	6,1	135	desde PT	0,63	0,6	H
206		V1344-U66-33	LT-V50	Cóncavo-convexa	Cc-Cx-A	8	128	desde PT	0,78	0,62	E
207		V1344-U74-62	LT-V50	Cóncavo-convexa	Cc-Cx-A	12	124	desde PT	0,72	0,72	E
208		V50PB-175-02/03/08	LT-V50	Cóncavo-convexa	Cc-Cx-A	4,5	151	desde PT	0,44	0,58	H
209		V50PB-R1-E-04	LT-V50	Cóncavo-convexa	Cc-Cx-A	4,5	156	desde PT	0,49	0,6	L
210		V1344-04	LT-V50	Cóncavo-convexa	Cc-Cx-A	6	153	desde PT	0,41	0,58	E
211		V1344-U13-02	LT-V50	Cóncavo-convexa	Cc-Cx-A	7,5	143	desde PT	0,63	0,68	E
212		V50PB-SN-03	LT-V50	Cóncavo-convexa	Cc-Cx-A	7,5	146	desde PT	0,9	0,67	A
213		V1344-U29-18	LT-V50	Cóncavo-convexa	Cc-Cx-A	7,5	154	desde PT	0,92	0,61	A

sigla	trat. Sup int	trat sup ext	Dec. Int	Dec. Ext.	Pasta	ET	Tipo cerámico	Observaciones
G2-11-02	Al-A	Al-A	S/D	S/D	III(B)	F	Ftivo. grueso	Manufactura por rodetes
V1344-U72-12	Al-B	Pu-B	S/D	PEL	I(A)	A-III	Saujil	
V1344-U23-08	Al-A	Pu-A	S/D	DDM-D	I(A)	A-V	Saujil	
V1344-06	Al-A	Pu-A	S/D	DDM-F	III(A)	F	Saujil	
V50PB-177-06	Al-B	Al-B	S/D	DDM-D	II(A)	D-III	Saujil	
V1344-U74-13	Al-A	Al-A	S/D	S/D	III(B)	F	Ftivo. grueso	
V1344-U58-27	Al-A	Al-A	S/D	N/P	III(B)	F	Ftivo. grueso	Manufactura por rodetes
G3-725-02	Al-A	Al-A	S/D	S/D	VII(B)	I	Td. Indet.	
V-OLLA 08/1	Al-A	Al-A	S/D	S/D	VII(A)	I	Td. Indet.	Base cónica - Manufactura por rodetes.
G2-08-07	Al-A	Al-A	S/D	ADM-A	VII-C	I	Td. Indet.	Manufactura por rodetes.
V1344-U74-21	Al-B	Al-B	ADP-A	ADP-A	VIII(B)	J	Sanagasta	Manufactura por rodetes
V1344-U43-59	Al-B	Pu-B	S/D	S/D	I(A)	A-II	Ftivo. fino	Manufactura por rodetes
G3-734-02	Pu-C	Pu-C	ADP-D	ADP-D	I-C	B-III	Belén	

sigla	trat. sup int	trat sup ext	Dec. Int	Dec. Ext.	Pasta	ET	Tipo cerámico	Observaciones
G2-09-01	Al-A	Pu-B	S/D	ADP-B + PEL	III(A)	D-II	Saujil	
V1344-U92-06	Al-A	Al-A	S/D	S/D	III(A)	F	Ftivo. fino	

sigla	trat. sup int	trat sup ext	Dec. Int	Dec. Ext.	Pasta	ET	Tipo cerámico	Observaciones
V50PB-175-38	Pu-B	Pu-B	PEL	ADP-B	II(A)	D-II	Saujil	
V1344-U66-33	Pu-B	Pu-B	PEL	PEL	I(A)	A-III	Saujil	Base sobre molde
V1344-U74-62	Al-B	Al-B	S/D	S/D	II(A)	D-I	Ftivo. fino	Base sobre molde
V50PB-175-02/03/08	Pu-B	Pu-B	ADP-B	ADP-B	II(A)	D-II	Saujil	
V50PB-R1-E-04	Pu-B	Pu-B	S/D	S/D	II(B)	D-I	Ftivo. fino	
V1344-04	Pu-B	Pu-B	PEL	S/D	II(A)	D-II	Saujil	
V1344-U13-02	Pu-A	Pu-A	S/D	S/D	I(B)	A-II	Ftivo. fino	Marcada evidencia de la unión entre la base (moldeada) y el cuerno.
V50PB-SN-03	Pu-D	Pu-D	ADP-A	S/D	I(B)	B-II	Aguada	
V1344-U29-18	Pu-C	Pu-C	S/D	S/D	I(B)	B-I	Ftivo. fino	Base sobre molde

	Perfil pieza	sigla	Sitio	forma de la base	Modalidad base	Ø base	AE- Eversion de base la base	espesor base	esp. Cpo	SC
214		V50PB-06	LT-V50	Cóncavo-convexa	Cc-Cx-A	8,4	149 desde PT	0,61	0,61	E
215		V1344-U23-43	LT-V50	Cóncavo-convexa	Cc-Cx-A	8,5	155 desde PT	0,95	0,61	E
216		V1344-U92-02	LT-V50	Cóncavo-convexa	Cc-Cx-A	9	151 desde PT	0,81	0,62	E
217		V1344-U43-39	LT-V50	Cóncavo-convexa	Cc-Cx-A	9,4	149 desde PT	0,89	0,56	A
218		V1344-U29-17	LT-V50	Cóncavo-convexa	Cc-Cx-A	12	144 desde PT	0,92	0,92	E
219		V1344-U31-22	LT-V50	Cóncavo-convexa	Cc-Cx-A	12	144 desde PT	0,61	0,62	E
220		V1344-U43-48	LT-V50	Cóncavo-convexa	Cc-Cx-A	12	150 desde PT	0,65	0,62	E
221		G2-02-04	Giusepe 2	Cóncavo-convexa	Cc-Cx-B	7	116 en pedestal	1,36	0,99	A
222		VBAT-004-02	Batungasta	Cóncavo-convexa	Cc-Cx-B	7,3	127 en pedestal	1,56	0,91	A
223		VBAT-020	Batungasta	Cóncavo-convexa	Cc-Cx-B	8,9	125 en pedestal	1,79	0,81	A
224		G2-02-03	Giusepe 2	Cóncavo-convexa	Cc-Cx-B	9	121 en pedestal	1,12	1,17	A
225		G2-65FM-03-a	Giusepe 2	Cóncavo-convexa	Cc-Cx-B	9,6	132 en pedestal	0,8	0,86	A
226		VBAT-070-01/02	Batungasta	Cóncavo-convexa	Cc-Cx-B	10	137 en pedestal	1,6	0,83	A
227		VBAT-093-02	Batungasta	Cóncavo-convexa	Cc-Cx-B	11	130 en pedestal	1,25	0,91	A
228		VBAT-021	Batungasta	Cóncavo-convexa	Cc-Cx-B	10	155 en pedestal	1,35	0,6	A
229		V1344-U43-53	Batungasta	Recta	Recta	4,7	139 desde PT	0,4	0,35	E
230		G2-12-02	Giusepe 2	Recta	Recta	8,5	119 desde PT	0,69	0,55	E
231		VBAT-001/2	Batungasta	Pie	Pie	9,4	n/p n/p	1,04		A
232		VBAT-139-01	Batungasta	Pie	Pie	9,4	n/p n/p	0,91		A
233		VBAT-138-03	Batungasta	Pie	Pie	11	n/p n/p	0,89		A

MATERIALES PROCEDENTES DEL VALLE MEDIO

ESCUILLAS, PUCOS Y VASOS NO RESTRINGIDOS SIMPLES

	Perfil pieza	sigla	Variante morfológica		borde/labio	Ø boca	áng. boca	AEP	capac.	esp.	SC
234		Mishma2-07	Es-NRS-a	Mishma 2	DCT/RCT	12,4	89	64	MB	0,51	A
235		Mishma2-06	Es-NRS-a	Mishma 2	DCT/RDD	30,5	57	53	Me	0,66	H
236		Mishma2-08	Es-NRS-b	Mishma 2	DCT/RDD	18,0	88	57	MB	0,53	A
237		PC-025	Es-NRS-b	Punta Colorada	HZT-EI/ RDD	24,2	84	52	Ba	0,63	E
238		Mishma2-09	Es-NRS-b	Mishma 2	DCT/RCT	26,0	82	51	Ba	0,61	E
239		Huan-19	Pu-NRS-a	Huanchín	DCT/RDD	14,9	70	69	MB	0,59	G
240		Huan-26	Pu-NRS-a	Huanchín	DCT/RDD	18,4	73	68	MB	0,59	E
241		PC-011	Pu-NRS-a	Punta Colorada	DCT/RCT	23,4	80	77	Ba	0,4	A
242		PC-020	Pu-NRS-a	Punta Colorada	DCT/RDD	23,8	90	76	Ba	0,57	E
243		PC-145	Pu-NRS-a	Punta Colorada	DCT/EBI	24,1	85	75	Ba	0,58	E
244		PC-156	Pu-NRS-a	Punta Colorada	DCT/RCT	24,3	85	75	Ba	0,54	A
245		Huan-18	Pu-NRS-a	Huanchín	DCT/RCT	24,4	81	70	Ba	0,62	J
246		Huan-11	Pu-NRS-a	Huanchín	DCT/RCT	25,2	76	72	Ba	0,62	E
247		Huan-20	Pu-NRS-a	Huanchín	DCT/RCT	25,5	84	79	Ba	0,58	A

sigla	trat. sup int	trat sup ext	Dec. Int	Dec. Ext.	Pasta	ET	Tipo cerámico	Observaciones
V50PB-06	Pu-B	Pu-B	PEL	DDM-A	II(A)	D-III	Saujil	Base sobre molde
V1344-U23-43	Pu-A	Al-A	S/D	S/D	I(A)	A-II	Ftivo. fino	Base sobre molde
V1344-U92-02	Pu-B	Al-A	PEL	S/D	II(B)	D-II	Saujil	
V1344-U43-39	Pu-C	Pu-C	S/D	APD-C	I(A)	B-II	Aguada	
V1344-U29-17	Pu-B	Al-B	S/D	S/D	II(B)	D-I	Ftivo. fino	Evidencias de manufactura por rodete adosados a una base moldeada
V1344-U31-22	Pu-B	Al-A	S/D	S/D	I(A)	A-II	Ftivo. fino	
V1344-U43-48	Pu-B	Al-A	S/D	S/D	I(A)	A-II	Ftivo. fino	Base sobre molde, evidencias de paletado en superficie externa
G2-02-04	Al-B	Al-B	ADP-A	ADP-A	VII(B)	I	Td. Indet	Base sobre molde con evidencias de estiramiento de materia
VBAT-004-02	Al-A	Pu-C	S/D	ADP-D	I(B)	B-III	Belén	Base sobre molde con evidencias de estiramiento de materia
VBAT-020	Al-A	Al-A	S/D	S/D	VIII-C	N/P	Td. Indet	Base sobre molde con evidencias de estiramiento de materia - hollín en superficie externa
G2-02-03	Al-A	Al-A	S/D	S/D	III(B)	E	Td. Indet	Base sobre molde con evidencias de estiramiento de materia
G2-65FM-03-a	Pu-C	Pu-C	ADP-D	ADP-D	VIII(B)	J	Belén	Base sobre molde con evidencias de estiramiento de materia
VBAT-070-01/02	Al-B	Pu-C	S/D	ADP-D	VII(A)	J	Belén	Base sobre molde con evidencias de estiramiento de materia
VBAT-093-02	Pu-C	Pu-C	S/D	ADP-D	VIII(A)	J	Belén	Base sobre molde con evidencias de estiramiento de materia
VBAT-021	Al-A	Al-A	S/D	S/D	II(B)	E	Td. Indet	Base sobre molde con evidencias de estiramiento de materia
V1344-U43-53	Al-B	Pu-C	S/D	DDM-A	I(A)	A-IV	Saujil	
G2-12-02	Pu-C	Pu-C	S/D	S/D	II(B)	D-I	Ftivo. fino	
VBAT-001/2	Al-A	Al-A	S/D	S/D	II(B)	E	Inka	
VBAT-139-01	Al-A	Al-A	S/D	S/D	VII-O	I	Inka	
VBAT-138-03	Al-A	Al-A	S/D	S/D	atípica	indet.	Inka	

sigla	Trat. sup. Int.	Trat. sup. ext.	Dec. Int	Dec. Ext.	Pasta	ET	Tipo cerámico	Observaciones
Mishma2-07	Pu-B	Pu-B	S/D	ADP-A	I(A)	B-II	Aguada	
Mishma2-06	Pu-B	Pu-A	ADP-B	ADM-A	I(A)	A-III	Saujil	
Mishma2-08	Al-B	Al-B	S/D	S/D	I(A)	B-I	Ftivo. fino	
PC-025	Pu-C	Pu-C	S/D	ADM-A	I(A)	A-II	Aguada	
Mishma2-09	Al-A	Al-A	S/D	S/D	III(B)	F	Ftivo. grueso	
Huan-19	Pu-D	Pu-C	S/D	RDM-A	I(A)	A-VI	Aguada	
Huan-26	Pu-C	Pu-C	S/D	S/D	I(A)	A-II	Ftivo. fino	
PC-011	Al-B	Al-B	S/D	ADP-A	I(A)	B-II	Aguada	
PC-020	Al-B	Al-B	S/D	S/D	I(A)	A-I	Ftivo. fino	
PC-145	Pu-B	Pu-C	S/D	RDM-A	I(A)	A-VI	Aguada	
PC-156	Pu-D	Pu-D	S/D	ADP-A	I(A)	B-II	Aguada	
Huan-18	Pu-C	Pu-D	S/D	ADP-A	I(A)	C	Aguada	
Huan-11	Pu-C	Al-A	S/D	S/D	I(A)	A-II	Ftivo. fino	Raspado en superficie externa. Posible piqueteado en el interior. Asas atrofiadas al pastillajes.
Huan-20	Pu-C	Pu-C	S/D	RDM-A	I(A)	A-VI	Aguada	

	Perfil pieza	sigla	Variante morfológica	Sitio	borde/labio	Ø boca	áng. boca	AEP	capac.	esp.	SC
248		Huan-27	Pu-NRS-a	Huanchín	DCT/RDD	25,9	68	66	Ba	0,56	E
249		Huan-15	Pu-NRS-b	Huanchín	DCT/RDD	14,4	81	81	MB	0,47	G
250		PC-157	Pu-NRS-b	Punta Colorada	DCT/EBI	14,7	87	82	MB	0,49	E
251		PC-026	Pu-NRS-b	Punta Colorada	DCT/RDD	15,3	90	83	MB	0,56	E
252		PC-082	Pu-NRS-b	Punta Colorada	DCT/RCT	16,1	90	83	MB	0,59	E
253		MSH-7-06	Pu-NRS-b	Mishma 7	HZT-EE/ RCT	16,8	90	87	MB	0,61	A
254		Huan-25	Pu-NRS-b	Huanchín	HZT-EI/ RDD	19,2	90	82	MB	0,51	G
255		Huan-04	Pu-NRS-b	Huanchín	DCT/EBI	19,5	90	86	MB	0,52	E
256		Huan-17	Pu-NRS-b	Huanchín	DCT/RCT	19,8	90	84	MB	0,59	E
257		MSH-1-06	Pu-NRS-b	Mishma 1	DCT/RCT	26,5	90	88	Ba	0,61	A
258		PC-154	Pu-NRS-b	Punta Colorada	DCT/RDD	26,9	90	88	Ba	0,58	E
259		Huan-06	Va-NRS-a	Huanchín	DCT/RCT	10,1	90	90	MB	0,4	E
260		PC-048	Va-NRS-a	Punta Colorada	EVT/RDD	10,7	72	85	MB	0,52	E
261		Huan-13	Va-NRS-a	Huanchín	DCT/RCT	12,6	90	90	MB	0,41	E
262		PC-049	Va-NRS-a	Punta Colorada	DCT/RDD	14,3	90	90	MB	0,45	E

ESCUILLAS Y PUCOS NO RESTRINGIDOS COMPUESTOS E INFLEXIONADOS

	Perfil pieza	sigla	Variante morfológica	Sitio	borde/labio	Ø boca (cm)	AEP	Ø PC	h PC	capacidad	esp.	AC
263		PC-003	Es-NRC-a	Punta Colorada	EVT/RDD	29,03	58	24,4	5	Ba	0,7	A
264		Huan-33	Es-NRC-a	Huanchín	EVT/RCT	29,26	59	24,8	5	Ba	0,55	E
265		Huan-28	Es-NRC-b	Huanchín	DCT/RCT	22,96	60	20,5	3,6	Ba	0,54	E
266		PC-098	Es-NRC-b	Punta Colorada	DCT/RCT	27,83	63	25,5	4,2	Ba	0,5	E
267		Huan-30	Es-NRC-b	Huanchín	DCT/EBI	30,55	51	28,1	2,6	Me	0,57	E
268		Huan-03	Es-NRC-b	Huanchín	DCT/RCT	34,25	54	32,9	4,2	Me	0,6	G
269		Huan-08	Es-NRC-b	Huanchín	DCT/RCT	34,95	52	33,0	4,3	Me	0,61	E
270		Mishma2-05	Es-NRC-d	Mishma 2	DCT/RCT	20,59	48	20,6	3,4	Ba	0,54	E
271		Mishma2-04	Es-NRC-d	Mishma 2	DCT/RCT	26,65	61	26,7	2,5	Ba	0,56	E
272		Mishma2-10	Pu-NRC-a	Mishma 2	HZT-EI/ RDD	24,24	73	25,1	3,4	Ba	0,7	E
273		PC-152	Pu-NRC-a	Punta Colorada	EVT/RDD	28,45	74	27,0	3,9	Ba	0,65	A
274		PC-158	Pu-NRC-a	Punta Colorada	EVT/RDD	32,19	79	32,0	4,5	Me	0,56	A
275		PC-006	Pu-NRC-b	Punta Colorada	DCT/RDD	28,47	66	23,2	7,7	Ba	0,65	E
276		PC-150	Pu-NRC-b	Punta Colorada	DCT/RDD	31,32	66	27,8	5,5	Me	0,48	E
277		melga2-01	Pu-NRC-d	Guanchín	DCT/RDD	19,65	73	19,7	2,6	MB	0,41	E
278		Mishma2-03	Pu-NRC-d	Mishma 2	DCT/RDD	22,26	70	22,3	2,8	Ba	0,49	E
279		Huan-32	Pu-NRC-d	Huanchín	DCT/RCT	23,61	69	22,5	3,5	Ba	0,77	E
280		PC-008	Pu-NRC-d	Punta Colorada	DCT/RDD	23,8	74	23,0	3	Ba	0,7	A
281		Huan-05	Pu-NRC-d	Huanchín	HZT-EI/ RDD	24,71	74	24,5	3,2	Ba	0,5	E
282		Huan-07	Pu-NRC-d	Huanchín	HZT-EE/ RCT	25,7	73	25,7	2,8	Ba	0,51	E
283		Huan-29	Pu-NRC-d	Huanchín	DCT/RCT	26,46	70	26,5	3,5	Ba	0,62	E

sigla	Trat. sup. Int.	Trat. sup. ext.	Dec. Int	Dec. Ext.	Pasta	ET	Tipo cerámico	Observaciones
Huan-27	Pu-B	Pu-B	PEL	PEL	I(A)	A-III	Saujil	
Huan-15	Pu-D	Pu-D	S/D	RDM-A	I(A)	A-VI	Aguada	
PC-157	Pu-B	Pu-B	S/D	RDM-A	I(A)	A-VI	Aguada	
PC-026	Pu-D	Pu-D	S/D	S/D	I(A)	A-II	Ftivo. fino	
PC-082	Pu-C	Pu-C	S/D	DDM-A	I(A)	A-IV	Aguada	
MSH-7-06	Al-A	Al-A	S/D	S/D	III(B)	E	Tardío indet.	
Huan-25	Pu-B	Pu-B	S/D	S/D	I(A)	A-II	Ftivo. fino	
Huan-04	Pu-C	Pu-D	S/D	RDM-A	I(A)	A-VI	Aguada	
Huan-17	Pu-C	Pu-C	S/D	RDM-A	I(A)	A-VI	Aguada	
MSH-1-06	Pu-C	Pu-C	ADP-D	ADP-D + RDM-B	I-C	B-III	Belén	
PC-154	Pu-B	Pu-C	S/D	S/D	I(A)	A-III	Ftivo. fino	
Huan-06	Pu-D	Pu-D	S/D	RDM-A	I(A)	A-VI	Aguada	
PC-048	Pu-C	Pu-C	S/D	DDM-A	I(A)	A-IV	Ciénaga	
Huan-13	Pu-B	Pu-B	S/D	RDM-A	I(A)	A-VI	Aguada	
PC-049	Pu-B	Pu-C	S/D	DDM-A	I(A)	A-IV	Ciénaga	

sigla	trat. Sup int	trat sup ext	Dec. Int	Dec. Ext.	Pasta	ET	Tipo cerámico	Observaciones
PC-003	Pu-C	Pu-C	S/D	ADP-B	I(A)	B-II	Aguada	
Huan-33	Pu-C	Pu-C	S/D	RDM-A	I(A)	A-VI	Aguada	
Huan-28	Pu-B	Pu-C	S/D	S/D	I(A)	A-II	Ftivo. fino	
PC-098	Pu-D	Pu-D	S/D	RDM-A	I(A)	A-VI	Aguada	
Huan-30	Pu-C	Pu-C	S/D	DDM-A	I(A)	A-IV	Saujil	
Huan-03	Pu-D	Pu-D	S/D	RDM-A	I(B)	A-VI	Aguada	
Huan-08	Pu-B	Pu-B	S/D	DDM-A	I(A)	A-IV	Saujil	
Mishma2-05	Pu-C	Pu-C	S/D	DDM-A	I(A)	A-IV	Ftivo. fino	
Mishma2-04	Pu-B	Pu-B	S/D	DDM-A	I(A)	A-IV	Saujil	
Mishma2-10	Pu-B	Pu-B	S/D	PEL	I(A)	A-III	Saujil	Evidencia de manufactura por rodetes
PC-152	Pu-B	Pu-B	S/D	ADP-A	I(A)	B-II	Aguada	
PC-158	Pu-B	Pu-C	S/D	ADP-A	I(A)	B-II	Aguada	
PC-006	Pu-C	Al-B	S/D	S/D	I(A)	A-II	Ftivo. fino	Rastros de hollín en superficie externa. Dos asas atrofiadas al pastillaje sobre el PA. Piqueteado interno por debajo del PA
PC-150	Pu-D	Pu-D	S/D	RDM-A	I(A)	A-VI	Aguada	
melga2-01	Pu-B	Pu-B	PEL	DDM-A + PEL	I(A)	A-IV	Saujil	
Mishma2-03	Pu-B	Pu-B	PEL	DDM-A	I(A)	A-IV	Saujil	
Huan-32	Pu-B	Pu-B	S/D	S/D	I(A)	A-II	Ftivo. fino	
PC-008	Pu-C	Al-B	S/D	RDM-A	I(A)	A-VI	Aguada	
Huan-05	Pu-B	Pu-B	S/D	DDM-A	I(A)	A-IV	Saujil	
Huan-07	Pu-B	Pu-B	PEL	DDM-A + PEL	I(A)	A-IV	Saujil	El pulido es posterior al inciso
Huan-29	Pu-B	Pu-B	PEL	S/D	I(A)	A-III	Saujil	

	Perfil pieza	sigla	Variante morfológica	Sitio	borde/labio	Ø boca (cm)	AEP	Ø PC	h PC	capacidad	esp.	SC
284		Huan-31	Pu-NRC-d	Huanchín	DCT/RDD	29,66	78	29,7	3,5	Ba	0,63	J
285		melga2-02	Pu-NRC-d	Guanchín	DCT/RCT	31,03	70	31,0	3	Me	0,49	E
286		BY-F1	Pu-NRI-a	Las Champas	DCT/RDD	24,5	85	24,0	2	Ba	0,62	A
287		BY-F2	Pu-NRI-a	Las Champas	DCT/RDD	24,5	68	22,5	2,5	Ba	0,72	A

PUCOS RESTRINGIDOS DEPENDIENTES COMPUESTOS Y SIMPLES

288		Huan-22	Pu-RDC-b	Huanchín	DCT/RDD	17,45	92	19,5	2,2	MB	0,49	E	
289		PC-046	Pu-RDC-b	Punta Colorada	DCT/RDD	18,6	88	19,6	3	MB	0,65	E	
290		Huan-10	Pu-RDC-b	Huanchín	DCT/RCT	19,93	80	20,6	4,3	MB	0,5	E	
291		Mishma2-01	Pu-RDC-b	Mishma 2	DCT/RCT	25,5	88	26,4	2,8	Ba	0,58	E	
	Perfil pieza	sigla	Variante morfológica	Sitio	borde/labio	Ø boca	áng. boca	AEP	Ø PC	h PC	capacidad	esp.	SC
292		Tumhuaq2-03	Pu-RDS-a	Guanchín	INV/RDD	21,85	102	104	23,5	2,9	Ba	0,61	A
293		PC-151	Pu-RDS-a	Punta Colorada	INV/RDD	25,96	106	100	26,4	1,1	Ba	0,54	A
294		Tumhuaq2-12	Pu-RDS-a	Guanchín	INV/RDD	30,5	105	102	31,2	2	Me	0,75	A
295		melga2-08	Pu-RDS-a	Guanchín	INV/RDD	33,36	104	100	34,2	2,5	Me	0,62	E
296		PC-027	Pu-RDS-b	Punta Colorada	INV/RDD	14,52	119	113	16	1,55	MB	0,5	E
297		Huan-02	Pu-RDS-b	Huanchín	INV/RCT	19,5	115	106	20	1	MB	0,41	A
298		Huan-09	Pu-RDS-b	Huanchín	INV/RDD	25,44	114	107	26,1	1,6	Ba	0,62	A
299		Tumhuaq2-11	Pu-RDS-b	Guanchín	INV/RDD	30	119	111	31,5	1,65	Me	0,79	A

OLLAS RESTRINGIDAS INDEPENDIENTES INFLEXIONADAS Y COMPUESTAS TIPO A

	Perfil pieza	sigla	Variante morfológica	Sitio	borde/labio	Ø boca	AEP	Ø PC	h PC	Ø min	h Ø min	áng. Ø min	capacidad	esp.	SC
300		MSH-7-16	OA-RII-a	Mishma 7	EVT/RCT	11,9	102	12,1	2,0	11,4	1,0	81	Mb/B	0,41	B
301		Huan-12	OA-RII-a	Huanchín	EVT/RDD	19,7	112	20,0	3,0	19,0	1,3	78	Me/MA	0,63	A
302		Huan-21	OA-RII-a	Huanchín	EVT/RDD	21,0	102	21,8	4,5	19,8	2,2	75	MA/Als	0,67	A
303		MSH-1-05	OA-RII-a	Mishma 1	EVT/RCT	22,7	119	24,1	3,5	22,1	1,5	78	MA/Als	0,51	A
304		Huan-16	OA-RII-c	Huanchín	EVT/RDD	12,4	102	12,4	3,1	10,8	1,7	63	Mb/B	0,43	A
305		PC-155	OA-RII-c	Punta Colorada	EVT/RDD	22,5	117	22,2	2,1	21,6	1,0	58	MA/Als	0,53	A
306		MSH-7-05	OA-RII-c	Mishma 7	EVT/RDD	28,5	104	28,2	3,7	26,7	2,3	71	MA/Als	0,98	A
307		MSH-2-01	OA-RII-d	Mishma 2	EVT/RDD	36,9	102	37,4	8,0	34,3	3,0	66	MA/Als	0,72	A
308		Huan-24	OA-RIC-a	Huanchín	EVT/RDD	9,55	107	9,2	3	9,06	0,7	76	Mb/B	0,46	E
309		PC-153	OA-RIC-b	Punta Colorada	EVT/RDD	14,79	113	16	5,2	14,6	1,5	88	Mb/B	0,54	A
		PC-005	OA-RIC-b	Punta Colorada	EVT/RDD	17,86	114	18	8,1	14,5	5,5	77	Me/MA	0,55	Ind.

sigla	trat. Sup int	trat sup ext	Dec. Int	Dec. Ext.	Pasta	ET	Tipo cerámico	Observaciones
Huan-31	Pu-C	Pu-C	S/D	S/D	I(A)	C	Ftivo. fino	
melga2-02	Pu-B	Pu-A	PEL	DDM-A + PEL	I(A)	A-IV	Saujil	
BY-F1	Pu-C	Pu-C	ADP-D	ADP-D	I(B)	B-III	Belén	Base cóncavo convexa tipo A, sobre molde
BY-F2	Pu-C	Pu-C	ADP-D	ADP-D	I-C	B-III	Belén	Base cóncavo convexa tipo A, sobre molde

Huan-22	Pu-B	Pu-B	S/D	DDM-A	I(A)	A-IV	Saujil	
PC-046	Pu-B	Pu-B	PEL	DDM-A	I(A)	A-IV	Saujil	
Huan-10	Pu-C	Pu-C	S/D	S/D	I(A)	A-II	Ftivo. fino	
Mishma2-01	Pu-B	Pu-A	S/D	S/D	I(A)	A-II	Ftivo. fino	
sigla	trat. sup int	trat sup ext	Dec. Int	Dec. Ext.	Pasta	ET	Tipo cerámico	Observaciones
Tumhuaq2-03	Al-A	Al-A	ADP-A	ADP-A	III(B)	E	Sanagasta	Manufactura por rodetes
PC-151	Al-B	Pu-C	S/D	ADP-A	I(A)	B-II	Aguada	Manufactura por rodetes
Tumhuaq2-12	Al-A	Al-A	ADP-A	ADP-A + ADM-A	III(A)	E	Sanagasta	Manufactura por rodetes
melga2-08	Al-B	Al-A	S/D	S/D	IV(B)	G-III	Ftivo. fino	
PC-027	Pu-B	Pu-B	S/D	S/D	I(A)	A-II	Ftivo. fino	
Huan-02	Al-B	Pu-C	S/D	ADP-B	I(A)	B-II	Aguada	Dos agujeros de reparación, uno inconcluso
Huan-09	Pu-C	Pu-C	S/D	ADP-A	I(A)	B-II	Aguada	
Tumhuaq2-11	Al-A	Al-A	S/D	S/D	II(B)	E	Td. Indet	

sigla	trat. Sup int	trat sup ext	Dec. Int	Dec. Ext.	Pasta	ET	Tipo cerámico	Observaciones
MSH-7-16	Al-A	Pu-C	S/D	ADP-D + RDM-B	VII(A)	I	Belén	
Huan-12	Al-B	Al-B	S/D	S/D	I(B)	B-I	Ftivo. fino	
Huan-21	Pu-D	Pu-D	S/D	ADP-A	II(A)	E	Aguada	
MSH-1-05	Al-B	Al-B	S/D	S/D	VII(A)	I	Td. Indet	Asa en arco, lisa, vertical, labio-cuerpo adherida al pastillaje
Huan-16	Pu-D	Pu-D	S/D	ADP-A	I(A)	B-II	Aguada	
PC-155	Al-B	Al-B	S/D	ADP-A	I(B)	B-II	Aguada	
MSH-7-05	Al-B	Al-B	S/D	ADP-A	VII(A)	I	Sanagasta	Manufactura por rodetes
MSH-2-01	Al-A	Al-A	ADP-A	ADP-D	VII(B)	J	Sanagasta	Manufactura por rodetes, hoyo de reparación cónico desde el exterior
Huan-24	Al-B	Al-B	S/D	S/D	I(A)	A-I	Ftivo. fino	
PC-153	Al-A	Al-B	S/D	ADP-A	I(A)	B-II	Aguada	
PC-005	Al-A	Al-A	S/D	S/D	VI(B)	K	Ftivo. grueso	Manufactura por rodetes, hollín en superficie externa

	Perfil pieza	sigla	Variante morfológica	Sitio	borde/labio	Ø boca	AEP	Ø PC	h PC	Ø mín	h Ø mín	áng. Ø mín	capacidad	esp.	SC
311		PC-146	OA-RIC-b	Punta Colorada	EVT/RDD	25,59	106	25	5	24,2	1,7	73	MA/Als	0,59	A
312		PC-014	OA-RIC-b	Punta Colorada	DCT/RCT	28,55	100	28	7	27,4	4,5	83	MA/Als	0,57	B
313		PC-149	OA-RIC-d	Punta Colorada	EVT/RDD	23,08	101	23	6,1	19,5	5,0	70	MA/Als	0,77	A

OLLAS RESTRINGIDAS INDEPENDIENTES INFLEXIONADAS Y COMPUESTAS TIPO B

314		PC-125	OB-RII-a	Punta Colorada	EVT/RDD	8,2	>90 <100	8,4	3,7	7,6	1,5	83	Mb/B	0,37	E
315		Melga-01	OB-RII-a	Guanchín	EVT/RDD	26,0	94	26,0	2,9	25,8	2,0	89	Me/MA	0,9	A
316		PC-013	OB-RII-b	Punta Colorada	EVT/RCT	34,2	96	33,6	8,0	32,4	3,8	75	MA/Als	0,86	A
317		Huan-23	OB-RII-c	Huanchín	EVT/RCT	19,3	95	18,0	4,0	17,3	2,0	62	Mb/B	0,62	E
318		Tumhuaq2-04	OB-RII-c	Guanchín	EVT/RDD	25,5	99	23,0	4,5	23,1	3,0	64	Me/Al	0,69	K
319		MSH-3-A	OB-RIC-d	Mishma 3	EVT/RDD	32,23	99	30	10	29,3	3,9	67	MA/Als	0,6	A

OLLAS RESTRINGIDAS INDEPENDIENTES INFLEXIONADAS y COMPUESTAS TIPO C

320		MSH-1-01	OC-RII-d	Mishma 1	EVT/RDD	36,2	86	21,2	10,5	31,4	7,5	72	MA/Als	1,19	A
321		MSH-1-03	OC-RIC-b	Mishma 1	EVT/RCT	32,9	89	30,5	8,5	30,1	5,5	75	MA/Als	0,7	A
322		BY-F7	OC-RIC-d	Las Champas	EVT/RDD	28,6	80	32,3	9,5	23,3	9,5	71	MA/Als	0,9	A

OLLAS RESTRINGIDAS DEPENDIENTES SIMPLES - TIPO D

	Perfil pieza	sigla	Variante morfológica	Sitio	borde/labio	Ø boca	áng. Boca	AEP	Ø PC	h PC	capacidad	esp.	AC
323		Melga-02	OD-RDS-a	Guanchín	INV/RDD	20,4	155	129	28,7	6	Me/Al	1	A

BASES

	Perfil pieza	sigla	Sitio	forma de la base	Modalidad base	Ø base	AE-base	Eversion de la base	espesor base	esp. Cpo	SC
324		Huan-14	Huanchín	Cóncavo-convexa	Ce-Cx-A	5,3	138	desde PT	0,48	0,45	E
325		Tomadeagua-01	Guanchín	Cóncavo-convexa	Ce-Cx-A	8,2	138	desde PT	0,75	1,2	A
326		PC-004	Punta Colorada	Cóncavo-convexa	Ce-Cx-A	8,7	138	desde PT	0,55	0,6	J
327		Tumhuaq2-09/10	Guanchín	Cóncavo-convexa	Ce-Cx-B	8,5	128	en pedestal	0,73	0,7	A
328		Tumhuaq2-06	Guanchín	Cóncavo-convexa	Ce-Cx-B	10	134	en pedestal	0,6	0,65	A
329		MSH-3-03	Mishma-3	Cóncavo-convexa	Ce-Cx-B	8,5	149	en pedestal	0,8	0,62	D
330		Mishma2-02	Mishma-2	Recta	Recta	8,3	115	desde PT	0,58	0,62	E

sigla	trat. Sup int	trat sup ext	Dec. Int	Dec. Ext.	Pasta	ET	Tipo cerámico	Observaciones
PC-146	Al-B	Al-B	S/D	ADP-A	I(A)	B-II	Aguada	
PC-014	Al-B	Al-B	S/D	S/D	III(A)	E	Ftivo. fino	
PC-149	Al-B	Al-A	S/D	ADP-A	I(B)	B-II	Aguada	Manufactura por rodetes
PC-125	Pu-B	Pu-B	S/D	PEL	I(A)	A-III	Saujil	
Melga-01	Al-A	Al-A	S/D	S/D	VIII(A)	J	Td. Indet	
PC-013	Al-A	Al-A	S/D	S/D	atípica	indet.	Ftivo. grueso	Manufactura por rodetes
Huan-23	Al-A	Pu-A	S/D	S/D	I(A)	A-II	Ftivo. fino	
Tumhuaq2-04	Al-A	Al-A	S/D	S/D	VII-C	I	Td. Indet	
MSH-3-A	Al-B	Al-B	ADP-D	ADP-D + RDM-B	VII(B)	J	Td. Indet	
MSH-1-01	Al-B	Al-B	S/D	ADM-A	VIII(B)	J	Td. Indet	
MSH-1-03	Pu-C	Pu-C	S/D	ADP-D	I(B)	B-III	Belén	
BY-F7	Pu-C	Pu-C	ADP-D	ADP-D + RDM-B + ADM-B	I-C	B-III	Belén	Base cóncavo convexa tipo A, sobre molde, manufactura por rodetes

sigla	trat. sup int	trat sup ext	Dec. Int	Dec. Ext.	Pasta	ET	Tipo cerámico	Observaciones
Melga-02	Al-A	Al-A	S/D	S/D	VIII(A)	J	Td. Indet	Asa en arco, lisa, vertical, labio-cuerpo adherida al pastillaje

sigla	trat. sup int	trat sup ext	Dec. Int	Dec. Ext.	Pasta	ET	Tipo cerámico	Observaciones
Huan-14	Pu-C	Pu-C	S/D	RDM-A	I(A)	A-VI	Aguada	Base sobre molde
Tomadecagua-01	Al-A	Al-A	S/D	S/D	VIII-C	J	Td. Indet	Base sobre molde
PC-004	Pu-D	Pu-D	S/D	ADP-C	I(A)	C	Aguada	Base sobre molde
Tumhuaq2-09/10	Al-A	Al-A	S/D	ADP-A	VIII(B)	J	Td. Indet	Base sobre molde
Tumhuaq2-06	Al-A	Al-A	ADP-A	ADP-A	VIII(A)	J	Sanagasta	Base sobre molde
MSH-3-03	Pu-B	Al-A	S/D	S/D	VIII(A)	J	Td. Indet	Base sobre molde.
Mishma2-02	Al-B	Pu-B	S/D	S/D	I(A)	A-II	Ftivo. fino	

MATERIALES PROCEDENTES DE VALLE ALTO
ESCUDILLAS, PUCOS Y VASOS NO RESTRINGIDOS SIMPLES

	Perfil pieza	sigla	Variante morfológica		borde/labio	Ø boca (cm)	áng. boca	AEP	capac.	esp.	SC
331		TS4-R13-07	Es-NRS-a	Tatón 1	DCT/RDD	15,1	72	64	MB	0,4	E
332		TS3-R01-30	Es-NRS-a	Tatón 1	DCT/RDD	15,6	64	58	MB	0,41	E
333		PBNH6-001-35	Es-NRS-a	Palo Blanco	DCT/RCT	17,0	60	52	MB	0,6	E
334		TS3-R10-08	Es-NRS-a	Tatón 1	DCT/RCT	18,1	70	53	MB	0,49	A
335		PBNH3-012-01	Es-NRS-a	Palo Blanco	DCT/RCT	18,3	66	64	MB	0,6	E
336		PBNH3-168-04	Es-NRS-a	Palo Blanco	DCT/RCT	19,3	75	50	MB	0,51	E
337		PBNH6-001-68	Es-NRS-a	Palo Blanco	HZT-EI/ RDD	19,9	60	60	MB	0,6	A
338		PBNH3-193-09	Es-NRS-a	Palo Blanco	DCT/RDD	20,5	77	59	Ba	0,51	F
339		TS3-R01-21	Es-NRS-a	Tatón 1	DCT/RDD	22,4	53	47	Ba	0,46	E
340		PBNH3-158-01	Es-NRS-a	Palo Blanco	DCT/RCT	22,5	65	63	Ba	0,59	E
341		PBNH3-226-05	Es-NRS-a	Palo Blanco	DCT/RDD	22,8	64	60	Ba	0,51	E
342		PBNH1-023	Es-NRS-a	Palo Blanco	DCT/EBI	23,3	52	42	Ba	0,49	E
343		PBNH6-048-14	Es-NRS-a	Palo Blanco	HZT-EI/ RDD	23,3	73	51	Ba	0,38	A
344		PBNH1-097	Es-NRS-a	Palo Blanco	DCT/RDD	23,3	62	52	Ba	0,6	E
345		PBNH3-101-05	Es-NRS-a	Palo Blanco	DCT/RDD	23,8	71	63	Ba	0,32	E
346		PBNH6-288-22	Es-NRS-a	Palo Blanco	DCT/RDD	24,0	70	62	Ba	0,67	E
347		TS3-R01-25	Es-NRS-a	Tatón 1	DCT/RCT	24,1	63	63	Ba	0,7	E
348		PBNH6-N19-14	Es-NRS-a	Palo Blanco	DCT/RDD	24,2	53	53	Ba	0,71	E
349		PBNH3-193-13/16	Es-NRS-a	Palo Blanco	DCT/RDD	26,1	72	63	Ba	0,51	F
350		PBNH4-010	Es-NRS-a	Palo Blanco	DCT/EBI	28,2	63	63	Ba	0,6	G
351		PBNH3-194-27	Es-NRS-a	Palo Blanco	DCT/RDD	28,3	41	35	Ba	0,5	E
352		PBNH6-014-c-01	Es-NRS-a	Palo Blanco	DCT/RDD	33,9	50	50	Me	0,5	B
353		PBNH3-198-05	Es-NRS-a	Palo Blanco	DCT/RCT	36,3	45	36	Me	0,71	E
354		PBNH5-003b	Es-NRS-a	Palo Blanco	DCT/RCT	36,9	72	64	Me	0,81	E
355		PBNH3-285-01	Es-NRS-a	Palo Blanco	DCT/RDD	37,5	65	60	Me	0,45	E
356		PBNH3-181-05	Es-NRS-a	Palo Blanco	DCT/RCT	38,9	37	30	Me	0,72	E
357		PBNH1-011	Es-NRS-a	Palo Blanco	DCT/RDD	39,9	69	55	Me	0,72	E
358		PBNH1-069	Es-NRS-a	Palo Blanco	HZT-EI/ RDD	46,3	48	46	Al	0,6	E
359		PBNH1-042	Es-NRS-a	Palo Blanco	DCT/RDD	47,0	40	53	Al	0,62	E
360		PBNH6-060-13	Es-NRS-b	Palo Blanco	DCT/RCT	10,1	82	56	MB	0,51	A
361		PBNH6-060-12	Es-NRS-b	Palo Blanco	DCT/RCT	12,7	84	55	MB	0,64	A
362		PBNH6-001-70	Es-NRS-b	Palo Blanco	DCT/RCT	16,3	90	50	MB	0,5	A
363		PBNH3-155-02	Es-NRS-b	Palo Blanco	DCT/RDD	25,7	82	47	MB	0,48	E
364		TT-FM-19	Pu-NRS-a	Tatón 1	HZT-EE/ RCT	10,5	86	72	MB	0,51	E
365		PBNH6-048-04	Pu-NRS-a	Palo Blanco	DCT/RCT	10,6	90	78	MB	0,49	E
366		PBNH2-002	Pu-NRS-a	Palo Blanco	DCT/RCT	12,2	82	77	MB	0,41	E
367		PBNH6-080-35/37	Pu-NRS-a	Palo Blanco	DCT/RDD	13,1	90	78	MB	0,4	E
368		PBNH6-036-26	Pu-NRS-a	Palo Blanco	DCT/RDD	14,5	90	76	MB	0,43	E
369		PBNH6-001-50	Pu-NRS-a	Palo Blanco	DCT/RDD	15,5	86	75	MB	0,55	E
370		PBNH6-001-02	Pu-NRS-a	Palo Blanco	DCT/RDD	15,9	82	78	MB	0,38	E
371		TT-FM-09	Pu-NRS-a	Tatón 1	DCT/RDD	16,2	88	75	MB	0,6	E
372		PBNH3-193-19	Pu-NRS-a	Palo Blanco	DCT/RCT	16,9	82	77	MB	0,6	E
373		PBNH3-277-71	Pu-NRS-a	Palo Blanco	DCT/RCT	17,0	84	79	MB	0,46	E

sigla	Trat. sup. Int.	Trat. sup. ext.	Dec. Int.	Dec. Ext.	Pasta	ET	Tipo cerámico	Observaciones
TS4-R13-07	Pu-B	Pu-B	S/D	DDM-A	I(A)	A-IV	Ciénaga	
TS3-R01-30	Pu-D	Pu-C	S/D	S/D	I(A)	A-II	Ftivo. fino	
PBNH6-001-35	Pu-B	Pu-B	ADP-B + PEL	PEL	I(A)	A-III	Saujil	
TS3-R10-08	Al-B	Pu-B	S/D	S/D	I(A)	B-I	Ftivo. fino	
PBNH3-012-01	Pu-B	Pu-B	S/D	DDM-B	I(A)	A-V	Saujil	
PBNH3-168-04	Pu-B	Pu-C	PEL	S/D	I(A)	A-III	Saujil	
PBNH6-001-68	Al-B	Al-B	S/D	S/D	I(A)	B-I	Ftivo. fino	
PBNH3-193-09	Pu-B	Pu-B	S/D	S/D	I(A)	A-II	Ftivo. fino	
TS3-R01-21	Pu-B	Al-B	S/D	S/D	I(A)	A-II	Ftivo. fino	
PBNH3-158-01	Pu-B	Pu-C	PEL	DDM-A-D	I(A)	A-IV	Ciénaga	
PBNH3-226-05	Pu-B	Pu-B	PEL	PEL	IV(A)	G-I	Saujil	
PBNH1-023	Al-B	Pu-B	S/D	PEL	I(A)	A-III	Saujil	
PBNH6-048-14	Pu-C	Pu-C	S/D	ADP-A	I(A)	B-II	Aguada	
PBNH1-097	Pu-B	Pu-B	S/D	S/D	I(A)	A-II	Ftivo. fino	
PBNH3-101-05	Pu-B	Pu-B	S/D	DDM-A-D	I(A)	A-IV	Ciénaga	
PBNH6-288-22	Pu-B	Pu-A	PEL	PEL + ADM-A	I(A)	A-III	Saujil	
TS3-R01-25	Pu-B	Al-a	PEL	S/D	II(A)	D-II	Saujil	Manufactura por rodetes
PBNH6-N-19-14	Pu-B	Al-a	PEL	S/D	I(A)	A-III	Saujil	
PBNH3-193-13/16	Pu-B	Pu-B	S/D	PEL	I(A)	A-III	Saujil	
PBNH4-010	Pu-B	Pu-B	PEL	ADP-B	IV(A)	G-I	Saujil	
PBNH3-194-27	Pu-B	Pu-B	PEL	S/D	IV(A)	G-I	Saujil	
PBNH6-014-c-01	Pu-B	Pu-B	S/D	S/D	I(A)	B-I	Ftivo. fino	
PBNH3-198-05	Al-B	Al-A	S/D	S/D	I(B)	A-I	Ftivo. fino	Manufactura por rodetes
PBNH5-003b	Pu-B	Al-A	S/D	S/D	V(A)	H	Ftivo. fino	Manufactura por rodetes
PBNH3-285-01	Pu-B	Pu-A	PEL	PEL	IV(A)	G-I	Saujil	
PBNH3-181-05	Pu-D	Pu-B	S/D	DDM-A	I(A)	A-IV	Ftivo. fino	
PBNH1-011	Pu-A	Pu-A	PEL	PEL	I(A)	A-III	Saujil	Manufactura por rodetes
PBNH1-069	Pu-B	Al-B	S/D	S/D	I(A)	A-II	Ftivo. fino	
PBNH1-042	Pu-B	Al-B	PEL	S/D	I(A)	A-III	Saujil	Agujero de reparación de sección cónica desde el exterior, astillado
PBNH6-060-13	Al-B	Al-B	S/D	ADP-A	I(A)	B-II	Aguada	
PBNH6-060-12	Pu-B	Pu-B	S/D	ADP-A	I(A)	B-II	Aguada	
PBNH6-001-70	Pu-D	Pu-D	S/D	ADP-A	I(A)	B-II	Aguada	
PBNH3-155-02	Pu-B	Pu-B	PEL	DDM-A+ADM-A	I(A)	A-IV	Saujil	
TT-FM-19	Pu-C	Pu-C	S/D	DDM-D	I(A)	A-V	Ciénaga	
PBNH6-048-04	Pu-B	Pu-B	S/D	S/D	I(A)	A-II	Ftivo. fino	
PBNH2-002	Pu-D	Pu-D	S/D	RDM-A	I(A)	A-VI	Aguada	
PBNH6-080-35/37	Pu-B	Pu-C	S/D	DDM-A	I(A)	A-IV	Ciénaga	Hoyo de reparación de sección cilíndrica, estriado
PBNH6-036-26	Pu-B	Pu-C	S/D	S/D	I(B)	A-II	Ftivo. fino	
PBNH6-001-50	Pu-B	Pu-B	S/D	DDM-A	I(A)	A-IV	Saujil	
PBNH6-001-02	Pu-C	Pu-C	S/D	DDM-A-D	I(B)	A-IV	Ciénaga	
TT-FM-09	Pu-B	Pu-C	S/D	DDM-A	I(A)	A-IV	Ciénaga	
PBNH3-193-19	Pu-B	Pu-B	S/D	S/D	I(A)	A-II	Ftivo. fino	
PBNH3-277-71	Pu-B	Pu-B	S/D	DDM-A	IV(A)	G-II	Saujil	

	Perfil pieza	sigla	Variante morfológica	borde/labio	Ø boca (cm)	áng. boca	AEP	capac.	esp.	SC
374		TS7-R40-33	Pu-NRS-a	Tatón 1	DCT/RDD	18,4	73	69	MB	0,49 E
375		PBNH6-N19-42	Pu-NRS-a	Palo Blanco	DCT/RDD	19,2	83	72	MB	0,4 E
376		PBNH3-277-72	Pu-NRS-a	Palo Blanco	DCT/RDD	20,5	79	76	Ba	0,49 E
377		PBNH3-206-10	Pu-NRS-a	Palo Blanco	DCT/EBI	20,5	86	78	Ba	0,62 E
378		PBNH6-084-09	Pu-NRS-a	Palo Blanco	DCT/RCT	21,0	79	73	Ba	0,62 E
379		PBNH3-181-33	Pu-NRS-a	Palo Blanco	DCT/RDD	21,1	90	76	Ba	0,43 E
380		TS3-R10-44	Pu-NRS-a	Tatón 1	DCT/RDD	21,2	87	73	Ba	0,47 E
381		PBNH6-001-03	Pu-NRS-a	Palo Blanco	DCT/RDD	21,8	80	75	Ba	0,59 E
382		TS3-R10-39	Pu-NRS-a	Tatón 1	DCT/EBI	22,3	73	69	Ba	0,5 E
383		PBNH5-057	Pu-NRS-a	Palo Blanco	DCT/RDD	22,6	85	77	Ba	0,38 E
384		PBNH6-084-05	Pu-NRS-a	Palo Blanco	DCT/RCT	22,8	90	70	Ba	0,58 A
385		TS4-R27-02	Pu-NRS-a	Tatón 1	DCT/EBI	22,9	75	70	Ba	0,52 E
386		PBNH3-100-06	Pu-NRS-a	Palo Blanco	DCT/RDD	23,6	84	76	Ba	0,52 E
387		PBNH6-024-07	Pu-NRS-a	Palo Blanco	DCT/RDD	23,7	76	69	Ba	0,59 E
388		PBNH6-N34-02	Pu-NRS-a	Palo Blanco	DCT/RDD	24,2	70	69	Ba	0,4 E
389		PBNH6-055-39	Pu-NRS-a	Palo Blanco	DCT/RDD	24,3	85	71	Ba	0,68 E
390		PBNH6-N34-01	Pu-NRS-a	Palo Blanco	DCT/RDD	24,9	75	70	Ba	0,4 E
391		PBNH6-N19-11	Pu-NRS-a	Palo Blanco	DCT/RCT	24,9	70	70	Ba	0,52 E
392		PBNH6-001-21	Pu-NRS-a	Palo Blanco	DCT/RCT	25,3	86	75	Ba	0,73 E
393		PBNH3-277-93	Pu-NRS-a	Palo Blanco	DCT/RCT	25,6	73	70	Ba	0,61 E
394		PBNH6-055-29	Pu-NRS-a	Palo Blanco	DCT/RDD	26,9	90	69	Ba	0,6 E
395		TS7-R35-07	Pu-NRS-a	Tatón 1	DCT/RCT	27,1	86	72	Ba	0,42 E
396		PBNH6-022-01	Pu-NRS-a	Palo Blanco	DCT/RDD	28,4	84	73	Ba	0,9 E
397		PBNH6-288-03	Pu-NRS-a	Palo Blanco	DCT/RCT	29,8	89	75	Ba	0,63 E
398		PBNH6-028-48	Pu-NRS-a	Palo Blanco	DCT/RDD	30,1	90	70	Me	0,61 E
399		PBNH3-181-07	Pu-NRS-a	Palo Blanco	DCT/RCT	32,4	79	75	Me	0,6 E
400		PBNH1-047	Pu-NRS-a	Palo Blanco	DCT/RCT	32,4	74	75	Me	0,65 E
401		PBNH6-001-12	Pu-NRS-a	Palo Blanco	DCT/RCT	34,0	86	75	Me	0,65 E
402		PBNH6-N-19-30	Pu-NRS-a	Palo Blanco	DCT/RCT	34,4	90	75	Me	0,57 A
403		PBNH6-N-19-19	Pu-NRS-a	Palo Blanco	DCT/RCT	34,5	77	77	Me	0,6 E
404		Ho-16186	Pu-NRS-b	El horno	DCT/RDD	12,0	90	83	MB	0,97 A
405		PBNH6-001-22	Pu-NRS-b	Palo Blanco	DCT/RDD	17,0	90	89	MB	0,51 E
406		PBNH6-001-38	Pu-NRS-b	Palo Blanco	DCT/RDD	17,0	90	80	MB	0,59 E
407		TS5-R10-01 (TT 06)	Pu-NRS-b	Tatón 1	DCT/RCT	17,5	90	88	MB	0,55 A
408		TS4-R12-14 (TT 01)	Pu-NRS-b	Tatón 1	DCT/RCT	18,3	88	86	MB	0,51 E
409		PBNH6-021-01	Pu-NRS-b	Palo Blanco	DCT/RCT	18,9	90	85	MB	0,6 E
410		PBNH1-009	Pu-NRS-b	Palo Blanco	DCT/RDD	19,1	85	84	MB	0,54 E
411		PBNH6-001-49	Pu-NRS-b	Palo Blanco	DCT/RCT	21,5	90	83	Ba	0,5 E
412		PBNH6-022-05	Pu-NRS-b	Palo Blanco	DCT/RDD	22,4	90	81	Ba	0,56 E
413		PBNH3-198-20	Pu-NRS-b	Palo Blanco	DCT/RDD	22,8	80	80	Ba	0,41 E
414		PBNH3-117-25	Pu-NRS-b	Palo Blanco	DCT/RCT	25,1	90	80	Ba	0,69 E

sigla	Trat. sup. Int.	Trat. sup. ext.	Dec. Int	Dec. Ext.	Pasta	ET	Tipo cerámico	Observaciones
TS7-R40-33	Pu-B	Pu-B	PEL	PEL	I(A)	A-III	Saujil	
PBNH6-N-19-42	Pu-B	Pu-C	S/D	DDM-A	I(B)	A-IV	Ciénaga	
PBNH3-277-72	Pu-A	Pu-C	S/D	S/D	I(A)	A-II	Ftivo. fino	
PBNH3-206-10	Pu-B	Pu-B	PEL	PEL	I(B)	A-III	Saujil	
PBNH6-084-09	Pu-B	Pu-C	S/D	RDM-A	I(A)	A-VI	Aguada	
PBNH3-181-33	Pu-B	Pu-B	S/D	S/D	I(A)	A-II	Ftivo. fino	
TS3-R10-44	Pu-B	Pu-B	S/D	DDM-A	I(A)	A-IV	Ciénaga	
PBNH6-001-03	Pu-B	Pu-A	S/D	S/D	I(A)	A-II	Ftivo. fino	
TS3-R10-39	Pu-C	Pu-B	S/D	PEL	I(A)	A-III	Saujil	
PBNH5-057	Pu-C	Pu-C	S/D	DDM-A-D	I(A)	A-IV	Ciénaga	
PBNH6-084-05	Pu-B	Pu-A	S/D	S/D	I(A)	B-I	Ftivo. fino	Manufactura por rodetes
TS4-R27-02	Pu-B	Al-B	ADP-B + PEL	ADP-B	I(A)	A-III	Saujil	hoyo de reparación de sección cónica desde el exterior
PBNH3-100-06	Pu-B	Al-B	PEL	DDM-A	I(B)	A-IV	Saujil	Pigmentos anaranjados en superficie externa
PBNH6-024-07	Pu-B	Pu-B	S/D	S/D	I(A)	A-II	Ftivo. fino	
PBNH6-N-34-02	Pu-C	Pu-C	S/D	RDM-A	I(A)	A-VI	Aguada	
PBNH6-055-39	Pu-B	Pu-B	S/D	S/D	I(A)	A-II	Ftivo. fino	
PBNH6-N-34-01	Pu-C	Pu-C	S/D	RDM-A	I(A)	A-VI	Aguada	
PBNH6-N-19-11	Pu-C	Pu-D	S/D	DDM-A	I(A)	A-VI	Aguada	
PBNH6-001-21	Pu-B	Pu-B	S/D	S/D	I(A)	A-II	Ftivo. fino	
PBNH3-277-93	Pu-B	Pu-B	PEL	PEL	I(A)	A-III	Saujil	
PBNH6-055-29	Pu-B	Pu-B	PEL	S/D	I(A)	A-III	Saujil	
TS7-R35-07	Pu-B	Pu-B	S/D	S/D	I(A)	A-II	Ftivo. fino	
PBNH6-022-01	Al-A	Al-A	S/D	S/D	atípica	indet.	Ftivo. grueso	Manufactura por rodetes - pasta atípica por inclusiones
PBNH6-288-03	Pu-B	Pu-A	PEL	PEL	I(A)	A-III	Saujil	
PBNH6-028-48	Al-B	Pu-B	S/D	S/D	I(A)	A-II	Ftivo. fino	
PBNH3-181-07	Pu-B	Pu-B	S/D	PEL	I(A)	A-III	Saujil	
PBNH1-047	Pu-B	Pu-A	PEL	PEL	I(A)	A-III	Saujil	
PBNH6-001-12	Pu-B	Pu-B	PEL	S/D	I(A)	A-III	Saujil	
PBNH6-N19-30	Pu-B	Pu-B	S/D	S/D	I(A)	B-I	Ftivo. fino	
PBNH6-N19-19	Pu-B	Pu-B	PEL	PEL	I(A)	A-III	Saujil	Manufactura por rodetes
Ho-16186	Al-A	Al-A	ADP-A	S/D	I(A)	B-II	Sanagasta	Manufactura por estiramiento de masa - base cóncava-convexa
PBNH6-001-22	Pu-C	Pu-C	S/D	DDM-A-D	I(B)	A-IV	Ciénaga	
PBNH6-001-38	Al-B	Al-B	S/D	S/D	I(B)	A-I	Ftivo. fino	
TS5-R10-01 (TT 06)	Pu-C	Pu-C	S/D	ADP-A	I(A)	B-II	Aguada	
TS4-R12-14 (TT 01)	Pu-D	Pu-D	S/D	RDM-A	I(A)	A-VI	Aguada	
PBNH6-021-01	Pu-C	Pu-B	S/D	PEL	I-C	A-III	Saujil	
PBNH1-009	Pu-B	Pu-C	S/D	ADM-A	I(A)	A-II	Ftivo. fino	
PBNH6-001-49	Pu-B	Pu-B	S/D	S/D	I(B)	A-II	Ftivo. fino	
PBNH6-022-05	Pu-B	Pu-B	S/D	S/D	I(A)	A-II	Ftivo. fino	
PBNH3-198-20	Pu-B	Pu-B	PEL	PEL	I(A)	A-III	Saujil	
PBNH3-117-25	Pu-B	Pu-B	S/D	DDM-A	I(A)	A-IV	Saujil	

	Perfil pieza	sigla	Variante morfológica	borde/labio	Ø boca (cm)	áng. boca	AEP	capac.	esp.	SC
415		PBNH3-117-04	Pu-NRS-b Palo Blanco	DCT/RDD	25,9	85	80	Ba	0,69	E
416		TT-FM-20	Pu-NRS-b Tatón 1	DCT/RCT	26,0	90	80	Ba	0,6	E
417		PBNH1-116	Pu-NRS-b Palo Blanco	DCT/RCT	28,5	89	82	Ba	0,4	E
418		PBNH3-024-30	Pu-NRS-b Palo Blanco	DCT/RDD	28,8	85	85	Ba	0,53	E
419		PBNH6-080-09	Pu-NRS-b Palo Blanco	DCT/RDD	29,6	90	85	Ba	0,61	E
420		PBNH3-024-02	Pu-NRS-b Palo Blanco	DCT/RCT	29,8	83	83	Ba	0,51	E
421		PBNH1-117	Pu-NRS-b Palo Blanco	DCT/RDD	30,0	90	83	Me	0,62	E
422		PBNH6-001-01	Pu-NRS-b Palo Blanco	DCT/RCT	30,0	90	81	Me	0,57	E
423		PBNH6-028-31	Pu-NRS-b Palo Blanco	DCT/RCT	30,4	90	85	Me	0,52	E
424		PBNH6-043-19	Pu-NRS-b Palo Blanco	DCT/RDD	30,5	90	84	Me	0,62	E
425		PBNH6-080-10	Pu-NRS-b Palo Blanco	DCT/RCT	30,6	86	83	Me	0,6	E
426		PBNH7-04	Va-NRS-a Palo Blanco	DCT/EBI	7,4	90	90	MB	0,48	E
427		TS5-R27-09	Va-NRS-a Tatón 1	DCT/RDD	9,1	90	90	MB	0,48	E
428		PBNH2-001	Va-NRS-a Palo Blanco	DCT/EBI	11,0	90	90	MB	0,42	E
429		PBNH6-028-32	Va-NRS-a Palo Blanco	DCT/RCT	13,0	90	90	MB	0,39	E
430		PBNH6-001-37	Va-NRS-a Palo Blanco	DCT/RDD	13,3	90	90	MB	0,5	E

ESCUILLAS Y PUCOS NO RESTRINGIDOS COMPUESTOS E INFLEXIONADOS

	Perfil pieza	sigla	Variante morfológica	Sitio	borde/labio	Ø boca (cm)	AEP	Ø PC h PC	capacidad	esp.	SC
431		PBNH7-09	Es-NRC-a Palo Blanco	EVT/RDD	23,64	64	21,1	4,5	Ba	0,48	A
432		PBNH6-001-13	Es-NRC-a Palo Blanco	EVT/RDD	27	64	24,2	3,5	Ba	0,6	E
433		PBNH6-001-31	Es-NRC-b Palo Blanco	DCT/RCT	15,65	52	13,7	3	MB	0,52	E
434		PBNH3-269-01	Es-NRC-b Palo Blanco	DCT/RDD	20,7	50	18,1	2,5	Ba	0,67	E
435		PBNH3-198-06	Es-NRC-b Palo Blanco	DCT/RDD	21	47	18,3	3	Ba	0,71	E
436		TT-FM-02	Es-NRC-b Tatón 1	DCT/RDD	21,63	60	19,5	3,9	Ba	0,55	E
437		TS7-R38-01	Es-NRC-b Tatón 1	DCT/RDD	22,45	37	18,9	3,2	Ba	0,63	E
438		PBNH6-055-13	Es-NRC-b Palo Blanco	DCT/RDD	23,7	64	21,2	4,5	Ba	0,64	E
439		PBNH3-034-01	Es-NRC-b Palo Blanco	DCT/RDD	25,28	56	21,1	4,6	Ba	0,49	E
440		PBNH6-N-39-14	Es-NRC-b Palo Blanco	DCT/RDD	29	61	27,0	4	Ba	0,58	E
441		PBNH6-084-62	Es-NRC-b Palo Blanco	DCT/RCT	30,5	61	28,7	4	Me	0,59	E
442		PBNH6-N-42-08	Es-NRC-b Palo Blanco	DCT/RCT	32,5	63	29,5	4	Me	0,53	E
443		PBNH3-181-28	Es-NRC-b Palo Blanco	DCT/RDD	33,21	64	32,0	2,7	Me	0,6	E
444		PBNH6-084-12	Es-NRC-b Palo Blanco	DCT/RCT	33,34	59	30,1	4,1	Me	0,78	E
445		PBNH3-277-37	Es-NRC-b Palo Blanco	DCT/RDD	36,46	56	32,9	5	Me	0,88	E
446		PBNH5-059	Es-NRC-b Palo Blanco	DCT/EBI	36,8	61	32,8	7,8	Me	0,59	E
447		PBNH6-060-02	Es-NRC-b Palo Blanco	DCT/RDD	37,15	58	33,6	5,2	Me	0,76	E
448		TS7-R41-08	Es-NRC-d Tatón 1	DCT/RCT	23,45	58	23,1	2,5	Ba	0,7	E
449		TS7-R42-08	Es-NRC-d Tatón 1	DCT/RCT	26,74	61	26,0	3	Ba	0,69	E
450		PBNH1-104	Es-NRC-d Palo Blanco	DCT/RDD	27,94	63	27,5	3,4	Ba	0,58	E
451		PBNH5-077	Es-NRC-d Palo Blanco	DCT/RCT	28,7	60	27,6	2,2	Ba	0,59	E
452		PBNH3-277-63	Pu-NRC-a Palo Blanco	EVT/RDD	14,12	72	13,6	4	MB	0,59	E
453		TS7-R40-01	Pu-NRC-a Tatón 1	EVT/RCT	17,5	66	16,0	4	MB	0,49	E
454		TS4-R9-044	Pu-NRC-a Tatón 1	EVT/RCT	19,4	69	18,4	3	MB	0,43	E
		PBNH4-012	Pu-NRC-a Palo Blanco	EVT/RDD	25,27	66	23,0	5,2	Ba	0,47	E

sigla	Trat. sup. Int.	Trat. sup. ext.	Dec. Int	Dec. Ext.	Pasta	ET	Tipo cerámico	Observaciones
PBNH3-117-04	Pu-B	Pu-C	S/D	S/D	I(A)	A-II	Ftivo. fino	
TT-FM-20	Pu-C	Pu-C	S/D	DDM-A	I(A)	A-IV	Ciénaga	
PBNH1-116	Pu-B	Pu-B	S/D	S/D	I(A)	A-II	Ftivo. fino	
PBNH3-024-30	Pu-B	Pu-B	S/D	DDM-A	I(B)	A-IV	Saujil	
PBNH6-080-09	Pu-B	Pu-B	S/D	PEL	I(A)	A-III	Saujil	
PBNH3-024-02	Pu-C	Pu-C	S/D	S/D	I(A)	A-II	Ftivo. fino	
PBNH1-117	Pu-B	Pu-B	PEL	PEL	I(A)	A-III	Saujil	Agujero de reparación bicónico, estriado
PBNH6-001-01	Pu-B	Pu-B	PEL	PEL	I(A)	A-III	Saujil	
PBNH6-028-31	Pu-B	Pu-B	PEL	PEL	I(A)	A-III	Saujil	
PBNH6-043-19	Pu-B	Pu-B	S/D	S/D	IV(B)	G-III	Ftivo. fino	
PBNH6-080-10	Pu-B	Pu-B	S/D	S/D	I(A)	A-II	Ftivo. fino	
PBNH7-04	Pu-C	Pu-B	S/D	ADP-B	IV(A)	G-I	Saujil	
TS5-R27-09	Pu-C	Pu-D	S/D	S/D	I(A)	A-II	Ftivo. fino	
PBNH2-001	Pu-B	Pu-D	S/D	RDM-A	I(A)	A-VI	Aguada	
PBNH6-028-32	Pu-B	Pu-B	S/D	DDM-D	I(B)	A-V	Ciénaga	
PBNH6-001-37	Pu-C	Pu-C	S/D	DDM-A	I(A)	A-IV	Saujil	

sigla	trat. Sup int	trat sup ext	Dec. Int	Dec. Ext.	Pasta	ET	Tipo cerámico	Observaciones
PBNH7-09	Pu-B	Pu-B	S/D	ADP-C	I(A)	B-II	Aguada	
PBNH6-001-13	Pu-D	Pu-C	S/D	S/D	I(A)	A-II	Ftivo. fino	
PBNH6-001-31	Pu-B	Pu-C	S/D	DDM-A	I(A)	A-IV	Saujil	
PBNH3-269-01	Pu-B	Pu-B	S/D	DDM-A	I(B)	A-IV	Saujil	
PBNH3-198-06	Pu-B	Pu-B	S/D	DDM-A-C	I(A)	A-IV	Saujil	
TT-FM-02	Pu-B	Pu-C	S/D	DDM-A	I(A)	A-IV	Saujil	
TS7-R38-01	Al-B	Al-A	S/D	S/D	I(A)	A-I	Ftivo. fino	
PBNH6-055-13	Pu-B	Pu-B	PEL	DDM-A	I(A)	A-IV	Saujil	
PBNH3-034-01	Pu-C	Pu-C	S/D	DDM-A	I(A)	A-IV	Saujil	
PBNH6-N-39-14	Pu-B	Pu-B	S/D	PEL	I(A)	A-III	Saujil	
PBNH6-084-62	Pu-B	Pu-B	S/D	S/D	I(A)	A-II	Ftivo. fino	
PBNH6-N-42-08	Pu-B	Pu-B	S/D	PEL	I(A)	A-III	Saujil	
PBNH3-181-28	Pu-B	Pu-B	S/D	DDM-A	I(A)	A-IV	Saujil	
PBNH6-084-12	Pu-C	Pu-B	S/D	S/D	I(A)	A-II	Ftivo. fino	
PBNH3-277-37	Pu-B	Pu-B	PEL	PEL + ADM-A	I(A)	A-III	Saujil	
PBNH5-059	Pu-B	Pu-B	PEL	DDM-A + PEL	I(A)	A-IV	Saujil	Manufactura por rodetes
PBNH6-060-02	Pu-B	Pu-B	PEL	DDM-A	I(A)	A-IV	Saujil	
TS7-R41-08	Pu-C	Pu-C	S/D	DDM-A	I(A)	A-IV	Saujil	
TS7-R42-08	Pu-B	Pu-B	S/D	PEL	I(A)	A-III	Saujil	
PBNH1-104	Pu-C	Pu-B	S/D	PEL	I(A)	A-III	Saujil	
PBNH5-077	Pu-B	Pu-B	PEL	PEL	I(A)	A-III	Saujil	
PBNH3-277-63	Pu-B	Pu-B	PEL	PEL	I(A)	A-III	Saujil	
TS7-R40-01	Pu-B	Pu-C	S/D	DDM-A	I(A)	A-IV	Saujil	
TS4-R9-044	Pu-B	Pu-C	S/D	DDM-A	I(B)	A-IV	Saujil	
PBNH4-012	Pu-B	Al-B	S/D	DDM-A	I(A)	A-IV	Saujil	

	Perfil pieza	sigla	Variante morfológica	Sitio	borde/labio	Ø boca (cm)	AEP	Ø PC	h PC	capacidad	esp.	SC
456		PBNH6-N-19-49	Pu-NRC-a	Palo Blanco	EVT/RCT	25,8	66	24,8	5,5	Ba	0,51	E
457		PBNH3-101-04	Pu-NRC-a	Palo Blanco	EVT/RDD	28,79	73	28,2	4,5	Ba	0,61	E
458		PBNH1-091	Pu-NRC-a	Palo Blanco	EVT/RCT	30,1	66	27,5	2,6	Me	0,6	E
459		PBNH3-277-51	Pu-NRC-a	Palo Blanco	EVT/RDD	30,9	70	30,0	6,7	Me	0,71	A
460		PBNH3-228-02	Pu-NRC-a	Palo Blanco	EVT/RDD	32,21	67	31,3	2,9	Me	0,5	E
461		PBNH3-277-33 (A y B)	Pu-NRC-a	Palo Blanco	EVT/RCT	33,2	66	32,4	3,5	Me	0,6	E
462		PBNH6-288-02	Pu-NRC-a	Palo Blanco	EVT/RCT	37	66	33,6	4	Me	0,5	E
463		PBNH5-002	Pu-NRC-a	Palo Blanco	EVT/RDD	37,42	74	33,6	6	Me	0,51	A
464		PBNH1-037	Pu-NRC-a	Palo Blanco	EVT/RDD	38,48	66	34,4	5,6	Me	0,59	E
465		PBNH3-101-13/18	Pu-NRC-b	Palo Blanco	DCT/RDD	24,42	68	21,8	6	Ba	0,5	E
466		PBNH6-038-13	Pu-NRC-b	Palo Blanco	DCT/RDD	32,57	75	30,4	7	Me	0,54	G
467		PBNH7-291-02	Pu-NRC-c	Palo Blanco	EVT/RDD	15,99	80	16,0	5	MB	0,4	A
468		TS1-R02-01	Pu-NRC-c	Tatón 1	EVT/RDD	22	78	22,0	4	Ba	0,45	E
469		PBNH6-080-34	Pu-NRC-c	Palo Blanco	EVT/RDD	23,52	76	23,5	4,5	Ba	0,49	E
470		PBNH6-048-21	Pu-NRC-c	Palo Blanco	EVT/RDD	30,9	83	30,5	6,5	Me	0,73	A
471		PBNH6-288-26	Pu-NRC-c	Palo Blanco	EVT/RCT	32	70	31,9	8	Me	0,73	E
472		PBNH6-288-40	Pu-NRC-d	Palo Blanco	EVT/RDD	13,77	77	13,4	4	MB	0,65	E
473		PBNH3-277-41	Pu-NRC-d	Palo Blanco	HZT-EE/RDD	14,4	77	14,4	2,5	MB	0,5	E
474		PBNH3-277-91	Pu-NRC-d	Palo Blanco	DCT/RCT	15,8	67	15,8	2,5	MB	0,51	E
475		PBNH6-001-05	Pu-NRC-d	Palo Blanco	DCT/RCT	16	75	15,8	3,2	MB	0,6	E
476		PBNH6-001-26	Pu-NRC-d	Palo Blanco	DCT/RCT	16,09	67	15,7	2,5	MB	0,52	E
477		PBNH6-001-66	Pu-NRC-d	Palo Blanco	DCT/RCT	16,25	70	15,5	3,5	MB	0,55	A
478		PBNH6-001-42	Pu-NRC-d	Palo Blanco	DCT/RCT	16,62	69	16,6	2,4	MB	0,7	E
479		PBNH3-198-01/277-49	Pu-NRC-d	Palo Blanco	DCT/RCT	18,21	69	17,6	6,5	MB	0,43	E
480		TS3-R01-34	Pu-NRC-d	Tatón 1	DCT/RCT	18,25	74	18,3	3	MB	0,4	E
481		TS7-R37-08	Pu-NRC-d	Tatón 1	DCT/RCT	18,25	70	17,5	3,3	MB	0,68	E
482		TS7-R40-55 (TT 03)	Pu-NRC-d	Tatón 1	DCT/RDD	18,87	83	18,9	3,8	MB	0,62	F
483		PBNH6-001-09	Pu-NRC-d	Palo Blanco	DCT/RCT	19,2	71	19,0	3,75	MB	0,55	E
484		PBNH6-084-10	Pu-NRC-d	Palo Blanco	DCT/RDD	19,21	70	19,2	3	MB	0,56	E
485		PBNH1-092	Pu-NRC-d	Palo Blanco	DCT/RCT	19,66	75	19,7	2,2	MB	0,6	E
486		PBNH6-080-33	Pu-NRC-d	Palo Blanco	DCT/RDD	20,34	66	19,9	3,6	Ba	0,78	E
487		PBNH7-07	Pu-NRC-d	Palo Blanco	HZT-EE/RCT	20,75	82	20,8	3	Ba	0,49	E
488		TS5-R25-01	Pu-NRC-d	Tatón 1	DCT/RDD	21,13	72	21,1	2,4	Ba	0,51	E
489		PBNH4-007	Pu-NRC-d	Palo Blanco	DCT/RCT	21,53	72	21,5	2,5	Ba	0,55	E
490		TS3-R10-41	Pu-NRC-d	Tatón 1	DCT/RDD	21,53	76	21,5	2	Ba	0,51	E
491		PBNH1-127	Pu-NRC-d	Palo Blanco	DCT/RCT	21,81	66	20,8	3,5	Ba	0,61	E
492		TS7-R40-28	Pu-NRC-d	Tatón 1	DCT/RCT	22,25	77	22,3	2,3	Ba	0,56	E

sigla	trat. Sup int	trat sup ext	Dec. Int	Dec. Ext.	Pasta	ET	Tipo cerámico	Observaciones
PBNH6-N-19-49	Pu-B	Pu-C	PEL	PEL	I(B)	A-III	Saujil	
PBNH3-101-04	Pu-B	Pu-C	Pel	DDM-A	I(A)	A-IV	Saujil	
PBNH1-091	Pu-B	Pu-B	S/D	DDM-A	I(A)	A-IV	Saujil	
PBNH3-277-51	Pu-C	Pu-C	S/D	S/D	I(A)	B-I	Ftivo. fino	
PBNH3-228-02	Pu-B	Pu-C	S/D	DDM-A-C	I(A)	A-IV	Saujil	
PBNH3-277-33 (A y B)	Pu-B	Pu-B	S/D	DDM-A+ PEL	I(A)	A-IV	Saujil	Presenta dos agujeros de reparación de sección cónica desde el exterior
PBNH6-288-02	Pu-B	Pu-B	S/D	DDM-A	I(B)	A-IV	Saujil	
PBNH5-002	Pu-C	Pu-C	S/D	ADP-C	I(A)	B-II	Aguada	
PBNH1-037	Pu-B	Pu-B	PEL	DDM-A	I(A)	A-IV	Saujil	
PBNH3-101-13/18	Pu-B	Pu-C	S/D	DDM-A-C	I(A)	A-IV	Ciénaga	
PBNH6-038-13	Pu-C	Pu-C	S/D	RDM-A	I(B)	A-VI	Aguada	
PBNH7-291-02	Pu-B	Pu-B	S/D	ADP-C+ ADM-A	I(A)	B-II	Aguada	
TS1-R02-01	Pu-B	Pu-B	PEL	PEL	I(B)	A-III	Saujil	
PBNH6-080-34	Pu-B	Pu-C	PEL	DDM-A	I(A)	A-IV	Saujil	
PBNH6-048-21	Pu-C	Pu-C	S/D	ADP-A	I(A)	B-II	Aguada	
PBNH6-288-26	Pu-B	Pu-B	PEL	DDM-A+ PEL	I(A)	A-IV	Saujil	
PBNH6-288-40	Pu-B	Pu-B	S/D	PEL+ ADM-A	I(A)	A-III	Saujil	Asa atrofiada al pastillaje sobre el PA
PBNH3-277-41	Pu-B	Pu-C	S/D	DDM-A	I(A)	A-IV	Saujil	
PBNH3-277-91	Pu-B	Pu-B	S/D	DDM-A-C	I(A)	A-IV	Saujil	
PBNH6-001-05	Pu-B	Pu-B	PEL	PEL	I(A)	A-III	Saujil	
PBNH6-001-26	Pu-B	Pu-B	S/D	DDM-A	I(A)	A-IV	Saujil	
PBNH6-001-66	Al-B	Al-A	S/D	ADP-A + ADM-A	I(A)	B-II	Aguada	
PBNH6-001-42	Pu-B	Pu-B	PEL	S/D	I(A)	A-III	Saujil	
PBNH3-198-01/277-49	Pu-B	Pu-C	S/D	DDM-A-C	I(A)	A-IV	Ciénaga	
TS3-R01-34	Pu-B	Pu-B	PEL	PEL + ADM-A	I(A)	A-III	Saujil	
TS7-R37-08	Pu-B	Pu-B	S/D	PEL	I(A)	A-III	Saujil	
TS7-R40-55 (TT 03)	Pu-B	Pu-B	S/D	PEL	I(A)	A-III	Saujil	
PBNH6-001-09	Pu-B	Pu-A	S/D	S/D	I(A)	A-II	Ftivo. fino	
PBNH6-084-10	Pu-B	Pu-B	PEL	DDM-A	I(A)	G-II	Saujil	
PBNH1-092	Pu-B	Pu-B	S/D	PEL	IV(B)	A-III	Saujil	Presenta pigmentos rojos y amarillos en superficie interna
PBNH6-080-33	Pu-B	Pu-B	S/D	ADM-A	I(A)	A-II	Ftivo. fino	
PBNH7-07	Pu-B	Pu-C	S/D	DDM-A-C	I(A)	A-IV	Saujil	
TS5-R25-01	Pu-B	Pu-C	S/D	DDM-A	I(A)	A-IV	Saujil	
PBNH4-007	Pu-B	Pu-A	PEL	DDM-A+ ADM-A	I(A)	A-IV	Saujil	
TS3-R10-41	Pu-B	Pu-B	S/D	DDM-A	I(A)	A-IV	Saujil	
PBNH1-127	Al-A	Al-A	S/D	S/D	I(A)	A-I	Ftivo. fino	
TS7-R40-28	Al-B	Pu-B	S/D	S/D	I(A)	A-II	Ftivo. fino	

	Perfil pieza	sigla	Variante morfológica	Sitio	borde/labio	Ø boca (cm)	AEP	Ø PC	h PC	capacidad	esp.	SC
493		TT-FM-04	Pu-NRC-d	Tatón 1	DCT/RCT	22,6	77	21,5	5,7	Ba	0,45	E
494		PBNH3-009-01	Pu-NRC-d	Palo Blanco	DCT/RDD	22,81	69	22,6	3,3	Ba	0,52	G
495		PBNH2-006	Pu-NRC-d	Palo Blanco	DCT/RCT	22,83	74	22,5	4,2	Ba	0,69	E
496		PBNH6-036-06	Pu-NRC-d	Palo Blanco	DCT/RCT	22,84	69	21,8	2,8	Ba	0,61	E
497		TS1-SE1-Sup-01	Pu-NRC-d	Tatón 1	DCT/RDD	23,02	75	22,8	3,3	Ba	0,5	E
498		PBNH6-001-18	Pu-NRC-d	Palo Blanco	DCT/RDD	23,4	68	23,4	2,75	Ba	0,5	E
499		TS3-R05-40 (TT 02)	Pu-NRC-d	Tatón 1	DCT/RCT	24,13	73	24,0	2	Ba	0,56	E
500		PBNH7-08	Pu-NRC-d	Palo Blanco	DCT/RCT	24,55	76	24,6	2,5	Ba	0,55	E
501		PBNH6-001-44	Pu-NRC-d	Palo Blanco	DCT/RCT	25,3	71	24,6	3,75	Ba	0,51	E
502		PBNH6-055-26	Pu-NRC-d	Palo Blanco	DCT/RCT	25,66	68	24,8	2,5	Ba	0,61	E
503		PBNH6-N-34-13	Pu-NRC-d	Palo Blanco	DCT/RCT	25,7	69	24,5	4,2	Ba	0,58	E
504		PBNH1-118	Pu-NRC-d	Palo Blanco	DCT/RCT	25,95	71	25,0	2,5	Ba	0,67	E
505		PBNH3-076-01	Pu-NRC-d	Palo Blanco	DCT/RCT	26	72	26,0	2	Ba	0,6	E
506		PBNH3-082-15	Pu-NRC-d	Palo Blanco	DCT/RCT	26,32	78	26,3	2,8	Ba	0,56	E
507		PBNH6-288-27	Pu-NRC-d	Palo Blanco	DCT/RCT	26,61	72	26,6	2	Ba	0,8	E
508		PBNH7-291-01	Pu-NRC-d	Palo Blanco	DCT/RDD	26,91	76	26,7	3	Ba	0,59	A
509		PBNH6-288-30	Pu-NRC-d	Palo Blanco	DCT/RDD	27,26	78	27,3	2,4	Ba	0,61	E
510		PBNH6-288-37	Pu-NRC-d	Palo Blanco	DCT/RDD	28,03	69	26,8	4	Ba	0,55	E
511		PBNH3-107-01	Pu-NRC-d	Palo Blanco	DCT/RDD	28,04	66	28,0	1,65	Ba	0,61	E
512		PBNH1-109	Pu-NRC-d	Palo Blanco	DCT/RCT	28,81	68	27,8	3,5	Ba	0,59	E
513		PBNH3-005-22	Pu-NRC-d	Palo Blanco	DCT/RDD	29	72	28,1	2,7	Ba	0,42	E
514		PBNH3-010-09	Pu-NRC-d	Palo Blanco	DCT/RDD	29,55	68	28,2	3	Ba	0,51	E
515		PBNH2-005	Pu-NRC-d	Palo Blanco	DCT/RDD	30,8	69	29,5	6	Me	0,67	E
516		PBNH6-001-11	Pu-NRC-d	Palo Blanco	DCT/RDD	31	73	31,0	1,75	Me	0,74	E
517		PBNH6-084-57	Pu-NRC-d	Palo Blanco	DCT/RDD	32,37	70	32,2	2,4	Me	0,72	E
518		PBNH3-073-02	Pu-NRC-d	Palo Blanco	DCT/RCT	32,5	72	32,5	4,4	Me	0,71	E
519		PBNH6-288-67	Pu-NRC-d	Palo Blanco	DCT/RCT	33,89	75	33,9	3,8	Me	0,67	E
520		PBNH6-055-12	Pu-NRC-d	Palo Blanco	DCT/RDD	34,9	74	34,2	4,5	Me	0,74	E
521		PBNH1-039	Pu-NRC-d	Palo Blanco	DCT/RDD	35	80	33,2	5,7	Me	0,51	E
522		PBNH4-006	Pu-NRC-d	Palo Blanco	DCT/RDD	35,82	74	35,8	6,3	Me	0,94	E
523		PBNH1-002	Pu-NRC-d	Palo Blanco	DCT/RCT	37,04	76	35,9	6,8	Me	0,9	E
524		PBNH4-013	Pu-NRC-d	Palo Blanco	DCT/RCT	40,68	79	39,9	4	Al	0,6	E
525		PBNH7-06	Pu-NRI-a	Palo Blanco	EVT/RDD	26,32	66	24,3	3,7	Ba	0,7	E

PUCOS RESTRINGIDOS DEPENDIENTES COMPUESTOS Y SIMPLES

	Perfil pieza	sigla	Variante morfológica	Sitio	borde/labio	Ø boca (cm)	AEP	Ø PC	h PC	capacidad	esp.	SC
526		TS3-R10-48	Pu-RDC-b	Tatón 1	DCT/RCT	16,03	98	17	2	MB	0,5	G
527		PBNH6-043-12	Pu-RDC-b	Palo Blanco	DCT/RCT	17,7	110	20,3	1,5	MB	0,5	A
528		PBNH5-004	Pu-RDC-b	Palo Blanco	DCT/RCT	20,69	92	21,3	3	Ba	0,7	E
529		PBNH6-288-21	Pu-RDC-b	Palo Blanco	DCT/RDD	23,07	81	23,5	2,7	Ba	0,68	E
530		PBNH2-008	Pu-RDC-b	Palo Blanco	HZ1-EI/ RCT	23,21	91	24,8	2,5	Ba	0,63	E
531		TS7-R41-09 (TT 11)	Pu-RDC-b	Tatón 1	EVT-RCT	23,59	100	25,2	2,3	Ba	0,5	E

sigla	trat. Sup int	trat sup ext	Dec. Int	Dec. Ext.	Pasta	ET	Tipo cerámico	Observaciones
TT-FM-04	Pu-B	Pu-C	S/D	DDM-A	I(A)	A-IV	Ciénaga	Agujero de reparación, sección cónica, estriado, desde el exterior
PBNH3-009-01	Pu-B	Pu-C	S/D	DDM-A-C	I(A)	A-IV	Ciénaga	
PBNH2-006	Al-B	Pu-B	S/D	DDM-A	I(A)	A-IV	Saujil	
PBNH6-036-06	Pu-B	Pu-B	S/D	DDM-A	I(A)	A-IV	Saujil	
TS1-SE1-Sup-01	Pu-B	Al-B	S/D	S/D	I(A)	A-II	Ftivo. fino	
PBNH6-001-18	Pu-B	Pu-B	S/D	DDM-A	I(A)	A-IV	Saujil	
TS3-R05-40 (TT 02)	Pu-B	Pu-B	S/D	DDM-A	I(A)	A-IV	Saujil	
PBNH7-08	Pu-B	Pu-B	S/D	PEL	I(A)	A-III	Saujil	
PBNH6-001-44	Pu-B	Pu-C	S/D	S/D	I(B)	A-II	Ftivo. fino	
PBNH6-055-26	Pu-B	Pu-B	S/D	PEL	I(A)	A-III	Saujil	
PBNH6-N-34-13	Pu-B	Pu-B	PEL	DDM-A	I(A)	A-IV	Saujil	
PBNH1-118	Pu-B	Pu-B	S/D	S/D	I(A)	A-II	Ftivo. fino	
PBNH3-076-01	Pu-B	Pu-B	S/D	DDM-A	I(A)	A-IV	Saujil	
PBNH3-082-15	Pu-B	Pu-B	PEL	DDM-A	I(A)	A-IV	Saujil	
PBNH6-288-27	Pu-B	Pu-B	PEL	DDM-A-C	I(A)	A-IV	Saujil	
PBNH7-291-01	Pu-C	Pu-C	S/D	ADP-A	I(A)	B-II	Aguada	
PBNH6-288-30	Pu-B	Pu-B	S/D	PEL	I(A)	A-III	Saujil	
PBNH6-288-37	Pu-B	Pu-B	S/D	PEL	I(A)	A-III	Saujil	
PBNH3-107-01	Pu-C	Pu-B	S/D	DDM-A	I(A)	A-IV	Saujil	
PBNH1-109	Pu-B	Pu-B	S/D	DDM-A	I(A)	A-II	Saujil	
PBNH3-005-22	Pu-B	Pu-B	S/D	S/D	I(A)	A-II	Ftivo. fino	
PBNH3-010-09	Pu-B	Pu-B	PEL	PEL	I(A)	A-III	Saujil	
PBNH2-005	Pu-B	Pu-B	S/D	PEL	I(A)	A-III	Saujil	Manufactura por rodetes. Cepillado por debajo del PA en superficie externa. Asa atrofiada al pastillaje sobre el PA
PBNH6-001-11	Pu-B	Pu-B	PEL	S/D	I(A)	A-III	Saujil	
PBNH6-084-57	Pu-B	Pu-B	PEL	PEL	I(A)	A-III	Saujil	Manufactura por rodetes
PBNH3-073-02	Pu-B	Pu-B	S/D	DDM-A-C	I(A)	A-IV	Saujil	
PBNH6-288-67	Pu-B	Pu-B	S/D	S/D	I(A)	A-II	Ftivo. fino	
PBNH6-055-12	Pu-A	Al-B	S/D	S/D	I(A)	A-II	Ftivo. fino	
PBNH1-039	Pu-B	Pu-B	PEL	DDM-A	I(A)	A-IV	Saujil	El pulido es posterior al inciso
PBNH4-006	Pu-B	Pu-B	S/D	DDM-A	I(A)	A-II	Saujil	Asa atrofiada al pastillaje sobre el PA
PBNH1-002	Pu-B	Pu-B	S/D	DDM-A	I(A)	A-IV	Saujil	
PBNH4-013	Pu-B	Pu-B	S/D	DDM-A	I(B)	A-IV	Saujil	
PBNH7-06	Al-B	Al-B	S/D	S/D	I(A)	A-I	Ftivo. fino	

sigla	trat. Sup int	trat sup ext	Dec. Int	Dec. Ext.	Pasta	ET	Tipo cerámico	Observaciones
TS3-R10-48	Pu-B	Pu-B	S/D	S/D	I(A)	A-II	Ftivo. fino	
PBNH6-043-12	Pu-C	Pu-C	S/D	ADP-A	I(A)	B-II	Aguada	
PBNH5-004	Pu-B	Pu-B	PEL	PEL	I(A)	A-III	Saujil	
PBNH6-288-21	Pu-B	Pu-B	PEL	DDM-A-C	I(A)	A-IV	Saujil	Agujeros de reparación de sección cónica, estriado, dese el exterior
PBNH2-008	Pu-B	Pu-B	S/D	DDM-A	I(A)	A-IV	Saujil	
TS7-R41-09 (TT 11)	Pu-B	Pu-B	PEL	DDM-A	I(A)	A-IV	Saujil	

	Perfil pieza	sigla	Variante morfológica	Sitio	borde/labio	Ø boca (cm)	AEP	Ø PC	h PC	capacidad	esp.	SC	
532		TT-FM-14	Pu-RDC-b	Tatón 1	DCT/RCT	25	98	27,1	2	Ba	0,62	E	
533		PBNH3-277-47 (a y b)	Pu-RDC-b	Palo Blanco	DCT/RDD	25,55	74	26,7	1,5	Ba	0,5	A	
534		PBNH1-125	Pu-RDC-b	Palo Blanco	DCT/RDD	26,6	83	27	2	Ba	0,79	E	
535		PBNH3-091-03	Pu-RDC-b	Palo Blanco	DCT/RCT	32,81	84	35	3,3	Mc	0,7	E	
536		PBNH3-175-02	Pu-RDC-b	Palo Blanco	EVT/RCT	34,8	90	38,1	6,5	Mc	0,81	F	
537		PBNH3-100-01	Pu-RDC-b	Palo Blanco	EVT/RCT	36,4	88	38	2,8	Mc	0,44	E	
538		PBNH1-115	Pu-RDC-b	Palo Blanco	EVT/RCT	46,25	96	48,3	2,5	Al	0,6	E	
	Perfil pieza	sigla	Variante morfológica	Sitio	borde/labio	Ø boca	áng. boca	AEP	Ø PC	h PC	capacidad	esp.	SC
539		PBNH6-288-50	Pu-RDS-a	Palo Blanco	INV/RCT	27,57	103	103	28	1,3	Ba	0,69	A
540		PBNH1-010	Pu-RDS-b	Palo Blanco	INV/RDD	20,36	110	105	20,8	1,45	baja	0,53	E
541		PBNH1-141	Pu-RDS-b	Palo Blanco	INV/RDD	23,42	125	110	24,3	1,35	baja	0,49	E
542		PBNH6-288-13	Pu-RDS-b	Palo Blanco	INV/RDD	23,74	118	111	25,6	2,9	baja	0,55	E
543		PBNH6-N-43-01	Pu-RDS-b	Palo Blanco	INV/RDD	26,5	121	115	28,7	2,4	baja	0,6	A

OLLAS RESTRINGIDAS INDEPENDIENTES INFLEXIONADAS Y COMPUESTAS TIPO A

	Perfil pieza	sigla	Variante morfológica	borde/labio	Ø boca	AEP	Ø PC	h PC	Ø mín	h Ø mín	áng. Ø mín	capacidad	esp.	AC	sigla
544		PBNH3-175-54 (a y b)	OA-RII-a	Palo Blanco	DCT/RDD	7,4	> 100	9,6	3,9	7,40	0,0	90	MB/B	0,39	E
545		TS3-R01-33	OA-RII-a	Tatón 1	DCT/RDD	10,1	> 100	11,4	2,5	10,1	0,0	90	MB/B	0,38	E
546		PBNH3-206-24	OA-RII-a	Palo Blanco	DCT/RCT	16,4	> 100	24,8	3,6	16,4	0,0	90	Me/MA	0,68	E
547		TS6-R32-05	OA-RII-a	Tatón 1	DCT/RDD	19,0	> 100	20,0	4,9	19,0	0,0	90	Me/MA	0,6	E
548		PBNH6-084-25	OA-RII-a	Palo Blanco	EVT/RDD	20,0	> 100	19,8	4,5	18,8	2,5	76	Me/MA	0,55	E
549		PBNH2-014	OA-RII-a	Palo Blanco	EVT/RDD	20,7	> 100	20,7	3,3	19,9	1,5	76	MA/Als	0,6	A
550		TS4-R12-11	OA-RII-a	Tatón 1	EVT/RDD	27,6	> 100	27,9	4,8	26,6	3,0	80	MA/Als	0,73	E
551		PBNH1-015/16/17	OA-RII-b	Palo Blanco	EVT/RDD	19,2	> 100	22,0	5,9	19,2	0,0	90	Me/MA	0,62	E
552		TS3-R05-26	OA-RII-b	Tatón 1	EVT/RDD	24,8	> 100	25,1	5,5	23,3	3,4	77	MA/Als	0,69	E
553		PBNH3-277-65	OA-RII-b	Palo Blanco	EVT/RDD	25,5	> 100	25,2	6,4	24,1	2,5	73	MA/Als	0,81	E
554		PBNH6-022-14	OA-RII-b	Palo Blanco	EVT/RDD	26,7	> 100	27,0	6,5	25,1	3,2	75	MA/Als	0,53	E
555		PBNH3-176-01	OA-RII-b	Palo Blanco	EVT/RDD	36,6	> 100	35,0	7,0	34,1	3,0	79	MA/Als	0,61	L
556		TS4-R09-31	OA-RII-c	Tatón 1	EVT/RDD	23,3	> 100	21,8	4,1	20,2	3,5	56	MA/Als	0,79	E
557		PBNH6-024-11	OA-RII-c	Palo Blanco	EVT/RDD	24,0	> 100	26,2	4,5	22,6	1,0	54	MA/Als	0,52	E
558		PBNH6-001-54	OA-RII-c	Palo Blanco	EVT/RDD	24,7	> 100	24,1	3,0	22,4	1,5	52	MA/Als	0,5	E
559		TS7-R37-02	OA-RII-c	Tatón 1	EVT/RDD	25,5	> 100	25,2	3,0	23,2	1,7	50	MA/Als	0,48	E
560		PBNH6-001-51	OA-RII-c	Palo Blanco	HZT-EE/RCT	27,1	> 100	24,6	4,0	22,7	2,1	70	MA/Als	0,82	E
561		TS9-RB-02	OA-RII-c	Tatón 1	EVT/RDD	28,5	> 100	27,9	4,4	26,4	2,0	58	MA/Als	0,79	E
562		PBNH1-120	OA-RII-d	Palo Blanco	EVT/RDD	18,3	105	18,1	7,0	14,9	3,0	52	Me/MA	0,59	A
563		TS7-R40-15	OA-RII-d	Tatón 1	EVT/RDD	19,1	> 100	18,7	7,8	16,4	4,2	71	Me/MA	0,62	F

sigla	trat. Sup int	trat sup ext	Dec. Int	Dec. Ext.	Pasta	ET	Tipo cerámico	Observaciones
TT-FM-14	Pu-C	Pu-B	S/D	DDM-A	I(A)	A-IV	Saujil	
PBNH3-277-47 (a y b)	Pu-C	Pu-C	S/D	ADP-A	I(A)	B-II	Aguada	
PBNH1-125	Pu-B	Pu-B	PEL	S/D	I(A)	A-III	Saujil	
PBNH3-091-03	Pu-B	Pu-B	S/D	PEL	I(A)	A-III	Saujil	
PBNH3-175-02	Pu-B	Pu-B	S/D	PEL	I(A)	A-III	Saujil	
PBNH3-100-01	Pu-B	Pu-B	PEL	DDM-A	I(B)	A-IV	Saujil	
PBNH1-115	Pu-B	Pu-B	S/D	DDM-A	I(A)	A-IV	Saujil	
sigla	trat. sup int	trat sup ext	Dec. Int	Dec. Ext.	Pasta	ET	Tipo cerámico	Observaciones
PBNH6-288-50	Pu-B	Pu-B	S/D	S/D	I(A)	B-I	Ftivo. fino	
PBNH1-010	Pu-B	Pu-B	S/D	S/D	IV(A)	G-III	Ftivo. fino	
PBNH1-141	Pu-B	Pu-B	S/D	S/D	I(A)	A-II	Ftivo. fino	
PBNH6-288-13	Pu-B	Pu-C	S/D	DDM-A-E	I(A)	A-IV	Ciénaga	
PBNH6-N-43-01	Al-B	Pu-B	S/D	ADP-A	I(A)	B-II	Aguada	Manufactura por rodetes - base cóncavo-convexa A
trat. Sup int	trat sup ext	Dec. Int	Dec. Ext.	Pasta	ET	Tipo cerámico	Observaciones	
PBNH3-175-54 (a y b)	Pu-C	Pu-C	S/D	DDM-A-D	I(A)	A-IV	Ciénaga	
TS3-R01-33	Pu-B	Pu-B	S/D	S/D	I(A)	A-II	Ftivo. fino	
PBNH3-206-24	Al-B	Pu-B	S/D	DDM-A+ PEL	I(A)	A-IV	Saujil	
TS6-R32-05	Pu-B	Pu-B	S/D	S/D	I(B)	A-II	Ftivo. fino	
PBNH6-084-25	Al-B	Al-A	S/D	S/D	I(A)	A-I	Ftivo. fino	
PBNH2-014	Al-B	Al-B	S/D	S/D	I(A)	B-I	Ftivo. fino	
TS4-R12-11	Al-B	Al-B	S/D	S/D	I(A)	A-I	Ftivo. fino	
PBNH1-015/16/17	Al-B	Al-B	S/D	S/D	I(A)	A-I	Ftivo. fino	
TS3-R05-26	Al-A	Al-A	S/D	S/D	III-C	F	Ftivo. grueso	Manufactura por rodetes
PBNH3-277-65	Al-A	Al-A	S/D	S/D	V(B)	H	Ftivo. grueso	Manufactura por rodetes
PBNH6-022-14	Al-B	Pu-B	S/D	PEL	IV(B)	G-I	Saujil	
PBNH3-176-01	Al-B	Al-A	S/D	S/D	I(B)	A-I	Ftivo. fino	
TS4-R09-31	Al-A	Al-A	S/D	S/D	IV(A)	G-III	Ftivo. grueso	
PBNH6-024-11	Al-A	Al-B	S/D	S/D	V(B)	H	Ftivo. grueso	Manufactura por rodetes
PBNH6-001-54	Al-A	Al-A	S/D	S/D	V(B)	H	Ftivo. grueso	
TS7-R37-02	Al-A	Al-A	S/D	S/D	IV(A)	G-III	Ftivo. grueso	
PBNH6-001-51	Al-A	Al-A	S/D	S/D	V-C	H	Ftivo. grueso	Manufactura por rodetes
TS9-RB-02	Al-A	Al-A	S/D	S/D	V(B)	H	Ftivo. grueso	
PBNH1-120	Al-B	Al-A	S/D	S/D	V(B)	H	Ftivo. grueso	Manufactura por rodetes
TS7-R40-15	Al-B	Al-B	S/D	DDM-B	I(A)	A-V	Saujil	

	Perfil pieza	sigla	Variante morfológica	Sitio	borde/labio	Ø boca	AEP	Ø PC	h PC	Ø min	h Ø min	áng. Ø min	capacidad	esp.	AC
564		PBNH6-N-19-12	OA-RII-d	Palo Blanco	EVT/RDD	22,0	> 100	22,2	5,5	19,6	4,0	73	MA/Als	0,52	E
565		PBNH3-277-01	OA-RII-d	Palo Blanco	EVT/RCT	22,3	> 100	22,0	5,6	19,0	2,5	53	MA/Als	0,7	E
566		PBNH6-001-58	OA-RII-d	Palo Blanco	EVT/RDD	22,5	> 100	24,4	6,0	20,2	3,5	69	MA/Als	0,65	E
567		PBNH6-N-20-01	OA-RII-d	Palo Blanco	EVT/RDD	22,8	> 100	23,8	5,6	21,8	2,0	70	MA/Als	0,55	E
568		PBNH1-008	OA-RII-d	Palo Blanco	EVT/RDD	23,0	> 100	21,9	6,0	19,4	3,8	59	MA/Als	0,6	E
569		PBNH6-001-53	OA-RII-d	Palo Blanco	EVT/RDD	27,8	> 100	30,1	6,0	26,1	2,2	68	MA/Als	0,62	E
570		PBNH3-052-01	OA-RII-d	Palo Blanco	EVT/RCT	45,7	> 100	45,1	5,2	42,6	2,5	57	MA/Als	0,72	E
571		PBNH6-048-19	OA-RIC-a	Palo Blanco	EVT/RCT	15,6	> 100	14	4	13,9	4,0	76	Me/MA	0,53	A
572		PBNH1-121	OA-RIC-a	Palo Blanco	EVT/RCT	20	> 100	18	4,5	18,1	4,5	77	Me/MA	0,5	E
573		PBNH6-084-44	OA-RIC-a	Palo Blanco	EVT/RCT	23	> 100	23	1,1	23,0	0,0	90	MA/Als	0,53	E
574		PBNH3-108-01	OA-RIC-b	Palo Blanco	EVT/RDD	27,77	> 100	27	10	26,3	5,5	83	MA/Als	0,69	E
575		PBNH6-042-02/05	OA-RIC-b	Palo Blanco	EVT/RCT	18,54	> 100	17,1	5	16,4	2,5	70	Me/MA	0,64	E
576		PBNH1-098	OB-RII-a	Palo Blanco	EVT/RCT	12,0	> 90 < 100	12,3	4,0	11,4	2,0	81	MB/B	0,6	E
577		PBNH6-N-19-37	OB-RII-a	Palo Blanco	EVT/RDD	12,8	> 90 < 100	12,8	3,5	11,9	1,9	75	MB/B	0,42	E
578		TS4-R14-01	OB-RII-a	Tatón 1	HZT-EE/RCT	22,0	> 90 < 100	23,5	4,7	21,8	1,0	82	Me/Al	0,49	E
579		PBNH3-127-01/02	OB-RII-b	Palo Blanco	DCT/RCT	19,7	> 90 < 100	20,6	7,5	19,7	0,0	90	MB/B	0,5	E
580		PBNH5-025	OB-RII-b	Palo Blanco	EVT/RCT	26,1	> 90 < 100	26,9	5,4	25,5	1,5	78	Me/Al	0,59	E
581		PBNH3-143-08	OB-RII-b	Palo Blanco	EVT/RDD	26,7	> 90 < 100	25,7	9,1	24,7	5,5	79	Me/Al	0,69	E
582		PBNH6-288-05	OB-RII-b	Palo Blanco	EVT/RDD	30,8	> 90 < 100	30,8	10,4	28,4	5,5	77	MA/Als	0,78	E
583		PBNH6-288-09	OB-RII-b	Palo Blanco	EVT/RDD	34,5	> 90 < 100	33,9	9,1	31,9	6,0	77	MA/Als	0,81	E
584		PBNH6-016-06	OB-RII-c	Palo Blanco	EVT/RDD	13,9	98	13,4	2,5	12,2	1,0	48	MB/B	0,43	A
585		PBNH1-005	OB-RII-c	Palo Blanco	EVT/RCT	15,0	98	14,5	2,6	13,2	1,5	51	MB/B	0,7	E
586		PBNH6-288-66	OB-RII-c	Palo Blanco	EVT/RDD	19,9	91	17,9	2,5	17,2	1,4	37	MB/B	0,71	E
587		TS5-R25-18	OB-RII-c	Tatón 1	EVT/RDD	20,9	> 90 < 100	19,1	4,0	17,8	2,0	35	Me/Al	0,7	E
588		PBNH1-124	OB-RII-d	Palo Blanco	EVT/RDD	17,1	97	15,0	15,0	14,0	6,3	75	MB/B	0,65	E
589		TS5-R24-02	OB-RII-d	Tatón 1	EVT/RCT	19,0	> 90 < 100	18,7	7,9	17,0	2,0	65	MB/B	0,67	A
590		PBNH1-041	OB-RII-d	Palo Blanco	EVT/RDD	20,7	> 90 < 100	17,9	7,1	14,4	4,5	54	Me/Al	0,56	E
591		PBNH6-288-04	OB-RII-d	Palo Blanco	EVT/RCT	23,7	> 90 < 100	20,5	8,9	18,6	5,7	65	Me/Al	0,6	E
592		PBNH6-288-15	OB-RII-d	Palo Blanco	EVT/RDD	23,9	> 90 < 100	22,9	7,6	20,9	2,9	61	Me/Al	0,71	E

sigla	trat. Sup int	trat sup ext	Dec. Int	Dec. Ext.	Pasta	ET	Tipo cerámico	Observaciones
PBNH6-N-19-12	AI-B	AI-B	S/D	S/D	V-C	H	Ftivo. grueso	
PBNH3-277-01	AI-A	AI-A	S/D	S/D	V(B)	H	Ftivo. grueso	Manufactura por rodets. Hollín en superficie externa
PBNH6-001-58	AI-A	AI-A	S/D	S/D	V(B)	H	Ftivo. grueso	Manufactura por rodets
PBNH6-N-20-01	AI-B	AI-B	S/D	DDM-B	I(A)	A-V	Saujil	
PBNH1-008	AI-B	Pu-A	S/D	PEL	I(A)	A-III	Saujil	Manufactura por rodets
PBNH6-001-53	AI-A	AI-A	S/D	S/D	V(B)	H	Ftivo. grueso	
PBNH3-052-01	AI-B	AI-B	S/D	S/D	V(B)	H	Ftivo. grueso	Manufactura por rodets
PBNH6-048-19	AI-B	AI-B	S/D	ADP-A+ ADM-A	I(A)	B-II	Aguada	
PBNH1-121	AI-A	AI-A	S/D	ADP-A	V(B)	H	Ftivo. fino	Manufactura por rodets
PBNH6-084-44	AI-A	AI-A	S/D	S/D	V-C	H	Ftivo. grueso	
PBNH3-108-01	AI-A	AI-A	S/D	S/D	V(B)	H	Ftivo. grueso	
PBNH6-042-02/05	AI-A	AI-A	S/D	S/D	V(B)	H	Ftivo. grueso	Manufactura por rodets
PBNH1-098	AI-B	AI-B	S/D	DDM-A	I(A)	A-IV	Saujil	
PBNH6-N-19-37	Pu-B	Pu-C	S/D	DDM-A	I(A)	A-IV	Ciénaga	
TS4-R14-01	AI-B	Pu-B	S/D	DDM-A	I(A)	A-IV	Saujil	
PBNH3-127-01/02	AI-B	Pu-B	S/D	DDM-B	IV(A)	G-II	Saujil	
PBNH5-025	Pu-B	AI-B	S/D	DDM-D	I(A)	A-V	Saujil	
PBNH3-143-08	AI-B	AI-B	S/D	S/D	IV(A)	G-III	Ftivo. fino	Manufactura por rodets
PBNH6-288-05	AI-A	AI-A	S/D	S/D	V(B)	H	Ftivo. grueso	Manufactura por rodets
PBNH6-288-09	AI-B	AI-B	S/D	DDM-D	I(A)	A-V	Saujil	
PBNH6-016-06	AI-B	AI-B	S/D	ADP-A	I(A)	B-II	Aguada	
PBNH1-005	AI-A	AI-A	S/D	S/D	indet.	indet.	Ftivo. grueso	Manufactura por rodets. Asa en arco horizontal, formada por tres chorizos paralelos, al pastillaje. Pasta indeterminada por alteración térmica por exposición al fuego
PBNH6-288-66	AI-A	AI-A	S/D	S/D	V(B)	H	Ftivo. grueso	Manufactura por rodets
TSS-R25-18	AI-A	AI-A	S/D	S/D	III(A)	F	Ftivo. grueso	
PBNH1-124	AI-A	AI-B	S/D	DDM-B	I(A)	A-V	Saujil	Manufactura por rodets.
TSS-R24-02	AI-A	AI-A	S/D	S/D	V(B)	H	Ftivo. grueso	
PBNH1-041	AI-A	Pu-A	S/D	PEL	I(A)	A-III	Saujil	
PBNH6-288-04	AI-B	AI-A	S/D	S/D	V(B)	H	Ftivo. grueso	
PBNH6-288-15	AI-A	AI-A	S/D	DDM-B	I(A)	A-V	Saujil	Agujero de reparación cónico, desde el exterior

	Perfil pieza	sigla	Variante morfológica	Sitio	borde/labio	Ø boca	AEP	Ø PC	h PC	Ø min	h Ø min	áng. Ø min	capacidad	esp.	AC
593		PBNH3-101-22	OB-RII-d	Palo Blanco	EVT/RDD	24,6	> 90 < 100	23,6	6,0	21,1	3,0	65	Me/Al	0,65	E
594		PBNH4-011	OB-RII-d	Palo Blanco	EVT/RCT	24,9	> 90 < 100	21,1	9,6	18,9	6,2	59	Me/Al	0,59	E
595		PBNH6-N-19-32	OB-RII-d	Palo Blanco	EVT/RDD	24,9	> 90 < 100	22,4	7,5	21,7	4,0	73	Me/Al	0,7	E
596		PBNH3-194-11	OB-RII-d	Palo Blanco	EVT/RDD	25,0	> 90 < 100	23,0	7,6	20,9	4,5	65	Me/Al	0,61	E
597		PBNH1-035	OB-RII-d	Palo Blanco	EVT/RDD	25,3	> 90 < 100	18,8	13,0	20,0	7,0	59	Me/Al	0,51	E
598		PBNH6-001-57	OB-RII-d	Palo Blanco	EVT/RDD	26,2	> 90 < 100	25,3	5,9	24,1	3,0	68	Me/Al	0,62	E
599		PBNH1-095	OB-RII-d	Palo Blanco	EVT/RCT	26,4	> 90 < 100	23,1	6,3	20,5	4,0	61	Me/Al	0,68	E
600		TS1-R01-07	OB-RII-d	Tatón 1	EVT/RDD	26,5	> 90 < 100	24,9	6,2	23,9	5,0	74	Me/Al	0,7	E
601		PBNH3-210-13	OB-RII-d	Palo Blanco	EVT/RCT	27,2	> 90 < 100	27,2	6,6	25,7	1,5	65	Me/Al	0,88	E
602		PBNH3-010-10	OB-RII-d	Palo Blanco	EVT/RDD	28,3	> 90 < 100	27,0	7,9	24,9	3,9	64	Me/Al	0,59	E
603		PBNH4-001	OB-RII-d	Palo Blanco	EVT/RCT	28,4	> 90 < 100	27,9	9,3	25,4	3,0	61	Me/Al	0,57	E
604		PBNH6-084-66	OB-RII-d	Palo Blanco	EVT/RDD	28,6	> 90 < 100	24,1	6,5	20,9	3,5	38	Me/Al	0,8	E
605		PBNH1-003	OB-RII-d	Palo Blanco	EVT/RDD	28,9	> 90 < 100	27,0	12,4	26,8	4,5	73	Me/Al	0,61	E
606		PBNH1-040	OB-RII-d	Palo Blanco	EVT/RDD	29,3	> 90 < 100	24,9	6,2	24,9	4,8	63	Me/Al	0,8	E
607		TT-FM-11	OB-RII-d	Tatón 1	EVT/RDD	29,7	91	28,4	6,4	27,6	3,5	73	Me/Al	1,2	E
608		TS4-R12-13	OB-RII-d	Tatón 1	EVT/RDD	29,9	> 90 < 100	25,9	6,0	24,8	4,5	58	Me/Al	0,71	E
609		PBNH1-106	OB-RII-d	Palo Blanco	EVT/RDD	30,2	> 90 < 100	30,8	7,6	28,8	3,3	69	MA/Als	0,95	E
610		TS7-R40-16	OB-RII-d	Tatón 1	EVT/RDD	30,6	> 90 < 100	30,0	6,0	28,0	4,0	74	MA/Als	0,57	E
611		PBNH3-271-01	OB-RII-d	Palo Blanco	EVT/RDD	32,1	> 90 < 100	30,3	5,8	28,5	3,5	59	MA/Als	0,5	E
612		PBNH3-272-02	OB-RII-d	Palo Blanco	EVT/RDD	33,5	> 90 < 100	32,2	5,9	29,8	3,5	58	MA/Als	0,62	E
613		PBNH3-215-20	OB-RII-d	Palo Blanco	EVT/RDD	34,7	> 90 < 100	33,9	6,1	31,6	2,6	59	MA/Als	0,6	E
614		PBNH4-005	OB-RII-d	Palo Blanco	EVT/RDD	35,2	97	35,2	7,0	33,0	3,5	73	MA/Als	0,69	E
615		PBNH6-288-25	OB-RII-d	Palo Blanco	EVT/RDD	35,4	> 90 < 100	31,4	13,8	28,7	7,8	64	MA/Als	0,73	E
616		PBNH5-048	OB-RII-d	Palo Blanco	EVT/RDD	35,7	> 90 < 100	34,0	7,2	31,3	3,0	50	MA/Als	0,6	G
617		PBNH1-020	OB-RII-d	Palo Blanco	EVT/RDD	38,5	> 90 < 100	36,2	9,0	34,7	5,3	69	MA/Als	0,6	E
618		PBNH1-174	OB-RII-d	Palo Blanco	EVT/RDD	40,8	> 90 < 100	37,0	6,6	15,3	4,5	51	MA/Als	1,73	E
619		PBNH3-210-04	OB-RII-d	Palo Blanco	EVT/RDD	40,8	> 90 < 100	40,0	7,1	38,4	3,1	69	MA/Als	0,7	A
620		PBNH3-233-08	OB-RII-d	Palo Blanco	EVT/RDD	47,3	> 90 < 100	44,3	7,6	43,3	4,2	57	MA/Als	0,71	A

sigla	trat. Sup int	trat sup ext	Dec. Int	Dec. Ext.	Pasta	ET	Tipo cerámico	Observaciones
PBNH3-101-22	AI-B	AI-B	S/D	S/D	I(B)	A-I	Ftivo. fino	
PBNH4-011	AI-B	Pu-A	S/D	S/D	I(A)	A-II	Ftivo. fino	Hollín en superficie externa
PBNH6-N-19-32	AI-B	AI-A	S/D	DDM-B	I(A)	A-V	Saujil	
PBNH3-194-11	AI-B	AI-B	S/D	S/D	V(B)	H	Ftivo. grueso	Manufactura por rodets
PBNH1-035	AI-A	AI-B	S/D	DDM-B	I(A)	A-V	Saujil	Evidencias de manufactura por rodets y paletado
PBNH6-001-57	AI-B	AI-B	S/D	DDM-D	I(A)	A-V	Saujil	
PBNH1-095	AI-A	AI-A	S/D	S/D	IV(A)	G-III	Ftivo. grueso	Manufactura por rodets
TS1-R01-07	AI-B	AI-B	S/D	S/D	I(A)	A-I	Ftivo. fino	
PBNH3-210-13	AI-A	AI-A	S/D	S/D	V(A)	H	Ftivo. grueso	
PBNH3-010-10	AI-B	Pu-A	S/D	S/D	I(A)	A-II	Ftivo. fino	Manufactura por rodets. Cepillado en superficie externa
PBNH4-001	AI-B	AI-B	S/D	DDM-A	IV(B)	G-II	Saujil	
PBNH6-084-66	AI-A	AI-A	S/D	S/D	V-C	H	Ftivo. grueso	
PBNH1-003	Pu-B	Pu-B	PEL	DDM-A+ PEL	I(B)	A-IV	Saujil	Pulido posterior al inciso
PBNH1-040	AI-A	AI-A	S/D	S/D	VI(B)	H	Ftivo. grueso	Manufactura por rodets. Hollín en superficie externa
TT-FM-11	AI-A	AI-A	S/D	S/D	III(B)	F	Saujil	Manufactura por rodets
TS4-R12-13	AI-A	AI-A	S/D	DDM-F	IV(B)	G-III	Ftivo. grueso	
PBNH1-106	AI-A	AI-A	S/D	S/D	V(B)	H	Ftivo. grueso	
TS7-R40-16	AI-B	Pu-A	S/D	S/D	I(A)	A-II	Ftivo. fino	
PBNH3-271-01	AI-B	AI-B	S/D	S/D	I(A)	A-I	Ftivo. fino	Manufactura por rodets
PBNH3-272-02	AI-B	Pu-B	S/D	PEL	I(A)	A-III	Saujil	
PBNH3-215-20	AI-A	AI-A	S/D	S/D	V(B)	H	Ftivo. grueso	Manufactura por rodets
PBNH4-005	AI-B	AI-B	S/D	DDM-D	IV(A)	G-II	Saujil	
PBNH6-288-25	AI-B	AI-B	S/D	DDM-B	I(A)	A-V	Saujil	
PBNH5-048	AI-A	AI-A	S/D	S/D	V(B)	H	Ftivo. grueso	
PBNH1-020	AI-B	AI-B	S/D	DDM-D	I(A)	A-V	Saujil	
PBNH1-174	AI-A	AI-A	S/D	S/D	V-C	H	Ftivo. grueso	Hollín en superficie externa
PBNH3-210-04	AI-B	AI-B	S/D	ADP-A	VII(A)	I	Sanagasta	Manufactura por rodets
PBNH3-233-08	AI-A	AI-A	S/D	ADP-A	VII(A)	I	Tardío indet.	Manufactura por rodets

OLLAS RESTRINGIDAS INDEPENDIENTES INFLEXIONADAS y COMPUESTAS TIPO C

	Perfil pieza	sigla	Variante morfológica	Sitio	borde/labio	Ø boca	AEP	Ø PC	h PC	Ø mín	h Ø mín	áng. Ø mín	capacidad	esp.	AC
621		PBNH3-091-02	OC-RII-d	Palo Blanco	EVT/RDD	26,8	< 90	23,8	10,8	22,1	7,4	74	Me/Al	0,38	E
622		PBNH3-139-01	OC-RII-d	Palo Blanco	EVT/RDD	27,0	< 90	22,2	9,4	21,0	4,8	55	Me/Al	0,49	E
623		PBNH6-001-43	OC-RII-d	Palo Blanco	EVT/RDD	27,6	< 90	24,9	5,0	24,1	3,5	62	Me/Al	0,72	E
624		PBNH3-153-09/01;175-	OC-RIC-d	Palo Blanco	EVT/RDD	22,23	82	15	7	15,3	7,0	64	Me/Al	0,91	E
625		FJP-T3-01	OC-RIC-d	Finca J. Pereyra	EVT/RDD	28,5	83	25	9,5	26,8	13,8	75	MA/Als	0,73	A
626		FJP-T1-04	OC-RIC-d	Finca J. Pereyra	EVT/RDD	30,0	77	23,0	11	28,2	16,5	65	MA/Als	0,79	A
627		FJP-T2-06	OC-RIC-d	Finca J. Pereyra	EVT/RDD	31,0	84	26,0	11	31,0	16,3	75	MA/Als	0,73	A
628		FJP-T3-03	OC-RIC-d	Finca J. Pereyra	EVT/RDD	31,8	86	27,0	9,0	31,7	15,0	70	MA/Als	0,78	A
629		FJP-T1-03	OC-RIC-d	Finca J. Pereyra	EVT/RDD	36,0	85	32,0	9,5	34,0	15,5	67	MA/Als	0,72	A

OLLAS RESTRINGIDAS DEPENDIENTES SIMPLES - TIPO D

	Perfil pieza	sigla	Variante morfológica	Sitio	borde/labio	Ø boca	áng. Boca	AEP	Ø PC	h PC	capacidad	esp.	SC
630		TT-FM-01	OD-RDS-a	Tatón 1	INV/RDD	10,9	160	134	16	2,5	MB/B	0,41	E
631		PBNH6N-19-43	OD-RDS-a	Palo Blanco	INV/RDD	14	147	127	19,1	3	MB/B	0,5	E

BASES

	Perfil pieza	sigla	Sitio	forma de la base	Modalidad base	Ø base	AE- base	Eversion de la base	espesor base	esp. Cpo	SC
632		PBNH5-054	Palo Blanco	Cóncavo-convexa	Ce-Cx-A	4,5	139	desde PT	0,59	0,51	E
633		TSS-R10-02 (TT 07)	Tatón	Cóncavo-convexa	Ce-Cx-A	7	116	desde PT	0,78	0,6	F
634		PBNH3-100-07	Palo Blanco	Cóncavo-convexa	Ce-Cx-A	7,8	137	desde PT	0,6	0,46	E
635		TS6-R31-11	Tatón	Cóncavo-convexa	Ce-Cx-A	8,1	126	desde PT	0,82	0,7	E
636		TS3-R10-02	Tatón	Cóncavo-convexa	Ce-Cx-A	8,3	132	desde PT	0,9	0,7	E
637		TS4-R20-06	Tatón	Cóncavo-convexa	Ce-Cx-A	8,9	136	desde PT	0,9	0,62	E
638		TS4-R12-04	Tatón	Cóncavo-convexa	Ce-Cx-A	9,1	124	desde PT	0,9	0,62	E
639		TS3-R10-06	Tatón	Cóncavo-convexa	Ce-Cx-A	9,3	132	desde PT	0,91	1	E

sigla	trat. Sup int	trat sup ext	Dec. Int	Dec. Ext.	Pasta	ET	Tipo cerámico	Observaciones
PBNH3-091-02	Al-B	Pu-B	S/D	PEL	I(A)	A-III	Saujil	
PBNH3-139-01	Al-B	Pu-B	S/D	PEL	IV(A)	G-I	Saujil	Manufactura por rodetes
PBNH6-001-43	Al-A	Al-A	S/D	S/D	V(B)	H	Ftivo. grueso	Manufactura por rodetes
PBNH3-153-09/01;175-	Al-A	Al-A	S/D	S/D	V(B)	H	Ftivo. grueso	Manufactura por rodetes. Hollín en superficie externa
FJP-T3-01	Pu-C	Pu-C	ADP-D	ADP-D/ ADM-B	II(B)	B-III	Belen	Manufactura por rodetes - Base Cc-Cx-A
FJP-T1-04	Pu-C	Pu-C	ADP-D	ADP-D/ RDM-B/ DDM-B	I-C	B-III	Belen	Manufactura por rodetes - Base Cc-Cx-A
FJP-T2-06	Pu-C	Pu-C	ADP-D	ADP-D/ ADM-B	I-C	B-III	Belen	Manufactura por rodetes - Base Cc-Cx-A
FJP-T3-03	Pu-C	Pu-C	ADP-D	ADP-D/ ADM-B	I-C	B-III	Belen	Manufactura por rodetes - Base Cc-Cx-A
FJP-T1-03	Pu-C	Pu-C	ADP-D	ADP-D/ RDM-B/ DDM-B	I-C	B-III	Belen	Manufactura por rodetes - Base Cc-Cx-A

sigla	trat. sup int	trat sup ext	Dec. Int	Dec. Ext.	Pasta	ET	Tipo cerámico	Observaciones
TT-FM-01	Pu-B	Pu-B	PEL	DDM-A	I(A)	A-IV	Saujil	
PBNH6N-19-43	Pu-B	Pu-B	S/D	PEL	I(A)	A-III	Saujil	

sigla	trat. sup int	trat sup ext	Dec. Int	Dec. Ext.	Pasta	ET	Tipo cerámico	Observaciones
PBNH5-054	Pu-B	Pu-B	PEL	PEL	I(A)	A-III	Saujil	
TS5-R10-02 (TT 07)	Pu-C	Pu-B	S/D	PEL	I(A)	A-III	Saujil	
PBNH3-100-07	Pu-B	Pu-B	PEL	PEL	I(A)	A-III	Saujil	Base sobre molde
TS6-R31-11	Pu-B	Pu-B	S/D	S/D	I(A)	A-II	Ftivo. fino	Base sobre molde
TS3-R10-02	Al-B	Pu-B	S/D	S/D	I(A)	A-II	Ftivo. fino	Base sobre molde
TS4-R20-06	Pu-C	Pu-B	S/D	S/D	I(A)	A-II	Ftivo. fino	Base sobre molde
TS4-R12-04	Pu-B	Pu-A	S/D	S/D	I(A)	A-II	Ftivo. fino	Base sobre molde
TS3-R10-06	Pu-B	Pu-B	S/D	S/D	I(A)	A-II	Ftivo. fino	

	Perfil pieza	sigla	Sitio	forma de la base	Modalidad base	Ø base	AE- base	Eversion de la base	espesor base	esp. Cpo	SC
640		PBNH3-005-03	Palo Blanco	Cóncavo-convexa	Cc-Cx-A	9,6	117	desde PT	1,3	0,82	E
641		PBNH3-206-20	Palo Blanco	Cóncavo-convexa	Cc-Cx-A	9,7	118	desde PT	0,65	0,73	E
642		PBNH3-277-34	Palo Blanco	Cóncavo-convexa	Cc-Cx-A	10	138	desde PT	0,7	0,63	E
643		PBNH3-175-03	Palo Blanco	Cóncavo-convexa	Cc-Cx-A	10	127	desde PT	0,61	0,72	E
644		PBNH3-194-23 (1 y 2)	Palo Blanco	Cóncavo-convexa	Cc-Cx-A	13	119	desde PT	0,92	0,73	E
645		TS4-R21-04	Tatón	Cóncavo-convexa	Cc-Cx-A	13	139	desde PT	1,2	0,91	E
646		PBNH3-232-07	Palo Blanco	Cóncavo-convexa	Cc-Cx-A	5,2	148	desde PT	0,6	0,61	F
647		PBNH3-130-01	Palo Blanco	Cóncavo-convexa	Cc-Cx-A	5,5	147	desde PT	0,7	0,67	A
648		PBNH3-232-01	Palo Blanco	Cóncavo-convexa	Cc-Cx-A	5,5	157	desde PT	1,09	0,68	E
649		PBNH6-288-61	Palo Blanco	Cóncavo-convexa	Cc-Cx-A	6,3	148	desde PT	0,26	0,36	E
650		PBNH3-057-01	Palo Blanco	Cóncavo-convexa	Cc-Cx-A	6,4	143	desde PT	0,79	0,61	E
651		PBNH1-123	Palo Blanco	Cóncavo-convexa	Cc-Cx-A	6,5	143	desde PT	0,48	0,56	E
652		TS4-R09-39	Tatón	Cóncavo-convexa	Cc-Cx-A	6,8	143	desde PT	0,89	0,55	G
653		PBNH6-288-11	Palo Blanco	Cóncavo-convexa	Cc-Cx-A	7,4	142	desde PT	0,85	0,68	E
654		PBNH1-043	Palo Blanco	Cóncavo-convexa	Cc-Cx-A	8	157	desde PT	1,38	0,61	E
655		PBNH5-074	Palo Blanco	Cóncavo-convexa	Cc-Cx-A	8,1	145	desde PT	0,9	0,9	E
656		PBNH6-288-14	Palo Blanco	Cóncavo-convexa	Cc-Cx-A	8,6	146	desde PT	1,53	0,77	E
657		PBNH6-288-35	Palo Blanco	Cóncavo-convexa	Cc-Cx-A	8,8	145	desde PT	0,55	0,47	E
658		TT-FM-17	Tatón	Cóncavo-convexa	Cc-Cx-A	9,3	142	desde PT	1	0,83	I
659		PBNH1-045	Palo Blanco	Cóncavo-convexa	Cc-Cx-B	13	118	en pedestal	0,9	0,71	E
660		PBNH3-190-11	Palo Blanco	Cóncavo-convexa	Cc-Cx-B	10	142	en pedestal	0,9	0,58	E
661		PBNH3-165-09	Palo Blanco	Recta	Recta	9,1	96	desde PT	0,6	0,4	E
662		TT-FM-16	Tatón	Recta	Recta	3,4	140	desde PT	0,5	0,31	H
663		PBNH3-024-09	Palo Blanco	Recta	Recta	6	132	desde PT	0,29	0,5	E
664		PBNH3-189-09	Palo Blanco	Recta	Recta	6,8	135	desde PT	0,9	0,7	E
665		PBNH3-128-01	Palo Blanco	Recta	Recta	7,6	140	desde PT	0,7	0,69	E

**MATERIALES PROCEDENTES DE PRECORDILLERA
ESCUDILLAS, PUCOS Y VASOS NO RESTRINGIDOS SIMPLES**

	Perfil pieza	sigla	Variante morfológica	Sitio	borde/labio	Ø boca (cm)	áng. boca	AEP	capac.	esp.	SC
666		OA1-R7-105	Es-NRS-a	OA	DCT/RDD	14,1	29	30	MB	0,41	E
667		PB-CG-08-32	Es-NRS-a	Los pocitos	DCT/EBI	14,2	46	25	MB	0,51	H
668		PB-CG-11-07	Es-NRS-a	Potrerillos	DCT/RDD	14,2	47	40	MB	0,7	E
669		OA1-R7-259	Es-NRS-a	OA	DCT/RDD	14,3	77	63	MB	0,5	E
670		PB-CG-20-140	Es-NRS-a	Horcones	DCT/RDD	16,2	69	50	MB	0,53	A
671		OA1-R7-139	Es-NRS-a	OA	DCT/RDD	17,9	63	55	MB	0,61	G
672		PB-CG-02-02	Es-NRS-a	Los pocitos	DCT/RDD	18,1	73	55	MB	0,45	H
673		Rech2-E095-02	Es-NRS-a	Ranchillos 2	DCT/RDD	22,2	55	49	Ba	0,66	A
674		PB-CG-08-38	Es-NRS-a	Los pocitos	DCT/EBI	22,7	61	43	Ba	0,61	E
675		PB-CG-12-07	Es-NRS-a	Potrerillos	DCT/RDD	22,7	64	40	Ba	0,5	E
676		PB-CG-03-05	Es-NRS-a	Los pocitos	DCT/RDD	23,1	62	60	Ba	0,48	E
677		OA1-R5-04	Es-NRS-a	OA	DCT/RDD	24,0	60	58	Ba	0,4	E
678		PB-CG-16-06	Es-NRS-a	Potrerillos	DCT/RDD	24,9	53	53	Ba	0,59	H
679		PB-CG-08-23	Es-NRS-a	Los pocitos	DCT/EBI	25,0	75	64	Ba	0,59	H
680		PB-CG-02-05	Es-NRS-a	Los pocitos	DCT/RDD	28,0	66	63	Ba	0,87	E
681		PB-CG-08-08	Es-NRS-a	Los pocitos	DCT/RDD	31,9	69	64	Me	0,79	E
682		OA1-SE-E7-60	Es-NRS-a	OA	DCT/RDD	32,1	67	64	Me	0,71	E
683		PB-CG-14-09	Es-NRS-a	Potrerillos	DCT/RCT	34,1	60	53	Me	0,67	E
684		PB-CG-03-12	Es-NRS-a	Los pocitos	DCT/RDD	34,4	59	50	Me	0,57	A

sigla	trat. sup int	trat sup ext	Dec. Int	Dec. Ext.	Pasta	ET	Tipo cerámico	Observaciones
PBNH3-005-03	Pu-B	Pu-B	S/D	S/D	I(A)	A-II	Ftivo. fino	
PBNH3-206-20	Pu-B	Pu-B	S/D	S/D	I(A)	A-II	Ftivo. fino	
PBNH3-277-34	Pu-B	Pu-A	PEL	S/D	I(A)	A-III	Saujil	Base sobre molde. Paletado en superficie externa
PBNH3-175-03	Pu-B	Pu-B	S/D	S/D	I(A)	A-II	Ftivo. fino	Base sobre molde
PBNH3-194-23 (1 y 2)	Pu-B	Pu-B	S/D	S/D	I(A)	A-II	Ftivo. fino	Base sobre molde
TS4-R21-04	Al-B	Al-B	S/D	S/D	I(A)	A-I	Ftivo. fino	Base sobre molde
PBNH3-232-07	Pu-B	Pu-B	S/D	S/D	IV(A)	G-III	Ftivo. fino	
PBNH3-130-01	Pu-C	Pu-C	S/D	ADP-A	I(A)	B-II	Aguada	Base sobre molde
PBNH3-232-01	Pu-B	Pu-B	PEL	PEL	I(A)	A-III	Saujil	Base sobre molde
PBNH6-288-61	Pu-D	Pu-D	S/D	S/D	I(A)	A-II	Ftivo. fino	Base sobre molde
PBNH3-057-01	Al-B	Al-B	S/D	S/D	I(A)	A-I	Ftivo. fino	Base sobre molde
PBNH1-123	Pu-C	Pu-C	S/D	S/D	I(A)	A-II	Ftivo. fino	Base sobre molde
TS4-R09-39	Pu-C	Pu-D	S/D	S/D	I(A)	A-II	Ftivo. fino	
PBNH6-288-11	Pu-B	Pu-B	PEL	PEL	I(A)	A-III	Saujil	Base sobre molde
PBNH1-043	Al-B	Al-B	S/D	S/D	I(A)	A-I	Ftivo. fino	Base sobre molde
PBNH5-074	Pu-A	Pu-A	S/D	S/D	I(A)	A-II	Ftivo. fino	
PBNH6-288-14	Pu-B	Pu-B	PEL	PEL	I(A)	A-III	Saujil	Base sobre molde
PBNH6-288-35	Pu-B	Pu-B	PEL	PEL	I(A)	A-III	Saujil	Base sobre molde
TT-FM-17	Al-B	Al-B	S/D	S/D	I(A)	A-I	Ftivo. fino	Base sobre molde. Manufactura por rodetes.
PBNH1-045	Al-B	Pu-B	S/D	S/D	I(A)	A-III	Ftivo. fino	Base sobre molde; evidencias de estiramiento de pasta en la unión base cuerpo.
PBNH3-190-11	Al-B	Pu-B	S/D	PEL	I(A)	A-III	Saujil	
PBNH3-165-09	Al-B	Pu-B	S/D	PEL	I(A)	A-III	Saujil	
TT-FM-16	Pu-B	Pu-B	ADP-B	ADP-B	I(B)	A-III	Saujil	
PBNH3-024-09	Al-B	Al-B	S/D	S/D	atípica	indet.	Ftivo. fino	
PBNH3-189-09	Pu-B	Pu-B	S/D	S/D	I(A)	A-II	Saujil	
PBNH3-128-01	Pu-B	Pu-B	PEL	PEL	I(A)	A-III	Saujil	

sigla	Trat. sup. Int.	Trat. sup. ext.	Dec. Int	Dec. Ext.	Pasta	ET	Tipo cerámico	Observaciones
OA1-R7-105	Pu-C	Pu-C	S/D	S/D	I(A)	A-II	Ftivo. fino	
PB-CG-08-32	Pu-C	Pu-B	ADP-B	S/D	I(B)	A-III	Saujil	
PB-CG-11-07	Al-B	Al-B	S/D	ADM-A	I(A)	A-I	Ftivo. fino	
OA1-R7-259	Al-B	Pu-B	S/D	S/D	I(A)	A-II	Ftivo. fino	
PB-CG-20-140	Pu-C	Pu-D	S/D	ADP-A+ ADM-A	I(A)	B-II	Aguada	
OA1-R7-139	Pu-B	Pu-B	S/D	S/D	I(A)	A-II	Ftivo. fino	
PB-CG-02-02	Pu-B	Pu-B	S/D	ADP-B	I(A)	A-III	Saujil	
Reh2-E095-02	Pu-C	Al-B	ADP-A	S/D	I(A)	B-II	Aguada	
PB-CG-08-38	Pu-B	Pu-B	PEL	S/D	I(A)	A-III	Saujil	
PB-CG-12-07	Pu-B	Pu-B	PEL	PEL	I(A)	A-III	Saujil	
PB-CG-03-05	Al-B	Al-B	S/D	S/D	IV(B)	G-III	Ftivo. fino	
OA1-R5-04	Pu-B	Pu-B	PEL	PEL	I(A)	A-III	Saujil	
PB-CG-16-06	Pu-B	Pu-B	ADP-B	S/D	IV(A)	G-I	Saujil	
PB-CG-08-23	Pu-B	Pu-B	S/D	S/D	I(A)	A-II	Ftivo. fino	Agujero de reparación de sección bicónica
PB-CG-02-05	Al-A	Al-A	S/D	S/D	III-C	F	Ftivo. grueso	
PB-CG-08-08	Al-B	Al-A	S/D	DDM-A	IV(A)	G-II	Saujil	
OA1-SE-E7-60	Pu-B	Pu-B	S/D	PEL	I(A)	A-III	Saujil	Manufactura por rodetes
PB-CG-14-09	Pu-B	Pu-B	S/D	S/D	IV(A)	G-III	Ftivo. fino	
PB-CG-03-12	Pu-B	Pu-B	S/D	S/D	V(B)	H	Ftivo. fino	

	Perfil pieza	sigla	Variante morfológica	Sitio	borde/labio	Ø boca (cm)	áng. boca	AEP	capac.	esp.	SC
685		PBCG-20-130	Es-NRS-b	Horcones	HZT-EI/ RDD	13,9	85	51	MB	0,42	A
686		OA1-U28-39	Es-NRS-b	OA	DCT/RDD	15,2	82	64	MB	0,42	E
687		PB-CG-08-24	Es-NRS-b	Los pocitos	DCT/RDD	31,8	83	63	Me	0,62	E
688		PB-CG-08-15	Pu-NRS-a	Los pocitos	DCT/RCT	14,4	89	75	MB	0,6	J
689		OA1-R7-390	Pu-NRS-a	OA	DCT/RDD	15,4	82	79	MB	0,5	E
690		OA1-049-66	Pu-NRS-a	OA	DCT/RCT	16,1	90	76	MB	0,5	G
691		OA1-R7-370	Pu-NRS-a	OA	DCT/RDD	17,0	80	78	MB	0,42	E
692		Reh2-E155-02	Pu-NRS-a	Ranchillos 2	DCT/RCT	18,3	80	78	MB	0,56	A
693		OA1-R7-360	Pu-NRS-a	OA	DCT/RDD	19,9	90	79	MB	0,52	E
694		OA1-001-33	Pu-NRS-a	OA	DCT/RDD	20,6	78	71	Ba	0,61	G
695		PB-CG-20-32	Pu-NRS-a	Horcones	DCT/RDD	22,0	74	74	Ba	0,63	E
696		PBCG-20-127	Pu-NRS-a	Horcones	DCT/RCT	22,2	87	73	Ba	0,59	A
697		OA1-U32-01	Pu-NRS-a	OA	DCT/EBI	22,3	90	75	Ba	0,75	E
698		OA1-R7-110	Pu-NRS-a	OA	DCT/RDD	22,6	86	> 65 < 90	Ba	0,59	E
699		PB-CG-08-35	Pu-NRS-a	Los pocitos	DCT/RCT	22,7	90	72	Ba	0,49	E
700		PBCG-20-080	Pu-NRS-a	Horcones	DCT/RCT	23,4	84	67	Ba	0,58	A
701		OA1-R2-06	Pu-NRS-a	OA	DCT/RCT	23,5	80	72	Ba	0,52	G
702		PB-CG-02-06	Pu-NRS-a	Los pocitos	DCT/RDD	24,1	90	75	Ba	0,49	E
703		OA1-R7-173	Pu-NRS-a	OA	DCT/RCT	25,3	77	74	Ba	0,47	A
704		OA1-R5-36	Pu-NRS-a	OA	DCT/RDD	25,9	80	68	Ba	0,57	J
705		OA1-SE-E7-06	Pu-NRS-a	OA	DCT/RDD	27,0	80	67	Ba	0,61	E
706		PBCG-20-067	Pu-NRS-a	Horcones	DCT/RDD	28,0	90	76	Ba	0,7	E
707		PB-CG-20-027	Pu-NRS-a	Horcones	DCT/RCT	29,5	90	78	Ba	0,52	E
708		OA1-U28-41	Pu-NRS-b	OA	DCT/RDD	12,0	90	85	MB	0,4	E
709		OA1-R7-749	Pu-NRS-b	OA	DCT/RDD	14,2	90	87	MB	0,51	E
710		PB-CG-15-07	Pu-NRS-b	Potrerillos	DCT/RCT	15,1	87	80	MB	0,49	E
711		OA1-R7-206	Pu-NRS-b	OA	DCT/RCT	15,5	83	80	MB	0,6	E
712		OA1-U14-12	Pu-NRS-b	OA	DCT/RDD	16,7	90	82	MB	0,57	E
713		OA1-U14-15	Pu-NRS-b	OA	DCT/RDD	17,5	87	85	MB	0,42	G
714		PB-CG-14-04	Pu-NRS-b	Potrerillos	DCT/RDD	17,9	86	83	MB	0,39	E
715		OA1-R7-364	Pu-NRS-b	OA	DCT/RDD	18,1	90	78	MB	0,49	F
716		PB-CG-15-26	Pu-NRS-b	Potrerillos	DCT/RDD	18,8	90	80	MB	0,52	A
717		PBCG-20-051	Pu-NRS-b	Horcones	DCT/RCT	22,0	90	87	Ba	0,71	E
718		OA1-SE-E7-22	Pu-NRS-b	OA	DCT/RCT	22,5	90	88	Ba	0,55	E
719		OA1-R7-397	Pu-NRS-b	OA	DCT/RCT	23,4	90	80	Ba	0,6	E
720		OA1-U32-34	Pu-NRS-b	OA	DCT/RCT	24,7	90	80	Ba	0,79	E
721		Reh2-R10-Ext-07	Pu-NRS-b	Ranchillos 2	DCT/RCT	24,7	90	80	Ba	0,61	A
722		OA1-R7-415	Pu-NRS-b	OA	DCT/RCT	25,1	90	85	Ba	0,59	E
723		OA1-R7-454	Pu-NRS-b	OA	DCT/RDD	25,6	90	83	Ba	0,51	D
724		OA1-R1-06	Pu-NRS-b	OA	DCT/RCT	28,8	90	88	Ba	0,59	E
725		PB-CG-19-09	Pu-NRS-b	Horcones	DCT/RCT	29,6	90	85	Ba	0,63	E
726		OA1-R7-050	Pu-NRS-b	OA	DCT/RCT	29,8	89	84	Ba	0,62	E
727		Reh2-R10-Ext-01	Pu-NRS-b	Ranchillos 2	DCT/RCT	30,3	90	84	Me	0,78	A
728		PB-CG-09-01	Pu-NRS-b	Los pocitos	DCT/RDD	30,7	90	90	Me	0,73	J
729		PB-CG-20-023	Va-NRS-a	Horcones	DCT/RCT	7,8	79	84	MB	0,6	E
730		OA1-049-47	Va-NRS-a	OA	DCT/RDD	10,1	90	90	MB	0,31	E
731		PB-CG-11-09	Va-NRS-a	Potrerillos	DCT/RDD	12,1	90	90	MB	0,38	E

sigla	Trat. sup. Int.	Trat. sup. ext.	Dec. Int	Dec. Ext.	Pasta	ET	Tipo cerámico	Observaciones
PBCG-20-130	Al-B	Pu-C	S/D	ADP(A)	I(A)	B-II	Aguada	
OA1-U28-39	Pu-B	Al-B	S/D	ADM-A	I(A)	A-II	Ftivo. fino	
PB-CG-08-24	Pu-B	Al-B	S/D	S/D	IV(A)	G-III	Ftivo. fino	Manufactura por rodetes
PB-CG-08-15	Pu-C	Pu-C	S/D	S/D	I(A)	C	Ftivo. fino	
OA1-R7-390	Pu-C	Pu-C	S/D	DDM-A	I(B)	A-IV	Saujil	
OA1-049-66	Al-B	Pu-B	S/D	S/D	I(A)	A-II	Ftivo. fino	
OA1-R7-370	Pu-C	Pu-C	S/D	DDM-A	I-C	A-IV	Ciénaga	
Rch2-E155-02	Pu-C	Pu-C	S/D	ADP-A	I(A)	B-II	Aguada	
OA1-R7-360	Pu-C	Pu-C	S/D	DDM-A	I(A)	A-IV	Ciénaga	
OA1-001-33	Pu-D	Pu-C	S/D	S/D	I(A)	A-II	Ftivo. fino	
PB-CG-20-32	Pu-D	Pu-D	S/D	RDM-A	I(A)	A-IV	Aguada	
PBCG-20-127	Al-B	Al-B	S/D	ADP-A	I(A)	B-II	Aguada	
OA1-U32-01	Al-B	Al-B	S/D	S/D	IV(B)	G-III	Ftivo. fino	Manufactura por rodetes
OA1-R7-110	Pu-B	Pu-B	S/D	S/D	I(A)	A-II	Ftivo. fino	
PB-CG-08-35	Al-A	Al-A	S/D	S/D	III(B)	F	Ft grueso	
PBCG-20-080	Pu-D	Pu-D	S/D	ADP-A+ ADM-A	I(A)	B-II	Aguada	
OA1-R2-06	Pu-B	Pu-B	PEL	DDM-A	I(A)	A-IV	Saujil	
PB-CG-02-06	Pu-B	Pu-A	S/D	S/D	I-C	A-II	Ftivo. fino	
OA1-R7-173	Pu-C	Pu-C	S/D	ADP-A	I(A)	B-II	Aguada	
OA1-R5-36	Pu-D	Pu-D	S/D	ADP-A	I(A)	C	Aguada	
OA1-SE-E7-06	Pu-B	Pu-A	S/D	S/D	I(A)	A-II	Ftivo. fino	
PBCG-20-067	Pu-B	Pu-B	S/D	S/D	I(B)	A-II	Ftivo. fino	
PB-CG-20-027	Pu-B	Pu-C	S/D	RDM-A	I(A)	A-VI	Aguada	
OA1-U28-41	Pu-D	Pu-D	S/D	DDM-D	I(A)	A-V	Ciénaga	
OA1-R7-749	Al-B	Pu-B	S/D	S/D	I(A)	A-II	Ftivo. fino	
PB-CG-15-07	Pu-B	Pu-B	S/D	DDM-A+ PEL	I(A)	A-IV	Saujil	
OA1-R7-206	Pu-C	Pu-B	S/D	S/D	I(A)	A-II	Ftivo. fino	
OA1-U14-12	Pu-D	Pu-C	S/D	S/D	I(A)	A-II	Ftivo. fino	
OA1-U14-15	Pu-B	Pu-B	S/D	DDM-A	I(A)	A-IV	Saujil	
PB-CG-14-04	Pu-C	Pu-C	S/D	RDM-A	I(B)	A-VI	Aguada	
OA1-R7-364	Pu-C	Pu-C	S/D	DDM-A	I(A)	A-IV	Ciénaga	
PB-CG-15-26	Al-B	Al-B	S/D	S/D	I(A)	B-I	Ftivo. fino	
PBCG-20-051	Pu-C	Pu-C	S/D	DDM-A	I(A)	A-IV	Ftivo. fino	
OA1-SE-E7-22	Pu-B	Pu-C	S/D	DDM-A	I(A)	A-IV	Saujil	Pulido posterior al inciso
OA1-R7-397	Pu-C	Pu-C	S/D	DDM-A	I(A)	A-IV	Ftivo. fino	
OA1-U32-34	Pu-B	Al-B	S/D	S/D	I(A)	A-II	Ftivo. fino	Manufactura por rodetes. Evidencias de raspado en superficie externa
Rch2-R10-Ext-07	Al-B	Al-B	ADP-A	ADP-A	VII(B)	I	Sanagasta	
OA1-R7-415	Pu-B	Pu-B	S/D	PEL	I(A)	A-III	Saujil	
OA1-R7-454	Al-B	Al-B	S/D	S/D	I(A)	B-I	Ftivo. fino	Manchas de cocción en superficie externa
OA1-R1-06	Pu-B	Pu-B	S/D	PEL	I(A)	A-III	Saujil	
PB-CG-19-09	Al-A	Al-A	S/D	S/D	III(B)	F	Ftivo. grueso	
OA1-R7-050	Pu-B	Pu-B	S/D	PEL	I(A)	A-III	Saujil	
Rch2-R10-Ext-01	Al-B	Pu-C	ADP-D	ADP-D+ ADM-A	I-C	B-III	Belén	Manufactura por rodetes
PB-CG-09-01	Pu-C	Pu-A	S/D	ADP-A	I(A)	C	Aguada	Manufactura por rodetes
PB-CG-20-023	Pu-B	Pu-C	S/D	S/D	I(A)	A-II	Ftivo. fino	
OA1-049-47	Pu-B	Pu-B	S/D	S/D	I(A)	A-II	Ftivo. fino	
PB-CG-11-09	Pu-C	Pu-C	S/D	DDM-A	I(A)	A-IV	Ciénaga	

ESCUILLAS Y PUCOS NO RESTRINGIDOS COMPUESTOS E INFLEXIONADOS

	Perfil pieza	sigla	Variante morfológica	Sitio	borde/labio	Ø boca (cm)	AEP	Ø PC	h PC	capacidad	esp.	SC
732		OA1-R5-01	Es-NRC-a	OA	EVT/RDD	20	60	17,2	3,8	MB	0,56	E
733		PB-CG-15-24	Es-NRC-a	Potrerillos	EVT/RCT	25,27	53	22,7	3,5	Ba	0,61	A
734		OA1-U32-45	Es-NRC-a	OA	EVT/RDD	29,23	64	26,1	4,5	Ba	0,51	E
735		OA1-R6-31	Es-NRC-b	OA	DCT/RCT	19,82	55	17,8	3,4	MB	0,57	E
736		OA1-R7-072	Es-NRC-b	OA	DCT/EBI	24,58	56	21,1	4,5	Ba	0,61	E
737		OA1-R7-197	Es-NRC-b	OA	DCT/RCT	24,8	58	23,1	3	Ba	0,63	E
738		PB-CG-11-06	Es-NRC-b	Potrerillos	DCT/RCT	25,81	59	22,4	5,5	Ba	0,62	E
739		OA1-R7-417	Es-NRC-d	OA	DCT/RCT	14,78	61	14,2	2,5	MB	0,62	E
740		OA1-R7-038	Es-NRC-d	OA	DCT/RCT	17,4	55	17,4	2	MB	0,6	E
741		OA1-R7-211	Es-NRC-d	OA	DCT/RCT	17,4	60	17,4	2,3	MB	0,42	E
742		OA1-R7-425	Es-NRC-d	OA	DCT/RCT	18,1	64	18,1	2	MB	0,62	E
743		OA1-R7-432	Es-NRC-d	OA	DCT/RCT	18,15	61	18,2	2	MB	0,55	E
744		OA1-R7-347	Es-NRC-d	OA	DCT/RCT	20,05	63	19,2	2,7	Ba	0,6	E
745		OA1-SE-E7-40	Es-NRC-d	OA	DCT/RCT	21,24	49	20,2	2,5	Ba	0,61	E
746		OA1-U32-25	Es-NRC-d	OA	DCT/RCT	21,95	60	21,5	2,5	Ba	0,64	E
747		OA1-R7-359	Es-NRC-d	OA	DCT/RCT	22,97	41	22,8	2,5	Ba	0,66	E
748		OA1-R6-28	Es-NRC-d	OA	DCT/RDD	23,25	63	22,2	2,8	Ba	0,65	E
749		OA1-R7-369	Es-NRC-d	OA	DCT/RDD	25,7	60	25,7	1,8	Ba	0,6	E
750		PB-CG-11-04	Es-NRC-d	Potrerillos	DCT/RCT	29,56	63	29,6	1,6	Ba	0,68	E
751		OA1-R7-003	Pu-NRC-a	OA	EVT/RDD	17,4	66	16,8	3,8	MB	0,7	E
752		PBCG-20-087	Pu-NRC-a	Horcones	EVT/RDD	23,8	77	23,3	3,1	Ba	0,5	G
753		Beo-07-36	Pu-NRC-a	El Banco	EVT/RDD	29	67	25,8	4,6	Ba	0,68	A
754		OA1-001-48	Pu-NRC-a	OA	EVT/RDD	31,21	76	29,9	4	Mc	0,6	A
755		OA1-R7-433	Pu-NRC-c	OA	EVT/RDD	18,1	76	18,1	2,5	MB	0,58	E
756		OA1-U28-54	Pu-NRC-c	OA	EVT/RCT	21,6	83	21,6	4	Ba	0,6	E
757		OA1-SE-E7-85	Pu-NRC-c	OA	EVT/RDD	22,41	87	22,4	4,5	Ba	0,65	E
758		OA1-R7-429	Pu-NRC-c	OA	EVT/RCT	25,5	74	25,5	3,4	Ba	0,6	E
759		OA1-R7-193	Pu-NRC-b	OA	DCT/RDD	16,68	69	15,0	3,5	MB	0,59	G
760		OA1-SE-E7-92	Pu-NRC-d	OA	DCT/RCT	14,33	66	13,8	2,8	MB	0,5	E
761		OA1-R7-199	Pu-NRC-d	OA	DCT/RDD	15,21	71	14,5	3,8	MB	0,52	E
762		OA1-R7-356	Pu-NRC-d	OA	DCT/RCT	15,73	70	15,4	3	MB	0,51	E
763		OA1-R7-427	Pu-NRC-d	OA	DCT/RCT	15,73	73	15,7	2,1	MB	0,62	E
764		OA1-R7-338	Pu-NRC-d	OA	DCT/RCT	17	67	17,0	2	MB	0,66	E
765		OA1-U29-38	Pu-NRC-d	OA	DCT/RDD	17,45	73	17,1	2,8	MB	0,59	E
766		OA1-U22-08	Pu-NRC-d	OA	DCT/RCT	18,32	70	18,3	2,5	MB	0,7	E
767		OA1-R7-352	Pu-NRC-d	OA	DCT/RCT	18,87	72	18,9	2,3	MB	0,7	E
768		OA1-U29-17	Pu-NRC-d	OA	DCT/RCT	20,14	66	20,1	2,5	Ba	0,66	E
769		OA1-R7-202	Pu-NRC-d	OA	DCT/RDD	20,24	70	19,2	3,1	Ba	0,65	E
770		OA1-R1-04	Pu-NRC-d	OA	DCT/RDD	21	70	20,2	3,2	Ba	0,5	E
771		OA1-R7-388	Pu-NRC-d	OA	DCT/RDD	21,41	74	21,1	3	Ba	0,52	E
772		OA1-SE-E7-07	Pu-NRC-d	OA	DCT/RDD	21,55	81	21,6	3,5	Ba	0,61	E
773		OA1-R7-622	Pu-NRC-d	OA	DCT/RCT	21,64	76	21,6	3	Ba	0,58	E
774		OA1-U28-04	Pu-NRC-d	OA	DCT/RDD	22,52	80	22,5	2,5	Ba	0,6	A
775		OA1-R7-421	Pu-NRC-d	OA	DCT/RDD	22,81	70	22,8	2	Ba	0,7	E
776		OA1-R7-445	Pu-NRC-d	OA	DCT/RDD	22,96	73	22,8	2,6	Ba	0,5	F
777		OA1-SE-E7-77	Pu-NRC-d	OA	DCT/RDD	23,38	78	23,0	3	Ba	0,72	E
778		OA1-R1-01	Pu-NRC-d	OA	DCT/RCT	24,6	77	24,6	2,7	Ba	0,5	I
779		OA1-SE-E7-36	Pu-NRC-d	OA	DCT/RCT	24,86	68	24,9	2,3	Ba	0,59	E

sigla	trat. Sup int	trat sup ext	Dec. Int	Dec. Ext.	Pasta	ET	Tipo cerámico	Observaciones
OA1-R5-01	Pu-D	Pu-D	S/D	RDM-A	I-C	A-VI	Aguada	
PB-CG-15-24	Pu-C	Pu-C	S/D	ADP-B	I(A)	B-II	Aguada	
OA1-U32-45	Pu-C	Al-A	S/D	S/D	I(A)	A-II	Ftivo. fino	Asa atrofiada al pastillaje sobre el PA
OA1-R6-31	Pu-B	Pu-B	S/D	DDM-A	I(A)	A-IV	Saujil	
OA1-R7-072	Pu-B	Pu-C	S/D	S/D	I(A)	A-II	Ftivo. fino	
OA1-R7-197	Pu-B	Al-B	S/D	S/D	I(A)	A-II	Ftivo. fino	
PB-CG-11-06	Pu-C	Pu-C	S/D	DDM-A	I(A)	In-2	Ciénaga	
OA1-R7-417	Pu-B	Pu-B	S/D	PEL	I(B)	A-III	Saujil	
OA1-R7-038	Pu-B	Pu-B	PEL	S/D	I(A)	A-III	Saujil	
OA1-R7-211	Pu-B	Pu-B	S/D	S/D	I(A)	A-II	Ftivo. fino	
OA1-R7-425	Pu-B	Pu-B	PEL	DDM-A	I(A)	A-IV	Saujil	
OA1-R7-432	Pu-B	Pu-C	S/D	DDM-D	I(A)	A-V	Ciénaga	
OA1-R7-347	Pu-A	Al-A	S/D	DDM-A	I(A)	A-IV	Saujil	
OA1-SE-E7-40	Pu-B	Pu-B	PEL	DDM-A-C	I(A)	A-IV	Saujil	
OA1-U32-25	Pu-B	Pu-B	S/D	DDM-A-C	I(A)	A-IV	Saujil	
OA1-R7-359	Pu-B	Pu-B	S/D	DDM-A	I(B)	A-IV	Saujil	
OA1-R6-28	Pu-B	Pu-B	S/D	DDM-A-C	I(A)	A-IV	Saujil	
OA1-R7-369	Pu-B	Pu-B	S/D	DDM-A-C	I(A)	A-IV	Saujil	
PB-CG-11-04	Pu-B	Pu-B	S/D	DDM-A	I(A)	A-IV	Saujil	
OA1-R7-003	Pu-B	Pu-B	S/D	PEL	I(B)	A-III	Saujil	
PBCG-20-087	Pu-C	Pu-C	S/D	RDM-A	I(A)	A-IV	Aguada	
Bco-07-36	Pu-C	Pu-C	S/D	ADP-C	I(A)	B-II	Aguada	Asa atrofiada al pastillaje sobre el PA
OA1-001-48	Pu-C	Pu-C	S/D	ADP-B	I(A)	B-II	Aguada	
OA1-R7-433	Pu-B	Pu-B	S/D	DDM-A-C	I(A)	A-IV	Saujil	
OA1-U28-54	Pu-B	Pu-B	S/D	PEL	I(A)	A-III	Saujil	
OA1-SE-E7-85	Pu-B	Pu-B	S/D	S/D	I(A)	A-II	Ftivo. fino	
OA1-R7-429	Pu-C	Pu-C	S/D	DDM-A	I(A)	A-IV	Saujil	
OA1-R7-193	Pu-B	Pu-B	S/D	DDM-A	I(A)	A-IV	Saujil	
OA1-SE-E7-92	Pu-A	Pu-B	S/D	S/D	I(A)	A-II	Ftivo. fino	
OA1-R7-199	Pu-B	Pu-A	S/D	S/D	I(A)	A-II	Ftivo. fino	
OA1-R7-356	Al-B	Al-B	S/D	DDM-A	I(A)	A-IV	Saujil	
OA1-R7-427	Pu-B	Pu-B	S/D	DDM-A	I(A)	A-IV	Saujil	
OA1-R7-338	Pu-C	Pu-C	S/D	DDM-A	I(A)	A-IV	Saujil	
OA1-U29-38	Pu-B	Pu-C	S/D	DDM-A	I(A)	A-IV	Ftivo. fino	
OA1-U22-08	Al-B	Al-B	S/D	DDM-A	I(A)	A-IV	Saujil	Asa atrofiada al pastillaje sobre el PA
OA1-R7-352	Pu-B	Pu-B	S/D	DDM-A	I(A)	A-IV	Saujil	
OA1-U29-17	Pu-B	Pu-B	S/D	S/D	I(A)	A-II	Ftivo. fino	
OA1-R7-202	Pu-B	Pu-B	S/D	S/D	I(A)	A-II	Ftivo. fino	
OA1-R1-04	Pu-B	Pu-B	S/D	PEL	I(A)	A-III	Saujil	
OA1-R7-388	Pu-B	Pu-C	PEL	DDM-A	I(A)	A-IV	Saujil	
OA1-SE-E7-07	Pu-B	Pu-B	S/D	S/D	I(A)	A-II	Ftivo. fino	
OA1-R7-622	Al-B	Al-B	S/D	S/D	I(A)	A-I	Ftivo. fino	
OA1-U28-04	Pu-C	Pu-C	S/D	ADP-A	I(A)	B-II	Aguada	
OA1-R7-421	Pu-B	Pu-B	S/D	DDM-A	I(B)	A-IV	Saujil	
OA1-R7-445	Al-B	Pu-B	S/D	PEL	I(A)	A-III	Saujil	
OA1-SE-E7-77	Pu-B	Pu-B	S/D	N/P	I(A)	A-II	Ftivo. fino	
OA1-R1-01	Al-B	Pu-B	S/D	S/D	I(A)	A-II	Ftivo. fino	
OA1-SE-E7-36	Pu-B	Pu-B	S/D	DDM-A-C	I(A)	A-IV	Ftivo. fino	

	Perfil pieza	sigla	Variante morfológica	Sitio	borde/labio	Ø boca (cm)	AEP	Ø PC	h PC	capacidad	esp.	SC
780		OA1-SE-E7-90	Pu-NRC-d	OA	DCT/RCT	24,86	74	24,9	2,5	Ba	0,54	E
781		OA1-R7-204	Pu-NRC-d	OA	DCT/RDD	25,06	77	25,1	3	Ba	0,61	E
782		OA1-R7-412	Pu-NRC-d	OA	DCT/RCT	25,44	69	25,2	2,75	Ba	0,51	E
783		OA1-049-75	Pu-NRC-d	OA	DCT/RDD	25,66	72	25,4	3,2	Ba	0,61	G
784		OA1-U28-38	Pu-NRC-d	OA	DCT/RCT	25,77	81	25,8	2,6	Ba	0,49	E
785		OA1-R7-344	Pu-NRC-d	OA	DCT/RDD	26	80	25,5	6,3	Ba	0,55	E
786		OA1-U28-49	Pu-NRC-d	OA	DCT/RDD	27,29	77	27,3	3	Ba	0,7	E
787		OA1-R3-14	Pu-NRC-d	OA	DCT/RCT	29	74	29,0	3,4	Ba	0,5	E
788		OA1-R7-198	Pu-NRC-d	OA	DCT/RCT	29	88	29,0	2,7	Ba	0,57	E
789		OA1-R7-426	Pu-NRC-d	OA	DCT/RCT	29,55	66	29,6	2,7	Ba	0,62	E
790		OA1-U14-20	Pu-NRC-d	OA	DCT/RDD	31,03	75	30,8	4,5	Me	0,51	G
791		PB-CG-15-19	Pu-NRI-a	Potrerillos	EVT/RCT	18,61	85	18,4	2,5	MB	0,48	E
792		OA1-U34-04	Pu-NRI-a	OA	EVT/RDD	25,03	79	24,8	3,5	Ba	0,61	E
793		OA1-R7-487	Pu-NRI-a	OA	EVT/RDD	27,11	87	26	3,43	Ba	0,89	E

PUCOS RESTRINGIDOS DEPENDIENTES COMPUESTOS Y SIMPLES

	Perfil pieza	sigla	Variante morfológica	Sitio	borde/labio	Ø boca (cm)	AEP	Ø PC	h PC	capacidad	esp.	SC
794		OA1-R7-399	Pu-RDC-b	OA	DCT/RDD	11,11	92	12,6	2,7	MB	0,62	E
795		PBCG-20-137	Pu-RDC-b	Horcones	INV/RDD	13	93	14,2	1	MB	0,48	A
796		OA1-R7-400	Pu-RDC-b	OA	DCT/RCT	16,26	86	17,4	2,8	MB	0,71	E
797		OA1-R7-439	Pu-RDC-b	OA	DCT/RCT	16,31	81	16,4	3	MB	0,5	E
798		OA1-R7-418	Pu-RDC-b	OA	DCT/RCT	19,7	78	20,2	2	MB	0,6	E
799		OA1-R7-358	Pu-RDC-b	OA	DCT/RDD	20,68	87	23	2,3	Ba	0,6	E
800		OA1-004-20	Pu-RDC-b	OA	DCT/RCT	23,25	98	24,9	0,8	Ba	0,57	A
801		OA1-U28-37	Pu-RDC-b	OA	DCT/RCT	25,63	98	27,2	2,5	Ba	0,7	E
802		OA1-R7-022	Pu-RDC-b	OA	DCT/RCT	27,21	87	28	3	Ba	0,79	E
803		OA1-R7-410	Pu-NRS-a	OA	INV/RDD	16,09	104	17,8	3	MB	0,55	E
804		OA1-U28-44	Pu-NRS-a	OA	INV/RDD	18,15	94	18,7	1	MB	0,4	E
805		OA1-R7-120	Pu-NRS-a	OA	INV/RDD	18,87	104	19,6	2	MB	0,6	E
806		Rch2-E016-01	Pu-NRS-a	Ranchillos 2	INV/RCT	19,28	95	19,5	1,5	MB	0,59	E
807		PB-CG-03-10	Pu-NRS-a	Los pocitos	INV/RDD	22	103	23	2,1	Ba	0,58	E
808		Rch2-E074-11	Pu-NRS-a	Ranchillos 2	INV/RDD	22,33	98	23,1	2,1	Ba	0,69	E
809		Rch2-W-U027-02	Pu-NRS-a	Ranchillos 2	INV/RDD	23,8	97	24,2	1,6	Ba	0,63	J
810		PB-CG-08-33	Pu-NRS-a	Los pocitos	INV/RDD	24,12	100	25,6	3,5	Ba	0,79	E
811		Rch2-W079-01	Pu-NRS-a	Ranchillos 2	INV/RCT	26,27	100	27	1,9	Ba	0,8	A
812		PB-CG-08-20	Pu-NRS-b	Los pocitos	INV/RDD	12,81	114	15,3	2,9	MB	0,6	E
813		PB-CG-20-025	Pu-NRS-b	Horcones	INV/RCT	13,99	112	15	1	MB	0,53	E
814		OA1-R7-106	Pu-NRS-b	OA	INV/RDD	14,67	109	15,6	1,65	MB	0,41	E
815		Rch2-E074-05	Pu-NRS-b	Ranchillos 2	INV/RDD	15,2	113	17	1,75	MB	0,58	J
816		Rch2-R9-27	Pu-NRS-b	Ranchillos 2	INV/RDD	17,89	115	19,3	1,66	MB	0,7	J
817		Rch2-E074-08	Pu-NRS-b	Ranchillos 2	INV/RDD	18,8	107	19,9	1,7	MB	0,66	J
818		PB-CG-20-004/003	Pu-NRS-b	Horcones	INV/RDD	20	108	22,2	1,2	MB	0,68	J
819		PB-CG-05-01	Pu-NRS-b	Potrerillos	INV/RDD	21,3	114	23,9	6	Ba	0,63	A
820		OA1-U28-52	Pu-NRS-b	OA	INV/RDD	22,75	106	24,8	3,1	Ba	0,71	E
821		Rch2-R4-02/03	Pu-NRS-b	Ranchillos 2	INV/RDD	23,38	112	24,3	1	Ba	0,45	J

sigla	trat. Sup int	trat sup ext	Dec. Int	Dec. Ext.	Pasta	ET	Tipo cerámico	Observaciones
OA1-SE-E7-90	Pu-C	Pu-C	S/D	DDM-A-C	I(A)	A-IV	Saujil	
OA1-R7-204	Pu-B	Pu-B	S/D	S/D	I(A)	A-II	Ftivo. fino	
OA1-R7-412	Pu-B	Pu-B	PEL	DDM-A	I(A)	A-IV	Saujil	
OA1-049-75	Pu-B	Pu-C	S/D	S/D	I(A)	A-II	Ftivo. fino	
OA1-U28-38	Pu-B	Pu-A	S/D	S/D	I(A)	A-II	Ftivo. fino	
OA1-R7-344	Pu-B	Pu-C	S/D	DDM-A	I(A)	A-IV	Saujil	
OA1-U28-49	Pu-B	Pu-B	S/D	S/D	I(A)	A-II	Ftivo. fino	
OA1-R3-14	Pu-B	Pu-B	S/D	DDM-A	I(A)	A-IV	Saujil	
OA1-R7-198	Pu-B	Pu-B	S/D	S/D	I(A)	A-II	Ftivo. fino	
OA1-R7-426	Pu-B	Pu-B	S/D	DDM-A	I(A)	A-IV	Saujil	
OA1-U14-20	Pu-B	Pu-B	S/D	PEL	I(A)	A-III	Saujil	
PB-CG-15-19	Pu-B	Pu-B	S/D	PEL	I(A)	A-III	Saujil	
OA1-U34-04	Pu-C	Pu-B	S/D	S/D	I(A)	A-II	Ftivo. fino	
OA1-R7-487	Al-A	Al-A	S/D	S/D	IV(B)	G-III	Ftivo. grueso	

sigla	trat. Sup int	trat sup ext	Dec. Int	Dec. Ext.	Pasta	ET	Tipo cerámico	Observaciones
OA1-R7-399	Pu-B	Pu-B	S/D	PEL	I(A)	A-III	Saujil	
PBCG-20-137	Pu-D	Pu-C	S/D	ADP-A	I(A)	B-II	Aguada	
OA1-R7-400	Pu-B	Pu-B	S/D	DDM-A	I(A)	A-IV	Saujil	
OA1-R7-439	Al-B	Al-B	S/D	S/D	I(A)	A-I	Ftivo. fino	
OA1-R7-418	Pu-B	Pu-B	S/D	S/D	I(A)	A-II	Ftivo. fino	
OA1-R7-358	Pu-B	Pu-C	S/D	DDM-A	I(A)	A-IV	Ftivo. fino	
OA1-004-20	Pu-C	Pu-C	S/D	ADP-C	I(A)	B-II	Aguada	
OA1-U28-37	Pu-C	Pu-C	S/D	DDM-A-C	I(A)	A-IV	Saujil	
OA1-R7-022	Pu-B	Pu-B	S/D	PEL	I(A)	A-III	Saujil	
OA1-R7-410	Pu-B	Pu-D	S/D	DDM-A	I(A)	A-IV	Ciénaga	
OA1-U28-44	Pu-C	Pu-B	S/D	DDM-A	I(A)	A-IV	Saujil	
OA1-R7-120	Pu-B	Pu-D	S/D	S/D	I(A)	A-II	Ftivo. fino	
Rch2-E016-01	Al-A	Al-A	S/D	S/D	V(B)	H	Ftivo. grueso	
PB-CG-03-10	Pu-B	Pu-B	S/D	S/D	I(B)	A-II	Ftivo. fino	
Rch2-E074-11	Al-A	Al-A	S/D	S/D	II(A)	D-I	Ftivo. grueso	
Rch2-W-U027-02	Pu-D	Al-B	S/D	ADP-A	I(A)	C	Aguada	
PB-CG-08-33	Al-A	Al-A	S/D	S/D	III(B)	F	Ftivo. grueso	Manufactura por rodetes
Rch2-W079-01	Al-A	Al-A	S/D	S/D	III(B)	E	Td. Indet.	Manufactura por rodetes
PB-CG-08-20	Pu-B	Al-B	S/D	S/D	I(B)	A-II	Ftivo. fino	
PB-CG-20-025	Pu-B	Pu-B	S/D	S/D	IV(A)	G-III	Ftivo. fino	
OA1-R7-106	Pu-C	Pu-C	S/D	S/D	I(A)	A-II	Ftivo. fino	
Rch2-E074-05	Pu-D	Al-B	S/D	S/D	I(A)	C	Ftivo. fino	
Rch2-R9-27	Pu-C	Pu-C	S/D	S/D	I(A)	C	Ftivo. fino	
Rch2-E074-08	Pu-C	Pu-C	S/D	ADP-C	I(A)	C	Aguada	
PB-CG-20-004/003	Pu-C	Pu-C	S/D	ADP-A	I(A)	C	Aguada	
PB-CG-05-01	Al-A	Al-A	S/D	ADP-A	I(A)	B-II	Aguada	
OA1-U28-52	Pu-B	Pu-A	S/D	DDM-A	I(A)	A-IV	Saujil	
Rch2-R4-02/03	Pu-D	Pu-D	S/D	ADP-C	I(A)	C	Aguada	

OLLAS RESTRINGIDAS INDEPENDIENTES INFLEXIONADAS Y COMPUESTAS TIPO A

	Perfil pieza	sigla	Variante morfológica	Sitio	borde/labio	Ø boca	AEP	Ø PC	h PC	Ø min	h Ø min	áng. Ø min	capacidad	esp.	SC
822		PB-CG-15-18	OA-RII-a	Potrerillos	EVT/RCT	9,4	125	11,3	2,2	9,2	1,0	83	Mb/B	0,83	B
823		OA1-R7-125	OA-RII-a	OA	EVT/RCT	11,1	> 100	10,8	2,8	10,3	1,8	75	Mb/B	0,41	E
824		OA1-R5-37	OA-RII-a	OA	DCT/RCT	14,7	> 100	14,6	3,5	14,5	3,0	86	Mb/B	0,6	E
825		PB-CG-15-12	OA-RII-a	Potrerillos	DCT/RCT	15,2	110	16,8	3,0	16,8	0,0	90	Me/MA	0,53	B
826		OA1-R7-203	OA-RII-a	OA	DCT/RDD	15,3	> 100	16,8	4,0	14,9	1,0	80	Me/MA	0,49	F
827		OA1-U28-20	OA-RII-a	OA	DCT/RDD	16,2	> 100	17,0	3,0	16,0	1,5	82	Me/MA	0,68	A
828		OA1-SE-E7-58	OA-RII-a	OA	EVT/RDD	16,7	> 100	16,6	3,0	15,9	2,0	81	Me/MA	0,59	E
829		OA1-R7-389	OA-RII-a	OA	DCT/RDD	18,7	> 100	19,1	3,8	18,5	2,3	88	Me/MA	0,59	E
830		OA1-R7-416	OA-RII-a	OA	DCT/RDD	22,3	> 100	23,0	3,6	22,1	1,5	87	MA/Als	0,7	E
831		OA1-R7-680	OA-RII-a	OA	EVT/RCT	23,4	> 100	24,0	3,3	22,8	1,0	72	MA/Als	0,7	E
832		OA1-R7-705	OA-RII-a	OA	DCT/RDD	26,9	> 100	27,6	4,6	26,3	2,0	82	MA/Als	0,71	E
833		Rch2-047-02	OA-RII-b	Ranchillos 2	EVT/RDD	21,5	> 100	22,2	7,4	18,6	4,5	81	MA/Als	0,75	A
834		Rch2-001-01/a/04	OA-RII-b	Ranchillos 2	RDD	22,8	> 100	24,2	6,4	22,4	1,5	81	MA/Als	1,2	B
835		PB-CG-15-27-29-30	OA-RII-b	Potrerillos	HZT-EE/RDD	24,7	107	27,0	7,5	24,7	0,0	90	MA/Als	0,72	A
836		PBCG-20-077	OA-RII-b	Horcones	DCT/RCT	28,0	100	29,9	8,0	27,6	5,0	88	MA/Als	0,8	A
837		OA1-U34-31	OA-RII-c	OA	EVT/RCT	13,4	> 100	13,4	2,0	12,4	1,0	57	Mb/B	0,4	A
838		OA1-R7-423	OA-RII-c	OA	EVT/RDD	15,2	> 100	16,2	3,5	14,6	1,0	70	Me/MA	0,56	E
839		OA1-U14-35	OA-RII-c	OA	EVT/RDD	17,2	> 100	17,1	3,3	15,8	1,5	63	Me/MA	0,62	E
840		Rch2-W124-01	OA-RII-c	Ranchillos 2	INV/RCT	20,0	> 100	20,1	5,6	18,5	4,1	79	Me/MA	0,69	E
841		OA1-U18-39	OA-RII-c	OA	EVT/RDD	21,5	> 100	21,2	4,0	20,0	2,0	68	MA/Als	0,52	E
842		OA1-R7-481	OA-RII-c	OA	EVT/RDD	23,6	> 100	23,2	3,0	22,4	1,5	70	MA/Als	0,78	E
843		OA1-049-007/16/26	OA-RII-c	OA	EVT/RCT	23,9	106	24,0	4,0	21,9	1,5	53	MA/Als	0,59	E
844		OA1-R7-148	OA-RII-c	OA	EVT/RDD	25,1	> 100	25,2	4,5	24,0	2,0	73	MA/Als	0,51	A
845		OA1-R7-001	OA-RII-d	OA	EVT/RDD	21,4	> 100	20,8	7,0	19,4	4,3	74	MA/Als	0,77	L
846		OA1-Olla 1	OA-RII-d	OA	EVT/RCT	25,9	102	24,8	6,8	23,8	4,0	74	MA/Als	0,91	E
847		Rch2-R10-05	OA-RII-d	Ranchillos 2	EVT/RDD	30,1	> 100	30,0	5,7	27,7	4,0	73	MA/Als	0,63	B
848		PBCG-20-048	OA-RII-d	Horcones	EVT/RDD	30,7	103	29,2	7,4	26,6	5,0	65	MA/Als	0,82	G
849		PB-CG-18-02v03	OA-RIC-a	Potrerillos	EVT/RCT	13	> 100	13	3,8	13,0	0,0	90	MB/B	0,62	A
850		OA1-R7-176	OA-RIC-a	OA	EVT/RDD	16,09	> 100	15	2,4	15,2	82,0	82	Me/MA	0,52	A
851		Rch2-W-U068-10	OA-RIC-a	Ranchillos 2	EVT/RDD	21,3	> 100	21	4	20,9	85,0	85	MA/Als	0,58	A
852		Rch2-R9-22	OA-RIC-b	Ranchillos 2	EVT/RDD	13,9	> 100	12	5,8	11,9	78,0	78	MB/B	0,6	A
853		Rch2-E074-03	OA-RIC-b	Ranchillos 2	EVT/RDD	27,12	> 100	27	8,5	26,1	76,0	76	MA/Als	0,69	A
854		OA1-R7-152	OA-RIC-b	OA	EVT/RDD	27,33	> 100	28	6,6	27,3	90,0	90	MA/Als	0,62	A
855		PB-CG-16-03	OA-RIC-b	Potrerillos	EVT/RDD	27,45	105	27	5,95	26,3	79,0	79	MA/Als	0,77	A

sigla	trat. Sup int	trat sup ext	Dec. Int	Dec. Ext.	Pasta	ET	Tipo cerámico	Observaciones
PB-CG-15-18	Al-A	Al-A	S/D	S/D	atípica	indet.	Ftivo. grueso	Manufactura por rodetes. Pasta atípica por inclusiones
OA1-R7-125	Pu-B	Pu-B	S/D	S/D	I(A)	A-II	Ftivo. fino	
OA1-R5-37	Pu-D	Pu-D	S/D	RDM-A	I(A)	A-VI	Aguada	
PB-CG-15-12	Al-A	Al-A	S/D	S/D	atípica	indet.	Ftivo. grueso	Pasta atípica, presenta muchísima mica muy gruesa.
OA1-R7-203	Al-B	Pu-B	S/D	DDM-A	I(A)	A-IV	Saujil	
OA1-U28-20	Al-B	Al-B	S/D	ADP-C	I(B)	B-II	Aguada	
OA1-SE-E7-58	Al-B	Pu-B	S/D	S/D	IV(B)	G-III	Ftivo. fino	
OA1-R7-389	Al-B	Al-B	S/D	DDM-B	IV(A)	G-II	Saujil	
OA1-R7-416	Pu-B	Pu-B	S/D	PEL	I(A)	A-III	Saujil	
OA1-R7-680	Al-B	Al-B	S/D	S/D	I(A)	A-I	Ftivo. fino	
OA1-R7-705	Al-B	Pu-B	S/D	PEL	I(A)	A-III	Saujil	
Rch2-047-02	Al-A	Al-A	S/D	S/D	V(A)	H	Ftivo. grueso	Manufactura por rodetes
Rch2-001-01/a/04	Al-B	Pu-A	S/D	S/D	atípica	indet.	Ftivo. grueso	Manufactura por rodetes, pasta atípica, como quemada.
PB-CG-15-27-29-30	Al-A	Al-A	S/D	N/P	V(B)	H	Ftivo. grueso	Evidencia de manufactura por rodetes
PBCG-20-077	Al-B	Al-A	S/D	S/D	III(B)	E	Ftivo. grueso	Evidencia de manufactura por rodetes
OA1-U34-31	Al-B	Pu-D	S/D	ADP-A	I(A)	B-II	Aguada	
OA1-R7-423	Pu-B	Pu-B	S/D	PEL	I(A)	A-III	Saujil	
OA1-U14-35	Al-A	Al-A	S/D	S/D	V(B)	H	Ftivo. grueso	
Rch2-W124-01	Al-A	Al-A	S/D	S/D	II(A)	D-I	Ftivo. grueso	
OA1-U18-39	Al-A	Al-A	S/D	S/D	III(B)	F	Ftivo. grueso	
OA1-R7-481	Al-A	Al-A	S/D	S/D	V-C	H	Ftivo. grueso	
OA1-049-007/16/26	Al-A	Al-A	S/D	S/D	III(B)	F	Ftivo. grueso	Evidencia de manufactura por rodetes
OA1-R7-148	Pu-C	Pu-B	S/D	ADP-B	I(A)	B-II	Aguada	
OA1-R7-001	Pu-B	Pu-B	S/D	PEL	I(B)	A-III	Saujil	Manufactura por rodetes.
OA1-Olla 1	Al-A	Al-A	S/D	S/D	V-C	H	Ftivo. grueso	Evidencia de manufactura por rodetes
Rch2-R10-05	Al-A	Pu-B	S/D	S/D	VII(A)	I	Tardío Tosco	Manufactura por rodetes
PBCG-20-048	Al-A	Al-A	S/D	S/D	V-C	H	Ftivo. grueso	
PB-CG-18-02v03	Al-A	Al-A	S/D	S/D	III(B)	E	Formativo grueso	
OA1-R7-176	Pu-D	Pu-D	S/D	ADP-A	I(A)	B-II	Aguada	
Rch2-W-U068-10	Al-B	Al-B	S/D	S/D	I(A)	B-I	Ftivo. fino	
Rch2-R9-22	Al-B	Al-B	S/D	ADP-C	I(A)	B-II	Aguada	
Rch2-E074-03	Al-A	Al-B	S/D	ADP-A	III(A)	E	Tardío Indet.	
OA1-R7-152	Pu-D	Pu-D	S/D	ADP-A	I(A)	B-II	Aguada	
PB-CG-16-03	Al-B	Al-B	S/D	ADP-A	I(B)	B-II	Aguada	Evidencia de manufactura por rodetes

OLLAS RESTRINGIDAS INDEPENDIENTES INFLEXIONADAS TIPO B Y COMPUESTAS TIPO C

	Perfil pieza	sigla	Variante morfológica	Sitio	borde/labio	Ø boca	AEP	Ø PC	h PC	Ø mín	h Ø mín	áng. Ø mín	capacidad	esp.	SC
856		Reh2-R10-01/3/4/7	OB-RII-b	Ranchillos 2	EVT/RDD	27,5	98	28,9	6,5	26,5	2,3	81	Me/MA	1,31	A
857		Reh2-R10-Ext-06	OB-RII-b	Ranchillos 2	EVT/RCT	33,0	98	33,5	5,0	30,6	2,5	83	MA/Als	1,08	B
858		OA1-SE-E7-05	OB-RII-c	OA	EVT/RDD	18,5	> 90 < 100	17,1	4,8	14,6	2,8	52	MB/B	0,43	E
859		OA1-U14-10	OB-RII-c	OA	EVT/RDD	21,6	> 90 < 100	21,6	3,1	20,8	1,0	61	Me/MA	0,59	E
860		OA1-U14-06	OB-RII-c	OA	EVT/RDD	26,6	> 90 < 100	26,2	4,7	24,8	2,0	65	Me/MA	0,71	E
861		PB-CG-14-06	OB-RII-d	Potrenillos	EVT/RDD	22,2	94	21,2	6,5	20,6	3,0	72	Me/MA	0,51	E
862		OA1-049-70	OB-RII-d	OA	EVT/RDD	22,7	> 90 < 100	22,2	6,0	20,9	3,0	74	Me/MA	0,6	E
863		OA1-R7-484	OB-RII-d	OA	EVT/RDD	23,7	> 90 < 100	21,8	5,0	20,9	3,5	66	Me/MA	0,8	E
864		OA1-SE-E7-02	OB-RII-d	OA	EVT/RDD	25,4	> 90 < 100	23,2	7,8	21,5	4,0	61	Me/MA	0,61	E
865		OA1-R7-077	OB-RII-d	OA	EVT/RCT	25,8	> 90 < 100	23,5	6,1	22,5	3,8	54	Me/MA	0,78	E
866		OA1-U34-01	OB-RII-d	OA	EVT/RDD	25,9	> 90 < 100	25,4	6,2	23,4	2,0	62	Me/MA	0,61	E
867		OA1-SE-E7-73	OB-RII-d	OA	EVT/RDD	26,2	> 90 < 100	25,4	5,6	24,0	3,0	68	Me/MA	0,71	E
868		OA1-U18-05	OB-RII-d	OA	EVT/RDD	27,9	> 90 < 100	22,8	6,8	21,6	4,0	50	Me/MA	0,71	E
869		OA1-R7-611	OB-RII-d	OA	EVT/RDD	28,4	> 90 < 100	28,4	6,6	26,6	4,0	74	Me/MA	0,54	E
870		Reh2-R10-Ext-05	OB-RII-d	Ranchillos 2	EVT/RCT	30,3	> 90 < 100	30,9	9,9	28,3	3,0	68	MA/Als	0,73	A
871		Reh2-R10-Ext-04	OB-RII-d	Ranchillos 2	EVT/RCT	33,0	92	31,4	7,1	29,6	4,5	63	MA/Als	0,85	B
872		OA1-R7-620	OB-RII-d	OA	EVT/RDD	33,2	> 90 < 100	31,9	5,5	30,6	3,8	69	MA/Als	0,7	E
873		Reh2-R10-Ext-02	OB-RII-d	Ranchillos 2	EVT/RDD	43,3	> 90 < 100	41,6	14,1	38,0	6,5	65	MA/Als	1,16	A
874		Reh2-R10-Ext-03	OC-RIC-B	Ranchillos 2	EVT/RDD	42,89	< 90	38	11	38,0	82,0	82	MA/Als	0,69	A

OLLAS RESTRINGIDAS DEPENDIENTES SIMPLES - TIPO D

	Perfil pieza	sigla	Variante morfológica	Sitio	borde/labio	Ø boca	áng. Boca	AEP	Ø PC	h PC	capacidad	esp.	SC
875		PB-CG-08-25-26/27	OD-RDS-a	Los pocitos	INV/RDD	25	159	121	32	6,62	MA/A	0,55	H

BASES

	Perfil pieza	sigla		forma de la base	Modalidad base	Ø base	AE- base	Eversion de la base	espesor base	esp. Cpo	SC
876		OA1-R7-153	OA	Cóncavo-convexa	Cc-Cx-A	5,4	136	desde PT	0,48	0,6	A
877		OA1-R7-312	OA	Cóncavo-convexa	Cc-Cx-A	5,6	130	desde PT	0,7	0,61	E
878		PBCG-20-069	Horcones	Cóncavo-convexa	Cc-Cx-A	6,2	135	desde PT	0,51	0,56	A
879		PBCG-20-072	Horcones	Cóncavo-convexa	Cc-Cx-A	6,6	139	desde PT	0,89	0,53	A
880		PBCG-20-071	Horcones	Cóncavo-convexa	Cc-Cx-A	8	129	desde PT	1	0,73	A
881		PBCG-20-076	Horcones	Cóncavo-convexa	Cc-Cx-A	8	131	desde PT	1	1,29	A
882		Reh2-047-11	Ranchillos 2	Cóncavo-convexa	Cc-Cx-A	8,4	137	desde PT	0,93	0,72	J

sigla	trat. Sup int	trat sup ext	Dec. Int	Dec. Ext.	Pasta	ET	Tipo cerámico	Observaciones
Rch2-R10-01/3/4/7	Al-A	Al-A	S/D	S/D	VIII-C	J	Td. Indet.	Evidencia de manufactura por rodetes
Rch2-R10-Ext-06	Al-B	Al-B	S/D	ADM-A	III-C	E	Td. Indet.	Manufactura por rodetes gruesos. Asa oreja al pastillaje.
OA1-SE-E7-05	Al-B	Al-B	S/D	DDM-A	I(A)	A-IV	Saujil	
OA1-U14-10	Pu-B	Pu-B	S/D	PEL	I(A)	A-III	Saujil	
OA1-U14-06	Pu-B	Pu-B	S/D	DDM-A	I(A)	A-IV	Saujil	
PB-CG-14-06	Al-B	Al-B	S/D	DDM-B	I-C	A-V	Saujil	
OA1-049-70	Al-A	Al-B	S/D	S/D	V(B)	H	Ftívo. grueso	Manufactura por rodetes gruesos. Asa en arco vertical formada por 3 chorizos paralelos al pastillaje, cuerpo adherida.
OA1-R7-484	Al-A	Al-A	S/D	S/D	V-C	H	Ftívo. grueso	Evidencia de manufactura por rodetes
OA1-SE-E7-02	Al-B	Al-B	S/D	DDM-D	I(A)	A-V	Saujil	
OA1-R7-077	Al-A	Pu-A	S/D	PEL	I(A)	A-III	Saujil	Evidencia de manufactura por rodetes
OA1-U34-01	Al-A	Al-A	S/D	S/D	I(A)	A-I	Ftívo. fino	Evidencia de manufactura por rodetes
OA1-SE-E7-73	Al-A	Al-A	S/D	S/D	V-C	H	Ftívo. grueso	Evidencia de manufactura por rodetes
OA1-U18-05	Al-A	Al-A	S/D	S/D	V(B)	H	Ftívo. grueso	Evidencia de manufactura por rodetes
OA1-R7-611	Al-B	Al-B	S/D	S/D	I(A)	A-I	Ftívo. fino	
Rch2-R10-Ext-05	Al-B	Al-B	S/D	S/D	VII(A)	J	Tardío indet.	
Rch2-R10-Ext-04	Al-B	Al-B	S/D	ADP-D	III-C	E	Sanagasta	Manufactura por rodetes.
OA1-R7-620	Al-B	Al-A	S/D	S/D	I(A)	A-I	Ftívo. fino	
Rch2-R10-Ext-02	Al-B	Al-B	ADP-A	ADP-A	VII-C	I	Sanagasta	Evidencia de manufactura por rodetes
Rch2-R10-Ext-03	Al-B	Pu-C	ADP-D	ADP-D	VIII(B)	J	Belén	

sigla	trat. sup int	trat sup ext	Dec. Int	Dec. Ext.	Pasta	ET	Tipo cerámico	Observaciones
PB-CG-08-25-26-27	Al-B	Pu-B	S/D	DDM-A	IV(A)	G-II	Saujil	

sigla	trat. sup int	trat sup ext	Dec. Int	Dec. Ext.	Pasta	ET	Tipo cerámico	Observaciones
OA1-R7-153	Pu-C	Pu-C	S/D	S/D	I(A)	B-I	Ftívo. fino	
OA1-R7-312	Pu-B	Pu-B	S/D	S/D	I(A)	A-II	Ftívo. fino	
PBCG-20-069	Al-B	Pu-C	S/D	S/D	I(A)	B-I	Ftívo. fino	Base por pellizado
PBCG-20-072	Pu-B	Pu-B	S/D	S/D	I(A)	B-I	Ftívo. fino	Base sobre molde
PBCG-20-071	Al-B	Al-B	S/D	S/D	I(A)	B-I	Ftívo. fino	Base sobre molde
PBCG-20-076	Al-A	Al-A	S/D	S/D	III(B)	E	Ftívo. grueso	Base sobre rodete con técnica de pellizado - unión muy visible entre la base y el cuerpo (por rodetes)
Rch2-047-11	Pu-C	Al-B	S/D	S/D	I(A)	C	Ftívo. fino	

	Perfil pieza	sigla		forma de la base	Modalidad base	Ø base	AE-base	Eversion de la base	espesor base	esp. Cpo	SC
883		PBCG-20-001	Horcones	Cóncavo-convexa	Cc-Cx-A	8,5	132	desde PT	1,2	0,8	J
884		OA1-SE-E7-49	OA	Cóncavo-convexa	Cc-Cx-A	9,6	129	desde PT	0,69	0,8	E
885		OA1-U28-77	OA	Cóncavo-convexa	Cc-Cx-A	9,7	133	desde PT	0,82	0,7	E
886		OA1-U28-75	OA	Cóncavo-convexa	Cc-Cx-A	9,8	130	desde PT	0,49	0,76	E
887		PBCG-20-049	Horcones	Cóncavo-convexa	Cc-Cx-A	9,9	137	desde PT	0,78	0,79	E
888		OA1-R7-644	OA	Cóncavo-convexa	Cc-Cx-A	10	117	desde PT	1,41	0,89	E
889		PB-CG-15-06	Potrerillos	Cóncavo-convexa	Cc-Cx-A	11	130	desde PT	0,82	0,58	E
890		PBCG-20-075	Horcones	Cóncavo-convexa	Cc-Cx-A	11	136	desde PT	0,71	0,71	E
891		OA1-U34-25	OA	Cóncavo-convexa	Cc-Cx-A	11	140	desde PT	0,72	0,65	E
892		OA1-R7-672	OA	Cóncavo-convexa	Cc-Cx-A	6	143	desde PT	0,75	0,7	E
893		OA1-049-04/20	OA	Cóncavo-convexa	Cc-Cx-A	6,9	149	desde PT	0,75	0,61	E
894		OA1-R7-636	OA	Cóncavo-convexa	Cc-Cx-A	7,9	141	desde PT	0,61	0,6	E
895		OA1-R7-150	OA	Cóncavo-convexa	Cc-Cx-A	8	149	desde PT	0,9	0,7	A
896		OA1-R7-002	OA	Cóncavo-convexa	Cc-Cx-A	8,5	144	desde PT	0,8	0,7	E
897		OA1-R7-610	OA	Cóncavo-convexa	Cc-Cx-A	8,9	142	desde PT	0,7	0,68	E
898		PB-CG-20-031	Horcones	Cóncavo-convexa	Cc-Cx-A	9,2	146	desde PT	0,6	0,5	E
899		PBCG-20-050	Horcones	Cóncavo-convexa	Cc-Cx-A	11	144	desde PT	1,09	1	E
900		PBCG-20-073	Horcones	Recta	Reta	5,6	108	desde PT	0,9	0,8	A
901		PBCG-20-074	Horcones	Recta	Reta	5,9	138	desde PT	0,51	0,8	A
902		Reh2-047-01	Ranchillos 2	Recta	Reta	7,9	133	desde PT	0,44	0,56	A
903		PBCG-20-082	Horcones	Recta	Reta	8,6	134	desde PT	0,61	0,62	A

ESCUILLAS y PUCOS NO RESTRINGIDOS SIMPLES

	Perfil pieza	sigla	Variante morfológica		borde/labio	Ø boca (cm)	áng. boca	AEP	capac.	esp.	SC
904		EZ-C1-05	Es-NRS-a	El Zorro	DCT/RCT	21,1	72	63	Ba	0,39	E
905		Lag-10	Es-NRS-a	El Zorro	DCT/RCT	23,5	51	45	Ba	0,6	E
906		Lag-27	Es-NRS-a	El Zorro	DCT/RDD	28,6	65	50	Ba	0,61	E
907		Techo-22	Es-NRS-a	El Zorro	DCT/RDD	33,2	45	25	Me	0,68	E
908		Lag-02	Pu-NRSa	El Zorro	DCT/EBI	17,5	80	69	MB	0,53	E
909		Lag-29	Pu-NRSa	El Zorro	DCT/RCT	22,0	70	70	Ba	0,59	A
910		EZ-056-02	Pu-NRSa	El Zorro	DCT/RDD	25,3	80	77	Ba	0,6	E
911		EZ-067-08	Pu-NRS-b	El Zorro	DCT/RDD	22,4	90	85	Ba	0,51	E

ESCUILLAS NO RESTRINGIDAS COMPUESTAS

	Perfil pieza	sigla	Variante morfológica		borde/labio	Ø boca (cm)	AEP	Ø PC	h PC	capacidad	esp.	SC
912		EZ-C5E-03	Es-NRC-b	El Zorro	DCT/RDD	24,4	57	19,7	4,7	BA	0,59	E
913		EZ-C5E-06	Es-NRC-b	El Zorro	DCT/RDD	25,13	27	22,4	3,5	Ba	0,52	E

PUCOS RESTRINGIDOS DEPENDIENTES SIMPLES

	Perfil pieza	sigla	Variante morfológica		borde/labio	Ø boca (cm)	AEP	Ø PC	h PC	capacidad	esp.	SC
914		EZ-024-01	Pu-RDS-a	El Zorro	INV/RDD	13,13	100	13,9	1,8	MB	0,46	E

OLLAS RESTRINGIDAS INDEPENDIENTES INFLEXIONADAS Y COMPUESTAS TIPO A

	Perfil pieza	sigla	Variante morfológica		borde/labio	Ø boca	AEP	Ø PC	h PC	Ø mín	h Ø mín	áng. Ø mín	capacidad	esp.	SC
915		EZ-028-01	OA-RII-a	El Zorro	EVT/RDD	12,7	> 100	13,0	3,6	12,3	3,0	85	MB/B	0,57	E
916		EZ-031-01	OA-RII-a	El Zorro	EVT/RDD	19,3	> 100	18,8	3,6	18,6	3,5	84	ME/A	0,5	inde t.
917		EZ-067-03	OB-RII-a	El Zorro	DCT/RCT	16,7	> 90 < 100	17,1	3,7	16,5	3,5	88	MB/B	0,61	E

sigla	trat. sup int	trat sup ext	Dec. Int	Dec. Ext.	Pasta	ET	Tipo cerámico	Observaciones
PBCG-20-001	Pu-C	Pu-C	S/D	ADP-A	I(A)	C	Aguada	Base sobre molde
OA1-SE-E7-49	Pu-B	Pu-B	S/D	PEL	I(A)	A-III	Saujil	Base sobre molde
OA1-U28-77	Al-B	Al-B	S/D	S/D	I(A)	A-I	Ftivo. fino	Base sobre molde
OA1-U28-75	Pu-B	Pu-B	PEL	S/D	I(A)	A-III	Saujil	Base sobre molde
PBCG-20-049	Al-B	Al-B	S/D	S/D	I(A)	A-I	Ftivo. fino	
OA1-R7-644	Al-B	Al-B	S/D	S/D	I(A)	A-I	Ftivo. fino	Base sobre molde, evidencias de paletado en superficie externa
PB-CG-15-06	Al-B	Pu-B	S/D	S/D	I(B)	A-II	Ftivo. fino	
PBCG-20-075	Al-B	Al-B	S/D	S/D	I(A)	A-I	Ftivo. fino	
OA1-U34-25	Al-B	Al-B	S/D	S/D	I(A)	A-I	Ftivo. fino	Base sobre molde
OA1-R7-672	Al-B	Al-B	S/D	S/D	I(A)	A-I	Ftivo. fino	Base sobre molde
OA1-049-04/20	Al-A	Al-A	S/D	S/D	V(B)	H	Ftivo. grueso	Base sobre molde
OA1-R7-636	Pu-B	Al-A	S/D	S/D	I(A)	A-II	Ftivo. fino	Base sobre molde
OA1-R7-150	Al-A	Pu-C	S/D	S/D	I(A)	B-I	Ftivo. fino	Base sobre molde
OA1-R7-002	Pu-B	Pu-B	S/D	PEL	I(A)	A-III	Saujil	Base sobre molde
OA1-R7-610	Pu-B	Al-B	S/D	S/D	I(A)	A-II	Ftivo. fino	Base sobre molde
PB-CG-20-031	Pu-B	Pu-B	S/D	PEL	I(B)	A-III	Saujil	
PBCG-20-050	Pu-B	Pu-B	S/D	S/D	I(B)	A-II	Ftivo. fino	
PBCG-20-073	Al-A	Pu-C	S/D	S/D	I(A)	B-I	Ftivo. fino	Estiramiento de materia entre base y cuerpo
PBCG-20-074	Al-B	Pu-C	S/D	S/D	I(A)	B-I	Ftivo. fino	
Rch2-047-01	Al-B	Al-B	S/D	ADP-A	I(A)	B-II	Aguada	
PBCG-20-082	Pu-C	Pu-C	ADP-B	ADP-A	I(A)	B-II	Aguada	

sigla	Trat. sup. Int.	Trat. sup. ext.	Dec. Int	Dec. Ext.	Pasta	ET	Tipo cerámico	Observaciones
EZ-C1-05	Pu-B	Pu-B	PEL	S/D	I(A)	A-III	Saujil	
Lag-10	Pu-B	Pu-B	S/D	S/D	I(A)	A-II	FT fino	
Lag-27	Pu-B	Pu-B	S/D	S/D	I(A)	A-II	FT fino	
Techo-22	Pu-B	Pu-B	ADP-B	PEL	Indet.	indet.	Saujil	
Lag-02	Pu-B	Pu-B	PEL	S/D	I(A)	A-III	Saujil	
Lag-29	Al-B	Al-B	S/D	ADP-A	I(A)	B-II	Aguada	
EZ-056-02	Pu-B	Pu-B	PEL	PEL	I(B)	A-III	Saujil	
EZ-067-08	Pu-B	Pu-B	S/D	PEL	I(A)	A-III	Saujil	

sigla	trat. Sup int	trat sup ext	Dec. Int	Dec. Ext.	Pasta	ET	Tipo cerámico	Observaciones
EZ-C5E-03	Pu-B	Pu-B	S/D	DDM-A	I(A)	A-IV	Saujil	
EZ-C5E-06	Pu-B	Pu-B	PEL	DDM-A	I(A)	A-IV	Saujil	

sigla	trat. Sup int	trat sup ext	Dec. Int	Dec. Ext.	Pasta	ET	Tipo cerámico	Observaciones
EZ-024-01	Pu-B	Pu-B	PEL	S/D	I(A)	A-III	Saujil	

sigla	trat. Sup int	trat sup ext	Dec. Int	Dec. Ext.	Pasta	ET	Tipo cerámico	Observaciones
EZ-028-01	Al-A	Al-A	S/D	S/D	III-C	F	Ftivo. grueso	Manufactura por rodetes
EZ-031-01	Al-A	Al-A	S/D	S/D	Indet.	indet.	Ftivo. grueso	Pasta indeterminada por alteración térmica. Manufactura por rodetes
EZ-067-03	Pu-B	Pu-B	S/D	PEL	I(A)	A-III	Saujil	Manufactura por rodetes

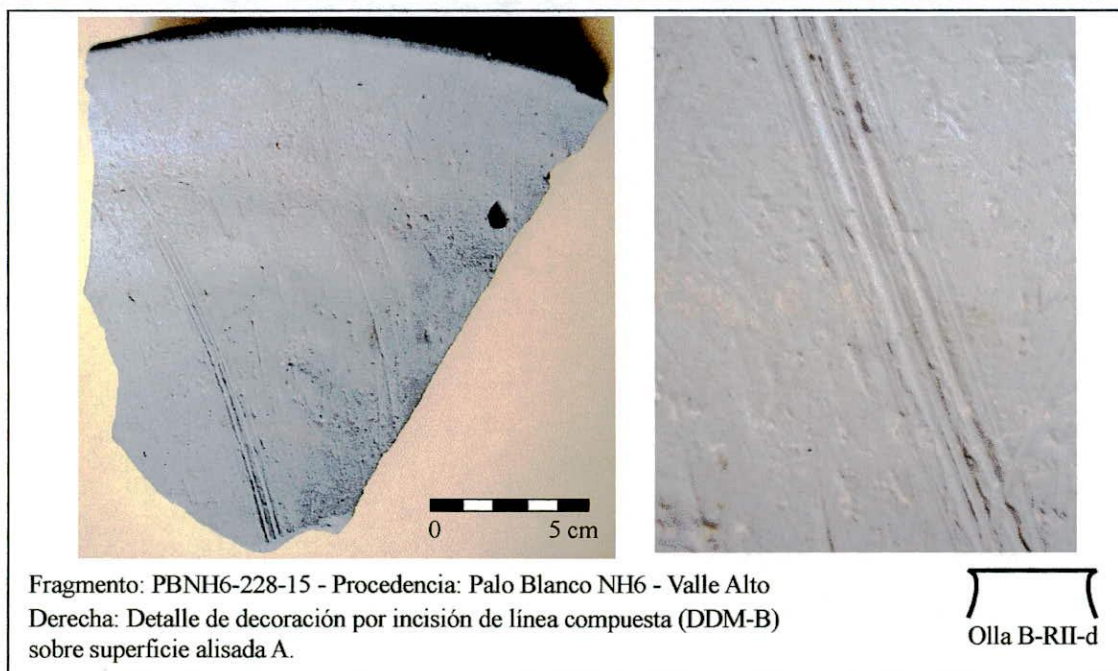
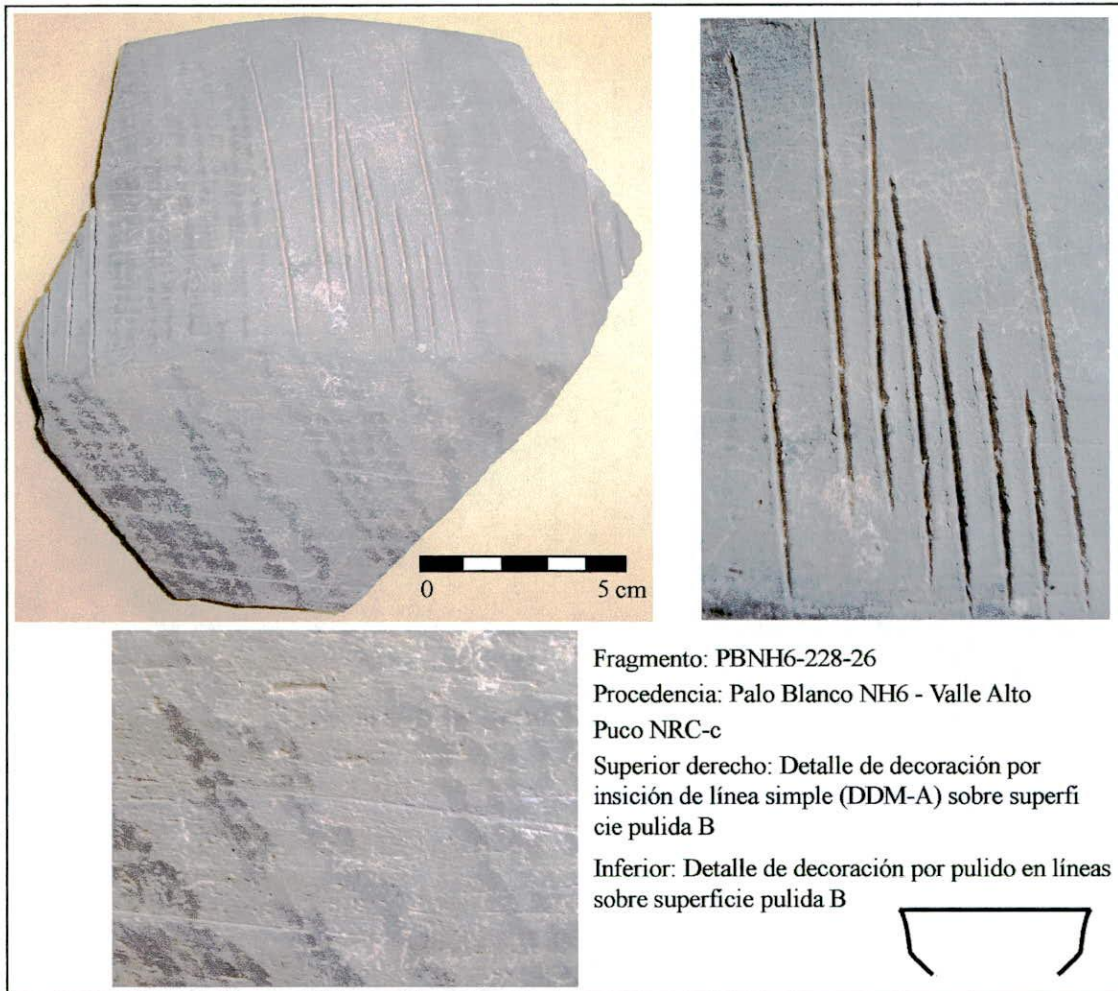
	Perfil pieza	sigla	Variante morfológica		borde/labio	Ø boca	AEP	Ø PC	h PC	Ø min	h Ø min	áng. Ø min	capacidad	cap.	SC
918		EZ-102-03	OB-RII-a	El Zorro	EVT/RDD	23,2	> 90 < 100	22,7	4,5	22,0	3,7	78	ME/A	0,6	E
919		Lag-25	OB-RII-c	El Zorro	EVT/RCT	14,6	> 90 < 100	13,4	3,0	12,7	1,4	54	MB/B	0,61	A
	Perfil pieza	sigla		forma de la base	Modalidad base	Ø base	AE-base	Eversion de la base	espesor base		esp. Cpo	SC			
920		EZ-C5E-04	El Zorro	Cóncavo-convexa	Cc-Cx-A	7	130	desde PT	0,79		0,62	E			
921		Lag-24	El Zorro	Recta	Recta	6	135	desde PT	0,7		0,41	E			

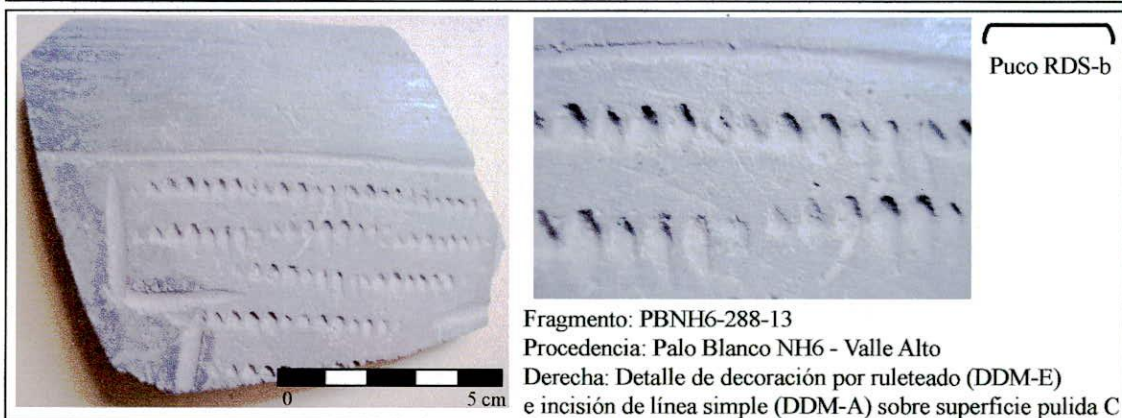
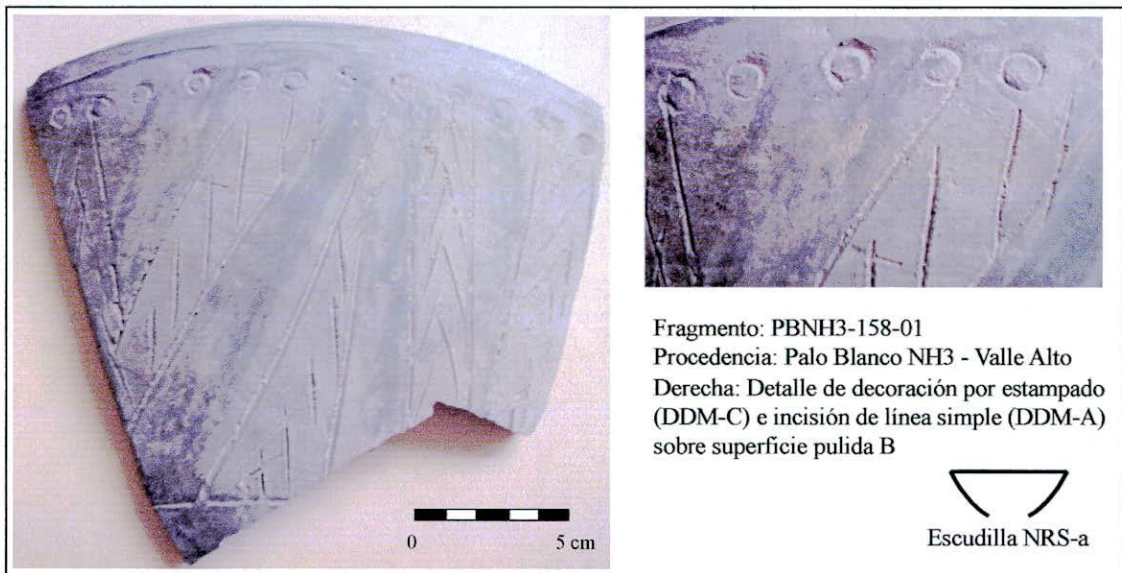
sigla	trat. Sup int	trat sup ext	Dec. Int	Dec. Ext.	Pasta	ET	Tipo cerámico	Observaciones
EZ-102-03	Al-B	Al-B	S/D	DDM-D	I(A)	A-V	Saujil	Manufactura por rodetes
Lag-25	Al-B	Al-B	S/D	ADP-A	I(A)	B-II	Aguada	
sigla	trat. sup int	trat sup ext	Dec. Int	Dec. Ext.	Pasta	ET	Tipo cerámico	Observaciones
EZ-C5E-04	Al-B	Al-B	S/D	S/D	I(A)	A-I	Ftivo. fino	Base sobre molde
Lag-24	Al-B	Al-B	S/D	S/D	I(A)	A-I	Ftivo. fino	

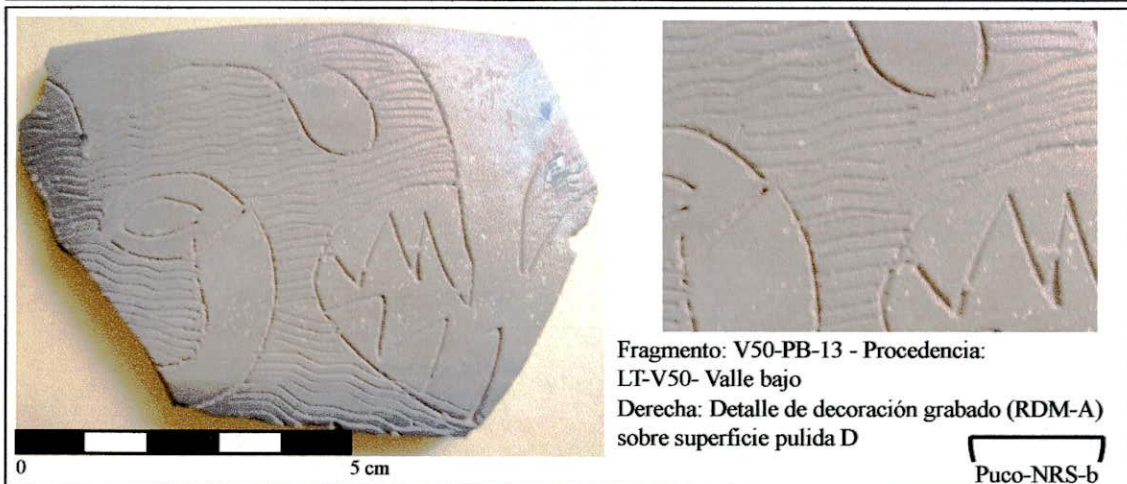
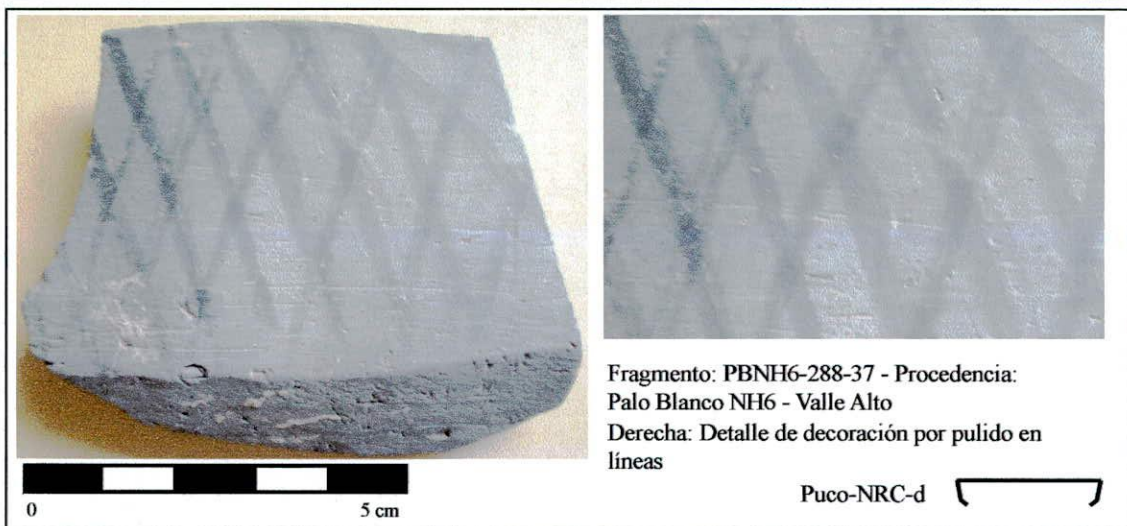
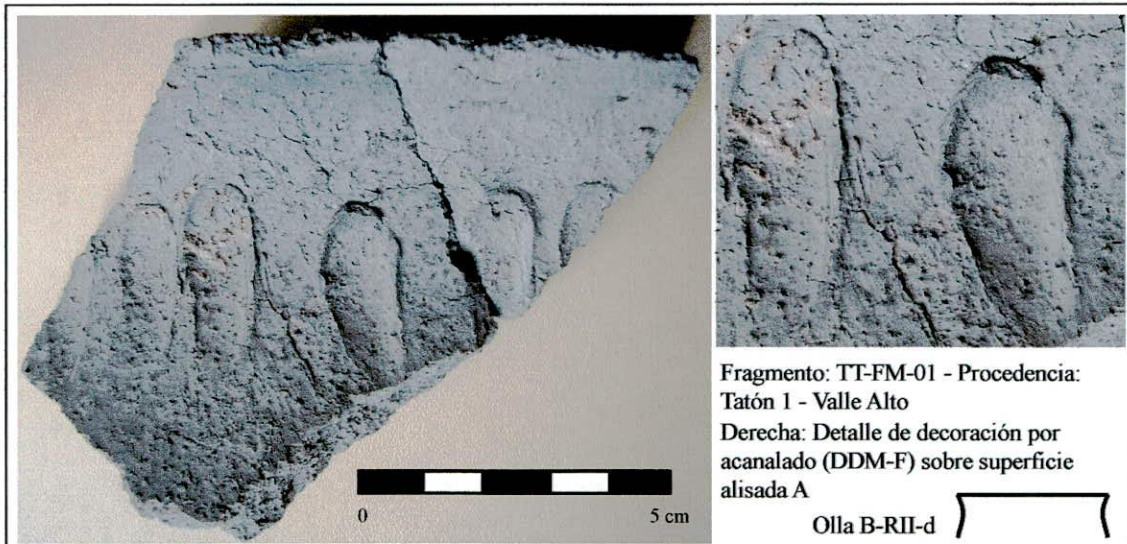
APÉNDICE 5

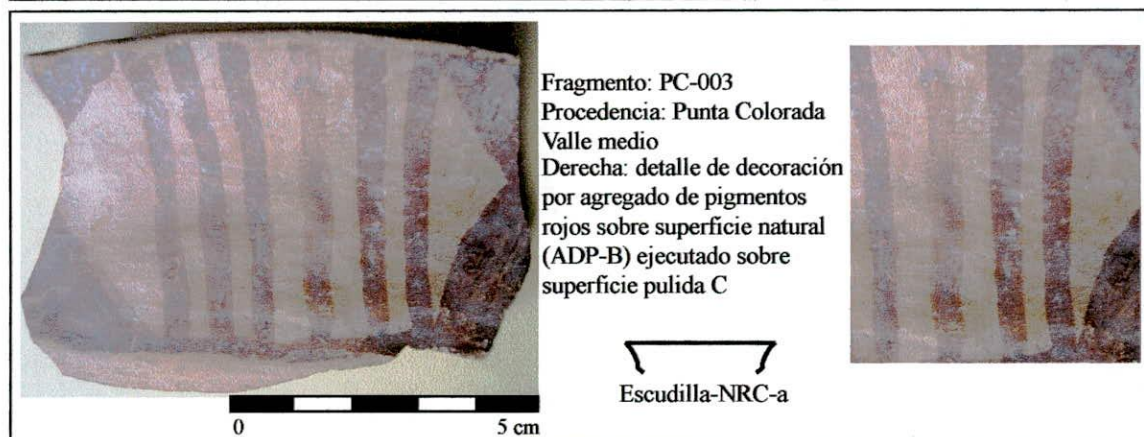
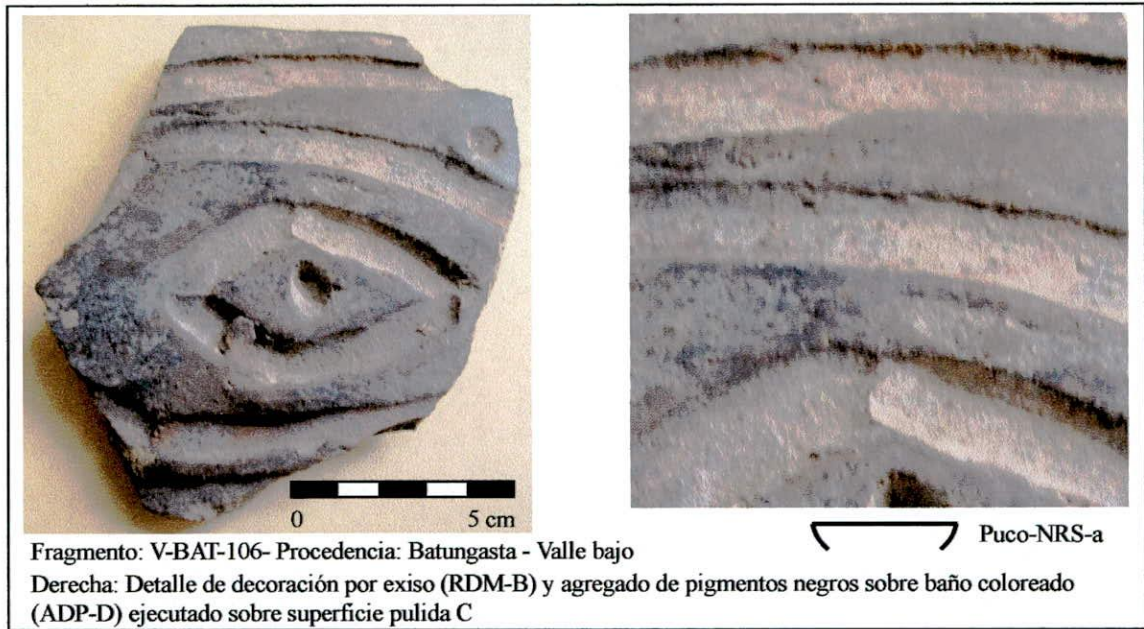
REGISTRO FOTOGRÁFICO DE TÉCNICAS DECORATIVAS Y TRATAMIENTOS DE SUPERFICIE

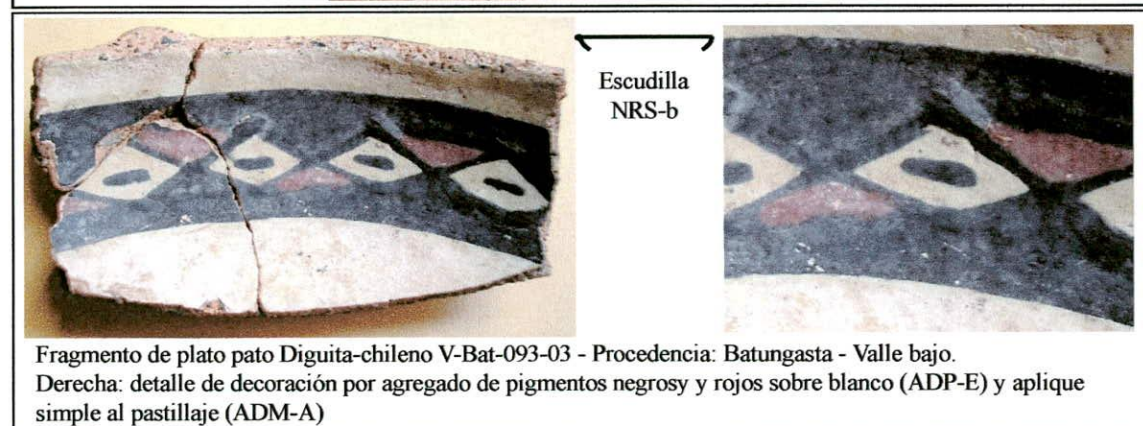
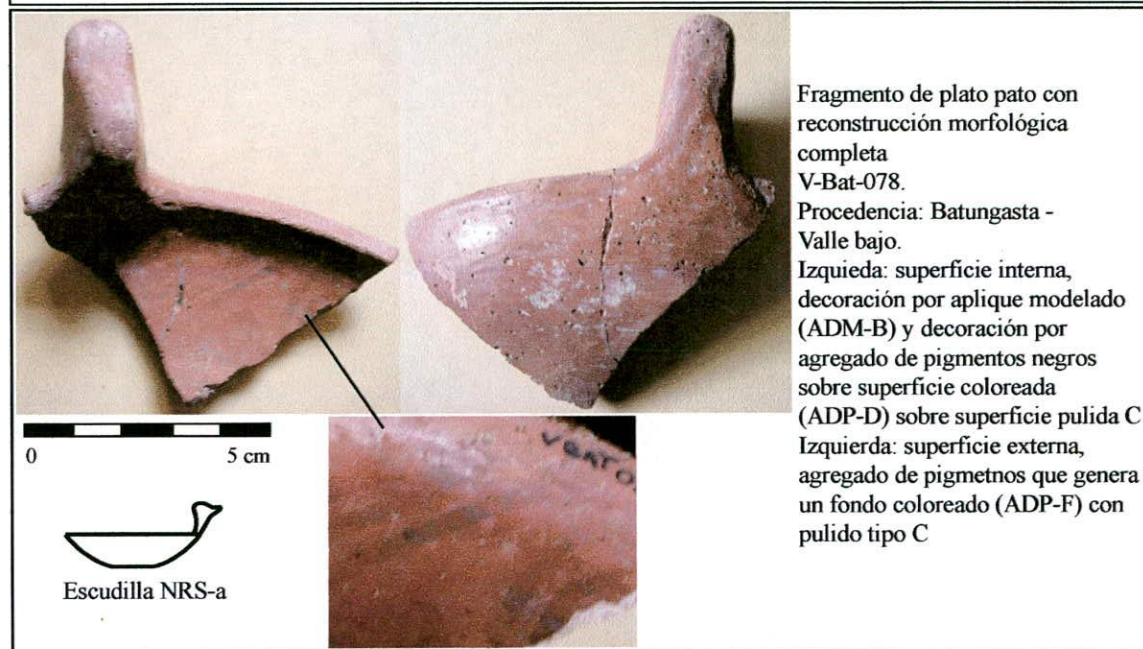
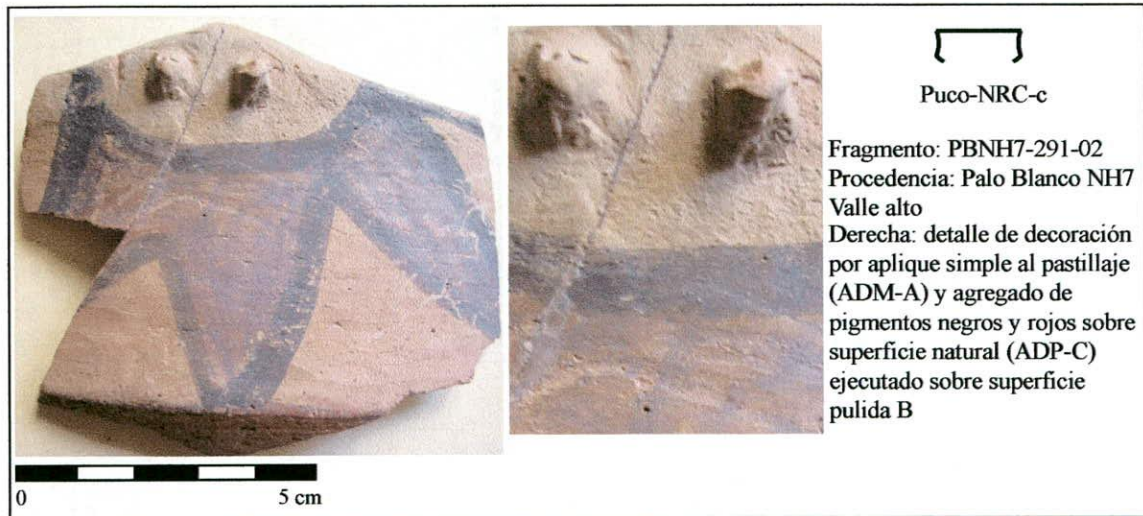












APÉNDICE 6

ANÁLISIS DE DIVERSIDAD



Análisis de la diversidad de variantes de grupos de pasta por ecozona – Capítulo 6.

Ecozona	Variantes de grupos de pasta																			
	I (A)	I (B)	I (C)	II (A)	II (B)	III (A)	III (B)	III (C)	IV (A)	IV (B)	V (A)	V (B)	V (C)	VI (B)	VII (A)	VII (B)	VII (C)	VIII (A)	VIII (B)	VIII (C)
V-ba	100	14	4	30	16	11	12	6						10	2	5	1	3	9	3
V-me	64	7	3	1	1	2	3			1				1	3		1	4	4	1
V-al	245	25	5	1	1	1	1	1	15	5	4	21	5		2					
Pr-c	169	16	5	2		1	9	3	7	4	1	7	5		1	1	1	1	1	1

Variantes de grupo de pasta																											
N	K	LOG(m)	n*log(m)	I (A)	I (B)	I (C)	II (A)	II (B)	III (A)	III (B)	III (C)	IV (A)	IV (B)	V (A)	V (B)	V (C)	VI (B)	VII (A)	VII (B)	VII (C)	VIII (A)	VIII (B)	VIII (C)	Σ	H	LOG(K)	J
226	15	2.35	532.0	200.0	16.0	2.4	44.3	19.3	11.5	13.0	4.7						10.0	0.6	3.5	0.0	1.4	8.6	1.4	336.66	0,864	1.176	0,735
96	14	1.98	190.3	115.6	5,9	1,4	0,0	0,0	0,6	1,4			0,0				0,0	1,4		0,0	2,4	2,4	0,0	131.22	0,615	1.146	0,537
332	14	2.52	837.0	585.3	34.9	3.5	0,0	0,0	0,0	0,0	0,0	17,6	3,5	2,4	27,8	3,5		0,6						679.20	0,475	1.146	0,415
235	18	2.37	557.2	376.5	19.3	3.5	0,6		0,0	8,6	1,4	5,9	2,4	0,0	5,9	3,5		0,0	0,0	0,0	0,0	0,0	0,0	427.63	0,551	1.255	0,439

(Continuación)

Análisis de la correlación entre la cantidad de clases (variantes de grupos de pasta) y la cantidad de casos por ecozona – Capítulo 6

Ecozona	N	K
Valle bajo	226	15
Valle medio	96	14
Valle alto	332	14
Pre-cordillera	235	18

N: cantidad de casos
K: cantidad de variantes de grupos de pasta.

Correlaciones

		K	N
K	Correlación de Pearson	1	.100
	Sig. (bilateral)	.	.900
	N	4	4
N	Correlación de Pearson	.100	1
	Sig. (bilateral)	.900	.
	N	4	4

Análisis de la correlación entre la riqueza (H) de las variantes de grupos de pasta y el tamaño de la muestra (logaritmo base 10) por ecozona
 Capítulo 6.

Ecozona	H	LogN
Valle bajo	0,864	2,35
Valle medio	0,615	1,98
Valle alto	0,475	2,52
Pre-cordillera	0,551	2,37

H: riqueza
 LogN: logaritmo en base 10 de la cantidad de casos.

Correlaciones

		H	LOGN
H	Correlación de Pearson	1	-.193
	Sig. (bilateral)	.	.807
	N	4	4
LOGN	Correlación de Pearson	-.193	1
	Sig. (bilateral)	.807	.
	N	4	4

Análisis de la correlación entre la homogeneidad (J) de las variantes de grupos de pasta y el tamaño de la muestra (en logaritmo base 10) por ecozona – Capítulo 6

Ecozona	J	LogN
Valle bajo	0,735	2,35
Valle medio	0,537	1,98
Valle alto	0,415	2,52
Pre-cordillera	0,439	2,37

J: Homogeneidad
 LogN: logaritmo en base 10 de la cantidad de casos.

Correlaciones

		J	LOGN
J	Correlación de Pearson	1	-.230
	Sig. (bilateral)	.	.770
	N	4	4
LOGN	Correlación de Pearson	-.230	1
	Sig. (bilateral)	.770	.
	N	4	4

Análisis de la diversidad de variantes de tratamiento de superficie interno/externo por ecozona – Capítulo 8.

Ecozona	Variante trat. sup. interna/externa									N	K	LOG(n)	n*log(n)	Al-A,B/Al-A,B	Al-A,B/Pu-A,B	Al-A,B/Pu-C,D	Pu-A,B/Pu-A,B	Pu-A,B/Al-A,B	Pu-C,D/Pu-A,B	Pu-C,D/Pu-C,D	Pu-C,D/Al-A,B	SUMATORIA	H	LOG(K)	J	
	Al-A,B/Al-A,B	Al-A,B/Pu-A,B	Al-A,B/Pu-C,D	Pu-A,B/Pu-A,B	Pu-A,B/Pu-C,D	Pu-A,B/Al-A,B	Pu-C,D/Pu-A,B	Pu-C,D/Pu-C,D	Pu-C,D/Al-A,B																	
Valle bajo	81	6	5	62	6	17	1	54	1	233	9	2,37	551,6	154,6	4,7	3,5	111,1	4,7	20,9	0,00	93,5	0,00	393,02	0,681	0,954	0,713
Valle medio	29	2	3	21	6	1		32	3	97	8	1,99	192,7	42,4	0,6	1,4	27,8	4,7	0,00		48,2	1,4	126,47	0,683	0,903	0,756
Valle alto	77	22		148	29	12	10	37		335	7	2,53	845,9	145,3	29,5		321,2	42,4	12,9	10,0	58,0		619,37	0,676	0,845	0,800
Precordillera	66	13	8	77	12	8	6	43	5	238	9	2,38	565,6	120,1	14,5	7,2	145,3	12,9	7,2	4,7	70,2	3,5	385,63	0,756	0,954	0,793

Análisis de la correlación entre la cantidad de clases (variantes de tratamientos de superficie interno/externo) y la cantidad de casos por ecozona – Capítulo 8

Ecozona	N	K
Valle bajo	233	9
Valle medio	97	8
Valle alto	335	7
Pre-cordillera	238	9

N: cantidad de casos
K: cantidad de variantes de tratamiento de superficie interno/externo.

Correlaciones

		N	K
N	Correlación de Pearson	1	-.319
	Sig. (bilateral)	.	.681
	N	4	4
K	Correlación de Pearson	-.319	1
	Sig. (bilateral)	.681	.
	N	4	4

Análisis de la correlación entre la riqueza (H) de las variantes de tratamiento de superficie interno/externo y el tamaño de la muestra (logaritmo base 10) por ecozona - Capítulo 8.

Ecozona	H	LogN
Valle bajo	0,681	2,37
Valle medio	0,683	1,99
Valle alto	0,676	2,53
Pre-cordillera	0,756	2,38

H: riqueza
LogN: logaritmo en base 10 de la cantidad de casos.

Correlaciones

		H	LOGN
H	Correlación de Pearson	1	.114
	Sig. (bilateral)	.	.886
	N	4	4
LOGN	Correlación de Pearson	.114	1
	Sig. (bilateral)	.886	.
	N	4	4

Análisis de la correlación entre la homogeneidad (J) de las variantes de tratamiento de superficie interno/externo y el tamaño de la muestra (logaritmo base 10) por ecozona - Capítulo 8.

Ecozona	J	LogN
Valle bajo	0,713	2,37
Valle medio	0,756	1,99
Valle alto	0,8	2,53
Pre-cordillera	0,793	2,38

J: Homogeneidad
LogN: logaritmo en base 10 de la cantidad de casos.

Correlaciones

		J	LOGN
J	Correlación de Pearson	1	.338
	Sig. (bilateral)	.	.662
	N	4	4
LOGN	Correlación de Pearson	.338	1
	Sig. (bilateral)	.662	.
	N	4	4

Análisis de la diversidad de variantes de técnica decorativa interna/externa por ecozona – Capítulo 8.

Ecozona	Técnica decorativa																					
	ADP	ADP+PEL	ADP+RDM	DDM	PEL	PEL+DDM	RDM	N	K	LOG(n)	$n \cdot \log(n)$	ADP	ADP+PEL	ADP+RDM	DDM	PEL	PEL+DDM	RDM	Sumatoria	H	LOG(K)	J
Valle bajo	64	7	2	27	31	8	5	144	7	2.16	310.80	115.60	5.92	0.60	38,65	46,23	7,22	3,49	217.71	0,646	0.85	0,765
Valle medio	27	0	4	9	4	5	15	64	6	1.81	115.60	38,65		2.41	8,59	2,41	3,49	17.64	73,19	0,663	0.78	0,852
Valle alto	26	3	2	74	73	23	8	209	7	2.32	484.91	36,79	1.43	0.60	138.32	136.02	31.32	7,22	351.71	0,637	0.85	0,754
Pre-cordillera	39	0	0	48	27	6	6	126	5	2.10	264.65	62,05			80,70	38,65	4,67	4,67	190.74	0,587	0.70	0,839

Análisis de la correlación entre la cantidad de clases (variantes de técnicas decorativas internas/externas) y la cantidad de casos por ecozona – Capítulo 8

Ecozona	N	K
Valle bajo	144	7
Valle medio	64	6
Valle alto	209	7
Pre-cordillera	126	5

N: cantidad de casos
K: cantidad de variantes de técnica decorativa interna/externa

Correlaciones

		N	K
N	Correlación de Pearson	1	.533
	Sig. (bilateral)	.	.467
	N	4	4
K	Correlación de Pearson	.533	1
	Sig. (bilateral)	.467	.
	N	4	4

Análisis de la correlación entre la riqueza (H) de las variantes de técnicas decorativas internas/externas y el tamaño de la muestra (logaritmo base 10) por ecozona - Capítulo 8.

Ecozona	H	LogN
Valle bajo	0,65	2,158
Valle medio	0,66	1,806
Valle alto	0,64	2,32
Pre-cordillera	0,59	2,1

H: riqueza
LogN: logaritmo en base 10 de la cantidad de casos.

Correlaciones

		H	LOGN
H	Correlación de Pearson	1	-.342
	Sig. (bilateral)	.	.658
	N	4	4
LOGN	Correlación de Pearson	-.342	1
	Sig. (bilateral)	.658	.
	N	4	4

Análisis de la correlación entre la homogeneidad (J) de las variantes de técnicas decorativas interna/externa y el tamaño de la muestra (logaritmo base 10) por ecozona - Capítulo 8.

Ecozona	J	LogN
Valle bajo	0,77	2,158
Valle medio	0,85	1,806
Valle alto	0,75	2,32
Pre-cordillera	0,84	2,1

J: Homogeneidad
LogN: logaritmo en base 10 de la cantidad de casos.

Correlaciones

		J	LOGN
J	Correlación de Pearson	1	-.849
	Sig. (bilateral)	.	.151
	N	4	4
LOGN	Correlación de Pearson	-.849	1
	Sig. (bilateral)	.151	.
	N	4	4

Análisis de la diversidad de variantes de secuencias cromáticas por ecozona – Capítulo 9.

Ecozona	Secuencia cromática																													
	A	B	D	E	F	G	H	I	J	K	L	N	K	LOG(n)	n*log(n)	A	B	D	E	F	G	H	I	J	K	L	Sumatoria	H	LOG(K)	J
Valle bajo	81	6	6	116			12		1		1	223	7	2,3	523,7	154,6	4,7	4,7	239,5			12,9		0,0		0,0	416,3	0,481	0,845	0,569
Valle medio	37	2	1	47		4	1		3	1		96	8	1,9	190,3	58,0	0,6	0,0	78,6		2,4	0,0		1,4	0,0	141,0	0,513	0,903	0,568	
Valle alto	34	1		284	7	6	1	1			1	335	8	2,5	845,9	52,1	0,0		696,7	5,9	4,7	0,0	0,0		0,0	759,4	0,258	0,903	0,286	
Pre-cordillera	46	6	1	154	3	10	5	1	11		1	238	10	2,4	565,6	76,5	4,7	0,0	336,9	1,4	10,0	3,5	0,0	11,5	0,0	444,4	0,509	1,000	0,509	

Análisis de la correlación entre la cantidad de clases (secuencias cromáticas) y la cantidad de casos por ecozona – Capítulo 9

Ecozona	N	K
Valle bajo	223	7
Valle medio	96	8
Valle alto	335	8
Pre-cordillera	238	10

N: cantidad de casos
K: cantidad de secuencias cromáticas

Correlaciones

		N	K
N	Correlación de Pearson	1	,081
	Sig. (bilateral)	.	,919
	N	4	4
K	Correlación de Pearson	,081	1
	Sig. (bilateral)	,919	.
	N	4	4

Análisis de la correlación entre la riqueza (H) de las secuencias cromáticas y el tamaño de la muestra (logaritmo base 10) por ecozona - Capítulo 9.

Ecozona	H	LogN
Valle bajo	0,481	2,348
Valle medio	0,513	1,982
Valle alto	0,258	2,525
Pre-cordillera	0,509	2,377

H: riqueza
LogN: logaritmo en base 10 de la cantidad de casos.

Correlaciones

		H	LOGN
H	Correlación de Pearson	1	-.672
	Sig. (bilateral)	.	.328
	N	4	4
LOGN	Correlación de Pearson	-.672	1
	Sig. (bilateral)	.328	.
	N	4	4

Análisis de la correlación entre la homogeneidad (J) de las secuencias cromáticas y el tamaño de la muestra (logaritmo base 10) por ecozona - Capítulo 9.

Ecozona	J	LogN
Valle bajo	0,569	2,348
Valle medio	0,568	1,982
Valle alto	0,286	2,525
Pre-cordillera	0,509	2,377

J: Homogeneidad
LogN: logaritmo en base 10 de la cantidad de casos.

Correlaciones

		J	LOGN
J	Correlación de Pearson	1	-.702
	Sig. (bilateral)	.	.298
	N	4	4
LOGN	Correlación de Pearson	-.702	1
	Sig. (bilateral)	.298	.
	N	4	4

Análisis de la diversidad de los grupos morfológicos por ecozona – Capítulo 10.

Ecozona	Grupo morfológico														
	Es NRC	Es NRS	Pu NRC	Pu NRI	Pu NRS	Pu RDC	Pu RDS	OD-RDS	Va NRS	OA-RIC	OA-RII	OB-RIC	OB-RII	OC-RIC	OC-RII
V-ba	11	31	31	2	27	3	13	2	5	13	35		29	1	1
V-me	9	5	14	2	20	4	8	1	4	6	8	1	5	2	1
V-al	21	33	72	1	63	13	5	2	5	5	27		45	6	3
Pr-c	19	22	40	3	41	9	19	1	3	7	27		18	1	

N	K	LOG(n)	n*log(n)	Es NRC	Es NRS	Pu NRC	Pu NRI	Pu NRS	Pu RDC	Pu RDS	OD-RDS	Va NRS	OA-RIC	OA-RII	OB-RIC	OB-RII	OC-RIC	OC-RII	Sumatoria	H	LOG(K)	J
204	14	2.31	471.16	11.46	46.23	46.23	0.60	38.65	1.43	14.48	0.60	3.49	14.48	54.04		42.41	0.00	0.00	274.11	0,966	1.146	0,843
90	15	1.95	175.88	8.59	3.49	16.05	0.60	26.02	2.41	7.22	0.00	2.41	4.67	7.22	0.00	3.49	0.60	0.00	82.78	1,034	1.176	0,880
301	14	2.48	746.05	27.77	50.11	133.73	0.00	113.36	14.48	3.49	0.60	3.49	3.49	38.65		74.39	4.67	1.43	469.67	0,918	1.146	0,801
210	13	2.32	487.67	24.30	29.53	64.08	1.43	66.12	8.59	24.30	0.00	1.43	5.92	38.65		22.59	0.00		286.94	0,956	1.114	0,858

(Continuación)

Análisis de la correlación entre la cantidad de clases (grupos morfológicos) y la cantidad de casos por ecozona – Capítulo 10

Ecozona	N	K
Valle bajo	204	14
Valle medio	90	15
Valle alto	301	14
Pre-cordillera	210	13

N: cantidad de casos
K: cantidad de grupos morfológicos

Correlaciones

		N	K
N	Correlación de Pearson	1	-.567
	Sig. (bilateral)	.	.433
	N	4	4
K	Correlación de Pearson	-.567	1
	Sig. (bilateral)	.433	.
	N	4	4

Análisis de la correlación entre la riqueza (H) los grupos morfológicos y el tamaño de la muestra (logaritmo base 10) por ecozona - Capítulo 10

Ecozona	H	LogN
Valle bajo	0,966	2,31
Valle medio	1,034	1,954
Valle alto	0,918	2,479
Pre-cordillera	0,956	2,322

H: riqueza
LogN: logaritmo en base 10 de la cantidad de casos.

Correlaciones

		H	LOGN
H	Correlación de Pearson	1	-.995**
	Sig. (bilateral)	.	.005
	N	4	4
LOGN	Correlación de Pearson	-.995**	1
	Sig. (bilateral)	.005	.
	N	4	4

** La correlación es significativa al nivel 0,01 (bilateral).

Análisis de la correlación entre la homogeneidad (J) de los grupos morfológicos y el tamaño de la muestra (logaritmo base 10) por ecozona - Capítulo 10.

Ecozona	J	LogN
Valle bajo	0,843	2,31
Valle medio	0,88	1,954
Valle alto	0,801	2,479
Pre-cordillera	0,858	2,322

J: Homogeneidad
LogN: logaritmo en base 10 de la cantidad de casos.

Correlaciones

		J	LOGN
J	Correlación de Pearson	1	-.885
	Sig. (bilateral)	.	.115
	N	4	4
LOGN	Correlación de Pearson	-.885	1
	Sig. (bilateral)	.115	.
	N	4	4